ХИЗЧИЧИЪ ВИЗ ЧЕЗПЕРЗПЕТЕРЕ ВЧИЛТЕТЕ. АКАДЕМИЯ НАУК АРМЯНСКОЙ ССР

сообщения бюраканской обсерватории

прич LVIII ВЫПУСК

Редакционная коллегия

Ю. К. МЕЛИК-АЛАВЕРДЯН, Л. В. МИРЗОЯН, М. А. МНАЦАКАНЯН. О. В. ПИКИЧЯН (ответственный секретарь), Г. М. ТОВМАСЯН (главный редактор), Р. К. ШАХБАЗЯН

C 1705040000 703 (02)—86 42—86

СИздательство АН Армянской ССР. 1986

А. С. ХОДЖАЕВ

НОВЫЕ ПЕРЕМЕННЫЕ ЗВЕЗДЫ В ОБЛАСТИ Т-АССОЦИАЦИИ ТАU Т3

Закономерным свойством звезд на ранних стадиях эволюции явлиется их физическая нестационарность, обычно проявляющаяся в изменениях мощности и состава их излучения. Причем, чем моложе звезда, тем она активнее: изменения сильнее и скоротечнее [1]. Поэтому исследование явлений нестационарности на начальных стадиях эволюции может способствовать познанию физических процессов происходя-

щих при формировании и развитии звезд.

Как было показано Амбарцумяном [2], звездные ассоциации являются очагами, где и в настоящее время образуются молодые звезды. Одна из интереснейших областей звездообразования находится в районе Т-ассоциации Таи ТЗ. В этой области кроме нескольких десятков неправильных переменных и эмиссионных объектов имеется много родственных им объектов: вспыхивающих звезд, кометарпых туманностей, ИК-источников, объектов Хербига-Аро и др. Между тем, поиск и фотографические наблюдения переменных звезд в указанной области, в особенности на широкоугольных телескопах высокой проницающей силы, носили, как правило, эпизодический характер и не были продолжительными.

Учитывая вышесказанное, а также неправильный характер изменения блеска у переменных звезд этой области, мы выполнили поиск

переменных звезд в ней.

Наблюдательный материал. Для поиска и фотометрического изучения нестационарных звезд в области Темных облаков Тельца был использован фотографический материал, полученный нами на 40"/52" и 21"/21" телескопах системы Шмидта Бюраканской астрофизической обсерватории АН АрмССР для поиска вспыхивающих звезд. Наблюдения довольно плотно охватывали период с 1980 по 1984 гг. Описание этого материала, позволиешего обнаружить 92 ранее неизвестные

вспыхивающие звезды, было опубликовано [3].

Визуальная обработка материала производилась на блинк-компараторе фирмы «Карл-Цейсс-Йена» Бюраканской астрофизической обсерватории. Для просмотра использовались фотопластинки приблизительно одинакового качества (близких предельных звездных величин, значений фона и пр.). Для большей эффективности поиска сравнению подвергались также пары пластинок, снятых в разные эпохи. Блеск звезд глазомерно оценивался по методу Нейланда-Блажко. Звезды сравнения были привязаны к фотоэлектрическим стандартам Ландольта [4].

Для определения цветовых характеристик звезд мы использовали фотографические UBV-паблюдения [3]. Фотометрические измерения блеска производились на ирис-фотометре «Аскания» Бюраканской об-

серватории.

Новые переменные звезды. В результате обработки, с целью обнаружения переменных с более плавными изменениями блеска, нашего фотографического материала была обнаружена 21 новая переменная звезла с величиной изменения блеска не менее 1^m.

Сведения об этих звездах представлены в табл. 1: порядковый номер, координаты (1950.0), тип переменности (:—неуверенно), диа-

пазон изменения блеска (mpg), видимо связанное облако и примечания.

Tab.uiya 1

	Новые	переменные	звезды в обл	пасти Темных об.	TERUB TC.TOQU	
.\e	2	6	Тип	max min	Связанное Темное облако ¹	Лит-ра
1 2 3 ² 4 ² 5 6 7 ³ 8 9 10 11 12 ² 13 14 15 ² 16 17 18 195.6 205.7 21	4 ^h 22 ^m 3 4 22.4 4 24.9 4 26.0 4 26.7 4 29.1 4 29.3 4 29.4 4 29.7 4 29.9 4 30.1 4 32.7 4 33.4 4 33.7 4 36.8 4 38.3 4 38.3 4 38.4 4 39.1 4 39.1 4 40.9	+ 26°09′ 25 48 21 51 25 46 24 28 25 33 24 16 23 38 23 52 22 38 24 53 24 53 24 53 24 53 25 48 27 53 28 52 29 70 20 70 21 70 25 17 25 16 25 15	In:	15m7—17m0 15.4—17.5 15.8—17.2 15.5—17.0 16.4—19.9 15.0—16.4 14.8—16.9 16.6—19.4 16.0—20.5 16.5—19.1 16.4—17.5 15.5—16.8 15.7—16.9 13.9—16.1 14.5—16.5 15.5—16.7(U) 16.0—17.1 16.5—18.0 14.1—17.0 15.9—17.2 12.8—14.6	B 217 B 217 B 18 L 1521 L 1529 L 1536 B 18 L 1536 L 1536 L 1536 L 1527 L 1527 L 1527 L 1527 L 1524 B 22 (?) B 22, H2 H 2 H 2 H 2 H 2	[1] [1] [2] [1] [1] [1] [1] [2] [2] [2] [2] [2] [2] [2] [2

Примечания к табл. 1:

1-обозначения Темных облаков из каталогов Линдса (L) [5], Барнарда (В) [6] и Хейлеса (Н) [7];

леилеса (п) [/];
2—вне видимых контуров темнооблачной материи (A_v>2 ^m) [8];
3—звезда ЈН91 [9] = Б20 [10], связана с кометарной туманностью Вег 78 [11];
4—согласно Хербига [12] имеет особенности звезды типа Т Тельца;
5—члены вероятных систем типа Трапеции [13];
6—звезда НКС69 = LkH₂332 [14] = Б 35 [10], связана с кометарной туманностью ссэз (15).

SS33 [15]; 7—звезда LkH₄ 332/G2 [16] = Б34 [10], связана с кометарной туманностью SS33 [15].

15 звезд исследованной области показали изменения блеска, не превышающие 1. Они были отнесены нами к подозреваемым переменным звездам. Список этих звезд дан в табл. 2. Обозначения столбцов такие же, как в табл. 1.

Таблица 2 Заподозренные леременные звезды в области Темных облаков Тельца

N	a	δ	Тип	m _{pg} max min	Связанное Темное облако ¹	Лнт-ра
1 ² 2 3 4 5 6 ⁴ 7 ³ 8 ⁵ 9 ¹ 10	4 ^h 27 ^m 7 4 28.0 4 28.0 4 28.2 4 28.3 4 28.8 4 28.8 4 29.3 4 29.4 4 30.2	+25°27′ 23 13 22 57 25 45 22 50 24 03 24 15 24 16 25 14 23 03	Is? Ins? In? In? RR?	14m7—15m3(U) 16.3—17.0(U) 16.2—16.8(U) 15.9—16.6 15.8—16.5 16.0—16.9 16.1—17.1 16.5—17.3 16.0—17.0 16.4—17.3	L 1536 L 1536 L 1521 L 1536 B 18 L 1529 L 1529 L 1536	[1] [2] [2] [2] [2] [2] [2, 3] [2, 4] [2, 5] [1]
11° 12° 13° 14° 15	4 30.3 4 31.6 4 33.4 4 36.1 4 40.4	24 27 24 42 25 46 23 33 25 14		14.3—15.0(U) 15.7—16.5 16.4—17.0 15.8—16.8 16.0—16.7	B 18 B 22 H 2	[2, 6] [1] [2, 7] [1] [2]

Примечания к табл. 2:

1 и 2-см., соответственно, примечания 1 и 2 к табл. 1:

1 и 2—см., соответственно, примечания 1 и 2 к таол, 1, 3—рясположена около звезды LkH₂ 331 [14]; 4 и 5—соответственно звезды JH90 и JH91 [9], члены вероятной системы типа Трапеции [13]; расположены рядом со звездой № 7 (табл. 2); 6—звезда Е 0430.2+24.5 с излучением в рентгеновском дианазоне [17]. Независимо от

нас звезда, как возможная переменная, была отмечена Мундтом и др. [18]. 7-расположена вблизи новой переменной звезды № 14 (табл. 1).

Обсуждение. Обнаруженные нами переменные звезды являются, в основном, представителями орионового населения. Об этом говорят характер изменений блеска, цвета и концентрация этих звезд в областях сильного поглощения. Ввиду того, что переменные этого класса встречаются почти исключительно в местах, где находятся газо-пылевые облака, принадлежность их к звездной системе, ассоцированной с темными облаками весьма вероятна.

На рис. 1 приводится видимое распределение обнаруженных нами переменных звезд и известных и заподозренных ранее орионовых переменных [19, 20] этой области. Как и следовало ожидать, видимое распределение новых переменных практически совпадает с распределением известных переменных. Поэтому их суперпозиция позволяет четче вылелить докальные группы звезд, связанные с отдельными очагами звез-

дообразования. Таких групп оказалось не менее 5.

На основе результатов UBV-фотометрии, выполненной на нашем материале, были построены диаграммы Герцшпрунга-Рессела (V, B-V) н двухцветная (U-B, B-V) для новых переменных и На-эмиссионных звезд, которые, как правило, оказываются переменными звездами орионового типа (рис. 2 и 3).

На рис. 2 главная последовательность (ГП) проведена для модуля

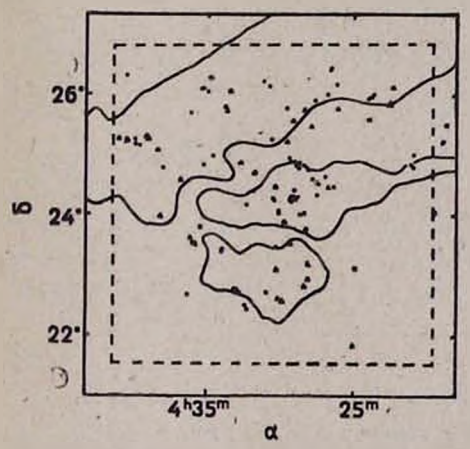


Рис. І. Видимое распределение переменных звезд в области, исследованной в Бюракане (пунктир). Черными треугольобозначены новые переменные светлыми-новые заподозренные переменные, черными и светлыми ками-соответственно известные орионовые переменные и заподозренные переменные.

Сплошной линией очерчены области с $A_V > 2^m$

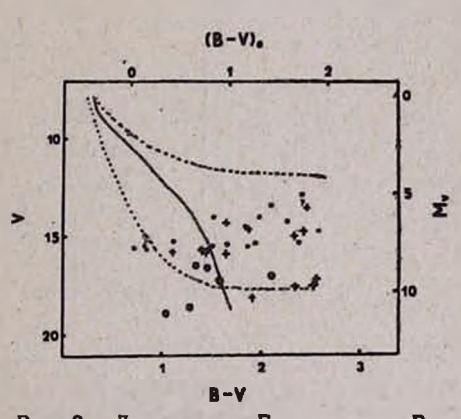


Рис. 2. Днаграмма Герцшпрунга-Рессела (V, B-V) для новых переменных (черные кружки), новообнаруженных (крестики) н некоторых известных (звездочки) На-эмиссионных звезд исследуемой области. Сплошная линияглавная последовательность. Пунктиром ограничена Т-полоса

расстояния 5 т6 при поправке за поглощение $A_V \sim 2^m$ [16]. Основная часть нестационарных звезд, как видно из рис. 2, располагается выше ГП, однако имеются и такие звезды, которые попадают под нее. Большинство этих звезд попадает в область Т-полосы, проведениой согласно [21]. На двухцветной диаграмме U—B, B—V (рис. 3) почти все исследуемые звезды находятся выше ГП. Распределение этих звезд на

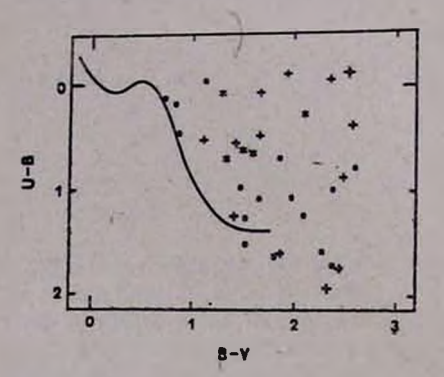


Рис. 3. Двухцветная (U—B, B—V) дилграмма для нестационарных звезд в исследуемой области Тельца. Обозначения звезд те же, что и на рис. 2

указанных днаграммах подобно распределению орноновых звезд исследованной области и других молодых систем, что может свидетельствовать о принадлежности большей их части к упомянутому классу переменных.

Сравнение зависимости величины изменения блеска новых переменных от значений их минимального блеска с аналогичной зависимостью для известных переменных [19] и заподозренных переменных [20] звезд области Темных облаков Телы а показывает, что все они изменяют свой блеск в широких пределах и по-видимому не показывают значительной корреля-

ции между интервалом этих изменений и минимальным блеском [22] (рис. 4).

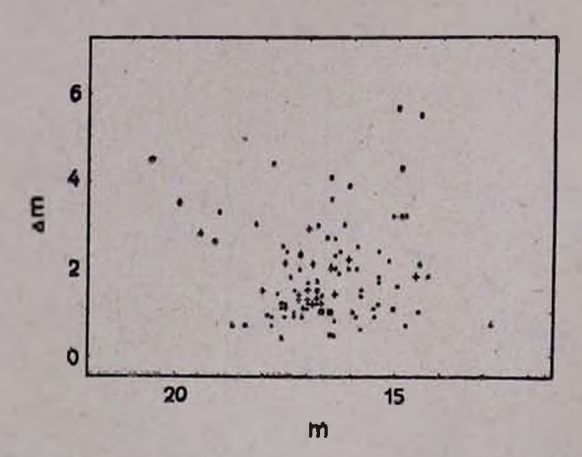


Рис. 4. Зависимость диапазона изменений блеска орионовых переменных исследуемой области от значений их блеска в минимуме: крестики—новые переменные звезды; черные кружки—известные орионовые переменные звезды; светлые кружки—известные заподозренные переменные

Кроме того, у обнаруженных и известных переменных звезд области Темных облаков Тельца с возрастанием величины изменений блеска наблюдается некоторое уменьшение числа звезд, способных показывать такие изменения.

В распределении новых переменных и заполозренных в переменности звезд по их блеску в минимуме наблюдается некоторый пик в районе m " = 16 m 5-17 m 5, так же как и в распределении известных орионовых переменных исследуемой области. Следует отметить, что обнаруженные нами звезды в среднем слабее в минимуме, что объясняется продолжением нашего обзора переменных звезд к более слабым звезлам.

Автор искренне признателен профессору Л. В. Мирзояну за полезное обсуждение и постоянный интерес к данной работе.

22 HOAR 1985 2.

Ա. Ս. ԽՈՋԱԵՎ

Tail T3 T- ԱՍՏՂԱՍՓՅՈՒՌԻ ՏԻՐՈՒՅԹԻ ՆՈՐ ՓՈՓՈԽԱԿԱՆ ԱՍՏՂԵՐ

Ներկալացված են Ցույի համաստեղության Մութ ամպերի ահրույթում փոփոխական աստղերի որոնումների արդյուն ընհրը։ Հայտնաբերված են 21 փոփոխական և 15 կասկածելի փոփոխական աստղեր, որոնց մեծ մասր պատկանում է Հայկի (Օրիոն) տիպի աստղային բնակչությանը։ Քննարկված են ալդ աստղերի որոշ վիճակագրական բնուԹագրեր, տարածական բայ $μ_{n, J}$ $μ_{n, J}$ Lanni

A. S. HOJAEV

NEW VARIABLE STARS IN THE TAURUS T3 1-ASSOCIATION REGION

The results of variable star search in the Taurus Dark clouds region are presented. 21 new variable and 15 suspected variable stars were found, mainly belonging to the Orion Population. Spatial distribution, Hertzsprung-Russell (V, B-V) and two colour (U-B, B-V) diagrams of these stars as well as some statistical parameters are discussed.

ЛИТЕРАТУРА

- 1. *Л. В. Мирзови*, в сб.: Ранние стадин эволюции звезд, Киев, Наукова думка, с. 100, 1977.
- 2. В. А. Амбарцумян, Вводный доклад на симпознуме по эволюции звезд. АН СССР, М., 1952. 3. А. С. Ходжаев, Астрофизика, 1985, 24, 65, 1986. 4. А. V. Landolt, A. J., 72, 1012 1967.

- 5. B. T. Lynds, Ap. J., Suppl. Ser., 7, 64, 1962.
- 6. E. Ba. nard, A Photographic Atlas of Selected Regions of the Milky Way. eds. E. B. Frost and M. R. Calvert, Carnegie Institute of Washington, Washington 1927.
- 7. C. Heiles, Ap. J., Suppl. Ser., 15, 97, 1967.

- 8. В. Е. Слуцкий, в сб.: Исследование экстремально молодых звездных комплексов,
- Ташкент, Фан. с. 115, 1975. 9 В. F. Jones, G. H. Herbig, A. J., 84, 1872, 1979. 10. Г. С. Бадалян. ДАН АН АрмССР. 31, 261, 1960. 11. С. Bernes, Astron. Astrophys. Suppl. Ser., 29, 65, 1977.
- 12. E. D. Feigelson, G. A. Kriss, A. J., 88, 431, 1983. 13. A. C. Ходжава. Астрофизика. 22, 425, 1984. 14. G. H. Herbig, N. K. Rao, Ap. J., 174, 401, 1972.
- 15. O. Strave, W. S. Straka, Publ. Astron. Soc. Pacific, 74, 474, 1962.
- 16. M. Cohen, L. V. Kuhi, Ap. I., Suppl. Ser., 41, 743, 1979.
- 17. F. M. Walter, L. V. Kuhl, Ap. J., 250, 254, 1981.
- 18. R. Mundt, F. M. Walter, E. D. Feigelson, II. Finkenzeller, G. H. Herbig, A. P.
- 19. Б. В. Кукаркин и др. Общий каталог переменных звезд, т. 2, 1—3° Доп., 3° изд. М., Наука, 1970.
- Б. В. Кикаркин и др. Новый каталог звезд, заподозренных в неременности блеска, М., Наука, с. 31—33, 1982.
 П. Н. Холопов. в кн.: «Эруптивные звезды», М., Наука. с. 273, 1970.
- 22. В. С. Шевченко. Персменные звезды, 15, 229, 1964.

С. С. РУСТАМБЕКОВА, Р. А. ЕПРЕМЯН

СПЕКТРОФОТОМЕТРИЧЕСКОЕ ИССЛЕДОВАНИЕ ГРУППЫ ЗВЕЗД ВОКРУГ 7 Cas в УЛЬТРАФИОЛЕТОВОЙ И ВИДИМОЙ ОБЛАСТЯХ

С появлением возможности ведения астрономических наблюдений за пределами земной атмосферы параллельно стали проводиться сопоставления результатов двух категорий наблюдений—наземных (оптический диапазон) и внеатмосферных (ультрафиолетовая область). Подобные сопоставления внесли ясность в некоторые вопросы, для которых паблюдения только наземные или только внеатмосферные нелостаточны. Это относится, в частности, к распределенню энергин в

непрерывных спектрах звезд.

В настоящей работе приведены результаты наблюдений—внеатмосферных и наземных—с целью построения сводных кривых распределения энергии в непрерывных спектрах 33 звезд классов ВО—G8 из области неба вокруг (Cas в интервале длин волн 2200—4800 А и в шкале абсолютных энергетических единиц (эрг · см - · c - · · A - ·) · При этом ультрафиолетовые (2200—3800 А) наблюдения были проведены с помощью «Ориона-2», а длинноволновые (3500—4800)—на 70 см менисковом телескопе Абастуманской обсерватории с 8-градусной объективной призмой. Список упомянутой группы звезд представлен в табл. 1. Все эти звезды входят в «Каталог ультрафиолетовых спектров

900 слабых звезд» [1]. Содержание первых трех столбцов табл. 1 взято из «Каталога Ориона-2» для исследованных в настоящей работе 33 звезд. В таблице приведены также избытки цвета E(B-V) по [2], когда они имелись, и определенные (они отмечены звездочкой), исходя из следующих соображений. В [2] наряду с избытками цвета приводятся также данные о модулях расстояний $|m-M_0|$ для этих звезд. По этим данным была построена зависимость E(B-V) от $|m-M_0|$. Затем по известной визуальной величине и средней для данного спектрального класса [3] абсолютной величине были найдены значения $|m-M_0|$ для звезд с известными избытками цвета и с помощью построенной зависимости определены значения E(B-V); они отмечены звездочкой. Имея в виду, что все звезды паходятся в области γ Саѕ, ошибки измерений, следует думать, не должны быть велики.

Кривая относительной спектральной чувствительности (редукционная кривая) 70 см телескопа с объективной призмой (дисперсия 166 А/мм у Нү) и фотопленкой Кодак—IIа—О была построена с помощью звезды НО 6382, класса А0—А1, с нулевым избытком цвета. При этом в качестве спектра сравнения была взята модель Веги (A0V, Твфф — 9400°К и lg g=3.95 [4]). Абсолютная спектральная чувствительность была найдена по описанной в [5] методике, путем сопоставления спектрограмм, полученных в Абастуманской обсерватории для звезды НО 5015 спектрального класса F8V, с известными абсолютными вели-

чинами потоков для этой же звезды [6].

На рис. 1 приведены кривые абсолютного распределения энергии в спектре HD 5015 по данным трех источников: спектральным снимкам «Орнона-2», Абастуманским спектрам (точки; стрелка на 3500 А здесь

Основные данные об исследованных звездах Тэфф. °К E(B-V) V Спектр HD, BD 30000 0m 94 BO!a 910 08 5552 0.73 8.23 7.12 30000 B01 6182 0.31 22500 BIIV 7252 0.73* 25000 9.0 +57°153 BII-II 0.7322500 8.35 B318 7103 0.53* 15000 7.57 B51B 4768 0.22 18000 8.4 B8V -60°130 0.21 18000 8.0 5342 **B811** 0.35 13000 8.74 B811 6048 0.29 15000 8.86 **B911** 7370 B8p B9V 12000 8.47 5797 0-24= 12000 9.5 62°158 62°159 0.10* 8.0 B9V 11000 0.16* 11000 8.8 57°177 B9V 0.13 8.55 AOIV 10000 3673 4296 0.16* 8.81 AOIII 10000 8.84 6.74 7.82 0.16* 10000 5429 AOV0.03 3519 BSIV 12000 11000 0.009 B9V 5409 7.81 AIIV 0.05 10000 5071 A0-A11V 8,25 0.019 6382 9500 6.87 0.021 6475 9000 A3V 7.35 -0.01* 8000 3881 7.15 A3V F2IV 7500 5813 8,68 0.03* 7000 6500 4442 3724 8.69 -0.02* F4V 8.8 +57°149 -0.015* 6500 P5IV -0.011 5015 4.80 6000 F8V 9.2 F8V -0.U2* 6250 4602 7.68 6755 GOV 6000 6500 5500 5,83 0.017 6210 F8V 6.43 5459 0.002 **G8III** 4.04 5395 **G8111-1V** 0.004 5500?

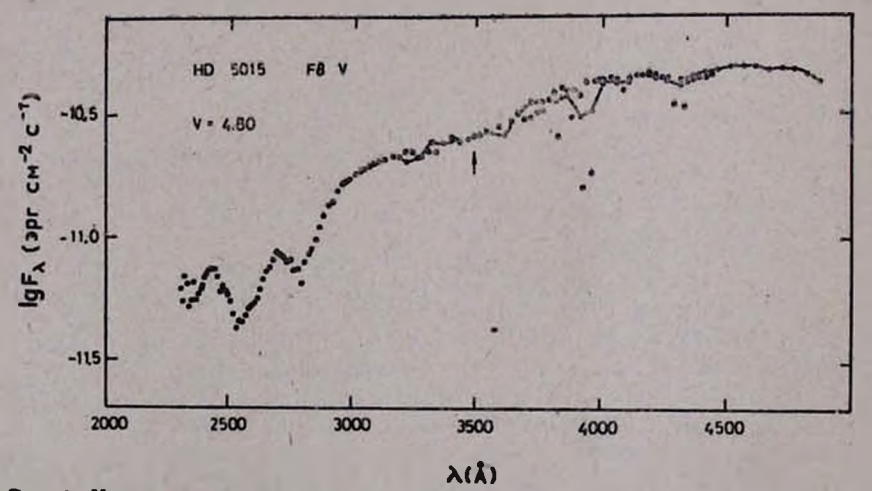


Рис. 1. Кривая распределения монохроматических потоков в непрерывном спектре звезды HD5015 в абсолютных энергетических единицах (до 3500 А по данным «Орнона-2», длиниее 3500 А—точки по Абастуманским материалам, кружки по данным [6])

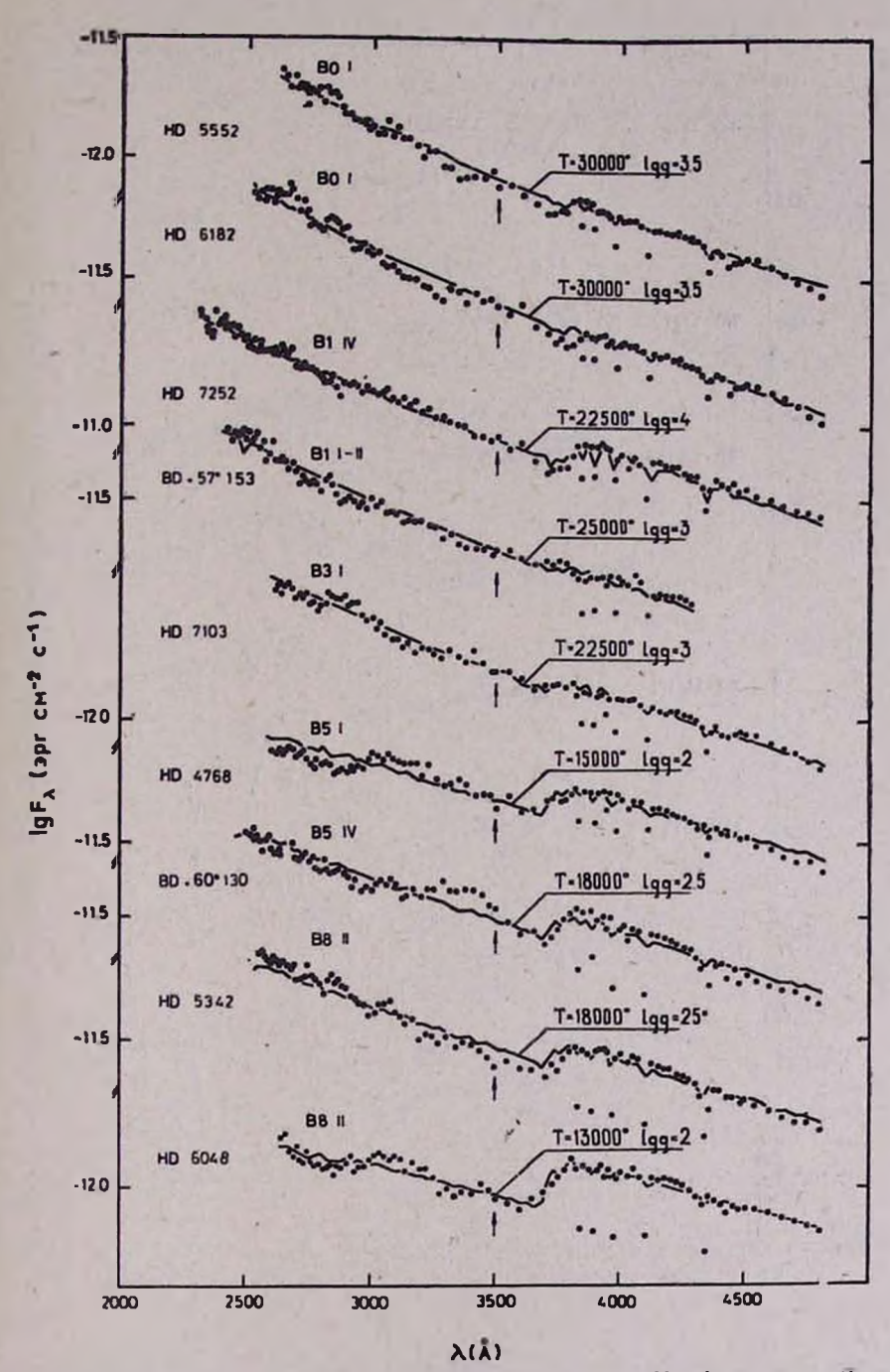


Рис. 2. Наблюдаемые распределения энергии (короче 3500 А—данные «Ориона-2», длиннее 3500 А—наземные наблюдения) в непрерывных спектрах звезд классов ВО—В8. Сплошные линии—теоретические модели при заданных значениях $T_{\rm эфф}$ и $\lg g \ [4]$

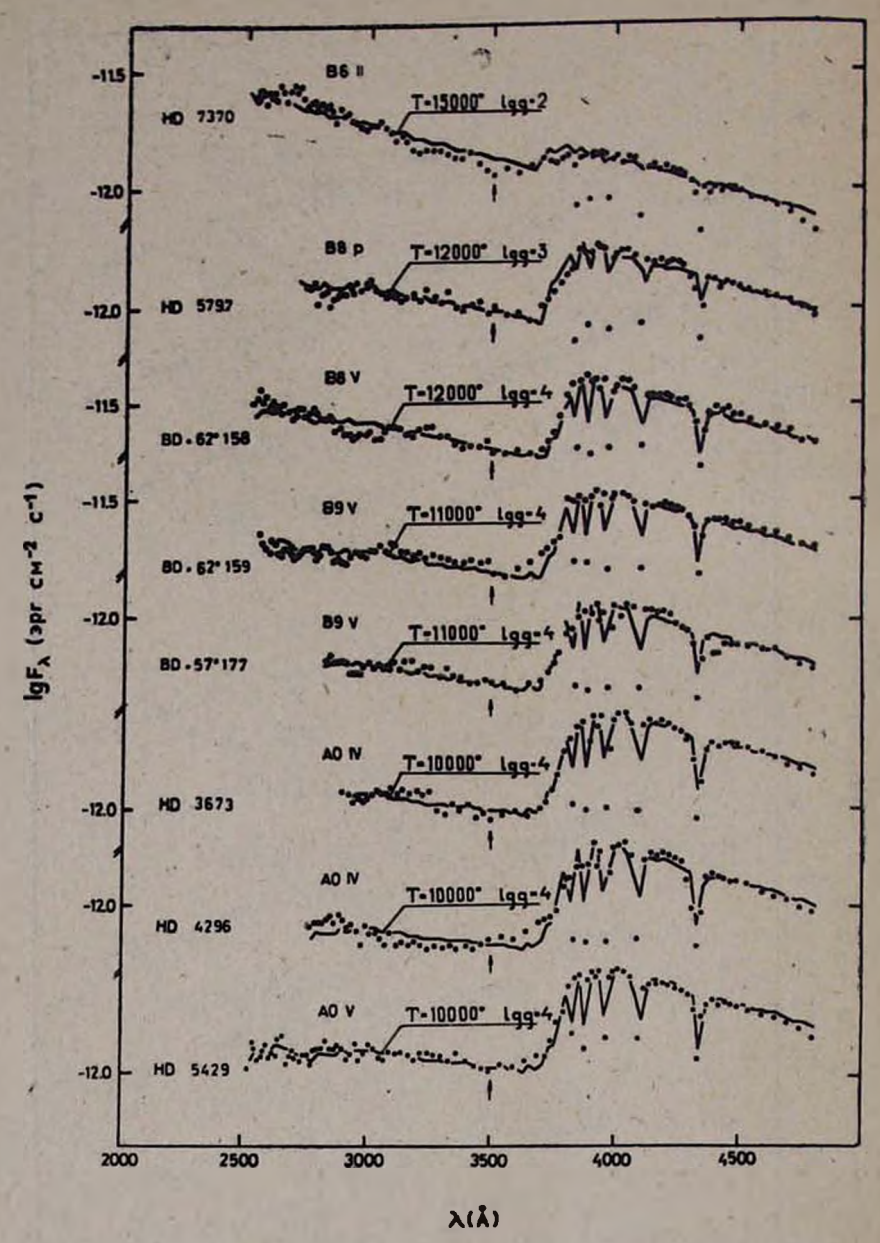


Рис. 3. То же, что и на рис. 2, для звезд классов В6--А0

и на всех последующих рисунках указывает коротковолновую граници наземных наблюдений) и по результатам наземных наблюдений [6] (кружки). Коэффициенты абсолютизации для двух измеренных пластинок оказались равными—12,78 и—13,08 соответственно.

Для исследованных 33 звезд обработано 66 спектрограмм в области 3500—4800 А. Измерения проводились с интервалами $\Delta = 25$ A, иногда

10 A.

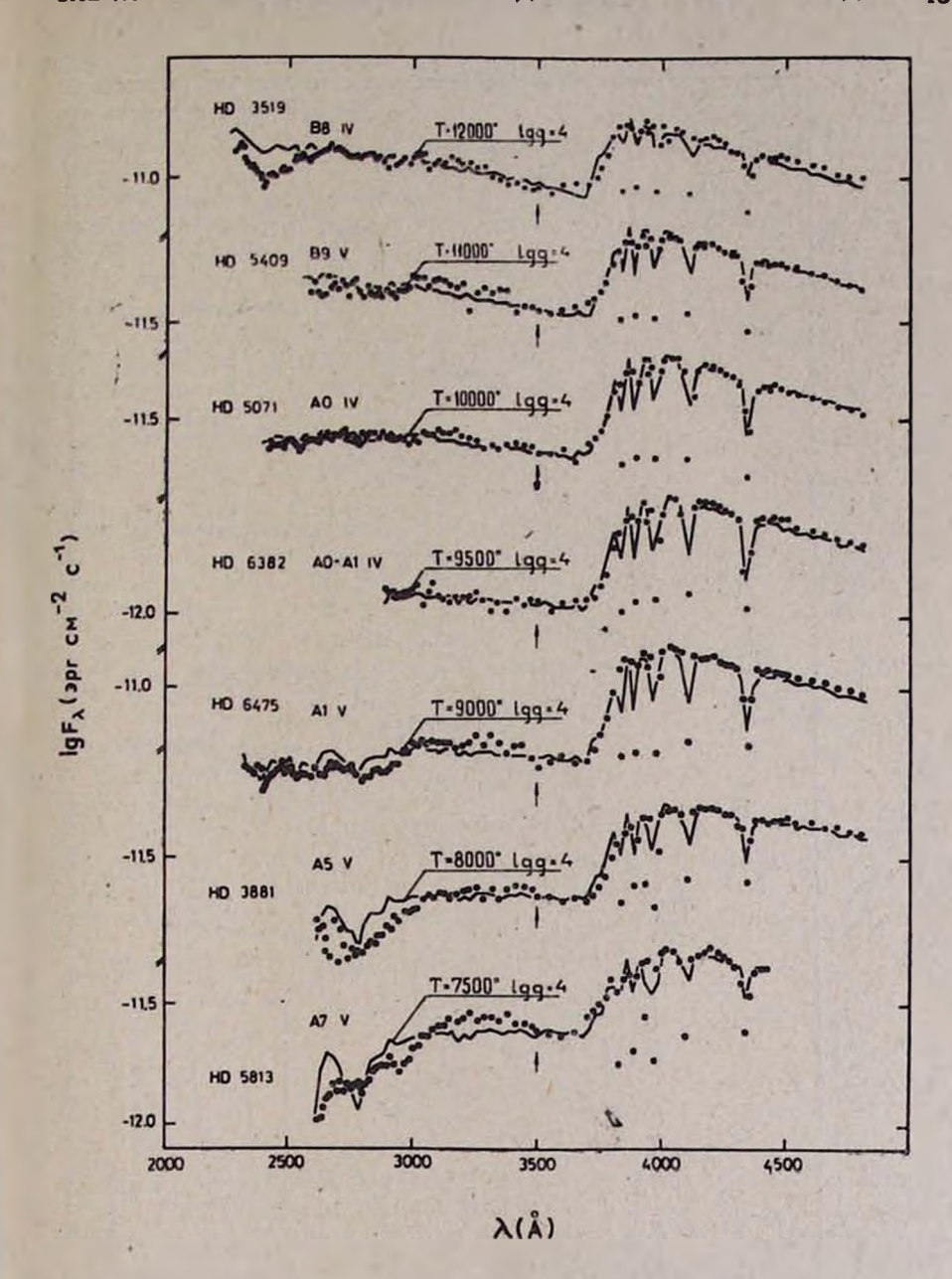


Рис. 4. То же, что и на рис. 2, для звезд классов В8—А7. Имеется депрессия в непрерывном спектре звезды HD3519 на 2400 A

Найденные распределения энергии в непрерывных спектрах звезд исправлялись за влияние межзвездного избирательного поглощения для случаев с E(B—V) ≥0 ™03, что соответствует расстояниям ~400 пс [2] (для г < 400 пс селективное поглощение практически отсутствует [7]).

Результатом наших измерений являются распределения энергии в спектрах каждой из исследованных звезд в шкале абсолютных еди-

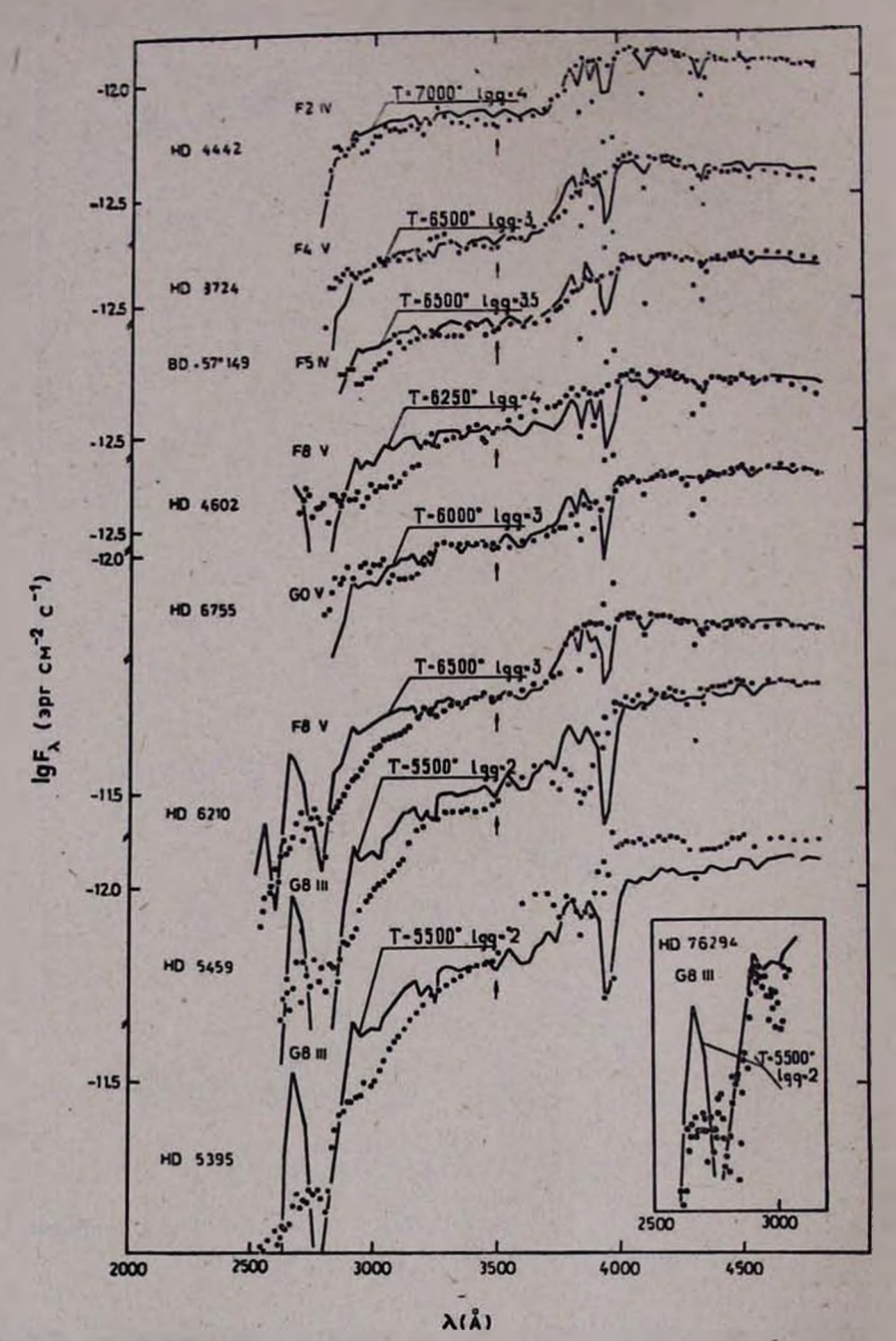


Рис. 5. То же, что и на рис. 2, для классов F2—G8

ниц. Они представлены в графической форме на рис. 2—5. При этом на рис. 2 и 3 распределения энергии исправлены за влияние межзвездного поглощения по избытку цвета E(B-V) и известной зависимости $X_{\lambda} = E(\lambda - V)/E(B-V)$ [8]. В случае же двух последних рисунков ис-

правления за межзвездное поглощение не проводились. Результаты наших наблюдений в коротковолновой области (2200—3500 A) представлены в [1] как в табличной, так и графической форме, в длинноволновой же области мы ограничились представлением лишь их графиков.

Полученные распределения энергии сопоставлялись с теоретическими моделями Куруча [4], и найденные таким образом эффективные

температуры приведены в последнем столбие табл. 1.

На рис. 2 приведены распределения энергии в спектрах звезд классов B0I—B8II. Для звезды BD+60° 130 в каталоге «Ориона-2» указан спектральный класс B8, найденный нами ранее, согласно Абастуманским критериям классификации. Одиако, как видим, комбинированные наблюдения дают для спектрального класса этой звезды B5, быть может даже B3.

На рис. З представлены результаты для звезд классов B6—A0. Хочется заметить, что для HD 7370 также уточнился спектральный класс B6 (в каталоге для нее указан B8). То же самое можно сказать н о звездах HD 3881 и HD 5813, распределения энергии которых приведены на рис. 4. В каталоге для них приведены классы A3, на основании последних они оказались класса A5 и A7 для HD 3881 и HD 5813 соответственно.

Поздние спектральные классы F2—G8 представлены рис. 5. В случае двух последних звезд, HD 5459 и HD 5395, особенно у второй, сопоставление с теоретической моделью T=5500°K проведено условно, так как спектральному классу G8 соответствует T_{*фф} =5000°, теоретическая модель для которой в сетке Куруча отсутствует.

Аналогичная картина между наблюдениями и теорией, по крайней мере в районе 2800 А, налицо и для звезды HD 76294, спектрального класса G8III, наблюденной спутником IUE [9] (см. нижний угол рис. 5).

Сшивание ультрафиолетовых и наземных распределений энергий (в районе 3500 A) позволило уточнить коэффициенты редукции од для области 3815—3478 A, приведенные в каталоге «Ориона—2» [1].

По	правки	для	десяти	точек	следующие:	
	λ.			$\Delta \log \delta_{\lambda}$	λ	Δ1gδ).
	3815			-0.31	3620	-0.12
	3774			-0.28	3584	-0.09
	3734			-0.23	3548	-0.07
	3674			-0.18	3515	-0.06
	3656			-0.15	3478	-0.03

Чтобы убедиться в правомерности полученных результатов проводилось сопоставление, с одной стороны, результатов «Ориона—2», собранных, в частности, в «Каталоге ультрафиолетовых спектров 900 слабых звезд» [1], с результатами спектрофотометрических наблюдений Сорегпісия, ОАО—2, TD—1A, ANS, IUE, а также расчетные значения потоков в U и В лучах с наземными наблюдениями, с другой.

Сопоставление в ультрафиолетовой области можно провести в отношении, по крайней мере, двух, а может быть и трех десятков звезд, которые были наблюдены и «Орионом—2» и одной из упомянутых орбитальных обсерваторий (максимум числа звезд, наблюденных «Орионом—2», приходится на 10^т, в то время как для вышеперечисленных обсерваторий этот максимум приходится на 6^т—7^т). Число сопоставляемых звезд может быть больше—порядка 200—в случае S2/68 (TD—1A) [10], но в этом случае речь будет идти о сравнении потоков лишь в одной точке—на длине волны 2740 A.

Подобно тому, как это было выполнено в отношении 108 звезд спектральных классов O4—F8 (когда сопоставления проводились между \$2/68 и OAO—2 [11]), ками были вычислены разницы потоков АГ на 2740А для 96 звезд классов О6—G0 из областей неба вокруг тСав. ЗАиг, тАиг, тТаи, * Ori:

$$\Delta F = 1gF_{2740}$$
 (S2/68)— $1gF_{2740}$ ("Ophon-2").

Полученные разницы ΔF в зависимости от спектральных классов нанесены точками на рис. 6. Хотя на рисунке это и не отмечено, но

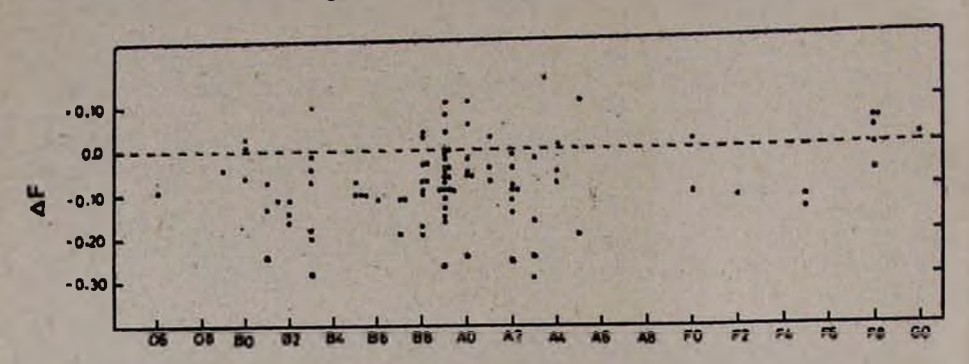


Рис. 6. Разницы потоков ∆F на длине волны 2740 A по данным S2/68 и «Орнона-2», по абсциссе—спектральные классы

какой-либо особой селекции в отношении классов светимости (сверх-гиганты, гиганты, карлики) при этом не было обнаружено. Как видим, разницы ΔF в среднем больше у звезд классов В, чем у поздних спектральных классов. Систематическое различие между потоками, измеренными S2/68 и «Орионом—2» на волне 2740 А составляет в среднем—0,10. В уже отмеченной публикации [11] разница в потоках между данными S2/68 и ОАО—2 оказалась порядка —0.08. Заметим, что данные S2/68 на 2740 А относятся к спектральной полосе пропускания 310 А, в то время, как спектральное разрешение «Ориона—2» на этой длине, также как и ОАО—2, порядка 22 А.

В табл. 2 приведены логарифмы потоков F (3500) и F (4270 или (4400) для 37 звезд, расположенных в области Сав, причем для 14 из них (они отмечены звездочкой) распределения энергии в настоящей

работе не рассматривались.

Во втором и третьем столбцах даны U и В величины, найденные по известным значениям В—V и U—В для исследованных звезд [2, 12]. Потоки в логарифмической шкале в U и В лучах (U=3500 A, B=4270 A для В—А звезд и 4400 A для F—G) по известной величине потока на этих же длинах волн звезды HD 5015 были найдены из следующих соотношений:

$$\begin{split} &\text{Ig } \frac{F_U^*}{F_0^0} = -0.4 \ (U^* - U_0), \\ &\text{Ig } \frac{F_B^*}{F_0^0} = -0.4 \ (B^* - B_0). \end{split}$$

Как видим, расчетные значения потоков, найденные как по наблюдениям «Ориона—2», так и по наземным наблюдениям, находятся не в плохом согласии друг с другом. В среднем расхождения в U и В

Таблица 2 Логарифмы потоков F (3500) и F (4270) исследованных звезд в области у Cas

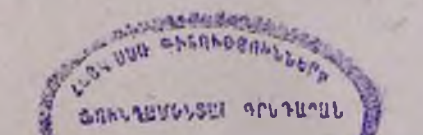
			lg F*	(3500)	lg F ⁴	(4270)
HD, BD	U	В	вычислен.	"Орион-2"	вычислен.	наземные
5015	5m 48	5m 36	-10,59		-10,36	
5552	9.50	9.79	-12,20	-12,14	-12,13	-12,07
6182	8.24	8.70	-11.69	-11,68	11,70	-11,65
7252	6.47	7.21	-10,99	-11,05	—II,10	11,07
7103	8.60	8.88	-11,84	-11,78	-11.77	-12.79
4768	7.61	7.95	-11,44	-11,39	-11,40	11,30
-J-60°130		8.49	0.00		-11,61	-11,66
7370		8.99	0.51		-11,81	-11,87
5342	7.97	8.13	-11,59	-11.62	11,47	-11.52
6048	8.73	8.97	11,89	-12,00	-11,80	-11,84
5429	8.97	9.07	-11,99	-11,99	-11,84	-11,65
5797	8.87	8.67	11,95	-12.00	-11,68	-11,69
3519		6.75			-10,92	-10.89
5409		7.82			-11,34	-11.21
6382	8.55	8.43	-11,82	-11,95	-11,59	-11,58
5071	7.95	7.87	-11.58	-11,59	-11,36	-11.32
6475		6.87			-10,96	-10,90
4442	- 1	9.10			-11,86	-11,91
3724		9.14			-11,87	-11.95
6210		6.37	11 70	11.00	-10,76	-10,82
6755	8.48	8.40	—11,79	-11,89	-11,58	-11,70
5459	= 00	7.34	10.00	10.07	-11,15	-11,17
5395	5.66	5.56	-10,66	-10,97	-10,44	-10,54
6832*	8.06	8.35	-11,62	-11,70	-11,56	-11,49 -11,57
6073*	9.29	8.40	-12.11	-12.22	-11,58	-10,42
5408*	5.15	5.48	-10,46	-10,53	-10,39	-10,42 $-10,84$
7157*	6.34	6.64	—10,93	-10,98	—10,87	—10,64 —11,67
4674*	5 00	8.52	11.45	71 40	-11,62	—11,07 —11,26
7331*	7.69	7.73	-11,47	-11,49	-11,31	10,87
6130*		6.41			-10,78	-11,89
5649*		9.31			-11,94	—11,63 —11,94
5890*		9.19	7	1 0 10	-11,89	—11,70 —11,70
5851*		8.59			-11,65 -11,94	—11,70 —11,98
5702*	0.04	9.30	11.60	11 65	-11,94 $-11,22$	-11,25
4362*	8.24	7.50	11,69	-11,65	-11,22 -11,43	-11,25
5747*	7 00	8.03	11 21	11 22		-10,64
5234°	7.28	6.03	-11,31	—11,33	—10,63	-10,04

лучах составляют 0.12 и 0.15 соответственно. Возможно случаи значительных отклонений вызваны неточностями в определении U-В и В-V.

В связи с этим отметим, что сопоставления фотометрических потоков ОАО-2 для 531 звезды и спектрофотометрических данных ОАО-2 для 213 звезд с UBV фотометрией для большинства звезд, наряду с фотометрией нидерландского спутника ANS для 363 объектов (1550-3300 A) и потоками TD-1A для 488 звезд дали расхождение 0^m 13 в U лучах и 0 ^m67 в В лучах [13].

Спектральное разрешение менискового телескопа «Орион—2» с объективной призмой позволило исследовать, в основном, непрерывные спектры звезд, сильные спектральные линии, слившиеся друг с другом, а также иного рода локальные спектральные образования звездного,

околозвездного или межзвездного происхождения. Обращает на себя внимание депрессия в непрерывном спектре звезды HD 3519, класса B8IV на д. 2400 А. Эта депрессия свидетельствует о том, что вокруг этой звезды, вероятно, имеется околозвездное



облако, подобно тому, как это было выявлено у ряда горячих звезд, на основании как данных «Ориона—2» [14], так и ОАО—2 [15].

По величине или мощности наблюдаемой депрессии H₀ на 2400 A можно определить, как это было сделано ранее [16], некоторые параметры окружающего звезду облака, в частности, концентрацию водо-

родных атомов, радиус и массу облака. Прежде всего необходимо найти глубину депрессии H_0 (2400), выраженную в звездных величинах. Если Δm_0 —уровень депрессии на теоретической модели, а Δm_0 —уровень депрессии на наблюдаемой кривой, то можно записать для H_0 (2400):

$$H_0$$
 (2400) = $[1 - 10^{-0.4 (\Delta m^* - \Delta m_0)}]$.

Найденная таким образом глубина депрессии для звезды HD 3519 оказалась равной 0 $^{\infty}28$. Приведенная оптическая толща на 2400 Å в этом случае будет равна t_0 =0,9 (использовался рис. 15 в [16]).

Параметры же облака—концентрацию водородных атомов n_0 . радиус R_0 и массу m_0/m_0 —мы находим с помощью следующих формул

Γ161:

$$n_0 = 3.3 \cdot 10^4 \cdot \Phi \cdot t_0^2 \text{ cm}^{-3},$$
 $R_0 = 10^{-2} \cdot (\Phi \cdot t_0)^{-1} \text{ nc},$
 $\mathfrak{M}_0/\mathfrak{M}_{\odot} = 3 \cdot 10^{-8} (\Phi \cdot t_0)^{-1},$

где Ф—безразмерный параметр, зависящий от коэффициента дилюции W и отношения концентраций атомов в фотосфере звезды n_e и об-

лаке n_0 : $\Phi = W \frac{n_*}{n_0}$. Найденные численные значения n_0 , R_0 и $\mathfrak{M}_0/\mathfrak{M}_0$

для ряда значений Ф следующие:

Φ	n _o	R_0	M°0/M°
	CM-3	пс	
0.005	1,3.10	2,2	130
0.01	2,7.10	1,1	33
0.05	1,3.103	0,2	1,3
0.1	2,7.10 ³	0,1	0,3

Сделать выбор среди этих вариантов мы не можем, не располагал дополнительными данными о числовом значении Ф. Тем не менее результаты расчетов, соответствующие варианту с $\Phi = 0.1$, кажутся нам более правдоподобными: в этом случае концентрация в обращающем слое звезды B8IV и при радиусе звезды $R_{\circ} \approx 3R_{\odot}$, получается равной $n_{\circ} \approx 3 \cdot 10^{15} \text{см}^{-3}$, величина, типичная для атмосфер звезд этого класса.

А вообще большие значения для масс околозвездных облаков, повидимому, не являются, в принципе, невозможными. По крайней мере на это указывают результаты повейших субмиллиметровых наблюдений [17], проведенных в полосах СО (80—120 гГц) в отношении группы из одиннадцати звезд классов ВО—А7. В семи случаях массы околозвезлных облаков вокруг этих звезд оказались больше ста солнечных масс—от 300№ до 900№ и только в четырех случаях—меньше ста № в пределах от 1№ до 50 № .

Следует заметить, однако, что даже при $\Phi \sim 0.1$, когда концентрация водородных атомов в облаке получается порядка 10^3 см $^{-3}$, оно не может быть обнаружено прямыми наблюдениями в оптическом диапазоне: центральная звезда класса B8 с эффективной температурой 12000^{0} К недостаточно мощная для того, чтобы осветить его до преде-

лов обнаружения,

Заключительные замечания

1. Сопоставления потоков на 2740 А 96 звезд классов Об-СВ по ланным «Орнона—2» и фотометра S2/68 показали систематическое

отклонение со средним значением—0,10 от результатов S2/68.

2. Комбинированные распределения эпергии в днапазоне 2200— 4800 А позволили уточнить спектральные классы для нескольких звезд и найти эффективные температуры для всех исследованных звезд метолом моделей атмосфер: сопоставления проводились с теоретическими распределениями Куруча.

Уточнены также коэффициенты редукции для области 3815—3478 А.

приведенные в каталоге «Ориона-2».

3. Расчетные значения потоков в U и В лучах находятся в хорошем согласии с тем, что дали наблюдения «Ориона—2», с одной стороны, п наземные, с другой.

Авторы благодарны профессору Г. А. Гурзадяну за полезные советы

в процессе выполнения данной работы.

14 ноября 1984 г.

Ս. Ս. ՌՈՒՍՏԱՄԲԵԿՈՎԱ, Ռ. Ա. ԵՓՐԵՄՑԱՆ

y Cas ՇՈՒՐՋ ՄԻ ԽՈՒՄԲ ԱՍՏՂԵՐԻ ՍՊԵԿՏՐԱԼՈՒՍԱՉԱՓԱԿԱՆ ՀԵՏԱՉՈՏՈՒԹՅՈՒՆ ՈՒԼՏՐԱՄԱՆՈՒՇԱԿ ԵՎ ՏԵՍԱՆԵԼԻ ՏԻՐՈՒՅՔՆԵՐՈՒՄ

Նևրկալացված են 33 B0—G8 աստղերի սպեկտրալուսաչափական՝ երկրային և արտամ Թնոլորտային դիտումների համակցված արդյունջները։

Բերված են այդ աստղերի անընդհատ սպեկտըներում էներգիաների բաշխման կորհրը 2200—4800 A այիջային միջակայքում՝ արտահայտված էներգետիկ բացարձակ միավորով։

«Օրիոն-2» և S2/68 դիտափորձերով ստացված հոսքերի համեմատությունը 2740 A ալիքում ցույց է տալիս, որ դրանց միջև կա մշտական շեղում՝ միջի-

նում-0,10 չափով։

U և B ճառագայթներում այդ աստղերի հոսքերի հաշվարկային արժեքները՝ ստացված Համապատասխանորեն «Օրիոն-2»-ի և երկրալին դիտումներից, գտնվում են համաձայնության մեջ։ Համեմատելով էներգիաների համակցված րաշխումները 2200-4800A տիրույթում տեսական մոդելների հետ, ճշարվել են որոշ աստղերի սպեկարալ դասերը և բոլոր ուսումնասիրված աստղերի համար որոշվել արդյունարար ջերմաստիճանները (աղլուսակ 1)։

S. S. RUSTAMBEKOVA, R. A. EPREMIAN

A SPECTROPHOTOMETRIC INVESTIGATION OF A GROUP OF STARS AROUND 7 CAS IN ULTRAVIOLET AND VISIBLE REGIONS

The results of the spectrophotometric measurements of the combined—ground based and space—of 33 B0—G8 type stars are presented. Combined energy distributions in the continuum of these stars in the

range 2200-4800 Å in absolute energetic units are built. Comparison of stellar fluxes at 2740 Å as observed by \$2/68 and "Orion-2" showes a sistematic deflexion with mean value of -0.10. Calculated values of fluxes in U and B bands with either "Orion-2" and ground based observations show good agreement. More correct spectral types for a few stars were defined. On the basis of the comparison of the combined energy distributions in the wavelength 2200-4800 Å with the theoretical models the effective temperatures of stars are determined.

ЛИТЕРАТУРА

1. Г. А. Гурзадян, Дж. Б. Оганесян, С. С. Рустамбекова, Р. А. Епремян, Каталог ультряфиолетовых спектров 900 слабых звезд, Ереван, Изд-во АН АрмССР, 1985.

2. U. Sjögren, Arkiv för Astronomi, 21, Band 3. 339, 1964. 3. К. У. Аллен, Астрофизические величины, М., Мир, 1977.

- 4. R. L. Kurucz, Ap. J. Suppl. Ser., 40, 1, 1979. 5. Г. А. Гурзадян, Р. А. Епремян, Дж. Б. Оганесян, С. С. Рустамбекова, Астрофизика, 18, 398, 1982.
- 6. Спектрофотометрия ярких звезд (под ред. И. Н. Глушневой), М., Наука, 1982. 7. В. И. Ворошилов, Н. Б. Каландадзе, В. И. Кузнецов, Бюллетень Абастумпиской обс., 43, 67, 1972.
 - 8. Nandy K., G. T. Thomson, C. Jamar, A. Monfils, R. Wilson, Astron. Ap., 44 195, 1975.
- 9. C.-C. Wu, T. B. Ake, A. Boggess, R. C. Bohlin, C. L. Imhoff, A. V. Holm Z. G. Levay, R. J. Panek, F. H. Schiffer, B. E. Turnrose, The IUE Ultraviole Spectral Atlas, NASA IUE Newsletter 22, 1983.
- 10. G. T. Thomson, K. Nandy, C. Jamar, A. Monfils, L. Houziaux, D. J. Carnochan R. Wilson, Catalogue of Stallar Ultraviolet Fluxes, Science Research Council,
- 11. R. Faraggiana, M. L. Malagnini, Astron. Ap., 137, 149, 1984.
- 12. V. M. Blanco, S. Demers, G. G. Douglass, M. P. Fitzgerald, Publ. U. S. Naval Obs., second ser., p. 21, 1968.
- 13. J. Koornneef, M. R. Meade, P. R. Wesselius, A. D. Code and R. J. van Duinen. Astron. Astrophys. Suppl. Snr. 47, 341, 1982.
- 14. С. С. Рустамбекова, Астрофизика, 16, 457. 1980. 15. С. С. Рустамбекова, Астрофизика, 19, 533, 1983. 16. G. A. Gurzadyan, S. S. Rustambekova, Ap. Space Sci., 69, 269, 1980.
- 17. J. Canto, L. F. Ronriguez, N. Calvet, R. M. Levreault, Ap. J., 282, 631, 1984.

Р. А. ВАРДАНЯН

диаграмма цвет (I—K)—визуальная звездная ВЕЛИЧИНА ДЛЯ ЗВЕЗД РАННИХ И ПОЗДНИХ СПЕКТРАЛЬНЫХ **КЛАССОВ**

В 1973 г. нами было показано [1], что у звезд-гигантов одинакового спектрального подкласса типа М, наибольшая поляризация наблюдается преимущественно у тех, которые имеют большие значения цвета I—K. Было показано также, что с увеличением цвета І-К средняя поляризация переменных звезд поздних типов также увеличивается. Наряду с этим среди звезд, имеющих одинаковый цвет, (В—V или I—K) слабые по блеску звезды (соответственно в V или K области спектра) имеют избыточную поляризацию относительно ярких [2].

Поскольку, собственная поляризация света звезд коррелирована с цветом І—К, а также с визуальной звездной величиной, нами была построена диаграмма: цвет (I—K)—визуальная звездная величина для

звезд поздних спектральных подклассов КО. МО, М5, М7.

С этой целью мы воспользовались данными каталога Нойгебауера и др. [3]. Для построения этой диаграммы мы выписали данные І-К отдельно для указанных типов звезд в порядке увеличения визуальной звездной величины V. Расположив в этом порядке список этих звезд, мы тем самым приписали каждой звезде определенный порядковый номер.

После цифровой фильтрации І-К по медиане [4] и усреднения величины V и (I—K)ф по порядковым номерам групп звезд № 1—11, 6-16; 11-21; для каждого подкласса звезд была построена за-

висимость между величинами V и (I—K), . Эта зависимость приведена на рис. 1 для звезд спектрального типа КО, а для звезд типов МО, М5, М7-на рис. 2. На последнем рисунке обозначена также зависимость для спектрального подкласса КО, но уже в виде усредненной пунктирной линии, соответствующей рис. 1. Полоса, изображенная на рисунках для каждого подкласса звезд, соответствует среднеквадратичному отклонению $\sigma(I - K)$. Из рисунка видно, что дисперсии σ(І--К) для поздних подразделений типа М имеют большие значения (до 0 %8).

Приведенные диаграммы для звезд спектральных подклассов КО и МО хорошо представляются следующими экспоненциальными зави-

симостями (I-K) ф от V.

$$(1-K)_{\phi} = \exp [0.172V] - 0.55 \pm 0.12$$
 (1)

для звезд КО и

$$(1-K)_{\phi} = \exp [0.12V] + 0.55 \pm 0.17$$
 (2)

для звезд МО.

У звезд более поздних спектральных подклассов дисперсия σ(I—K)ф, как уже указывалось, велика и о подобных зависимостях трудно пока говорить. Кроме того, при значении V≥9т 0 величины (I—K) для всех подклассов звезд приближаются к 4т 0. Теперь рассмотрим два вопроса:

1. Чем обусловлена большая дисперсия σ (I—K) у звезд поздних

спектральных подклассов (M)?
2. Почему при V≥9т 0 цвет I—К у звезд спектральных подклассов М0, К0 (и как мы покажем ниже, у звезд В. А. F0, G0) стремится к значению 4 ... 0, соответствующему поздним подклассам М-знезд (M5-M7)?

Для ответа на первый вопрос постараемся выяснить: не связана ли наблюдаемая большая дисперсия І-К с изменением блеска звезд?

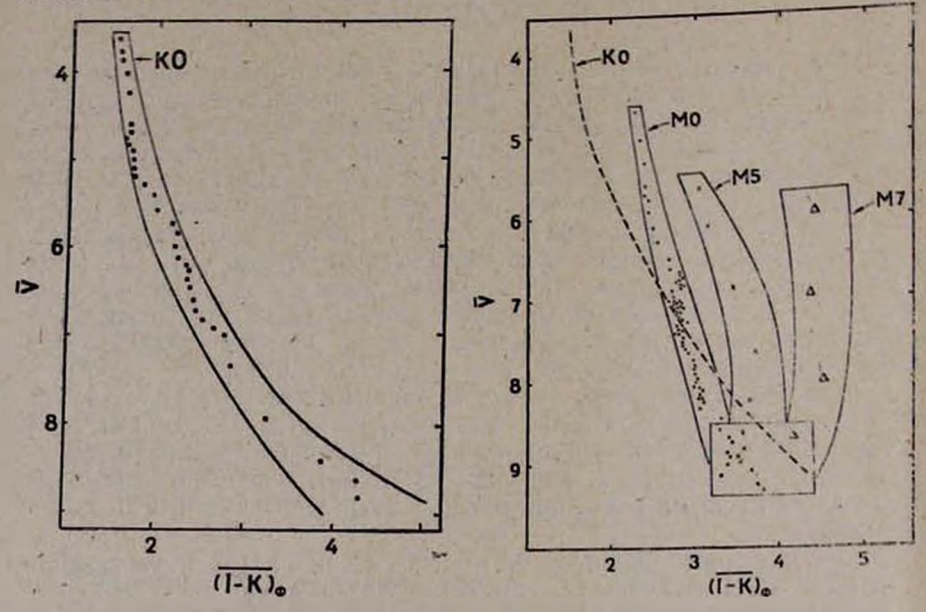


Рис. 1. Зависимость между величинами V и (I-K) для звезд типа K0

Рис. 2. Диаграмма цвет (1-К)визуальная звездная величина (V) для звезд типов КО, МО. М5, М7

С этой целью из каталога [3] мы выписали все те потенциальные в инфракрасной области переменные звезды (в количестве 14 штук), для которых имеются измерения І-К, полученные за 7 и болес ночей. Для каждой из этих 14 звезд мы выписали величины I—К и К только для 7 наиболее точных измерений.

Список этих звезд приводится в табл. 1. В ней даны номера по каталогу [3], максимальная разница цветов $\Delta(I-K)$ (полученная по время наблюдений 7 различных ночей) и ошибки измерений (о). В табл. 1 звезды расположены в порядке уменьшения ошибок измерений.

Как следует из табл. 1, при уменьшении ошибки измерения наблю-

дается некоторое уменьшение величины $\Delta(I - K)$.

Далее, для получения статистической зависимости величины К от (І-К)ф из каталога [3] для каждой звезды по порядку уменьшения величины К были выписаны значения цветов І—К 7 различных измерений.

После проведения цифровой фильтрации І-К по медиане (для каждой звезды отдельно) мы усреднили величины К и (І-К) отдельно для этих 7 измерений у 14 звезд и, таким образом, было получено среднее значение (І-К) ф по порядку уменьшения величины К.

Для наглядности на рис. 3 приводится эта зависимость. Зависимость К от (I—K) ф выражается формулой

$$(I-K)_{\phi} = 5.234 - 0.642K \pm 0.06.$$
 (3)

Из вышеприведенных данных следует, что при изменении блеска К цвет I—К меняется незначительно (<0 т. 2). Значит, наблюдаемая значительная дисперсия цвета I—К у переменных звезд поздних типов не обусловлена изменением их блеска.

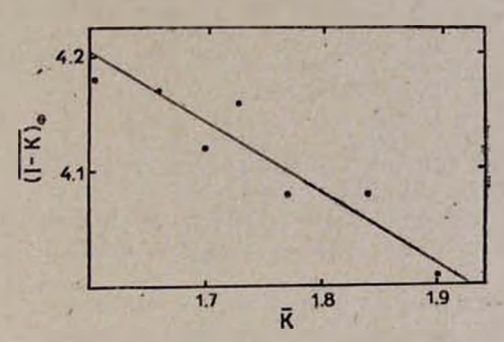


Рис. 3. Зависимость между величинами K $_{\rm H}$ (1—K) $_{\rm th}$ для переменных звезд типа M

		11.3			Таблица 1
№ IRC	Δ(I—K)	σ	№ IRC	Δ(I-K)	g
40503 20228 00363 40437 10479 00311 30292	1.25 0.52 0.49 1.08 0.45 0.41 0.81	0.17 0.17 0.16 0.14 0.14 0.12 0.11	30306 30379 30339 30220 40531 30340 40051	0.52 0.87 0.37 0.32 0.61 0.70 0.29	0.11 0.10 0.10 0.09 0.09 0.08 0.08

Теперь выясним, не связана ли большая дисперсия цвета I—K с систематическим различием цветов (I—K) у звезд поздних типов с эмиссионными линиями и без них.

С этой целью из каталога [3] для эмиссионных звезд МЗЕ, М4Г, М5Е, М6Е, М7Е мы сопоставили цвета (I—K) с соответствующими цветами звезд тех же спектральных подклассов, не имеющих эмиссионный спектр. Сопоставлены нами также цвета (V—I).

В табл. 2 приводятся усредненные значения цветов (I—K) и (V—I) для указанных звезд. В последней строке табл. 2 под чертой, приведены усредненные значение цветов (I—K) и (V—I) для звезд всех подклассов.

Как следует из табл. 2, среднее значение цвета (I—K) звезд с эмиссионными спектрами систематически больше, а цвета (V—I) меньше тех же величин для звезд без эмиссионных линий. Поэтому значительную часть наблюдаемых больших дисперсий σ(I—K) у звезд спектральных подклассов МЗ—М7 можно объяснить разностью в цветах I—К звезд с эмиссионными и неэмиссионными спектрами.

Теперь вернемся к вопросу о том, почему цвет (I-K) звезд спектральных подклассов М0 и K0 с уменьшением блеска стремится к 4^m , 0,

т. е. к цвету звезд поздних типов М5-М7.

Таблица 2
Эмиссионные звезды спектрального типа М Неэмиссионные звезды спектрального ти-

Sp	I—K	V—I	Sp	1-K	VI
M3E M4E M5E M6E M7E	4.03 3.89 4.24 3.82 4.63	0-22 0-61 1-10 1-78 2.17	M3 M4 M5 M6 M7	3.20 3.10 3.51 3.49 4.34	2.95 2.77 2.99 2.86 2.37
Сред.	4.12	1.18	Сред.	3.53	2.79

В связи с этим вопросом отметим, что указанный эффект наблюдается также у звезд ранних спектральных классов (B, A, F0, F5, G0, G5). Имеющиеся наблюдательные данные свидетельствуют, что, действительно, для таких звезд, слабее $V \geqslant 9$ 0, цвета I - K мало отличаются от 4 0.

Для наглядности на рис. 4 приводится днаграмма [$(I-K)_{\phi}$, V] для звезд спектральных классов B, A (точки) и подклассов F0, F5, G0, G5 (крестики), которая показывает, что с ослаблением блеска звезд (V) цвет I-K близок к значению $\sim 4^{\frac{m}{2}}$ 0.

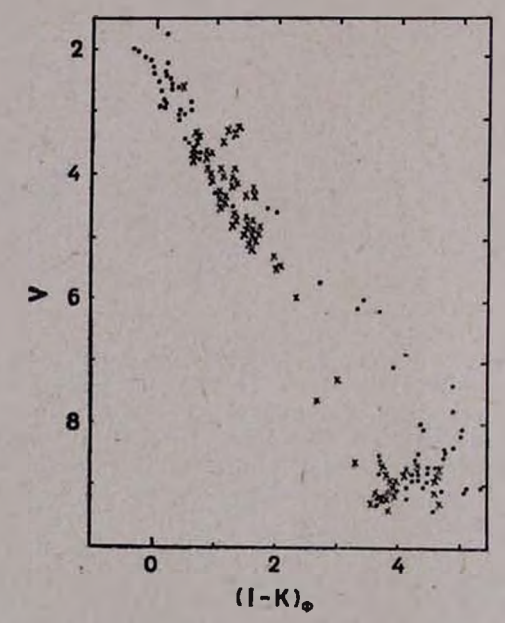


Рис. 4. Диаграмма цвет (I—K)—визуальная звездная величина (V) для звезд спектральных классов В, А (точки) и классов F0, F5, G0, G5 (крестики)

Кроме того, из табл. 3, где приводится распределение количества звезд в зависимости от визуальной величины для этих звезд, следуег, что в интервале $V = 5^m \cdot 0 - 8^m \cdot 0$ наблюдается наименьшее число звезд. Нам кажется, что этот факт дает основание допустить, что в каждом

спектральном классе (от В до К) имеются две различающиеся группы звезд:

а) без пылевой оболочки,б) с пылевой оболочкой.

Можно предполагать, что звезды каждого спектрального подкласса (от A0—K0) в определенной стадии эволюции (может быть начальной) окружены пылевыми оболочками и в основном принадлежат к спектральному классу М. В ходе эволюции они быстро теряют свои оболочки, и их цвет (I—K) от значения 4™0 уменьшается до <1™6 (см. рис. 4). В пользу такого толкования наблюдений говорит тот факт, что большинство рассматриваемых нами звезд спектральных классов В—К, имеющих I—К ≥3™0, проектируются на область О—ассоциаций. Например, в направлении звездных ассоциаций PerOBI и SgrOBI плотность таких объектов более чем в 5 раз превосходит плотность звезд с I—К ≤3™0, спроектированных на окрестности этих же ассоциаций.

Что касается звезд спектральных подклассов М5—М8, то все они окружены пылевыми оболочками, поэтому цвет I—К для них не уменьшается с увеличением их блеска (см. рис. 2).

			Таблица З
v	N(B, A)	N(F,G)	N _{обш}
1-3 2-4 3-5 4-6 5-7 6-8 7-9 8-10 9-11	24 28 11 5 5 8 24 31	1 17 42 32 7 3 13 13 22 11	25 45 53 37 12 11 37 53 22

22 июня 1985 г.

Ռ. Ա. ՎԱՐԴԱՆՅԱՆ

ԳՈՒՑՆ (I—K)-ՏԵՍԱՆԵԼԻ ԱՍՏՂԱՅԻՆ ՄԵԾՈՒԹՅԱՆ ԴԻԱԳՐԱՄ ՎԱՂ ԵՎ ՈՒՇ ՏԻՊԻ ԱՍՏՂԵՐԻ ՀԱՄԱՐ

Նոլգերաուհրի քարտարանի հիման վրա կառուցված (1969) աստղերի դույն (I—K)-տեսանելի (V), աստղային մեծության դիագրամի քննարկումից եզրակացվում է, որ հսկա աստղերը զարգացման մի ինչ-որ փուլում շրջապատված են լինում փոշային թաղանթով։ Փոշային թաղանթը կորցնելուց հետո նրանք անցնում են A, F, G, K սպեկտրալ դասերից որևէ մեկը։

Սակայն այն Հարցը, Թե ԹաղանԹով շրջապատված վիճակը աստղի զարգացման որ փուլին՝ սկզբնական, միջանկյալ, Թե վերջնականին է Համապատասխանում, կարիք ունի հատուկ քննարկման։

R. A. VARDANIAN

THE (I-K)-VISUAL STELLAR MAGNITUDE DIAGRAM OF STARS OF EARLY AND LATE SPECTRAL TYPES

The analysis of (I-K)-visual stellar magnitude (V) diagram of stars from the Neugebauer's Catalog (1969) permits to conclude that in some evolutionary stages the giant stars are surrounded by dust shells

After loosing their dust shells they cross over to A, F, G or K spectral classes. But the question which one of thess stages is in fact the initial one, should be independently discussed.

ЛИТЕРАТУРА

^{1.} Р. А. Варданян, Л. Сабадош, Астрофизика, 9, 454, 1973. 2. Р. А. Варданян, Сообщ. Бюраканской обс. 54, 27, 1983. 3. Neugebauer G., Leighton R. B., IRC Catalog, Pasadena, 1969. 4. Р. А. Варданян, М. О. Закарян, М. С. Мирзоян, Сообщ. Бюраканской обс., 52, 127, 1980.

О КОМЕТАРНЫХ ТУМАННОСТЯХ И РОДСТВЕННЫХ ОБЪЕКТАХ И ИХ СВЯЗИ С МОЛЕКУЛЯРНЫМИ ОБЛАКАМИ

Введение. В обширном классе галактических диффузных туманностей кометарные туманности и родственные им объекты являются представителями подкласса объектов наиболее молодого населения Галактики. Несмотря на то, что ярчайшие туманности были обнаружены еще в конце XVIII века, а в настоящее время их число превышает сто, тем не менее, не существует единого мнения с природе этих объектов. Детальное исследование отдельных кометарных туманностей и родственных объектов (КТРО) выполнено многими авторами, однако трудно указать на такое исследование, в котором рассматривалась бы общая выборка этих объектов. Это в некоторой степени обусловлено тем, что при определении туманности как кометарной следует принимать во внимание не только внешнюю форму туманности, которая может искажаться эффектами проекции, но и спектр, ИК—избыток, переменность и другие формы активности как самой туманности, так и ее ядра.

КТРО как члены молодых звездных систем в подавляющем большинстве случаев ассоциируются с темными туманностями и большими комплексами молекулярных облаков. Открытые в последние годы высокоскоростные молекулярные потоки из ядер некоторых КТРО [1,2], а также другие наблюдения [3] позволяют предположить, что связь между ними и их окружением более тесная, чем это казалось на пер-

вый взгляд.

На основе каталога КТРО [4] в настоящей работе создана выборка объектов с известными расстояниями. Для этой выборки рассмотрен вопрос о линейных размерах КТРО, а также вопрос об их распределении в Галактике. Рассмотрена также связь КТРО с окружающими их молекулярными облаками с кинематической точки зрения, а также корреляция между некоторыми характеристиками КТРО и тех областей

молекулярных облаков, в которые они погружены.

Некоторые характеристики КТРО и молекулярных облаков. Исследованная нами выборка КТРО содержит 51 объект. Для этих объектов выписаны: расстояние, определенное по фотометрическим и спектральным наблюдениям их ядер; лучевая скорость КТРО (приведенная к местному стандарту), определенная по спектральным наблюдениям ее ядра; лучевая скорость молекулярного облака, определенная по молекулам СО, ОН, NH_3 и H_2 CO в направлении КТРО; лучевая скорость молекул СО непосредственно в области ядер КТРО (скоростные потоки): антенные температуры по СО ($J=1\rightarrow 0$) наблюдениям молекулярных облаков, окружающих КТРО.

Объекты в каталоге КТРО [4] по своей внешней форме классифицированы следующим образом: кометарные туманности конической формы (класс Ia), кометарные туманности биконической формы (класс Ib), туманности в виде запятой (класс IIa), туманности в виде дуги (IIb). В настоящей работе, при статистическом исследовании, общая выборка 51 КТРО была разделена на подвыборки согласно этой классификации. Отдельно рассмотрены также подвыборка кометарных

B.
M
HE
1000000
TPOC!
HIB

20	0				VLSR,	KM/C		1,,,	AND ASSESSED.		Таблица
KTPO N	Класс	r, Knc	R, nc	опт.	со	ОН	NH ₈ /H ₂ CO	ΔV FWHM, KM/C	ΔV100mK, KM/C	TA (CO)	Јінт-ра
1	2	3	4	5	6	7	8	9	10	11	12
1 2 3 4 7 10 12 13 14 16 17 18 19 20 21 23 29 32 33 34 38 39 40 42 43 44 52 54 55 56 57 59 64	11a 1a 11a 11a 11a 11b 11b 11a 11a	0.85 1.70 1.70 0.85 2.70 0.50 0.65 0.13 0.16 0.15 0.16 0.16 0.16 0.45 0.45 0.45 0.45 0.45 0.45 0.45 0.45	0.10 0.25 0.09 0.10 0.16 0.07 0.08 0.03 0.12 0.03 0.02 0.52 0.04 0.09 0.20 0.09 0.04 0.12 0.16 0.23 0.23 0.44 0.80 3.32 0.65	-7 12 11 14 6 10 13 4 -24.5 0.4 11.0 5.3 16.0 13.6 12.0	-5.2 -0.8 -0.5 -18.2 -39.0 6.5 -3.0 7.5 7.1 6.3 6.3 6.5 6.4 6.2 10.6 11.7 8.6 9.1 -5.4 6.5 -18.2 5.5 12.4 10.4 2.6 0.2 11.4 7.8 8.0 17.5 9.3	6.4 7.4 5.9 5.8 5.2 7.2	8.5 7.5 7.9 -5.8 -16.9 11.9 10.0 -0.13 7.0	1.6 1.6 3.9 3.9 2.9 2.9 1.3 2.0 1.0 2.0 1.0 2.0 1.3 4.4 3.1 3.6 1.8 4.4 3.9 2.9 1.3 2.6 2.6 1.2 4.0 3.7 1.8	13 5,14 13,31 7 22 4.2,9 6.5	7.6 16.0 14.1 4.4 14.5 8.7 0.5 8.6 4.7 2.6 3.0 2.9 21.0 20.6 22.0 12.3 11.0 10.2 10.2 10.2 10.2 10.2 10.2 10.2	[5,6] [1,6,7] [6,7] [6,7] [5,6] [6,8] [6,9,10,11] [12] [6,13] [5,6,14,15] [1,2,10,14,16,17] [1,2,6,10,18,19] [1,10,14,16,17] [10,14] [14] [10,11,14] [6,10,14,16] [6,20,21,22] [6,21,22,23] [2,6,10,16,21,22,24] [20,24,25] [6,21,22] [6,21,22] [6,21,22] [6,21,22] [6,21,22] [6,21,22] [6,21,22] [6,21,22] [6,21,22] [6,21,22] [6,21,22] [6,21,22] [6,21,22] [6,21,22] [6,21,22] [6,21,22] [6,21,22] [1,2,22,24] [6,16,24,28] [6,29] [1,25,30,31] [29,32] [27,33,34,34] [33,35] [16,27,33,34] [33,35] [16,27,33,34]

	Продолжение таб.											
1	2	3	4	5	6	7	8	9	10	11	12	
70 71 72 76 77 84 87 88 89 91 92 95 98 102	la 1la 1a 1a	1.15 1.15 1.1 1.4	0.17 0.23 0.51 0.28	17.0 11.0	13.8 14.0		14.2	1.3		5.0 17.6	[35,38] [17,24,29,38] [38]	
77 84 87 88	la lla la la	2.2 0.14 0.15 0.6	0.70 0.04 0.07 0.19	34.9	45.6 0.8 6.8	1.0 5.3	0.67 5.7	2.4 1.3 2.6 2.5	3.0	9.0 8.0 13.9	[38] [29] [27,33,35] [6,39,40,41] [6,16,19,42,43] [1,44]	
89 91 92 95	la 1la 1a 1b	2.1 1.0 1.5 0.7	0.55 0.03 0.13 0.22		27.3 2.3 6.5 5.2		2.2	2.6 1.8 3.2 3.9		15.6 6.3 6.1 17.1	[1,44] [6,45] [6,46] [6,47] [6,24,48]	
98 02 03 04	11b 1b 1b 1a	0.7 1.0 0.88 6.4	0.23 0.59 1.30	0.0	3.9 10.1 0.0 50.7	3.4	- 9.4 -52.5	3.9 2.3 1.6 5.2	30.0	4.9 12.7 15.7 13.0	[2,12,14,49] [6,24,29] [25,50] [6,34,51]	
05 06	la lla	0.44 0.85	0.13 0.27	-18.0	- 7.5 - 6.5		-32.0	1.3 2.3		3.9	[6,10,52] [6,53]	

туманностей (Ia и Ib) и подвыборка родственных объектов (IIa и

Пb).
В таблице приведены данные для КТРО и молекулярных облаков, взятые из литературы. В ней в последовательных столбцах приводятся: номер, его класс, расстояние, линейные размеры, вычисленные по их угловым размерам по [4], значения лучевых скоростей ядер (приведенные к местному стандарту) по наблюдениям молекулярных облаков в линиях молекул СО, ОН, NH₃ или H₂CO соответствению; полуширины линии СО (J=1→0), ширина основания линии СО (J=1→0) на уров-

не потока $T_A(CO) = 100 \text{mK}$, антенная температура излучения CO ($J = 1 \rightarrow 0$) молекулярных облаков в направлении KTPO и ссылки на использованную литературу.

Обсуждение данных. КТРО являются объектами плоской составляющей Галактики. В этой связи интересно рассмотреть их расположение относительно спиральных рукавов Галактики. На рис. 1 воспроизведена карта частей спиральных рукавов Галактики, расположенных в непосредственной близости от Солнца, взятая из [54]. На рис. 1 знаком (О) обозначен местный спиральный рукав (спиральный рукав Лебедя-Кормы), содержащий Солнце (⊙), (+I)—рукав Персея, (—I)—рукав Киля-Стрельца-Щита, (—II)—рукав Щита-Южного Креста. Положение КТРО на этом рисунке отмечено точками.

Как видно из рис. 1, большинство КТРО (свыше 86%) являются объектами местного спирального рукава. Хорошо видна их большая концентрация в областях звездообразования в Тельце и Орионе.

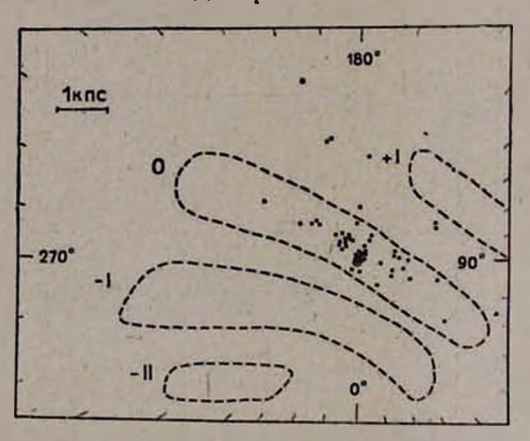


Рис. 1. Карта частей спиральных рукавов Галактики вблизи Солица

Сравнительное распределение по расстояниям и по линейным размерам КТРО классов la и IIa, b приведено в виде гистограмм на рис. 2,3. Как видно из рис. 2, КТРО классов IIa, b ближе к нам (среднее расстояние по 27 объектам равно 0.7±0.62 кпс), чем класса Ia (среднее расстояние по 18 объектам равно 1.3±0.9 кпс).

Сравнение линейных размеров (в проекции) КТРО класса Ia (0.36±0.25 пс) и классов IIa, b (0.10±0.07 пс) показывает, что последние по размеру уступают первым. Сделанный выше вывод об отличии расстояний КТРО классов Ia и IIa, b в свете различия их линейных размеров приобретает полностью селективный характер.

Существует мнение, что подавляющее большинство (если не все)

кометарных туманностей являются биполярными, одна из ком у которых часто не видна вследствие поглощения излучения в околоядерном диске [55, 56]. В результате наблюдаются и монополярные туманности класса Ia. Если это так, то должно существовать статистическое раз-

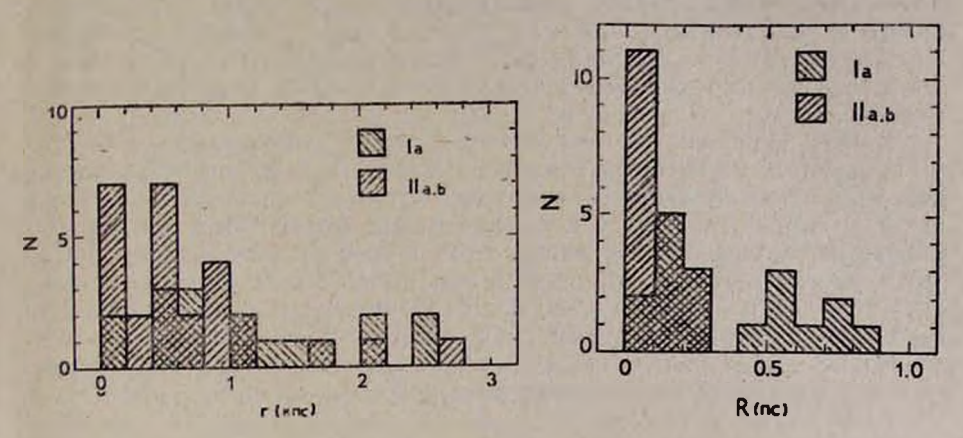


Рис. 2. Распределение КТРО по расстояниям Рис. 3. Распределение КТРО по линейным размерам

личне (около двух раз) в линейных размерах моно- и биполярных туманностей. К сожалению, в общей выборке КТРО с известными оценками расстояния имеется только 5 объектов класса Ib. Такая малая статистика не позволяет однозначно ответить на указанный вопрос.

Отметим, что в малой выборке объектов класса Ib по своему расстоянию и линейным размерам сильно выделяется туманность № 59 (\$ 269), являющаяся уникальной и по своим другим характеристикам. Если не принимать ее в расчет, то по четырем объектам для среднего размера туманностей класса Ib получим значение 0.32±0.18 пс (при расстоянии, статистически не отличающемся от оценки для объектов класса Ia), которое не отличается от такового для объектов класса Ia. Такое совпадение, говорящее в первом приближении против существующего мнения, делает весьма важным дальнейшие работы по увеличению выборки туманностей класса Ib с известными линейными размерами.

Обзорные наблюдения большого числа областей вокруг молодых звезд в молекулярных линиях [35] с известными лучевыми скоростями, а также высокоточные спектроскопические наблюдения самих молодых звезд показали, что между этими звездами и плотными межзвездными облаками существует ярко выраженная связь, носящая генетический характер. Что касается КТРО, то такая связь к настоящему времени установлена не более чем для 10 объектов.

В нашу выборку КТРО с известными расстояниями входят 20 объектов с измеренными лучевыми скоростями. Лучевые скорости молекулярных облаков, наблюдаемых в направлении этих КТРО, определены с помощью измерения линии по крайней мере одной молекулы.

На рис. 4 по данным таблицы построена гистограмма распределения абсолютных значений разностей лучевых скоростей КТРО и наблюдаемых в их направлениях молекулярных облаков. Если лучевая скорость молекулярного облака определена с помощью наблюдений более одной молекулы, то взято среднее значение лучевых скоростей этих молекул. На рис. 4 пунктирной вертикальной линией, согласно

[57], отмечен допустимый предел разности лучевых скоростей (8.5 км/с) (при большей разности связь между рассматриваемой туманностью и

молекулярным облаком считается сомнительной).

Как видно из рис. 4. большинство из 20 КТРО (85%) являются объектами, связанными с молекулярными облаками. Три объекта: № 10(L_kH= 325), № 77 (S 307), № 105 (ВМ And), вероятно, не связаны с наблюдаемыми в их направлении молекулярными облаками. Не исключено, что это может быть результатом ошибки измерения лучевых скоростей.

В [58] подчеркнуто, что истечение вещества от звезд типа Т Тельца (некоторые из которых связаны с КТРО) может ввести значительный динамический импульс в холодное молекулярное облако. Постулировано также, что такое истечение может формировать ширины наблюдаемых молекулярных линий. Этот вопрос рассматривался, например, в работах [1, 2]. В [2] сделан вывод, что в крыльях и в сердцевине линии СО излучают молекулы, находящиеся в околозвездной области и в окружающем ее невозмущенном газе соответственно.

КТРО наблюдались также на предмет обнаружения высокоскоростных молекулярных потоков [1, 2]. В нашей выборке КТРО из

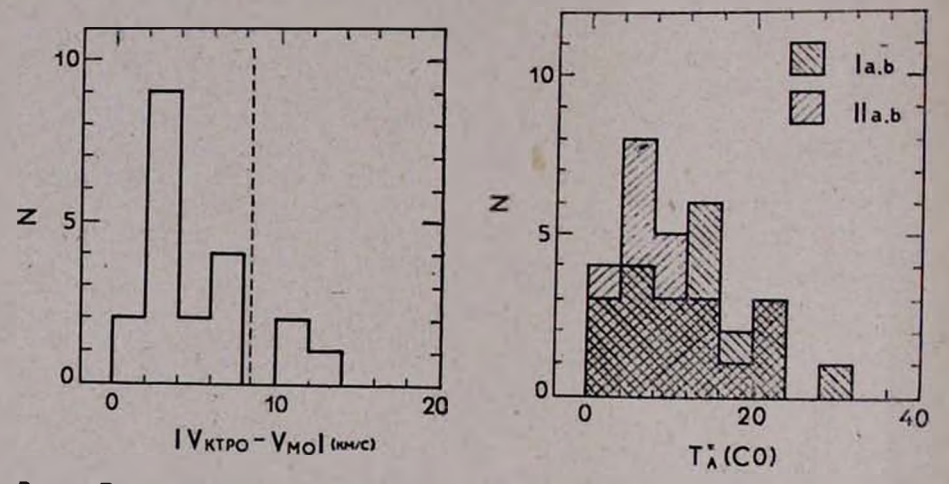


Рис. 4. Распределение разностей луче- рис. 5. Распределение КТРО классов Ia, b вых скоростей КТРО и наблюдаемых в их направлении молекулярных облаков

и IIa, b по антенным температурам

наблюденных 9 есть 5 объектов, от которых обнаружено высокоскоростное истечение ($\Delta V_{100mK} \!\! > \!\! 10\,$ км/с). Для этих 5 объектов среднее значение FWHM CO линии равно 2.4±1.3 км/с, для остальных четырех-1.9±0.5 км/с. Различие между двумя средними значениями незначительно. Для остальных 36 объектов, не наблюденных на предмет высокоскоростного потока, FWHM равна 2.6±1.1 км/с. Мы видим, что небольшая выборка объектов не позьоляет сказать что-либо определенное относительно результатов работ [1 и 2].

В [6] построена гистограмма распределения антенной температуры по СО наблюдениям для выборки туманных объектов. Согласно этому распределению, с повышением $T^*_{\Lambda}(CO)$ главно, почти линейно, уменьшается число наблюдаемых объектов. Согласно данным таблицы, нами построены аналогичные гистограммы (рис. 5) отдельно для выборок КТРО классов Ia, b и IIa, b. Средние значения Т* (СО) для выборок КТРО классов Ia, b (по 20 объектам) и IIa, b (по 24 объектам) получены соответственно значения 11.7±7.3 и 9.6±6.0 К (сравните с распределением на рис. 5). Первое число незначительно отличается от второго, но если учесть, что наблюдаемые туманности классов Іа. в среднем почти отстоят в два раза дальше, чем объекты классов IIa. b. то окажется, что СО светимость молекулярных облаков, с которыми связаны туманности классов Іа, в явно выше, чем у облаков, связанных с объектами классов IIa, b. По всей вероятности, кометарные тумянности связаны с молекулярными облаками более мошного излучения, чем родственные объекты.

Заключение. Обобщим полученные результаты. Большинство КТРО являются объектами местного спирального рукава. Они показывают заметную концентрацию к темным облакам в Тельце и в Орионе.

Кометарные туманности класса Іа наблюдаются в среднем на больших расстояниях, чем объекты классов IIa, b, что, по всей вероятности, полностью обусловлено эффектом селекции.
У кометарных туманностей класса Іа большие линейные размеры,

чем у родственных объектов классов IIa, b.

Небольшая разница лучевых скоростей ряда КТРО и наблюдаемых в их направлении молекулярных облаков указывает на генетическую

связь между ними.

Сравнение средних значений антенной температуры Т* (СО) кометарных туманностей (Ia, b) и родственных объектов (IIa, b) в свете различия их расстояний показывает, что, по всей вероятности, первые связаны с более горячими молекулярными облаками.

13 июня 1985 г.

4. U. APSULUBLY

ԳԻՍԱՎՈՐԱՋԵՎ ՄԻԳԱՄԱԾՈՒԹՅՈՒՆՆԵՐԻ ԵՎ ՀԱՐԱԿԻՑ ՕԲՑԵԿՏՆԵՐԻ ՈՒ ՄՈԼԵԿՈՒԼԱՅԻՆ ԱՄՊԵՐԻ ՀԵՏ ԴՐԱՆՑ ԿԱՊԻ ՄԱՍԻՆ

Աշխատանքը նվիրված է գիսավորաձև միգամածությունների (I a, b) և հարակից օրլեկտների (II a, b) վիճակագրությանը։ Ստացված են հետևլալ արդյունքները։

ա) Գիսավորաձև միգամածությունների և Հարակից օբլեկտների գերակրյռող մասը պատկանում է Գալակտիկալի տեղական Թևին։

ր) Գիսավորաձև միգամածությունները դիտվում են ավելի մեծ հեռավորությունների վրա և ունեն ավելի մեծ գծային չափեր, քան հարակից օբյիկտ-Libppi

գ/ Գիսավորաձև միդամածությունները, ամենայն հավանականությամբ, կապված են ավելի ջերմ մոլեկուլային ամպերի հետ, քան հարակից օբյեկտնեppi

V. M. PETROSSIAN

AND RELATED OBJECTS AND ON COMETARY NEBULAE THEIR CONNECTION WITH MOLECULAR CLOUDS

The results of statistical investigation of cometary nebulae (la, b) and related objects (11a, b) are presented. It is shown that:

a) the most of cometary nebulae and related objects are located on

the our arm of Galaxy:

b) cometary nebulae are more remote and larger in comparison with

related objects:

c) cometary nebulae with high probability are connected with hotter molecular clouds than related objects.

ЛИТЕРАТУРА

1. J Bally, C. J. Lada, Astroph. J., 265, 823, 1983.

2. M. L. Kutner, C. M. Leung, D. E. Machnik, K. N. Mead, Astroph. J., 259, L 35

3. B. F. Jones, G. H. Herbig, Astron. J., 87, 1223, 1932.

4. Э. С. Парсамян, В. М. Петросян. Сообщ. Бюраканской обс., 51, 1979. 5. O. Struve P. Swings, P. A. S. P. 60, 61, 1948.

- 6. J. M. Torrelles, L. F. Rodrigues, J. Canto, J. Marcaide, A. L. Gyulbudaghlan Rev. Mex. Astr. Astroph., 8, 147, 1983.
- 7. J. Canto, L. F. Rodrigues, N. Calvet, R. M. Levreault, Astroph. J., 282, 631,
- 8. Y. P. Georgelin, Y. M. Georgelin, Astron. J., 6, 349, 1970.
- 9. S. E. Strom, F. J. Vrba, K. H. Strom, Astron. J., 81, 314, 1976.

10. G. H. Herbig, Astroph. J., 214, 747, 1977.

- 11. K. R. Lang. R. F. Wilson. Astroph. J., 227, 163, 1979.
- 12. W. F. Fountain, G. A. Gary, C. R. O'Dell, Astroph. J., 269, 164, 1983.
- 13. H. Cohen, D. K. Altken, P. F. Roche, P. M. Williams, Astroph. J., 273, 624. 1983.

14. L. V. Kuhi, Astroph. J., 140, 1409, 1964.

- 15. J. H. Ellas, Astroph. J., 224, 857, 1978.
- 16. B. E. Turner, Astron. Astroph. Suppl. Ser., 37, 1, 1979.

17. S. Edwards. R. L. Snell, Astroph. J., 261, 151, 1982.

- 18. G. R. Knapp, T. P. H. Knipper, S. L. Knapp, R. L. Brown. Astroph. J., 206, 443, 1976.
- 19. R. B. Loren, N. J. Evans II, G. R. Knapp, Astroph. J., 234, 932, 1979.

20. G. H. Herbig, Astroph. J. Suppl. Ser., 4, 337, 1960.

21. К. У. Аллен, Астрофизические величины, М., Мир, 1977.

22. G. H. Herbig, Vistas in Astronomy, 8, 109, 1966.

23. R. W. Few. R. S. Booth, M. N. R. A. S. 188, 181, 1979.

24. R. B. Loren, Astron. J., 86, 69, 1981.

- 25. R. B. Loren, P. A. Van den Bout, J. H. Davis, Astroph. J., 185, 167, 1973.
- 26. Y.M. Georgelin, Y. P. Georgelin, S. Roux, Astron. Astroph, 25, 337, 1973.

27. F. P. Israel, Astron. Astroph., 70, 769, 1978.

28. K. M. Strom, S. E. Strom. L. Carrasco, F. J. Vrba, Astroph. J., 196, 489, 1975.

29. R. Racine, Astron. J., 73, 233, 1968.

30. B. J. Bok, McCarthy, Astron J., 79, 42, 1974,

- 31. L. J. Rickard, P. Palmer, D. Buhe, B. Zukermann, Astroph. J. 213, 654, 1977.
- 32. M. L. Kutner. D. E. Machinik. K. D. Tucker, R. L. Dickman. Astroph. 1., 237. 734, 1980.
- 33. A. F. J. Moffett, M. P. Fitzgerald, P. D. Jackson, Astron. Astroph. Suppl. Ser., 38, 197, 1979.
- 34. P. T. P. Ho, R. N. Martin, A. H. Barrett, Astroph. J., 246, 761, 1981.
- 35 L. Blitz, M. Fich. A. A. Stark, Astroph. J., Suppl. Ser., 49, 183, 1982.
- 36. G. Courtes, J. Georgelin, G. Monnet, A. Pourcelot, Interstellar lonized Hydrogen, (ed. Y. Terzian, Benjamin Inc., page 571, 1968.
- 37. A. Stockton, D. Chesley S. Chesley, Astroph. J., 199, 406, 1975.
- 38 J. J. Clarla, Astron. Astroph., 37, 229, 1974.
- 39. J. H. Elias. Astroph. J., 224, 453, 1978.
- 40. М. И. Пащенко, Г. М. Рудницкий, АЦ, № 1039, 1979. 41. P. C. Myers, P. J. Benson, Astroph. J., 266, 309. 1983.
- 42. R. F. Knacke, S. E. Strom, K. M. Strom, E. Young, W. Kundel, Astroph. 1, 179, 843, 1973.
- 43. R. B. Loren, Astroph. J., 227, 832, 1979.
- 44. В. М. Петросян, Астрофизика, 21, 523, 1984.
- 45. D. Crampton, Y. M. Georgelin, Y. P. Georgelin, Astron. Astroph., 66, 1, 1978.
- 46. K. M. Strom, S. E. Strom, M. Breger, A. L. Brooke, J. Yost, Astroph. J., 173, L. 65, 1972,
- 47. G. Alter, J. Ruprecht, V. Vanysek, Catalogue of Star Clusters and Associations Budapest, 1970.
- 48. Т. Ю. Магакян, АЦ, № 1222, 7, 1982.
- 49. C. Andersson, L. E. B. Johansson, A. Winnberg, W. M. Go, Astron. Astroph., 80 260, 1979.
- 50. N. Calvet, M. Cohen, M. N. R. A. S., 182, 687, 1978.
- 51. F. P. Israel, H. J. Habing, T. de Jong, Astron. Astroph., 27, 143, 1973.
- 52. A. F. Avent, J. H. Hunter, Astron. J., 74, 1021, 1969.
- 53. D. G. McCornell, Astroph. J., Suppl. Ser., 16, 275, 1968.
- 54. W. Becker, R. Fenkart, .The Spiral Structure of Our Galaxy", IAU Symp. No. 38 ed. W. Becker, G. Contopontos, Dordrecht-Holland, 205, 1970.
- 55. M. Cohen, P. A. S. P., 86, 813, 1974.
- 56. J. Canto, L. F. Rodrigues, J. F. Barral, P. Carral, Astroph. J., 244, 102, 1981.
- 57. B. Zuckermann, P. Palmer, Ann. Rew. Astron. Astroph., 12, 279, 1974.
- 58. C. Norman, J. Silk, Astroph. J., 238, 158, 1980.

ТУМАННЫЕ ОБЪЕКТЫ ВОКРУГ КОМЕТАРНЫХ ТУМАННОСТЕП И РОДСТВЕННЫХ ОБЪЕКТОВ

Введение. Кометарные туманности и родственные им объекты (туманности в виде дуги или запятой) являются образованиями, связанными с молодыми звездами, исследованием которых в последнее время

занимаются успешно.

Впервые на них, как на особый класс пекулярных объектов, играющих «... большую роль в процессе развития звезд», обратил винмание Амбарцумян [1, 2]. Следует отметить, что существование кометарной туманности около звезды рассматривается Амбарцумяном не только как эпизод в жизни звезды, но и как указатель молодости звездной системы в целом, в которую входит данный объект. Отметим, что подавляющее большинство кометарных туманностей и родственных объектов (КТРО) наблюдаются в темных облаках или около ших, где встречается большое количество пекулярных объектов (объекты Хербига-Аро, звезды орионова населения) [3, 4].

Детальное изучение другого класса пекулярных объектов—объектов Хербига-Аро, наблюдаемых в тех же областях знездообразования—темных облаках, некоторых исследователей навело на мысль, что существует непосредственная связь между звездами, связанными с кометарными туманностями и объектами Хербига-Аро (см. например [5]). Характер этой связи в разных работах интерпретируется по-раз-

ному.

В настоящей работе проведено исследование областей вокруг КТРО из каталога [6] со следующими целями: дать описание всех туманных объектов вокруг КТРО (включая вновь обнаруженные); исследовать распределение истинных и подозреваемых объектов Хербига-Аро по отношению к «коме» КТРО; исследовать геометрию звездных групп, содержащих КТРО, и туманностей небольших размеров, связанных со звездами; исследовать вопрос относительной ориентации комы КТРО и соседних туманностей.

Выборка кометарных туманностей и родственных объектов и метод исследования их окрестностей. При нашем исследовании в качестве основы взята выборка КТРО с №—38° из каталога [6], содержащая 106 объектов. Исследованы окрестности 104 КТРО. В каталоге [6] предложена новая классификация для КТРО: Іа—кометарные туманности конической формы; Іb—кометарные туманности биконической формы; ІІа—туманности в виде запятой; ІІb—туманности в виде

дуги.

Исследование окрестностей КТРО проведено на картах Паломарского атласа (ПА) в круге с радиусом 10'. Выбор такого радиуса продиктован следующим соображением. В литературе имеются данные, указывающие, что предполагаемую связь объекта Хербига-Аро с порождающей звездой (совпадающей иногда с ядром кометарной туманности), можно считать реальной даже в том случае, если расстояние между ними достигает 2 пс [7,8]. При среднем значении расстояния в 700 пс удаленности в 2пс между объектами соответствует угловое расстояние 10'.

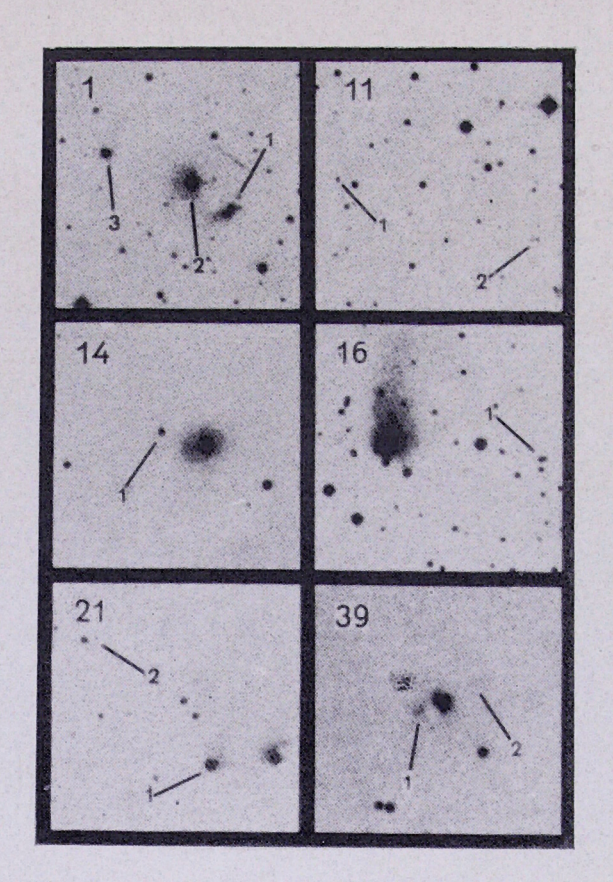


Рис. 1а. Туманные объекты вокруг КТРО № 1, 11, 14, 16, 21, 39

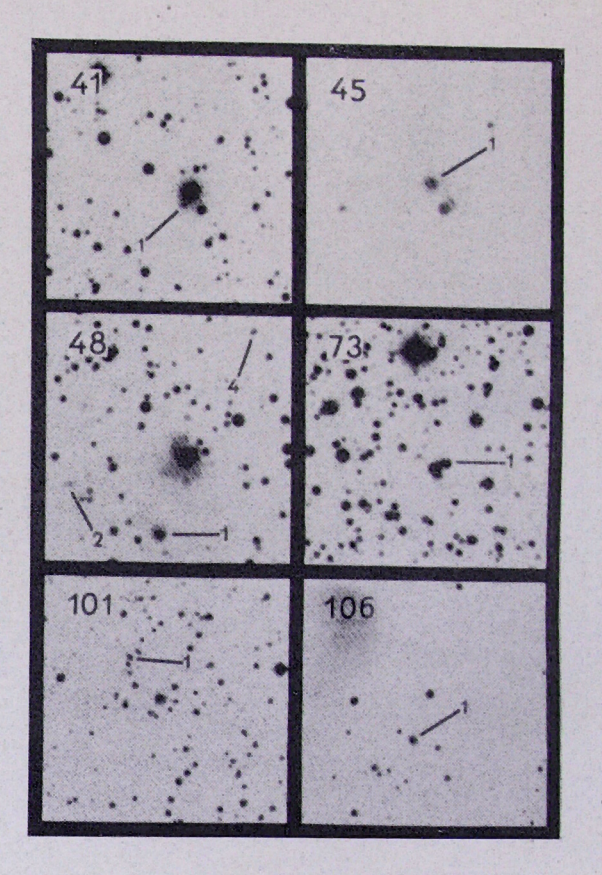


Рис. 1б. Туманные объекты вокруг КТРО № 41, 45, 48, 73, 101, 106.

В окрестностях КТРО рассмотрены только те туманные объекты, размеры которых, с одной стороны, не превышают размеров КТРО, а с другой—изображения которых явно отличаются от таковых для слабых звезд на красной и синей картах ПА.

Результаты. Показано, что в окрестностях 104 КТРО в кругах с радпусом 10' имеется 198 туманных объектов, из которых 128—обна-

ружены впервые.

Положение туманного объекта относительно соответствующего объекта измерялось в прямоугольной системе координат с центром, совпадающим с его ядром. На красной и синей картах ПА были измерены также размеры этих туманных объектов. Если объект имел неправильную форму, то он измерялся в направлении наибольшей протяженности. Полученные данные приведены в таблице: в первом столбще—номер КТРО по [6], во втором—номер туманного объекта (объекты, которые уже входят в другие известные каталоги или описаны другими авторами отмечены двоеточием, в третьем и четвертом столбцах—прямоугольные координаты туманного объекта относительно КТРО, а в пятом—восьмом—его размеры на красной и синей картах соответственно.

Отдельно, в виде примечания к таблице, дано описание обнаруженных туманных объектов вокруг каждого объекта из каталога КТРО. При описании цветовых характеристик объектов применена следующая терминология: очень красный—достаточно яркий на красной карте ПА и отсутствует на синей; красный-виден на красной карте ПА и отсутствует или очень слаб на синей карте; красноватый-на красной карте ПА ярче, чем на синей; нейтрального цвета—яркость на обеих картах почти одинакова; голубой-на синей карте ярче, чем на красной. В примечаниях к туманным объектам их описание дается в краткой форме следующим образом: НН-классические объекты Хербига-Аро, НН?-подозреваемый объект Хербига-Аро, обнаруженный нами или другими авторами, без их спектральных наблюдений; ОР-звезда орнонова населения с туманностью; ОР?—подозреваемая звезда орнонова населения с туманностью; (НН—ОР)?—подозреваемый объект Хербига-Аро, но может быть и звездой орионова населения с ореолом или слабой туманностью (обычно туманные объекты сфероидальной формы с центральной слабой концентрацией света). На рис. 1 приведены пекоторые примеры новых туманных объектов вокруг КТРО.

Обсуждение. Как омечалось выше, были исследованы окрестности 104 КТРО. Вокруг 73 КТРО обнаружено 198 туманных объектов, 78 из иих являются истинными или подозреваемыми объектами Хербига-Аро, 107—объектами, связанными с истинными или подозреваемыми звездами орнонова населения, а природа 13 объектов неясна. Они могут быть или объектами Хербига-Аро или звездами, погруженными в туман-

ность.

На рис. 2 приведены гистограммы распределения туманностей, связанных с истинными или подозреваемыми звездами орионова населения, на красных и синих картах ПА. На рис. 3 приведены такие же гистограммы для истинных и подозреваемых объектов Хербига-Аро. Как видно из рисунков, в обоих случаях мы имеем дело с выборками объектов с четко выраженным красным цветом.

Для исследования распределения истинных и подозреваемых объсктов Хербига-Аро по отношению к туманностям КТРО, объекты каталога [6] разделены на подвыборки, объединяющие КТРО классов

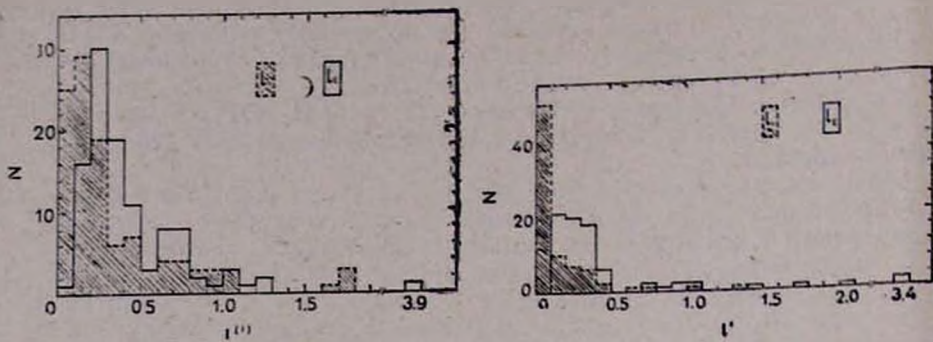


Рис. 2. Распределение красных в синих угловых размеров туманностей, связанных с истинными и подозреваемыми звездами орионова населения

Рис. 3. Распределение красных и синих угловых размеров истинных и подозреваемых объектов Хербига-Аро

Іа и Ів и ІІа и ІІв соответственно. На рис. 4 приведена карта распределення объектов Хербига-Аро, обнаруженных в круге раднусом 10 вокруг КТРО классов Іа, Ів, а на рис. 5—идентичная карта для КТРО

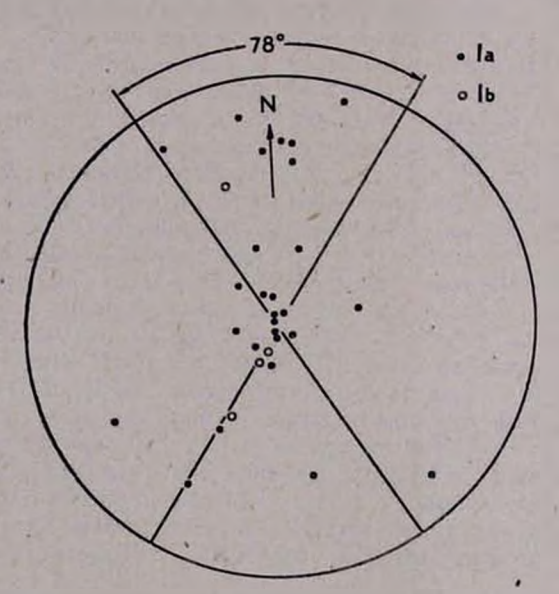


Рис. 4 Распределение истинных и подозреваемых объектов Хербига-Аро в круге раднусом 101 вокруг КТРО классов 1а и 1b

классов IIа и IIb. Отметим, что при составлении обеих карт (рис. 4 и 5) все туманности были ориентированы на север по отношению к освещающей звезде (для объектов Ib направление север-юг условное). На рис. 4 не приведена карта окрестности туманности класса Ib-№ 102, так как центром данной области звездообразования, по всей вероятности, является NGC 7129. На рис. 5 не отображены 5 объектов

НН, наблюдаемых около туманности № 34 (NGC 1999), так как туманность имеет круговую форму со звездою в центре (см. например [9]).

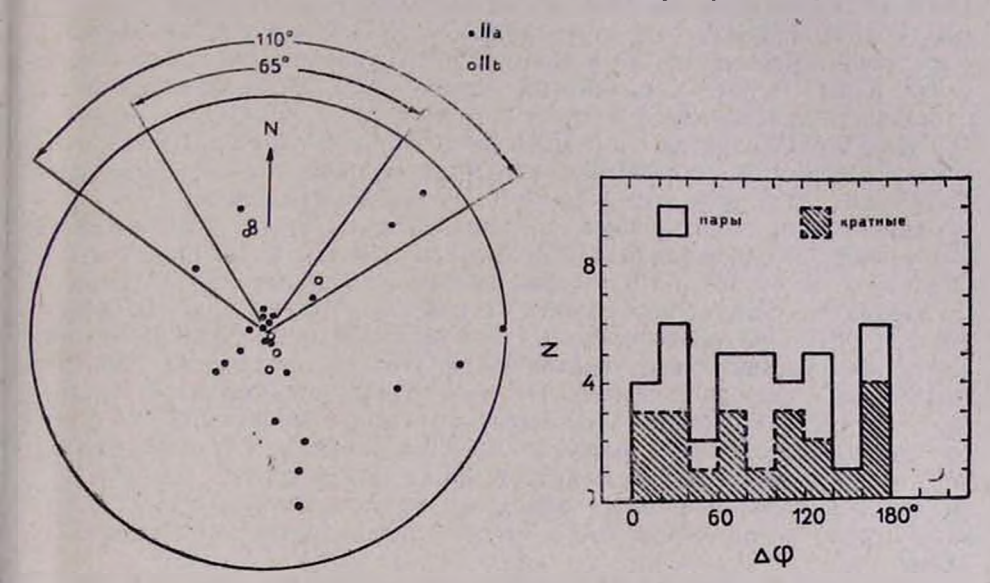


Рис. 5. Распределение истинных и подозреваемых объектов Хербига-Аро в круге радиусом 10' вокруг КТРО классов 11a и 11в

Рис. 6. Распределение разности позиционных углов между осями туманностей по парам и триплетам

Карта для объектов Ia и Ib содержит 31 истинный и подозреваемый объект Хербига-Аро. 27 из них связаны с объектами класса Ia, в 4—класса Ib. Карта КТРО классов IIa и IIb содержит 33 объекта, которые распределены между этими классами как 26 и 7 соответственно.

По 13 кометарным туманностям Іа и Ів с хорошо очерченными комами на ПА определено среднее значение угла раствора комы: 78°±27°. Большинство объектов первого класса каталога [6] являются монополярными туманностями (подкласс а). Но существует мнение, что подавляющее число (если не все) кометарных туманностей являются биполярными, одна из ком у которых не видна вследствие поглощения излучения в околоядерном диске [10, 11].

Поэтому в круге радиусом 10′ для объектов классов Іа и Ів в

Поэтому в круге радиусом 10' для объектов классов Ia и Ib в направлении север-юг выделены два противоположных сектора с углом раствора 78° (рис. 4), которые схематически изображают пространство, ограниченное комами туманностей и их продолжением.

Если допустить, что вероятность независимого появления некоторого числа объектов Хербига-Аро в упомянутых секторах определяется законом Пуассона, то наиболее вероятно, что число случайных совпадений должно равняться наблюдаемому среднему числу совпадений. Исходя из этого, для числа случайно ожидаемых совпадений объектов Хербига-Аро с вышеописанными секторами получим значение 13.4±3.7. Наблюдения же дают для этого числа значение 24. Разница между случайно ожидаемыми и наблюдаемыми совпадениями заметная. Этот факт указывает на то, что между КТРО классов Іа и Іb и большийством объектов Хербига-Аро, находящимися в области, ограниченной

комой туманности и ее продолжением, существует генетическая связ Если рассмотреть окрестности только туманностей класса 1а (27 объ ектов НН), то при всем вышесказанном, для числа случайно ожидае мых совпадений получим значение 5.8±2.7. Наблюдения же дают I совпадений. Мы видим, что и в этом случае указание на генетическу связь между КТРО и объектами Хербига-Аро, находящимися в и

окрестностях, остается в силе.

Для KTPO классов IIa и IIb в качестве угла раствора туманност взят угол, который полностью охватывает туманность в виде запято (IIa) или в виде дуги (IIb). По 11 КТРО класса 11а для угла раствор туманности получено среднее значение 65°±40°. По 11 КТРО класс Пр то же значение равно 110°±50°. Так как нет оснований считат объекты классов IIa и IIb морфологически связанными объектами, т их окружение следует исследовать отдельно. Поэтому в круге раднусов 10' вокруг КТРО классов Иа и Ив в северном направлении от ядра выделены два сектора с углами 65° и 110° соответственно (рис. 5) Сделав те же предположения, что и в случае объектов классов Іа 1 Ib, для числа случайно ожидаемых объектов Хербига-Аро получи соответственно значения, равные 4.5 ± 2.2 и 2.1 ± 1.5. Согласно наблю дениям, для этих классов получаем числа 5 и 4 соответственно. Как видно, в противоположность объектам первого класса, явной скучи ваемости объектов Хербига-Аро внутри указанных секторов не наблю дается.

Так как в характеристиках звезд, освещающих КТРО нет сущест венного различия (все они являются звездами орнонова населения) то можно предположить, что наблюдаемое различие в распределения объектов Хербига-Аро вокруг них обусловлено, в первую очередь, геометрическими факторами, в частности, эффектом проекции туманности на небесную сферу. Достоверность этого предположения выяснится будущими наблюдениями общей выборки истинных и подозреваемых объектов Хербига-Аро, обнаруженных вокруг КТРО.

Все обнаруженные нами 107 туманных объектов входят с КТРО в системы разной кратности. Из них в виде пар—30 систем, тройных—

11, содержащих по 4 компонента—13, по 5 компонентов—4.

Определена частота встречаемости конфигурации типа Трапеции в отождествленных звездных системах. Использовано определение Амбарцумяна [12]. В результате оказалось, что из 11 тройных систем—8 (73%), из систем с четырьмя компонентами—10(77%), а из четырех систем с пятью компонентами—4 (100%) имеют конфигурации типа Трапеции.

Мы видим, что в исследованных кратных системах большинство являются системами типа Трапеции. В данном случае селекция, обусловленная оптическими системами типа Трапеции (псевдотрапециями), вероятно не большая, так как в подавляющем большинстве случаев гуманные объекты и соответствующие КТРО наблюдаются на фоне одного и того же темного облака, с которым, по всей вероятности, они и

Интересным является вопрос ориентации кометарных туманностей. Для выяснения этого исследована относительная ориентация осей КТРО и соседних туманностей. Причем, среди туманностей, соседних с КТРО, отобраны только те, которые имеют форму хвостов, выступов, полос или вееров, исходящих из освещающих их звезд-

[•] Существование кратных систем типа Трапсции, содержащих связанные с туманностями звезды, отмечено и в работе [13].

Из вышеотмеченных 30 пар 14 пригодны для рассмотрения этого вопроса (компонентами двух пар являются КТРО из [6] —№ 2 и 3, 25 и 26). В кругах радиусом 10′ отождествлены еще 4 пары КТРО из [6] (№ 56 и 57, 60 и 61, 75 и 76, 92 и 95) —части систем более высокой кратности. Из тройных систем и систем более высокой кратности отобрано еще 20 пар КТРО и туманностей упомянутых форм. В итоге, относительная ориентация осей исследована по 38 парам КТРО и соседних туманностей. Отметим, что вокруг КТРО № 46, 48, 52, 57, 74, 102 наблюдаются по две туманности упомянутых форм. В этих случаях можно рассмотреть относительную ориентацию сразу трех соседних тумакностей.

На рис. 6 приведены гистограммы распределения разности позиционных углов между осями туманностей: по парам (объект из каталога КТРО и соседняя туманность) и по триплетам (заштриховано). Как видно из рис. 6, предпочтительной ориентации осей туманностей не наблюдается: среднее значение разности позиционных углов между осями туманностей, определенное по 38 парам, равно 87°±55°, а по семи триплетам—90°+62°.

Так как расстояние между КТРО и соседними туманностями всегда меньше 10' (в среднем 2 пс), то влияние общегалактических магнитных полей на ориентацию осей туманностей можно считать в этом случае незначительным. Если же направление осей туманностей обусловлено локальными магнитными полями, то размеры этих полей должны быть меньше 10', а в некоторых случаях даже намного меньше этого

значения.

Заключение. Таким образом, подытожив полученные результаты, можно следать следующие выводы:

1. В результате исследования окрестностей 104 кометарных туманностей и родственных объектов показано, что вокруг 73 из них имеется 198 туманных объектов, из которых 128—обнаружены впервые.

2. 78 объектов из 198 являются истинными или подозреваемыми объектами Хербига-Аро, 107—туманности, связанные с истипными или

подозреваемыми звездами орионова населения.

3. Между истинными и подозреваемыми объектами Хербига-Аро и самой кометарной туманностью, в окрестности которой они обнаружены, существует ярко выраженная генетическая связь. В случае туманностей в виде запятой или дуги эта связь не столь очевидна.

4. Кометарные туманности и родственные объекты образуют пары, тройные системы и системы более высокой кратности с окружающими их туманностями. Более половины из этих систем составляют кратные

системы типа Трапеции.

5. Между направлениями осей кометарных и соседних с ними туманностей корреляция не обнаружена. По всей вероятности, магнитные поля играют сравнительно небольшую роль при формировании форм кометарных туманностей и родственных объектов.

21 ноября 1984 г.

38

+0.25

-2.35

0.8

0.9

0.6

0.7

Таблица Туманные объекты, обнаруженные вокруг кометарных туманностей каталога [6] IE уг. мин KK .X У, мм ми уг. жин N Объект MIX 8 7 6 5 4 3 2 1 -0.25 -0.45 -1.25 -0.5 0.1 0.1 +0.1 -0.85 1.7 1 1.5 0.8 2: 3: 0.2 0.2 0.25 0.3 -2.55 -0.35 --0.05 0-8 1: 2 0.7 0.6 0.5 -1.2 0.2 0.15 +0.6 -0.4 -5.25 0.6 0.4 6 0.35 0.1 -3.4 -0.95 0.1 2 1: 0.1 8 0.1 -0.05 -3.0 -0.95 0.05 9 0.1 +5.70.1 0.15 0.2 23 +5.35--1.35 0.2 0.3 0.7 ---2.45 ---1.0 4.15 121:21:21 11 0.25 0.45 0.5 0.6 0.55 0.6 0.3 12 0.1 0.3 0.3 0.25 --0.75 -0.3 -4.2 +0.250.2 0.3 0.2 0.1 0.1 --0.15 13 0.1 0.4 0.05 -7-1 0.2 --0.9 14 0.1 4.85 0.1 2.0 15 -0.25 -3.2 -0.35 -0.4 -0.25 0.2 0.2 0.2 +0.7 0.15 231 0.2 -4.1 +3.2 -2.10.08 0.1 16 0.1 0.1 17 123 +3.15 0.1 0.1 +0.65**∔0**.95 0.1 0.13 0.1 0.1 4.25 +1.3 4 5 6 7 8 1: 7.65 --0.15 0.1 0.1 --0.3 --0.75 +1.1 --1.75 +0.7 0.1 0.1 0.1 0.1 -1.6 0.1 0.1 --0.65 3.0 0.4 3.9 +2.05 3.5 18 0.2 0.15 _3.85 0.3 0.4 -4.45 2345 0.2 -0.55 0.2 -0.6 0.2 -1-3.65 0.3 0.4 -1.05 -5.85 0.4 0.4 0.5 0.3 __7.1 0.2 1: 0.2 0.85 -0.21.0 21 --1.4 +2.65 --3.95 0.1 0.1 ī: --2.35 +5.6525 +4.7 +3.9 -7.5 0.1 27 -0.550.1 0.1 0.1 i 23 0.2 0.15 3.5 -1.8 0.1 +1.550.12 29 30 1: -10.45 0.3 0.3 0. I +0.250.08 -5.95 0.3 23 --1.3 --6.05 0.3 --1.25 --1.4 ÷5.2 0.1 0.05 4 +4.150.3 0.3 0.4 0.4 0.4 --4.15 -4.15 0.4 31 -1-3.4 --2.1 33 34 1: -0.3 0.2 +1.0 0.2 0.2 0.2 1: 0.3 2: 3: --3.8 --0.15 0.8 0.3 +3.0 +0.65 -0.2 0.3 0.3 0 · I 0.15 4: +0.9 +7.05 0.15 0.1 0.1 0.45 -0.4 0.1 -0.75 0.15 36 -0.05 0.5 0.2 0.3 37 1: +1.4 --6.3 0.3 0.3 0.3 2: +0.00 8.2 0-3 0-3 --1.35 -6.95 3 0.5 0.6 0.1 0.1

Продолжение таблицы 5 7 3 4 6 2 1 -0.45 -0.2 0.5 0.6 39 0.3 --0.45 0.3 2 +0.55 0.2 0.2 0.2 +0.25-0.9ī: 40 0.1 0.1 0.15 0.1 +0.45-1.352: -3.70.7 0.2 0.2 0.6 3: 0.2 -3.80.3 0.3 0.2 4: 0.1 - 1.05 -3.75 0.15 5 0.1 0-1 0.1 -1.6 0.1 +0.56: 0.4 +1.50.4 --0.0 7: 0.2 $+0.8 \\ -0.25$ 3.9 8: 0.08 -0.40.12 0.1 0.1 ---0.3 0.25 0.3 -3.250.05 0.1 42 44 +2.0 2-0 1.8 1.2 1.3 -0.30.2 -1.3 0.2 <u>:</u> +0.1 0.2 --0.45 -2.453: -1.45 0.25 0.3 -3.54: -5.9 --7.45 -1.550.15 0.2 5: 0.1 -2.150.1 6: +4.25 --3.75 -5.85 0.2 0.2 7: --7.9 0.1 0.1 8: 9 $\begin{array}{r}
-2.0 \\
+0.55 \\
+2.25
\end{array}$ 0.8 --0.3 0.7 0.3 -0.25 -3.750.1 0.1 0.3 45 0.2 0.3 0.3 0.2 1: 46 -2.2 -0.20.15 0.3 23 0.2 -1.05 0.2 -1.5+0.7 + 1.150.1 +1.20.1 4 -0.25 + 0.650.2 0.1 0-1 0.15 0.1 47 -1.45 0-1 0.1 0.1 2123 --1.65 0.6 0.3 0.3 0.5 -0.648 0.4 0.4 2.55 -0.7+3.5 + 1.40.25 0.25 0.3 -1.00.3 0.2 0.2 +2.2 0.2 0.15 0.2 41234 --3.85 0.2 0.2 0.1 --1.65 0.15 0.15 49 0.1 0.2 0.1 -1.75 -1.0 0.1 $+2.5 \\ +2.1$ 0.1 0.1 -3.05+1.4 +0.15 0.3 0.3 0.2 0.3 0.2 0.15 0.1 0.1 1: 50 +0.5 0.2 0.2 2: -0.2 0.25 0.2 -1-0.25 0.25 0.2 3: 0.2 0.2 0.2 -0.35 4: -0.2 -3.4 -3.35 0.1 0.1 0.2 52 0.2 0.2 -4.85 2312341 0.15 0.2 -1.15 0.1 0.12 -0.95--1.25 0.1 0.08 0.1 53 0.12-0.75 0.1 -3.75 0.1 0.1 -1.4-0.80.1 0.1 0.05 0.1 0.12 0.15 0 - 1 0.08 0.1 -1.0-1.15+5.75 0.2 -3.2555 0.1 +0.35 0.13 2 3 1: 2: +1.8 0.3 5.5 -1.05-1.50.2 0.2 0.15 0.2 +0.6556 -7.0 --3.4 0.1 1 -0.15+0.250.1 57 0.7 +0.3 0.35 0.4 0.1 -0.25234 +3.550.6 0.25 0.3 -0.50.5 0.05 0.15 1.0 -2.0 -4.850.2 0.2 0.2 +3.95--5.45 0.2 58 0.15 -1.28 0.2+0.1 23 0.1 -0.9 ---0.25 0.13 0.1 0.05 - 0.35 4 0.1 0.1 0.1 --2.05 0.15 0.2 0.2 0.1 59 2.45 -3.85 0.25 0.3 0.15 0.2 0.1 -4.4 0.2 0.1 -1.15 0.15

Продолжение таблицы									
		3	4	5	6	7	8		
1	2	-				-	-		
60	1 2:	-1.45 -4.55	÷2.3 −0.35	0.15	0.2	0.15	0.2		
62	2:	+1.7 -0.5	+7.55 +3.7 +8.75	0.4	0.2	0-1	0.1		
	2 3: 4	-2.2 +3.8	-0.45	0.25 0.25	0.3	0.15	0.2		
63	1:	-0.25 -0.15	+0.95 +1.45	0.6	0.7	0.7	0.2		
	2:	-0.8	-2.25	0.5	0.6	0.55	0.6		
64 66	1: 1 2	-0.45 -0.15	-6.5 0.0	0.1	0.1	_			
67	2	$-1.35 \\ +1.65$	-2.95 -1.1	0.2 0.15	0.2	0.05	0.1		
68 69	1	$-0.3 \\ +1.8$	+7.4 −2.05	0.4	0.4	0.55	0.6		
71	į	$-0.8 \\ -1.2$	+0.4 -0.2	1.25	1.4	0.9	1.0		
72	1 2 3	-2.3 -2.7	+0.7 +1.5	0.3	0.3	0.6	0.7		
73	1	+0.25	+0.1	0.2	0.2	0.15 0.4	0.2		
74	1 2:	-1.55 -1.9	-0.6 +0.1	0.3 0.25	0.3	-	0.4		
1773	2: 3: 4:	+1.1 $+1.75$	-3.9 -4.25	0.4	0.4	0.4	0.2		
	5:	-1.1 -7.25	-0.7 +1.8	0.15	0.2	0-1	0.1		
0.0	6: 7		-1.7	0.15	0.2	0.1	0.1		
75	1:	4.8 0.8	÷0.8 —1.05	0.25	0.3	0.4	0.4		
77	2 3 1	÷1.2 —6.35	+2.5 -4.2	0.5 3.0	0.6 3.4	0.8	0.9		
83	2	0.0 -4.3	$-3.0 \\ +4.35$	3.0 0.25	3.4 0.3	0.25	0.3		
84	1:	+0.75 +4.45	-0.15 -1.0	1.0	1.0	0.8	0.9		
17 19	2: 3 1	0.2	0.15	0.3	1.2 0.3 0.2	0.0	-		
85	2	+0.25 −0.15	$-1.1 \\ -0.15$	0.2 0.15	0.2	-	1 -		
86	1 2	$-0.2 \\ +0.45$	$0.0 \\ -1.15$	0.1	0.1	0.25	0.3		
87	1:	-0.85 +0.8	$-0.6 \\ -1.2$	0.6	0.7	=	=		
	2: 3:	+3.45	-3.35	1.0	1.0		-		
90	4: 1	+3.5 -0.2	-5.2 -0.1	0.6 0.1	0.1	0.1	0.1		
95	2	3.1 6.95	5.0 1.15 	0.1	0.1	0.2	0.2		
	2 3	+1.0 +1.45	0.4 - 1.65	0.4 0.4	0.4 0.4	0.4	0.4		
96	4	+1.75	-5.45 - -0.8	0.55 0.1	0.6 0.1	0.5	0.6		
	1 2 1	-2.65 + 1.05	+0.9	0.15	0.2	0.08	0.1		
97 98	1.0	7.15 - -1·65	-3.85 +1.65 ✓	0.25	0.3	0.15 0.15	0.2 0.2		
100	2 1:	-2.85 -2.3	-1.0 -6.7	0.9	1.0	0.9 1.5	1.0		
101	2	-0.3 -0.65	+0.25 0.85	0.1 0.15	0.1	0.05	0.1		
102	1:	-1.2.95	-0.35	0.2	0.2	0.1	0.1		
	2: 3:	+3.1 -3.95	-1.1 + 3.55	0.4 0.2	0.4 0.2	1 =	-		
71	4: 5	4.6 0.65	+3.95 +5-25	0.6 0.1	0.7 0.1	=	-		
	5 6: 7:	-0.15 +1.4	5.95 5.6	0.25 0.65	0.3	0.25 1.4	0.3		
	100	1.1.4	, 5.0	0.00	0.7	4.7	1.0		

Продолжение таблицы

1	2	3	4	5	6	7	8	
102	8: 9 10:	+2.0 +0.75 -2.7	+5.0 -0.55 +3.85	0.35 0.1 0.1	0.4 0.1 0.2	1.5 0.1 0.15	1.7 0.1 0.2	
103	11: 12: 1 2 3	$ \begin{array}{c c} -2.25 \\ -1.55 \\ +0.9 \\ +3.0 \\ +1.2 \end{array} $	+3.75 +3.0 -0.4 -1.8 -0.7	0.4 1.0 0.1 0.3 0.3	0.4 1.0 0.1 0.3 0.3	0.3 0.3	0.3	
104	1 2	$ \begin{array}{r r} -5.15 \\ -0.55 \\ +2.75 \end{array} $	-1.15 -1.25 $+0.2$	0.15 0.6 0.2	0.2 0.7 0.4	0.15 0.25 0.2	0.2 0.3 0.2	
106	ĩ:	-3.65	-2.2	0.3	0.3	0.1	0.1	

Описание объектов

A9 /.

1. Красный продолговатый объект. Может быть тесной парой звезд. НН?.

2. Туманность DG2 вокруг яркой звезды [14]. ОР?. 3. Эмиссионный объект МСІ [15]. ОР. В области обнаружены два объекта с Н_« эмиссией—Віапсо 7 и 8 [16].

- 1. Объект № 3 нз [6]. Составляет пару с объектом № 2. Расстояние между ними 34". OP. A 4.
- 1. Яркая звезда с асимметричной оболочкой. Вместе с объектом № 4 находятся недалеко от диффузной туманности Сеd I [17]. ОР?.

В области присутствуют три объекта с На эмиссией-МСІО [15], Вапсо 9, 10 [16].

1. Туманный красный объект. НН?

2. Голубая туманность с красной звездой в центре. ОР?

- 1. Красный звездообразный объект с двумя противоположными туманцыми выступами—RNO 14 [4]. OP. Nº 9.
 - 1. Красный туманный объект с уплотнением в центре НН?.
 - Краспый туманный сферондальный объект. НН?
 Краспый туманный сферондальный объект. НН?

1. Красный звездообразный объект с уширяющимся хвостом. ОР?

2. Два красных звездообразных объекта в общей слабой оболочке. НН?

 Красный туманный объект с краспым хвостом—GM-35 [18]. ОР.
 Звезда нейтрального цвета с красной дугообразной туманностью. ОР?
 Все объекты вместе с объектом № 12 находятся на краю туманности NGC 1499. A€ 13.

1. Звезда типа Т Тельца с коротким красным хвостом [19]. ОР.

2. Очень слабая звезда с шпроко раскрытой весрообразной туманностью. ОР?

Находится на северо-востоке от голубой туманности ВІО, освещаемой звездой типа Т Тельца DDTau [20]. На расстояния 30" от DDTau наблюдается другая эмисспоиная звезда СZТац [21].

1. Очень красная звезда с маленькой кометарной туманностью, ОР?

№ 15.

- 1. Красный туманный объект сферондальной формы. НН?
- Слабая красная звезда с короткими усиками. ОР?
 Красная звезда с кометообразным хвостом. ОР?

 Звезда нейтрального цвета с хвостом или пара звезд в общей оболочке. ОР? № 17.

 Красный туманный объект.
 Красный туманный объект. (HH-OP)? (HH-OP)?

3. Красная звезда со слабыми усиками. ОР? 4. Красный туманный объект. (НН-ОР)?

 Красный продолговатый диффузный объект. (НН-ОР)?
 Красный туманный объект. (НН-ОР)? 6. Красный туманный объект. 7. Красный туманный объект. (HH-OP)? (HH-OP)? 8. Красный туманный объект.

№ 18.

1. Диффузная туманность кометообразной формы, связанная с красноватой звездой. Туманность известна как Ced 33 [17], DG 32 [14], Вет 74 [22]. ОР. 2. Звезда с симметричным красноватым ореолом. Не исключено, что это галактика.

3. Туманный красный объект. НН? 4. Красная звезда с длинным хвостом. ОР? 5. Туманный объект с уплотнением в центре. ОР?

Область находится недалеко от группы объектов НН 31 [23].

1. Красноватая звезда с к DO Таи отмечена в [3]. ОР. красной кометообразной туманностью. Ее связь с 2. Диффузный, красный продолговатый объект. НИ?

№ 25.

1. Объект № 26 из [6]. Составляет пару с объектом № 25. Расстояние между ними ~ 6′.7. ОР? . V 27.

Согласно [4] он является объектом Хербига-Аро (RNO 40). Находится на конце длинной, очень красной узкой полосы туманной материи клочковатой структуры. На другом конце этой полосы находится звезда нейтрального цвета.

1. Звездообразный объект нейтрального цвета, находится в поясе туманной ма-

терии. ОР?

2. Пара красных туманных объектов. ОР?

3. Группа 10 красных объектов ОР?

入 29. 1. Продолговатый красный туманный объект. Находится на краю туманности № 29. В [23] он описан как эмиссионный переменный объект. ОР?

На краю туманности расположена другая Н« звезда HI Ori.

Согласно Коэну [4] является объектом Хербига-Аро (RNO 43). 1. Красноватая звезда с коротким звездообразным хвостом. ОР? 2. Эллипсондальный туманный объект с центральным уплотиением. НН?

3. Слабый звездообразный диффузный объект. Соединен с объектом 2 тонким

диффузным ободом. НН? 4. Компактняя группа 3—4 диффузных красных объектов. Заметна слабая связымежду объектами 3 и 4. НН?
Туманные объекты 2—4 входят в единый комплекс.

1. Продолговатый туманный объект нейтрального цвета. HII? A 33.

1. Продолговатый аморфный объект красного цвета RNO 47 [4]. НН. A\$ 34.

1, 2, 3 и 4 являются известными объектами НН 1, 2, 3 и 35. НН2 состоит из девяти сгущений [23]. НН.

5. Очень красный сферондальный диффузный объект. НН? **№** 36.

1. Звезда нейтрального цвета с тонкой красной струей. Возможно, что эта звезда связана с небольшой туманностью (\sim 2'.5), на краю которой расположен объект № 36. OP?. № 37.

1 и 2 являются объектами НН 43 и 38 соответственно [23]. Они состоят из нескольких сгущений. НН,

2. Очень красная звезда со слабой кометообразной туманностью. ОР?

№ 38.

. Звезда BD+26°887 со слабой туманностью. ОР? № 39.

1. Красный диффузный объект низкой поверхностной яркости. НН?

2. Очень слабый, красный диффузный объект продолговатой формы. НН? Эти объекты могут быть частью туманности № 39. Возможно также, что они являются отдельными образованиями, похожими на объекты Хербига-Аро.

1. Красная звезда с красной туманностью. На синей карте туманность имеет

вил хвоста. Ланный объект входит в список кометарных туманностей [18] под номером 65. ОРЭ

 Звезда с двумя короткими усиками. Отмечена в работе [18]. ОР?
 Красный звездообразный объект, связанный с кометообразной туманностью инзкой поверхностной яркости. В [24] (группа № 5) отмечен как объект Хербига-Аро. 14145

4. Красный аморфный объект продолговатой формы. Согласно [24] (группа № 5)

является объектом Хербига-Аро. НН?

5. Слабая красная звезда с красным туманным ореолом, ОР?

6. Звезда с двумя противоположными туманными выступами. Упомянута в [19]. OPP

7. Красная туманность в виде полумесяца. Объект № 6 из работы [24]. НН?

8. Очень слабое, красное диффузное пятно с конденсацией на краю.

Входит в группу № 5 в [28]. НН?

№ 41.

1. Конденсация с двумя красными диффузными хвостами. НН?

No 42.

1. Слабая красная звезда с очень слабой струей. ОР? AS 14.

1—8 являются известными объектами НН 19, 20, 22—27 [23]. В [23] выдвинуто предположение, что НН24 и 25-26 выброшены в противоположные стороны из кометарной туманности № 44 из [6]. НН.

2. Два туманных пятна между объектами НН 25 и 26. НН?

- A6 45. 1. Красная звезда с асимметричным ореолом. Напоминает кометарную туманность. ОР? Nº 46.
- Входит в [18] под номером 67. Там она описана как «красный компактный

2. Красная слабая звезда с асимметричным ореолом. ОР?

3. Красная звезда с ореолом. ОР?

4. Очень слабая звезда с усиками. ОР?

 Слабая звезда нейтрального цвета с хвостом. Может быть парой или цепочкой слабых звезд. ОР?

2. Слабая звезда с ореолом. ОР?

№ 48.

1. Звезда пейтрального цвета с кометообразным хвостом. ОР?

2. Красное туманное пятно с аморфной структурой. НН? 3. Звезда нейтрального цвета с широким хвостом. ОР?

4. Пара слабых звезд в общей продолговатой туманной материи. ОР? A 49.

1. Продолговатый объект высокой поверхностной яркости с хвостом. Может быть цепочкой двух ярких и одной слабой звезды. (НН—ОР)?

Яркая звезда нейтрального цвета с коротким красным туманным выступом. ОР?
 Красный диффузный объект с конденсацией на краю. ОР?

- 4. Туманный красный продолговатый объект низкой поверхностной яркости. НН? № 50.
- . Двойной туманный объект. Один компонент является звездообразным. НН? 2. Туманный объект высокой поверхностной яркости. На синем ПА-конденсация усиками. НН?

3 и 4. Два диффузных объекта низкой поверхностной яркости. НН?

Кометарная туманность и все четыре объекта—члены группы № 10 в [24].

№ 52 Находится рядом с отражательной туманностью vdB 65 [25] на расстоянии 2'-4 нсе OT

1. Слабая звезда с тремя туманными выступами. ОР?

2. Красная звезда с толстым хвостом. ОР?

3. Красная звезда с ореолом. ОР?

№ 53.

1. Звездообразный объект с асимметричным ореолом. ОР?

2. Звездообразный объект с ореолом. ОР? 3. Туманное аморфное пятно. НН?

- 4. Звезда нейтрального цвета с туманным выступом. ОР? λ 55.
- Красный, туманный продолговатый объект. Может быть парой слабых звезд. HH?
 - 2. Красная звезда с туманными выступами.

3. Пара красных звезд в туманной полосе. ОР?

Расположена между двумя диффузными туманностями \$ 255 и \$ 257 [26]. На-ходится на расстоянии ~9° от кометарной туманности № 57.

1. Входит в [16] под номером 42. Она описана в [18] как «красная звезда с двумя слабыми выступами». ОР?

2. Кометарная туманность № 57. ОР? В область с раднусом 10' входят также диффузные туманности S 254 и S 256,

.№ 57. 1. Очень красный звездообразный объект с исчеткими краями. (НН-ОР)?
2. Красноватая звезда с кометарной туманностью. ОР?

3. Яркая звезда нейтрального цвета с красной кометообразной туманностию. ОРЭ

4. Слабая красноватая звезда с туманным выступом. ОР?

1. Звезда нейтрального цвета с двумя выступами. Может быть это три звезды на одной линии. ОР? 2. Красная звезда со слабым красным хвостом. ОР? 3. Красноватая звезда со слабым красным хвостом. ОР?

4. Красное туманное пятно небольшого размера. НН? № 59.

1. Пара звезд нейтрального цвета в туманной полосе. ОР?

2. Может быть три звезды в туманной полосе. OP? 3. Красноватая звезда с ореолом. OP?

 Звезда нейтрального цвета с выступом. Может быть парой звезд. ОР?
 Кометарная туманность № 61, находится на расстоянии ~ 3′ от № 60. ОР? ₩ 62.

Находится недалеко от яркой туманности NGC 2247. Красноватая звезда с кометообразным хвостом. ОР?
 Эллипсондальный вытянутый объект с выбросом. ОР?
 Звезда нейтрального цвета с красными усиками—L_kH_α216 [27]. ОР.

4. Две красные звезды в красной туманной полосе. ОР?

A 63. 1. Объект № 72 из [18]. ОР?

2. Слабый звездообразный объект (№ 7 нз [18]) с диффузной полосой в виде дуги. НН?
3. Звезда нейтрального цвета с голубой туманностью. ОР?

№ 64.

1. ННЗ9 [23]. Состоит, по крайней мере, из щести образований. НН. № 66.

1. Красный компактный объект с туманными краями. НН?

2. Слабый красный туманный объект продолговатой формы с конденсацией на краю. Похож на кометарную туманность. (НН-ОР)?

1. Слабый звездообразный объект, окруженный продолговатым туманом. ОР? № 68.

1. Голубая звезда с голубой туманностью. ОР? № 69

В область туманности № 69 попадает отражательная туманность vdB 87 [25], связанная с яркими звездами BD —8° 1665 и BD —8° 1666.

1. Звезда нейтрального цвета с двумя голубоватыми усиками. ОР?

1. Красноватая туманная полоса дугообразной формы. Может быть продолжением туманности, связанной со звездой ZCMa. № 72.

 Голубая туманность эллипсондальной формы. ОР?
 Звезда нейтрального цвета с продолговатой туманностью. ОР?
 Голубоватая звезда с голубой малепькой туманностью. ОР? Звезда нейтрального цвета с продолговатой туманностью. ОР?

A9 73.

1. Красноватая звезда с туманным хвостом. Может быть тесной парой звезд. ОР? A9 74.

Голубоватая звезда с асимметричным туманным ореолом. ОР? 1. Голуоопатая звезда с аслиметричным гуманным орсолом. 2. Туманный красный продолговатый объект с копденсацией на краю. Входит в [24] под номером 22. НН?
3. Объект № 20 из [24]. НН?

Кометарная туманность № 8 нз [18]. ОР?
 Стущение с ореолом. Объект № 21 нз [24]. НН?

6. Туманное красное пятно низкой поверхностной яркости. Объект № 23 из [24]. HH?

7. Слабая красная звезда с кометообразным хвостом. ОР?

AG 75 1. Кометариая туманность № 76. Она находится на расстоянии ~5'.5 от тумачпости № 75, расположенной на краю S 302 [26]. OP? 2. Звезда нейтрального цвета с усиками. OP?

3. Голубоватая звезда с весрообразной туманностью. ОР?

1. Красное туманное пятно больших размеров, низкой поверхностной яркости, с сгущениями. НН? двумя 2. Красное туманное пятно больших размеров, низкой поверхностной яркости. HHI

Nº 83. На красной карте ПА область передержана излучением отражательной туманности vdB 107 [25]. 1. Туманное пятно нейтральной формы. НН?

1. Объект № 24 из [24], где он описан как «объект в виде красной веерообразтуманности». НН?
2. Туманность Вег 1 [23]. ОР?
3. Красный звездообразный объект в туманной полосе. Может быть частью ту-

манности № 84. НН?

1. Звезда с широким хвостом в туманности низкой поверхностной яркости. ОР? 2. Туманное пятно высокой поверхностной яркости. НН?

№ 86.

1. Красная конденсация в тумавности № 86. НН?

2. Звезда нейтрального цвета с длинным синим хвостом. ОР?

№ 87.

В область туманности попадает отражательная туманность NGC 6726/6727.

1. Пекулярная звезда ТСг А, связанная с туманностью, похожей на кометарную. OP.

2. НН 100. Состоит из двух туманных отдельных полос с конденсациями T281. HH.

3. Туманность Вег 157 [23]. ОР.

4. Звезда с широким хвостом и яркой продолговатой конденсацией на краю хвоста. Конденсация является объектом Хербига-Аро—НН 100. Из рис. 1 [28] видно, что с другой стороны звезды выходит еще одна пзогнутая туманная полоса инзкой поверхностной яркости. (НН+ОР)? № 90.

1. На красной карте ПА—звездообразный объект с нечеткими краями и туман-ным выступом на западе, на синей—туманное пятно. НН?

2. Продолговатое туманное пятно с конденсацией на краю. (НН-ОР)? NS 95.

1. Кометарная туманность № 92. ОР.

2. Звезда нейтрального цвета с ореолом. ОР? 3. Звезда нейтрального цвета с ореолом. ОР?

- 4. Возможно, что это система из четырех звезд в туманности небольших размеров или две звезды, соединенные туманным мостиком высокой поверхности яркости в гуманном пятие с конденсацией. ОР? № 96.
- 1. Аморфное туманное пятно, имеющее в кряспом цвете высокую поверхностную яркость. НН?

2. Красная звезда в туманном ореоле. ОР?

1. Красноватая звезда с коротким хвостом. Может быть галактикой, ОР?

Nº 98. На красной карте ПА область сильно передержана излучением туманности Северная Америка.

- 1. Звезда с коротким хвостом. ОР?
 2. Группа четырех изолированных пятен. Три из инх имеют внутри кондеисвции. (НН—ОР)? № 100.
 - Находится южиее отражательной туманности vdB 139[25] на расстоянии ~8. '4. 1. Звезда ЕН Сер, связанная с широко раскрытой туманностью комстарной фолнизкой поверхностной яркости. ОР.

2. Слабое туманное пятно удлиненной формы. НН?

1. Слабая красная звезда с усиками. ОР?

No 102

Находится южнее диффузной туманности NGC 7129.

11. Очень красное пятно с конденсацией. Объект № 32 из [24]. ИН [29].
2. НН 103 [28]. Очень красный туманный объект серповидной формы. НП.
3. Красное туманное пятно со сложной структурой. Объект № 35 из [24]. ИП [29].
4. Яркая звезда с туманностью низкой поверхностной яркости (NGC 7133). ОР.
5. Красное туманное ватно сферомальной формы.

Красное туманное пятно сферондальной формы. НН?
 Очень красный звездообразный объект и туманное пятно, соединенные туманной полосой (объект № 33А и В из [24]). Спектральные песледования этого объекта не дали

определенного результата пз-за его слабости. ННР
7. Переменная звезда SVS № 10 нейтрального цвета с длиним синим сериовидным хвостом. Туманность известна как Ber 41 [22] и RK 111 [30]. В качестве кометарной туманности входит в [18] под номером 53. ОР.
8. Переменная звезда (NSV 13859) нейтралького цвета с симметричной голубой туманностью. Туманность входит в [25] (vdB 146) и [30] (RK 110). Изучена в [29].

 Туманное пятно сферондальной формы. НН?
 Звездообразный красный объект с нечеткими краями и маленьким хвостом. Входит в [24] (№ 34A). НН?

11. Пара туманных красных пятен низкой поверхностной яркости с хвостами.

Отмечены в [29]. НН?

12. Группа по крайней мере пяти туманных красных пятен очень низкой поверхностной яркости; их существование отмечено в [29]. НН? № 103.

1. Красный звездообразный объект с нечеткими краями. НН?

2. Пара двух конденсированных объектов. НН? 3. Пара двух туманных пятен. НН?

4. Туманное пятно треугольной формы, НН? № 104.

Находится между двумя НП областями-S 156A и В.

1. Звезда нейтрального цвета с красным ореолом и с конденсацией в ней. ОР? 2. Звезда нейтрального цвета с красной сфероидальной тумонностью. ОР?

 № 106.
 1. Звезда ВІ—4 с красной кометарной туманностью низкой поверхностной яркости. ОР.

d. U. Abstrusul, u. A. Abstrusul

ՄԻԳԱՄԱԾԱՑԻՆ ԳՈՑԱՑՈՒՄՆԵՐ ԳԻՍԱՎՈՐԱՁԵՎ ՄԻԳԱՄԱԾՈՒԹՅՈՒՆՆԵՐԻ ԵՎ ՀԱՐԱԿԻՑ ՕԲՅԵԿՏՆԵՐԻ ՇՐՋԱԿԱՅՔՈՒՄ

Պալոմարի քարտեղների վրա 10′ շառավղով շրջաններում հետազոտված է 104 գիսավորաձև միգամածությունների և Հարակից օբյեկտների (ԳՄՀՕ) շըրջակայքը։ Արդյունքում՝ 73 ԳՄՀՕ-ների շուրջը նույնացվել են 198 միդամած դոյացումներ, որոնցից 128-ը առաջին անգամ։ Հայտնաբերված 198 միդամած գոլացումներից 78-ը դասակարգվել են որպես իրական կամ ենթեադրյալ Հերրիգ-Հարոյի օբյեկտներ, 107-ը՝ Օրիոնի բնակչության աստղերի հետ կապված միգամածային օրյեկտներ, 13-ի բնույթը պարզ չէ։

Տրվում հն հայտնաբերված գոլացումների նկարադրությունները, ԳՄՀՕների նկատմամբ դրանց դասավորությունը, Պալոմարի կարմիր և կապուլտ

ծաևարմը իրի վևա ժետը հափբևև։

Ստացվել են Տետևյալ վիճակագրական արդյունքները։ Գիսավորաձև միդամածությունների շուրջը հայտնաբերված Հերբիգ-Հարոյի օբյիկտները ցուցաբերում են խմբավորում գեսերի ուղղությամբ։ Այն կարելի է մեկնաբանել որպես զիսավորաձև միգամածությունների և Հերբիգ-Հարոյի օրյեկտների միջև գոյություն ունեցող կապ, որը բացակայում է Տարակից օրլեկտների Տա֊ பீயரா

ԳՄՀՕ-ները աստղերի հետ կապված միգամածությունների հետ կազմում են որուցեր և բազմակի համակարգեր, որոնը գերազանցապես սեղանակերպ 1.5 ..

Գիսավորաձև միգամածությունների և հարևանների առանգրային ուղղու-Ալունների միջև առնչություն չի նկատվել։

V. M. PETROSSIAN, A. R. PETROSSIAN

NEBULOUS OBJECTS AROUND COMETARY NEBULAE AND RELATED OBJECTS

The vicinity of 104 cometary nebulae and related objects (CNRO) was investigated on the Palomar Sky Survey prints (PSS) within 10'.

It is shown that there are 198 nebulous objects in the vicinity of 73 CNRO's of which 128 were detected by us. These objects are classified as follows: 78-real or suspected Herbig-Haro objects, 107-connected with real or suspected Orion population stars. The nature of 13 objects is not clear. Their description, coordinates and sizes on the red and blue PSS are presented.

The statistical investigation suggests the genetic connection between the cometary nebulae and Herbig-Haro objects discovered in their vi-

cinity. Such connection is not obvious for related objects.

CNRO and nebulous objects connected with Orion population stars

form multiple systems most of which are of Trapezium type.

No correlation between axies of cometary and neighbouring nebulae was revealed.

ЛИТЕРАТУРА

- 1. В. А. Амбарцумян, Сообщ. Бюраканской обс., 13, 1954.
- 2. В. А. Амбарцумян, Вопросы Космогонин, 4, 76, 1955.
 3. О. Н. Herbig, N. R. Rao, Astrophys, J., 174, 401, 1972.
 4. M. Cohen, Astron. J., 85, 29, 1980.
 5. R. D. Schwartz, Astrophys J., 223, 884, 1978.

- 5. R. D. Schwartz, Astrophys J., 223, 884, 1978.
 6. Э. С. Парсамян, В. М. Петросян, Сообщ. Бюраканской обс., 51, 1979.
 7. В. F. Jones, G. H. Herbig, Astron. J., 87, 1223, 1982.
 8. S. Edwards, R. L. Snell, Astrophys. J., 270, 605, 1983.
 9. R. F. Warren-Smith, S. M. Scarroth, D. J. King, K. N. R. Taylor, R. G. Bingham, P. Murdin, M. N. R. A. S., 192, 339, 1980.
 10. M. Cohen, P. A. S. P., 86, 813, 1974.
 11. J. Canto, L. F. Rodriguez, J. F. Barral, P. Carral, Astrophys. J. 244, 102, 1981.
- 12. В. А. Амбарцумян, Сообщ. Бюраканской обс., 15, 3, 1954.
 13. А. Л. Гюльбудагян, Астрофизика, 19, 747, 1983.
 14. J. Dorschner, J. Gurtler, Astron. Nachrich. 287, 257, 1963.
 15. M. Cohen, L. V. Kuhl, Astrophys. J., 210, 365, 1967.
 16. V. M. Blanco, P. A. S. P., 74, 330, 1962.
 17. S. Sederblad, Medd. Lunds Astron. Obs. No. 119, 1947.

- 18. А. Л. Гюльбудагян, Т. Ю. Магакян, Письма в АЖ. 3, 113, 1977. 19. М. Cohen, D. K. Aitken, P. F. Roche, P. M. Williams, Astrophys. J, 273, 624, 1983.

- O. Struve, P. Swings, P. A. S. P., 60, 61, 1948.
 A. H. Joy. Astrophys. J., 110, 424, 1949.
 C. Bernes, Astron. Astrophys. Suppl., 29, 65, 1977.

- 23 G. H. Herbig, Bull. Lick Obs., No. 658, 1974.
 24. A. Л. Гюльбудагян, Т. Ю. Магакян, ДАН АН АрмССР, 64, 104, 1977.
 25. S. van den Bergh, Astron. J. 71, 990, 1966.
 26. S. Sharpless, Astrophys. J. Suppl., 4, 257, 1959.
 27. G. H. Herbig, Astrophys. J. Suppl., 4, 337, 1960.
 28. S. E. Strom, G. L. Grasdalen, K. M. Strom, Astrophys. J., 191, 111, 1974.
- 29. Т. Ю. Магакян, Письма в АЖ, 9, 155, 1983. 30. Д. А. Рожковский, А. В. Курчаков, Тр. Астрофиз. ин-та АН КазССР, 11, 5, 1968.

ОПРЕДЕЛЕНИЕ МЕЖЗВЕЗДНОГО КОМПОНЕНТА ПАРАМЕТРОВ ПОЛЯРИЗАЦИИ µ Сер СТАТИСТИЧЕСКИМ ПУТЕМ

После открытия переменности поляризации света полуправильной переменной звезды и Сер (M2Ia) многие наблюдатели, занимающиеся поляризацией света звезд, произвели продолжительные наблюдения этой звезды. В результате в настоящее время накопилось большое количество наблюдений звезды и Сер [I—16], достаточных для статистического исследования ее собственной поляризации. Для решения этой задачи важно определение межзвездного компонента этой поляризации.

В настоящем сообщении по предложению первого автора данной работы делается попытка статистическим путем оценить значение параметров межзвездной поляризации звезды μ Сер (P_M , θ_M), а также среднее значение собственной поляризации этой звезды (P_a). С этой целью нами были использованы все поляриметрические данные звезды

и Сер, определенные в V и В цветах.

Для и Сер имеются поляриметрические данные всего за 288 ночей, из них 169 измерений в V цвете и 119—в В. Поляриметрические данные, приведенные в работе [14], получены без светофильтра и представлены только графически, поэтому эти данные в настоящей работе не использованы.

Параметры поляризации всех наблюдений в V и В цветах в отдельности (то есть усредненные величины Р и в, наблюденные в отдельные ночи) были разделены по интервалам позиционных углов плоскости поляризации. Величина этого интервала выбрана так, чтобы она была близка к среднему значению ошибок измерения позиционного

угла плоскости поляризации: $\Delta \theta = 5^{\circ}$.

По существующим наблюдательным данным относительно поляризации μ Сер [1—16] был составлен список, включающий интервалы позиционных углов ($\Delta \theta$), количество наблюдений в каждом интервале (n_V , n_B), среднее значение поляризаций в каждом интервале позиционного угла (P_V , P_B), общее число наблюдений ($N=n_V+n_B$) и среднее значение поляризации, определенное следующим образом

$$\overline{P}_{V,B} = \frac{n_{V}\overline{P}_{V} + n_{B}\overline{P}_{B}}{n_{V} + n_{B}}.$$

На рис. 1 приведена частота встречаемости ($N_0 = \frac{N}{288}$ 100) различных

значений позиционного угла плоскости поляризации θ , которая показывает, что более чем 50% наблюдений находятся в интервале $\theta_H = 20-60^\circ$, а максимальная частота встречаемости (N=13.5) соответствует $\theta_H = 33^\circ$. Это можно объяснить лишь тем, что в наблюдаемой поляризации кроме собственной (с переменными параметрами поляризации) существует другой компонент поляризации с постоянными P и θ .

При наличии этого компонента плоскость наблюдаемой поляри-

зации на определенном направлении должна наблюдаться более часто и она должно быть близка к направлению плоскости поляризации постоянного компонента [4]. Очевидно, что этот компонент представляет собой межзвездную поляризацию света звезды.

Таким образом, из рис. 1 следует, что направление плоскости меж-

звездной поляризации возможно близко к $\theta = 33^{\circ}$.

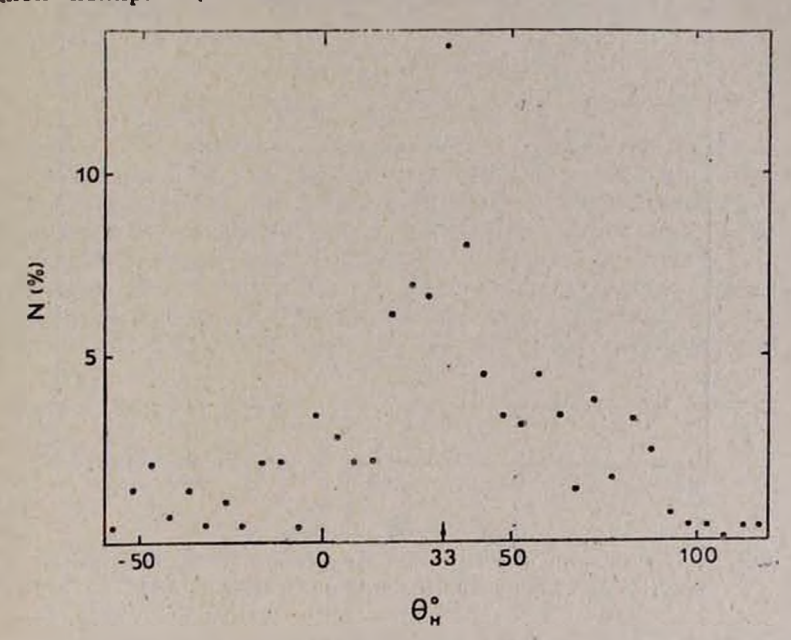


Рис. 1. Зависимость частоты встречаемости наблюдений (N₀) от плоскости наблюдаемой поляризации ($\theta_{\rm H}$)

Однако из-за кумулятивного эффекта θ может быть немного смещено от θ -межзвездного. Поэтому для более точного определения позиционного угла межзвездной поляризации мы рассмотрели зависимость $P_{V,B}$ от θ_H (рис. 2). Из рис. 2 видно, что при θ =43° наблюдаемая поляризация имеет максимальное значение. Это возможно тогда, когда направление плоскости собственной (звездной) поляризации совпадает с направлением плоскости постоянного компонента межзвездной поляризации. Следовательно, из зависимости $P_{V,B}$ от θ_H следует, что направление плоскости межзвездной поляризации равно θ_M =43° \pm 5°.

$$P_{\bullet} + P_{M} = 2.2\%.$$
 (1)

При минимальном значении наблюдаемой поляризации, направления плоскостей собственной и межзвездной поляризации противоположны. Следовательно, имеем (рис. 2):

$$P_{.}-P_{M}=0.2\%$$
. (2)

Из уравнения (1) и (2) получаем:

$$P_* = 1.2\%$$
 II $P_M = 1.0\%$.

Для оценки межзвездной поляризации для звезды и Сер были использованы различные методы. Результаты ее определения различными авторами, в том числе настоящего определения, приведены и таблице.

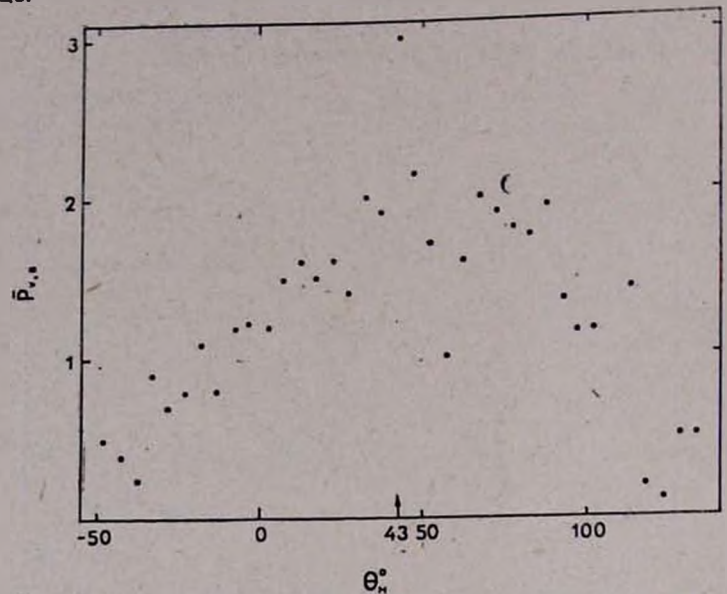


Рис. 2. Зависимость среднего значения наблюдаемой поляризации $(P_{V,B})$ от позиционного угла поляризации (θ_H)

			Таблица
Авторы	P, %	0°	Лит-ра
Варданян Койн и Крушевский Плаховской Фридеманн Полякова Варданян, Ерицян	0.7 2.0 1.2 0.8 1.5	55 45 7.6 45 47 43	[4] [7] [6] [14] [10]

Из данных, приведенных в таблице, видно, что согласованность между значениями параметров межзвездной поляризации μ Сер, определенными различными авторами, кроме [7] ($P_{\mu} = 2\%$) и [6] ($\theta_{\mu} = -7.6^{\circ}$), удовлетворительна.

Применяя цифровую фильтрацию по медиане [17] на значения P_{u} и θ_{u} (см. таблицу) в отдельности, получим следующие значения пара-

метров межзвездной поляризации:

$$(P_{\text{M}})_{\phi}$$
=1.0; 1.2; 1.2; 1.2; 1.0; 1.0; $(\theta_{\text{M}})_{\phi}$ =45; 45; 45; 45; 45; 47.

Среднее значение этих величин равно $(P_{\rm M})_{\varphi}=1.1\%$; $(\theta_{\rm M})_{\varphi}=45^{\circ}$. Последнее с большой точностью ($\Delta P=0.1\%$ $\Delta \theta=2^{\circ}$) совпадает с нашими данными, полученными статистическим методом.

Поэтому, определенные нами значения параметров поляризации ($P_{\rm M} = 1.0\%$, $\theta_{\rm M} = 43^{\circ}$) можно считать как достоверные значения меж-

звездного компонента поляризации звезды и Цефея.

Используя эти параметры межзвездной поляризации по наблюдательным данным, приведенным в работах [1—13, 15, 16], нами были определены параметры собственной поляризации света звезды µ Сер. Средние значения степени собственной поляризации света µ Сер в V п В цветах оказались равными:

$$(P_{\bullet})_{V} = 1.17 \% \pm 0.25;$$

 $(P_{\bullet})_{B} = 1.64 \% \pm 0.28.$

На рис. 3, a приводится зависимость степени собственной поляризации звезды μ Сер от визуальной звездной величины (m_V) после применения цифровой фильтрации [17]. При этом величины m_V были разбиты по интервалам звездных величии шириной $\Delta m = 0$ m1. В каждом интервале затем было вычислено среднее значение собственной поляризации. Как следует из рис. 3,a, с уменьшением блеска звезды в визуальном цвете степень собственной поляризации достигает максимального значения (при $m_V = 4$ $m_V = 1$), после чего несколько уменьшается.

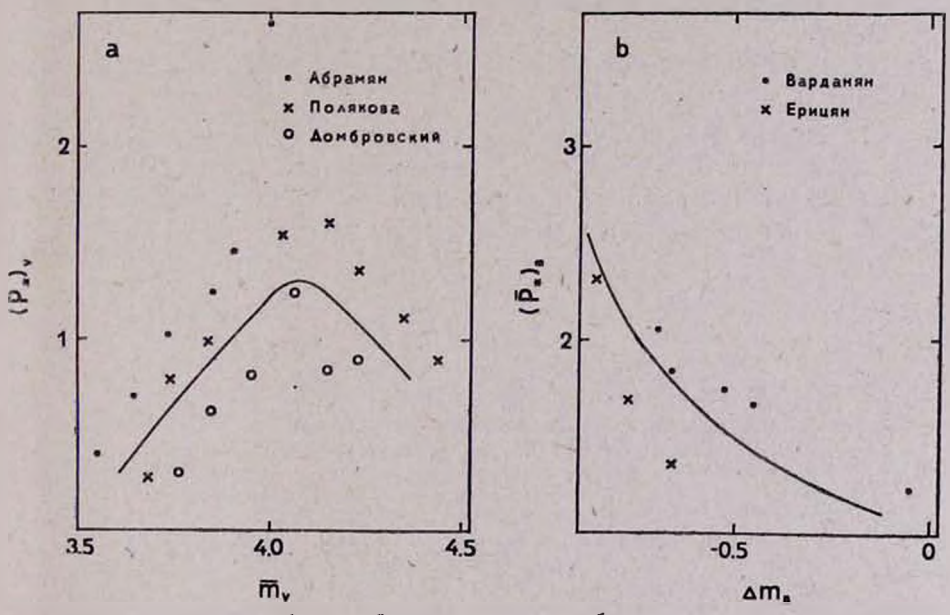


Рис. 3. Зависимость собственной поляризации от блеска звезды:
«—в визуальном цвете, b—в синем цвете

На рис. 3, b приведена также зависимость степени собственной поляризации от блеска звезды по отношению к стандарту μ Сер в синем цвете (Δm_B). Эта зависимость сильно отличается от зависимости, полученной в визуальной области спектра (рис. 3, a). Это различие требует дальнейшего подтверждения, так как может быть, что при наблюдении звезды μ Сер в синем цвете она находилась вблизи минимум зблеска, когда согласно рис. 3, a, следовало бы ожидать подобной зависимости.

Ռ. Ա. ՎԱՐԴԱՆՅԱՆ, Մ. Հ. ԵՐԻՑՑԱՆ

µСер ԱՍՏՂԻ ԲԵՎԵՌԱՑՄԱՆ ՊԱՐԱՄԵՏՐԵՐԻ ՄԻՋԱՍՏՂԱՅԻՆ ԲԱՂԱԴՐԻՉԻ ուսշսինն հեջուրություն բարություն

Վիճակագրական եղանակով գնամատվել են ը Cep աստղի լույսի միջաստ. ղային բևնռացման պարամետրերի մեծու $oldsymbol{eta}_1$ ունները ($oldsymbol{
m P}_{
m M}=1.0\%$, $oldsymbol{ heta}_{
m M}$ 13%)։ Հաշվի առնելով միջաստղային բևեռացման այս մեծությունները. որոշվե են աստղի սեփական բևեռացման չափը V և B գույներում՝ Pv = 1,17 PB = 1,64% :

Աշխատանքում բերված է նաև բ Cep աստղի լույսի սեփական բևեռացման կախվածությունը պալծառության փոփոխությունից։

R. A. VARDANIAN, M. H. ERITSIAN

THE STATISTICAL DETERMINATION OF THE COMPONENT OF THE INTERSTELLAR POLARIZATION OF 1 CEP

The parameters of interstellar polarization of \(\psi \) Cep are statistically evaluated ($P_{\rm M}=1.0\%$, $\theta_{\rm M}=43^{\circ}$).

The average magnitudes of the degree of polarization of μ Cep in V and B colours are (P_e)v=1.17%, (P_e)_B=1.64% determined after account of nterstellar polarization. The dependence of intrinsic polarization of light of \(\mathbb{L} \) Cep on brightness is reveiled.

ЛИТЕРАТУРА

1. К. А. Григорян, Сообщ. Бюраканской обс., 25, 45, 1958.
2. К. А. Григорян. Сообщ. Бюраканской обс., 27, 43, 1959.
3. Р. А. Варданян, Сообщ. Бюраканской обс., 37, 23, 1966.
4. Р. А. Варданян, Сообщ. Бюраканской обс., 35, 3, 1964.
5. В. А. Домбровский, Т. А. Полякова, В. А. Яковлева, АО ЛГУ, 28, 25, 1971.
6. Н. М. Шаховской, Изв. Крымской астрофиз. обс., 39, 11, 1969.
7. G. V. Соупе, S. J. and А. Кгизгешski, А. Ј., 73, 20, 1968.
8. В. А. Домбровский. Т. А. Полякова, В. А. Яковлева, АО ЛГУ, 27, 3, 1970.
9. Е. А. Арсениевич, Сообщ. Бюраканской обс., 44, 91, 1972.
10. Т. А. Полякова, Астрофизика, 10, 53, 1974.
11. М. А. Ерицян, Астрофизика, 20, 195, 1984.
12. Г. А. Абрамян, Сообщ. Бюраканской обс., 52, 24, 1980.
13. Т. А. Полякова, Астрофизика, 21, 125, 1984. 13. Т. А. Полякова, Астрофизика, 21, 125, 1984. 14. G. Friedemann, Astron. Nachrichten, 293, 179, 1972.

15. Daniel P. Hayes, IBVS, 1984, 1980.

16. Daniel P. Hayes, IBVS, 2064, 1981. 17. Р. А. Варданян., М. О. Закарян, М. С. Мирзоян, Сообщ. Бюраканской обс.. 52,

объекты со значительными ультрафиолетовыми ИЗБЫТКАМИ В СЕВЕРО-ЗАПАДНОЙ ОКРЕСТНОСТИ СКОПЛЕНИЯ М 13. П

Введение. Возможность наличия среди слабых голубых объектов на больших галактических широтах (b>30°) некоторой доли квазизвездных объектов привлекает к этим голубым объектам

внимание исследователей.

На двухцветной (U—B), (B—V) диаграмме звезды главной последовательности лежат в довольно узкой, четко ограниченной полосе. Пелый ряд объектов, имеющих избытки излучения в ультрафиолетовой области, располагается гораздо выше этой полосы. Квазизвездные же объекты на этой диаграмме располагаются над чернотельной прямой. На этом же участке диаграммы могут находиться и некоторые белыс карлики, старые новые и связанные с ними сильно проэволюционировавшие звезды, некоторые виды переменных (Ориониды, Цетиды), а также некоторые звезды типа Ве, у которых наблюдается значительный ультрафиолетовый избыток из-за эмиссионного бальмеровского скачка. Разнообразие этих объектов делает особенно целесообразным их исследование.

Наблюдательный материал. Настоящая работа является частью фотометрического исследования голубых объектов в окрестностях шарового скопления M 13 (b=+40°) [1]. На основе фотометрирования объектов, отобранных в результате просмотра снимков северо-запад-ной части окрестности М 13, были выделены объекты, которые имеют цвета U—В и В—V, располагающие их над чернотельной прямой на двухиветной диаграмме. Их исследованию и посвящена настоящая работа. Результаты фотометрического исследования остальных голубых объектов, разместившихся на (U-B), (B-V) диаграмме ниже чернотельной прямой, будут опубликованы позднее.

Координаты центра исследуемой здесь области: $\alpha_{1950} = 16^{h}35^{m}2$.

 $\delta_{1950} = +37^{\circ}36'$; ее площадь 16 квадратных грэдусов.

Наблюдения проводились, как и в [1], в трех участках спектра, соответствующих цветам U, В и V, на 40—52" телескопе системы Шмидта Бюраканской астрофизической обсерватории, с теми же сочетаниями фотоэмульсий и светофильтров, которые дают цветовую систему, практически не отличающуюся от международной системы UBV.

Для фотометрической обработки были отобраны 18 фотопластинок, данные о которых приведены в табл. 1. Туда же включены данные о двух снимках, полученных с объективной призмой, которые также

использовались нами при отборе объектов.

Отбор и фотометрические измерения объектов. Отбор голубых звездоподобных объектов производился путем попарного сравнения их изображений на фотопластинках, полученных в различных цветах, при помощи блинк-компаратора фирмы Цейсс, а также путем просмотНаблюдательный материал

Ne Ne	Дата набаюдения	Время экспозиции	Паастинка	фильтр	Цветовая система	5.
1 2 3 4 5 6 6 7 8 9 10 11 12 13 14 15 16 17 18 19 20	8—9.VI. 1966 11—12.VI. 1966 14—15.VI. 1966 15—16.VI. 1966 15—16.VI. 1966 22—23.VI. 1967 6—7.VI. 1967 1—2.VII. 1967 8—9.VII. 1967 15—16.VII. 1969 17—18.VII. 1969 21—22.VI. 1972 5—6.VII. 1972 9—10.VII. 1972 11—12.VII. 1972 19—20.VII. 1972 14—15.VI. 1974 11—12.VI. 1974 11—12.VI. 1974	23 ^h 41 ^m —0 ^h 11 ^m 1 55 —2 35 22 12 —0 00 0 42 —2 42 2 55 —3 35 1 05 —1 45 23 54 —0 14 2 15 —2 55 23 53 —0 13 0 46 —0 58 1 43 —2 48 2 32 —3 52 2 12 —3 37 1 10 —1 25 2 46 —3 53 23 17 —0 37 2 50 —3 35 23 10 —23 15 23 12 —23 40 22 16 —22 44	Zu 2 Kodak OAD Zu 2 Zu 2 Kodak OAD Kodak OAD Zu 2 Kodak OAD Zu 2 Kodak OAD Zu 2	GG 13 GG 11 UG 2 UG 2 GG 11 GG 13 GG 13 GG 13 UG 2 UG 2 UG 2 UG 2 UG 2 UG 2	B V U U V V B V B B V V U B U U U V V B U U U U	12.5

[•] Здесь ф-угол преломления объективной призмы.

ра спектральных снимков, полученных на том же телескопе в сочетании с объективной призмой (пластинки № 19, 20 табл. 1).

Наше исследование распространялось до величины 19^{тм}.5 в цвете В, причем принимались во внимание лишь те объекты, у которых можно было определить звездные величины во всех трех цветах U, B и

В результате просмотра пластинок для фотометрирования было отобрано 1623 объекта. Фотометрические измерения производились на ирисовом фотометре фирмы Цейсс. В качестве стандартов для построения характеристических кривых были использованы усредненные фотоэлектрические UBV величины, полученные Баумом [2] и Броуном [3] для ряда звезд шарового скопления М 13, расположенного на снимках исследуемой области.

После измерения отобранных объектов на восьми пластинках (№ 1, 5, 6, 7, 9, 13, 15 и 17 табл. 1) для дальнейшего фотометрирования было оставлено 950 таких объектов, у которых, по предварительным данным, по крайней мере, один из показателей цвета В—V или U—В

меньше либо же около нуля.

Большая и трудоемкая работа по фотометрированию этих 950 объектов на всех отобранных для обработки 18 пластинках еще не закончена. По результатам обработки были отобраны 83 объекта, которые на (U—B), (B—V) днаграмме находятся над чернотельной прямой. После измерения блеска этих объектов на всех имеющихся в нашем распоряжении пластинках несколько объектов были отброшены, так как либо при усреднении всех данных измерений они оказались несколько ниже чернотельной прямой, либо же показали значительную (более 1^m) переменность, а значит нельзя было сколько-нибудь уверенно определить их положение на двухцветной днаграмме. (Список переменных объектов, обнаруженных в исследуемой области, будет опубликован позднее.)

Таким образом, было выявлено 67 объектов, которые по результатам усреднения данных измерений всех 18 пластинок располагаются на (U—B), (B—V) диаграмме над чернотельной прямой. В табл. 2 приведены усредненные данные об этих объектах по нашим определениям.

Таблица 2

Блеск и показатели цвета исследованных объектов								
N t	В	U-B	B—V	Ne	В	U—B	B-V	
1 2 3 4 5 6 7 8 9 10 11 12 13 14 15 16 17 18 19 20 21 22 23 24 25 26 27 28 29 30 31 31 31 31 32 33 34 34 35 36 36 37 38 37 38 38 38 38 38 38 38 38 38 38 38 38 38	16m 94 17.39 18.42 16.52 17.29 16.79 17.20 16.71 16.33 17.44 16.27 17.11 16.56 18.01 18.39 18.86 17.18 17.53 18.42 16.82 17.63 16.44 16.82 18.57 17.18 16.43 17.47 16.43 17.47 16.43 17.19 17.69 18.85 18.59 18.67	-0m 15 -0.33 -0.45 -0.31 -0.42 -0.30 -0.45 -0.24 -0.17 -0.53 -0.24 -0.37 -0.25 -0.65 -1.07 -0.62 -0.42 -0.42 -0.42 -0.42 -0.34 -0.49 -0.19 -0.49 -0.19 -0.49 -0.19 -0.49 -0.19 -0.49 -0.19 -0.49 -0.19 -0.49 -0.19 -0.49 -0.79	+0m 68 -0.68 -0.56 -0.78 -0.64 -0.70 -0.73 -0.90 -0.67 -0.61 -0.74 -0.63 -0.34 -0.41 -0.67 -0.65 -0.58 -0.58 -0.68 -0.37 +0.65 -0.69 -0.69 -0.69 -0.69 +0.68 +0.31	35 36 37 38 39 40 41 42 43 44 45 46 47 48 49 50 51 52 53 54 55 56 60 61 62 63 64 65 66 67	17m 68 18.28 18.82 16.80 16.86 17.41 16.94 18.11 18.10 17.39 17.42 19.03 18.49 18.09 17.92 17.41 17.94 18.51 17.91 18.51 17.91 18.51 17.91 18.51 17.91 18.51 17.91 18.51 17.91 18.51 17.91 18.51 17.83 18.66 18.56 18.56 18.56	0m 710.910.950.370.540.370.400.390.900.420.510.691.010.280.390.340.560.460.371.020.270.240.380.550.880.110.371.040.650.740.880.91	+0.20 +0.20 +0.33 +0.72 +0.67 +0.62 +0.92 +0.59 +0.31 +0.60 +0.31 +0.63 +0.49 +0.55 +0.52 +0.47 +0.55 +0.52 +0.47 +0.55 +0.55 +0.55 +0.60 +0.75 +0.60 +0.75 +0.60 +0.75 +0.60 +0.75 +0.60 +0.75 +0.60 +0.75 +0.60 +0.75 +0.60 +0.75 +0.60 +0.75 +0.55 +0.52 +0.75 +0.60 +0.60 +0.75 +0.60	

Среднеквадратическая ошибка измерений звездных величин, вычисленная по формуле $\sigma = \sqrt{\frac{|a_1 - \overline{a}|^2}{n(n-1)}}$, оказалась равноп 0^m 09. Она

получилась несколько большей, чем ожидалось. Возможная причина

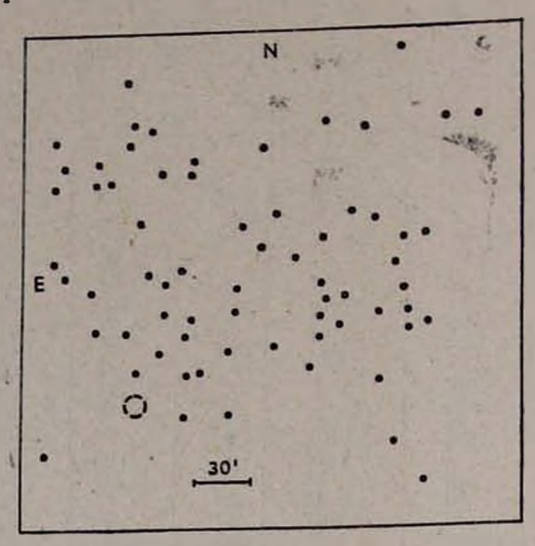
этого будет обсуждаться ниже.

Никаких исправлений за межзвездное покраснение к фотометрическим данным применено не было, так как известные определения расстояния до М 13 показывают, что поглощение в области этого скопления очень мало. По многим исследованиям [4—6] звезды скопления вообще не показывают никакого покраснения. Произведенные нами подсчеты звезд в окрестностях М 13 (за пределами скопления) также не показали существенных различий в звездной плотности [1].

На рис. 1 представлена схематическая карта распределения рассматриваемых в настоящей работе объектов, по которой можно судить о том, что в видимом распределении этих объектов по всей исследуемой области значительных неравномерностей не наблюдается. Пунктир-

ным кружком на рисунке обозначено местоположение М 13.

В приложении даны карты отождествления обнаруженных нами объектов, которые находятся в центре кружков; в некоторых случаях



распределения карта Рис. 1. Схематическая исследованных объектов

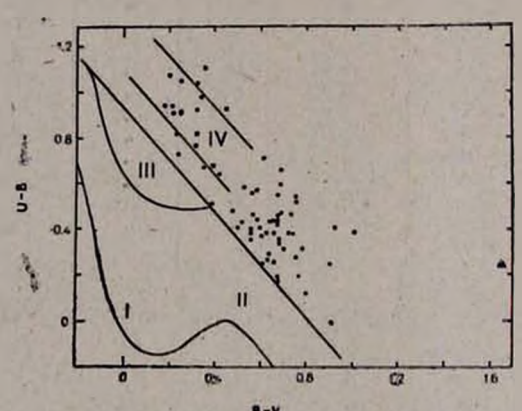


Рис. 2. Двухцветная (U—B), (B—V) днаграмма

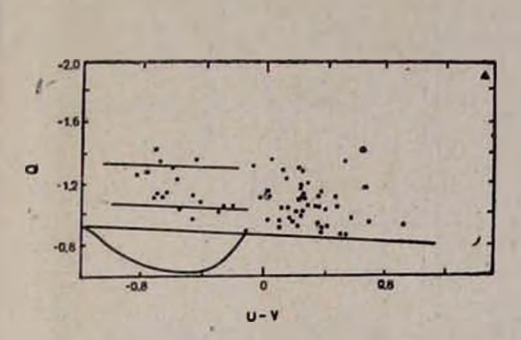
объекты настолько слабы, что их изображения не просматриваются на

приведенных картах.

Двухцветная диаграмма. На рис. 2 представлена двухцветная (U—B), (B—V) диаграмма, на которой обозначены обнаруженные нами объекты. На этой диаграмме стандартная зависимость U—B, B—V для звезд главной последовательности, построенная Эггеном и Сандейджем [7], показана кривой линией, а зависимость для чернотельного излучения, полученная Метьюсом и Сандейджем [8], прямой линией. Римскими цифрами на этой диаграмме, согласно [7], обозначены различные зоны, населенные следующими группами объектов: І-звезды главной последовательности; ІІ-субкарлики населения галактического диска и гало; III-белые карлики типов В. А. С; IV-квазизвездные объекты и некоторые виды переменных. У зон III и IV

обозначены примерные границы.

Средними значениями показателей цвета для квазаров считаются U-B=-0^m.68 и B-V=+0^m.35 [9]. В нашей работе рассматриваются объекты, расположенные на приведенной диаграмме, в основном, песколько выше чернотельной прямой, чем такой «усредненный ква-3ab».



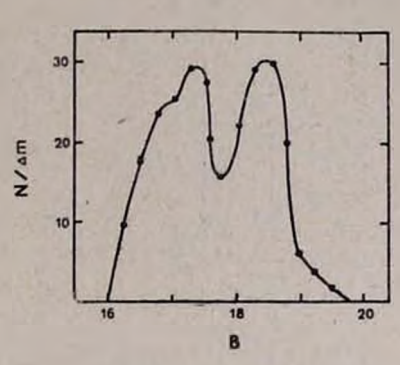


Рис. 3. Двухциетная гле O = (U - B) - (B - V)

О. U-V диаграмма. Рис. 4. Распределение объектов по отдельным величинам

Для удобства рассмотрения двухцветной диаграммы и для ее дальнейшего обсуждения введем ортогональную систему координат с поворотом осей на 45° (сохранив тот же масштаб). Она приведена на рис. 3, где по оси абсцисс откладывается сумма показателей U-В и B-V, т. е. U-V, а по оси ординат их разность, т. е. Q = (U-B)-(B-V).

Как видно из рисунка, все объекты, за исключением одного (№ 56. о нем см. ниже), расположились горизонтальной полосой, заключенной между чернотельной прямой и линией Q = - 1^m 45. Протяженность

этой полосы от $U-V=-0^{m} 85$ до $U-V=+0^{m} 92$.

Исследованные объекты несколько условно можно разделить на две группы: центр одной, менее населенной группы (21 объект), находится на диаграмме у значения $U-V=-0^m.55$, а центр второй (45 объектов)—у значения $U-V=+0^m.30$, хотя четко видимого разграничения между ними нет. В дальнейшем будем называть группу объектов с U-V<0 «левой» подгруппой, а с U-V>0—«правой» подгруп-

Распределение по блеску. Рассмотрим теперь, как распределены объекты «полосы» по их блеску. На рис. 4 представлено распределение исследованных объектов по отдельным интервалам звездных величин, на основании которого можно предположить существование различных групп объектов.

Подобные же распределения, построенные отдельно для «левой» и «правой» подгрупп (рис. 5, α), указывают на значительное их разли-

чие.

Как ни странно, еще более резко выраженные различия обнаруживаются у групп, разделенных значением $U-V=+0^{m}.2$, которое разбивает все объекты «полосы» (66 объектов) ровно пополам (рис. 5, b).

Как видно из рис. 5. максимум распределения объектов с большими значениями U—V (сплошные линии) находится около величины В=17^{т.}0, максимум же объектов с меньшими значениями U—V (пунктирные линии)—около 18 т.4. Причем это последнее значение, вероятно, несколько искусственно уменьшено, так как понижение кривой распределения после 18 т.5 естественно объясняєтся неуверенностью в отборе более слабых голубых объектов, а также непременным условием нашего отбора, при котором изображения объектов должны были обна-

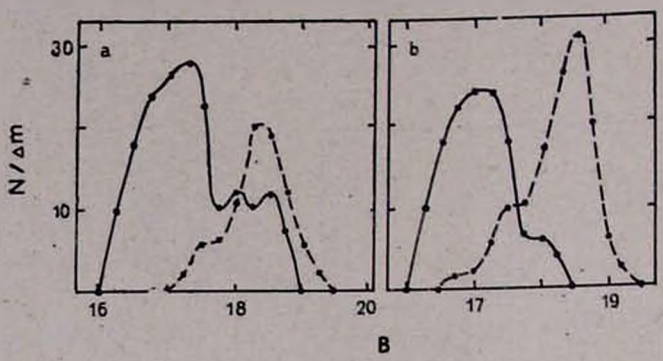


Рис. 5. Распределение объектов по яркости с большими значениями U—V (сплошные линии) и с меньшими U—V (пунктирные линии): a—разграничивающее значение U—V=0 m ; s— U—V = \div 0 m .2

руживаться на пластинках всех трех цветов. Тем самым, разница максимумов может быть еще существеннее. (Подобное распределение, построенное по визуальной видимой величине, показывает еще большую разницу в максимумах этих подгрупп.) Таким образом, объекты «левой» подгруппы, в основном, гораздо слабее объектов «правой» подгруппы.

Объект № 56, обозначенный на ряде рисунков настоящей статы треугольником, не фигурирует в этом распределении, так как выделяется из всей совокупности объектов своим очень большим значением U—V=+1^m.43 и очень слабым блеском В=19^m.34. Он существенно отличается от всех исследованных объектов и выпадает из «полосы» объектов на рис. 2 и 3.

Этот объект занимает также резко обособленное положение и на

диаграмме «цвет-светимость».

Диаграмма «цвет—светимость». Подобные диаграммы, построенные по различным показателям цвета, существенно не отличаются друг от друга. Для большей наглядности рассмотрим показатель цвета U—V, так как он изменяется в несколько большем диапазоне, чем другие показатели.

На рис. 6 приведена диаграмма «цвет U—V—визуальная видимая величина V», которая также убеждает, что объекты «левой» подгрупны значительно слабее объектов «правой» подгруппы, причем для объектов последней характерна определенная зависимость: у более ярких

объектов, в среднем, большие значения U-V.

Особенно же явно различаются исследованные объекты на диаграмме «Q, V» (рис. 7). Несмотря на значительный разброс точек, очевиден систематический характер их распределения, которое заметно разделяется на две ветви. Объекты «левой» подгруппы обозначены

на рисунке бельми кружками, объекты с $0^m < U - V < +0^m.2$ —крестиками, а объекты с $U - V \ge +0^m.2$ —черными кружками. Как видно из рисунка, объекты «левой» подгруппы составляют почти полностью инжиюю ветвь диаграммы, а объекты «гравой» подгруппы—верхнюю. Объекты же с $0^m < U - V < +0^m.2$, в основном, попадают в нижнюю вствь, в верхнюю ветвь попали лишь два таких объекта.

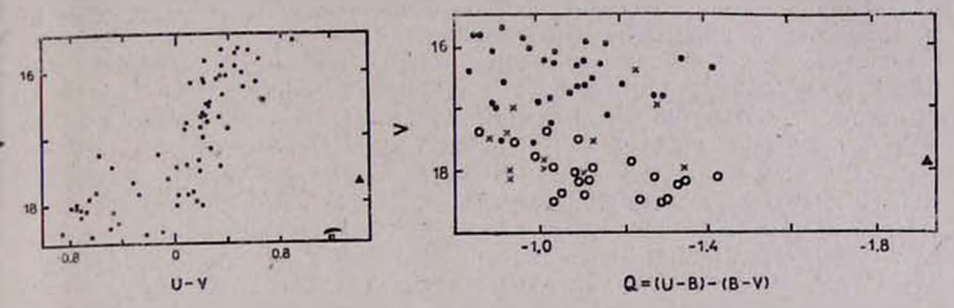


Рис. 6. Диаграмма цвет U—V— светимость V

Рис. 7. Диаграмма Q, V

И опять же здесь очень обособлен обозначенный треугольником объект № 56.

Обсуждение результатов. Наше исследование, разумеется, не позволяет определить, какие именно из 67 объектов являются квазизвезлными. Казалось бы, предпочтительнее они должны быть в «левой» подгруппе, положение которой совпадает с населенной квазарами зоной IV на рис. 2. Однако следует иметь в виду, что на объединенной двухцветной диаграмме [7] зона, занимаемая нашей «правой» подгруп-

пой, вообще не рассматривалась.

Очевидно, без тщательных спектральных исследований нельзя сделать определенных выводов. Чтобы доказать, что объект внегалактический, необходимо получить его спектр, показывающий значительное красное смещение. Наши же объекты настолько слабы, и дисперсия их спектров на наших пластинках (№ 19, 20, табл. 1) столь мала, что эти спектры совсем не содержат деталей. Можно лишь заключить по этим спектрам, что их коротковолновые части, в основном, значительно длиннсе, а иногда и ярче длинноволновых. Поэтому природа исследованных нами объектов пока остается под сомнением.

Некоторые авторы, правда, склонны с большой вероятностью считать объекты, имеющие показатели цвета U—В и В—V, располагающие их над чернотельной прямой, квазизвездными объектами. Так, например, в [10] сообщается об обнаружении 25 «хороших кандидатов», которые считаются авторами таковыми на основании их размещения на двухцветной (U—В), (В—V) днаграмме. В этом их убеждает также тот факт, что квазизвездный характер одного из этих объектов был подтвержден спектральными наблюдениями авторов (z=1.918+0.007).

Отметим, что 18 из этих объектов (в том числе и спектрально наблюденный квазар) располагаются на двухцветной диаграмме там же, где находится наша «левая» подгруппа, а 7 объектов попадают в зону,

занимаемую нашей «правой» подгруппой.

Общензвестно, что в спектрах квазаров наблюдаются вссьма широкие и сильные линии излучения. Четыре самые сильные из них— L₂λ. 1216 (175). CIVλ. 1549 (124), CIII]λ. 1909 (13) и MgIIλ. 2798 (94). Линия СIII] λ1909 частично запрещена, остальные же три линии—это резонансные переходы с участием основього уровня данного нона. В скобках здесь указаны принятые средние интенсивности линий излу-

чения (в единицах эквивалентной ширины, А).

В спектрах объектов с очень большим красным смещением ультрафиолетовая область смещается в видимую область спектра, что осложняет и искажет интерпретацию измерений U, B, V, которые наряду с излучением континуума по необходимости также включают поток, излученный во всех эмиссионных линиях, попадающих в полосу пропус-кания фильтра. Особенно сильное искажение U, B, V измерении произойдет при попадании наиболее сильной линии L. в область спектра около максимума кривой реакции величины В (3900-4800 А). Это может произойти вследствие большого красного смещения (2.2 < z < 2.9). Хорошей иллюстрацией сказанному могут послужить, например, записи спектров квазаров, приведенные в [11]. Искажение же U, B, V измерений может существенно изменить размещение объекта на двухцветной диаграмме по отношению к чернотельной прямой. Такой квазар может оказаться на днаграмме довольно далеко под чернотельной прямой и при нашей методике не будет выявлен как квазар. Так, например, известный квазар 3С 345, находящийся в рассматриваемой нами области, имея показатели цвета U—B=—0^m.50 и B—V=+0^m.29 [12], располагается на двухцветной диаграмме под чернотельной прямой и, поэтому, не понадает в число исследуемых в настоящей рабоге объектов, хотя он и не является обладателем очень большого красного смещения (z=0.595).

На основании вышесказанного очевидно, что некоторые квазары могут выпасть из нашего рассмотрения. Но выявленные нами объекты несомненно могут представлять большой интерес для последующих

спектральных исследований.

По-видимому, в большинстве своем это квазизвездные объекты. А так как характерным свойством оптического излучения квазаров часто является переменность [9], точность фотометрических данных, о которой говорилось выше, оказалась невысокой (среднеквадратическая ошибка измерений звездных величин во всех трех цветах равна 0 9. Хотя при отборе объектов для исследования нами и были отброшены объекты, показавшие значительную переменность, все же некоторая не слишком явная переменность ряда исследуемых объектов могла несколько повлиять на точность полученных данных.

Объект № 56, как уже упоминалось выше, резко отличается от остальных исследованных объектов по скоему расположению на всех приведенных в настоящей работе диаграммах и в распределении по звездным величинам. (На рисунках 2, 3, 6 и 7 он обозначен треугольником.) Его фотометрические данные по нашим измерениям следующие: $B=19^m.34;\ U-B=-0^m.24;\ B-V=+1^m.67.$ Объект этот очень слабый. На наших спектральных снимках в его спектре практически видна только очень короткая красная часть. (А может быть, это широкая эмиссия?) Возможно, это так называемая симбиотическая звезда с очень сложным спектром. Хотелось бы привлечь внимание наблюдателей к этому необычному объекту.

Вообще, для более определенных суждений относительно природы всех рассмотренных в настоящей работе объектов необходимы тщательные спектральные исследования с помощью крупных телескопоз.

Таким образом, в результате проведенного нами исследования

можно отметить следующее:

1. Выявлено 67 интересных объектов на основании их размещения на двухцветной (U—B), (B—V) диаграмме (рис. 2) над чернотельной прямой, которые, по-видимому, можно считать кандидатами в квазизвездные объекты.

2 В видимом распределении этих объектов по исследуемой области значительных неравномерностей (как это имело место в юго-запад-

ной площадке [1]) не наблюдается (рис. 1).

3. Отобранные для исследования объекты расположены на двухцветной диаграмме полосой, протянувшейся параллельно чернотельной прямой и не отходящей от нее слишком далеко. Поэтому их удобнее рассматривать в ортогональной системе координат с поворотом осей на 45° (рис. 3). Интервал изменения ординаты Q = (U-B) - (B-V)ДО < 0 № 55, в то время как вытянутость этой полосы вдоль оси абсиисс довольно большая: $\Delta(U-V) < 1^m.77$. (Это даже без учета далеко отстоищего от остальных объекта 56.)

4. Исследованные объекты показывают весьма неравномерное распределение по яркости, что наталкивает на предположение о существовании либо различных по природе групп объектов, либо, вероятнее

всего, ощутимых различий среди QSO.

Особенно различаются подобные распределения, построенные для объектов с отрицательными значениями U-V и объектов с положительными U—V. Максимумы этих распределений различаются примерно на полторы звездной величины. (Объекты с U—V<0 явно слабее). (Рис. 5).

5. Диаграмма «цвет-светимость» показывает (особенно для объектов с положительными значениями U-V) определенную корреляцию: у более ярких объектов, в среднем, большие значения U-V. Различное размещение обнаруживается у объектов с различными значениями U—V и на диаграмме «Q, V». (Рис. 6. 7).

6. Объект № 56 занимает совершенно аномальное положение на всех приведенных диаграммах и в распределении по яркости (он везде обозначен треугольником), резко отличаясь от всех остальных, хотя и далеко неоднородных по поведению, исследованных объектов.

Без подробного изучения спектра этого необычного объекта, видимо, нельзя строить сколько-нибудь основательных предположений о

его природе.

10 июня 1985 г.

ПРИЛОЖЕНИЕ

Карты отождествления исследованных объектов даются на вкладынах. На приведенных картах север вверху, запад справа, угловое расстояние между объектами № 1 п 2-50' (масштаб).

I. Координаты центра a1950=16h42m 21950=39°13' 11. Координаты центра $\alpha_{1950} = 16^{h}37^{m}$ δ₁₉₅₀=39°13′ III. Координаты центра a1950=16h31m5 21950 = 39°13' IV. Координаты центра a1950=16h26m δ₁₉₅₀=39°13′ V. Координаты пентра a1980=16h42m 38°11'

VI. Координаты пентра a 1010 = 16 137m 31950=38°11' VII Координаты центра 21950=16h31m5 δ₁₉₅₀=38°11′ VIII Координаты центра a1950=16h26m 31950=38°11' IX Координаты центра 21950-16h42m 01950=37°09' Х Координаты центра a1950=16h37m 72950=37°09'

XI. Координаты центра $a_{1950} = 16^{\rm h}31^{\rm m}5$ $\delta_{1990} = 37^{\rm s}09^{\rm s}$ XII. Координаты центра $a_{1950} = 16^{\rm h}26^{\rm m}$ $\delta_{1950} = 37^{\rm s}09^{\rm s}$ XIII. Координаты центра $a_{1950} = 16^{\rm h}42^{\rm m}$

δ₁₉₅₀=36°07'
XIV. Координаты центра

α₁₉₅₀=16^h37^m

δ₁₉₅₀=36°07'
XVI. Координаты центра

α₁₉₅₀=16^h26^m

δ₁₉₅₀=36°07'

է. ՑԱ. ՀՈՎՀԱՆՆԻՍՑԱՆ

M 13 ԱՍՏՂԱԿՈՒՅՏԻ ՀՅՈՒՍԻՍ_ԱՐԵՎՄՏՅԱՆ ՄԱՍԻ ՇՐՋԱԿԱՅՔՈՒՄ ԶԳԱԼԻ ԳԵՐՄԱՆՈՒՇԱԿ ԱՎԵԼՑՈՒԿ ՈՒՆԵՑՈՂ ՕՐՅԵԿՏՆԵՐ. II

Ուսումնասիրված են M 13 գնդաձև աստղակույտի հյուսիս-արևմտյան շրջակայքում UBV ընդարձակ հետազոտության շնորհիվ հայտնաբերված կապույտ օբյեկտներից 67-ը, որոնք U—B, B—V դիագրամի վրա գտնվում են սև մարմնին համապատասխանող կորից վեր։ Դրանք բոլորը հավանական բվազիաստղային օբյեկտներ են։

Ելնելով Հայտնաբերված օբյեկտների երկգույն (U—B, B—V) և գույնլուսատվություն (B—V, V) դիագրամներից ու պայծառության բաշխումից, կարելի է եզրակացնել, որ ուսումնասիրված օբյեկտների միջև կան U—V մեծությունների արժեքներից կախված էական տարբերություններ

E. YE. HOVHANNESSIAN

OBJECTS WITH A LARGE ULTRAVIOLET EXCESSES IN THE NORTH—WEST VICINITY OF THE CLUSTER M13. II

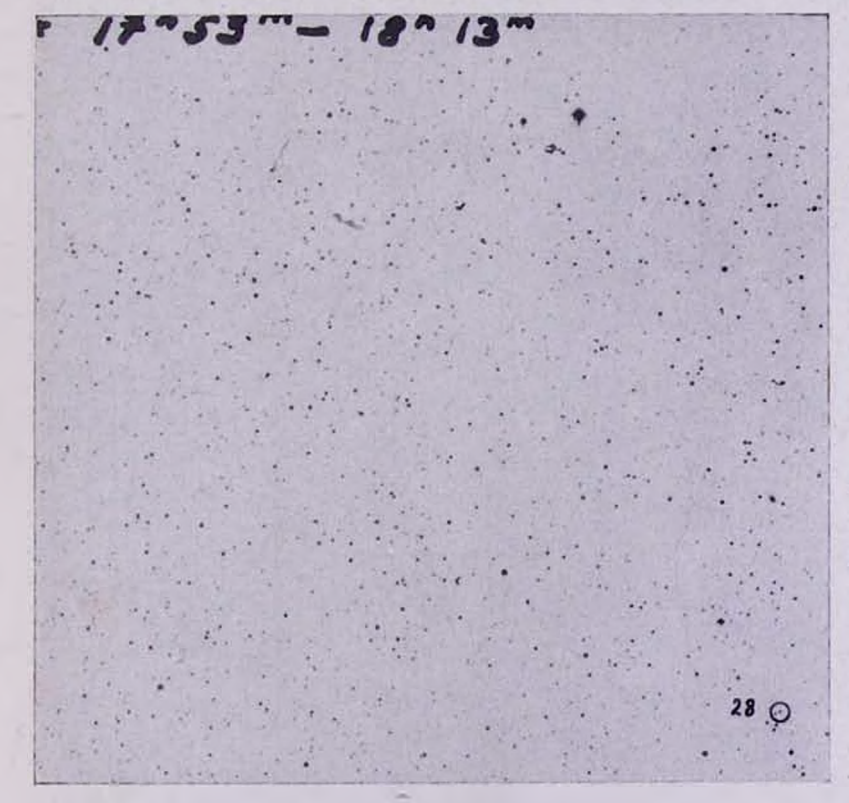
67 objects selected from the extensive UBV photometric investigation of blue objects situated north-west of the globular cluster M 13 are discussed. Their U-B and B-V colours place them on the .two-colour diagram above the blackbody line. They are probably quasistellar objects

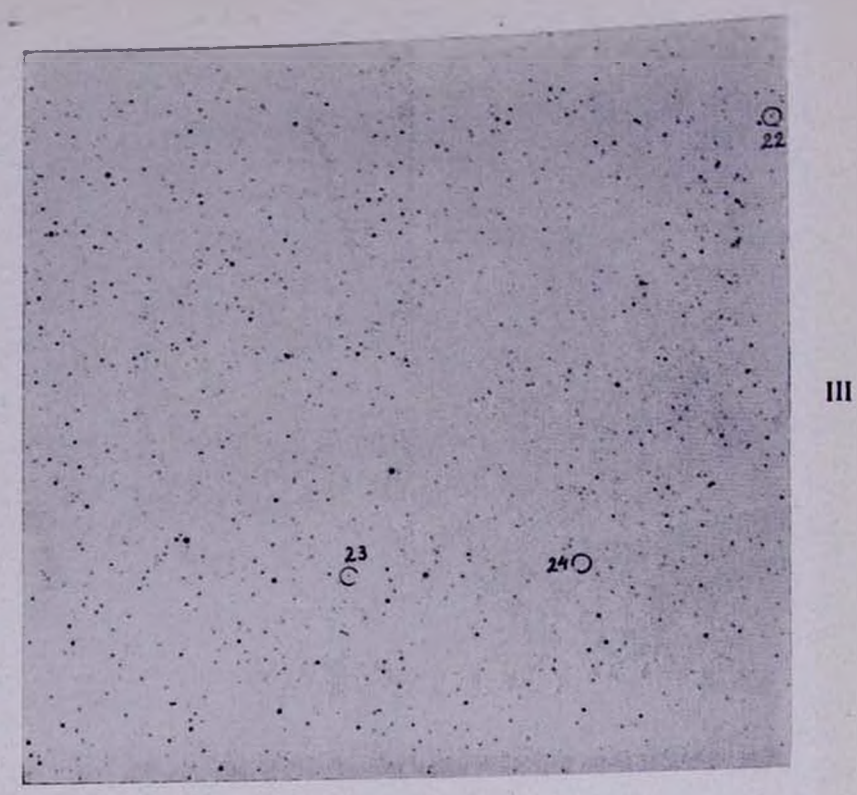
The consideration of the colour, colour-luminosity diagrams and distribution of the brightnesses shows that an essential differences between investigated objects depending on the U-V values are probably existed.

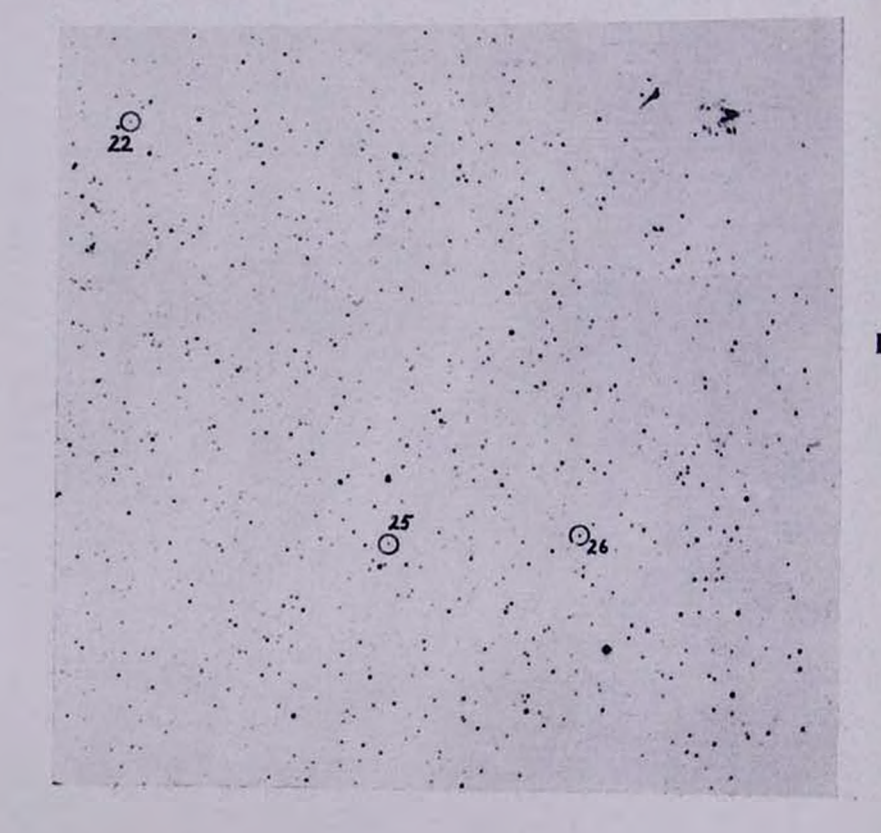
ЛИТЕРАТУРА

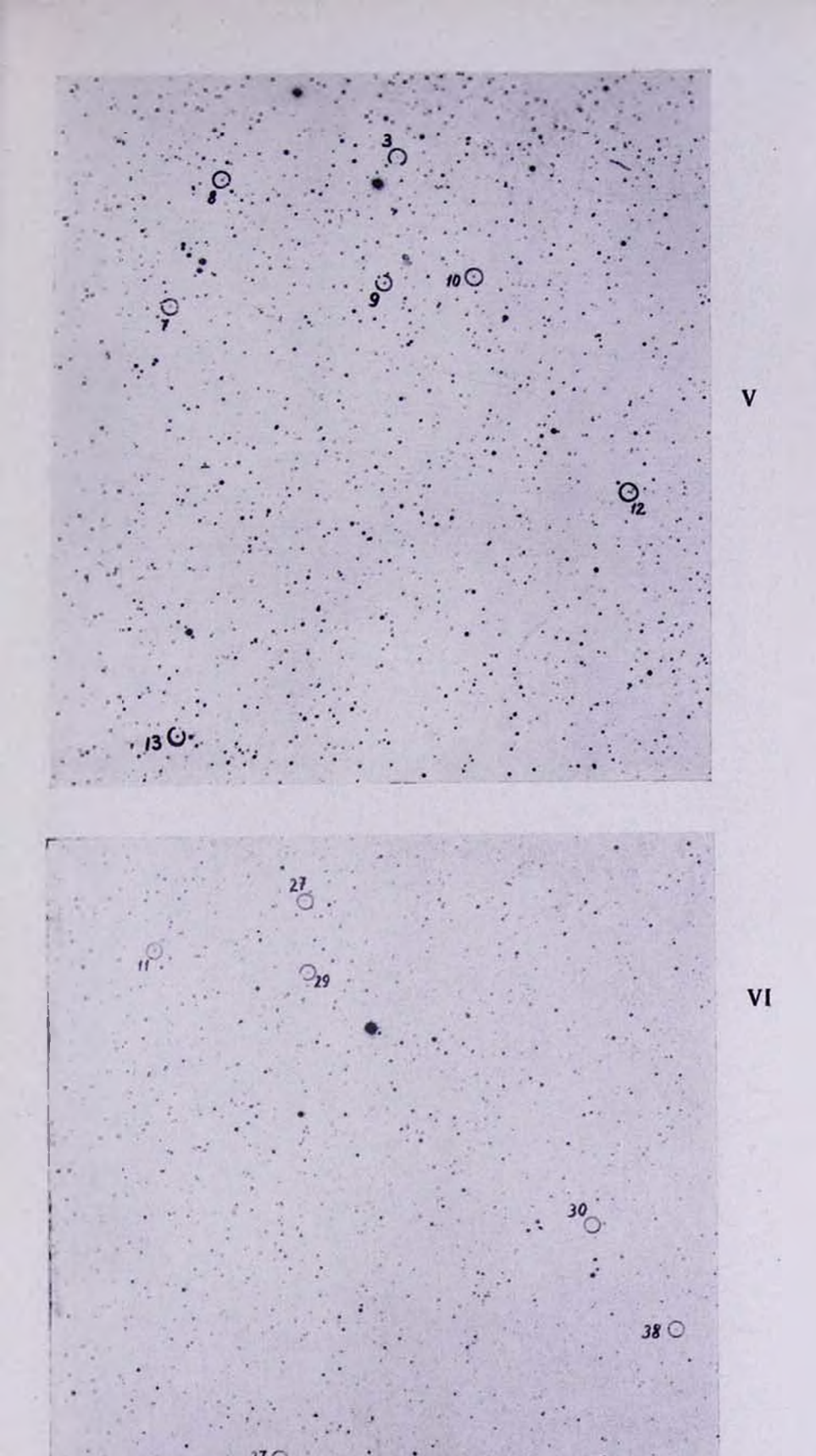
- 1. Э. Я. Оганесян, Сообщ. Бюраканской обс., 50, 5, 1978.
- 2. W. A. Baum, A. J., 59, 422, 1954.
- 3. A. Brown, Ap. J., 122, 146, 1955. 4. З. И. Кадла, АЖ, 45, 541, 1968.
- 5. R. D. McClure, R. Racine, A. J., 74, 1000, 1969.









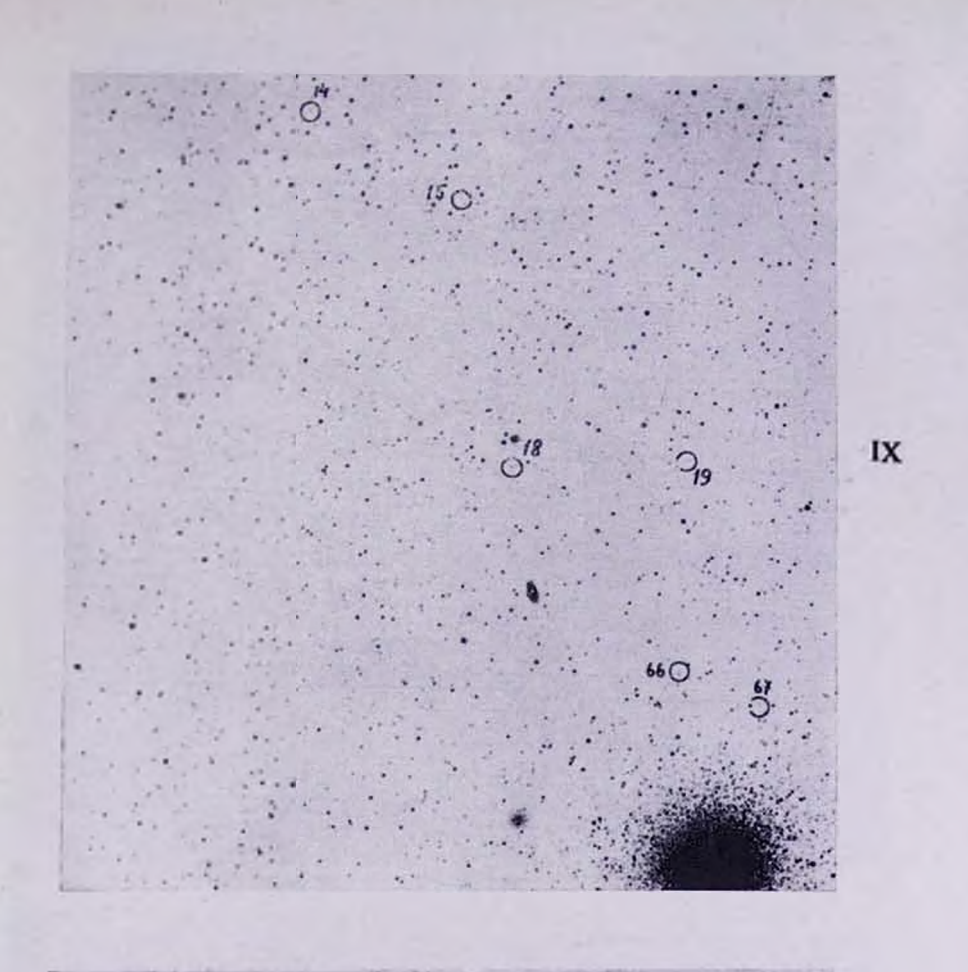


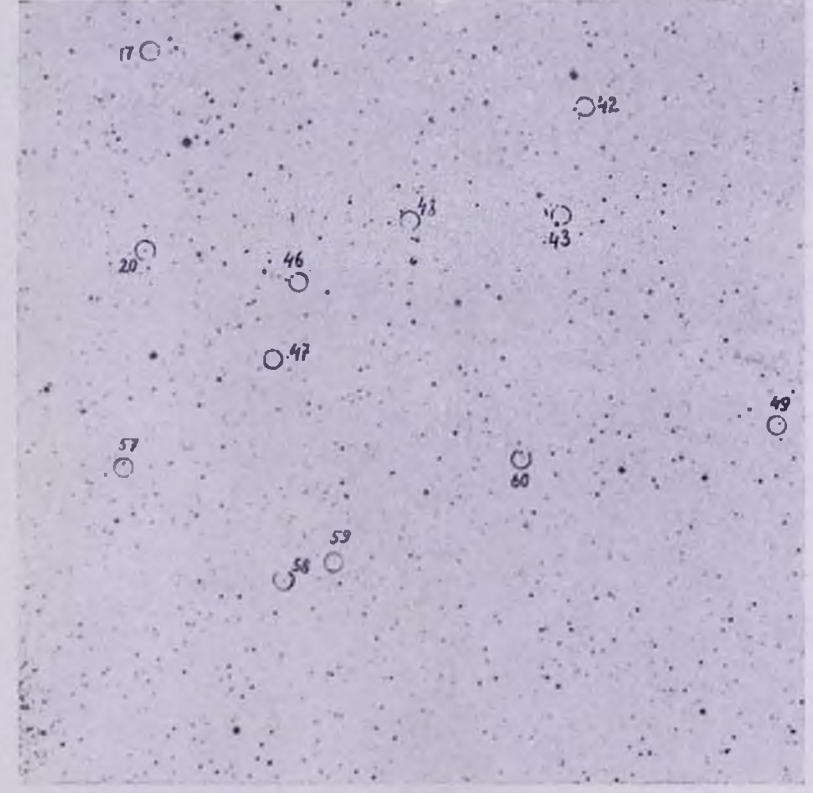




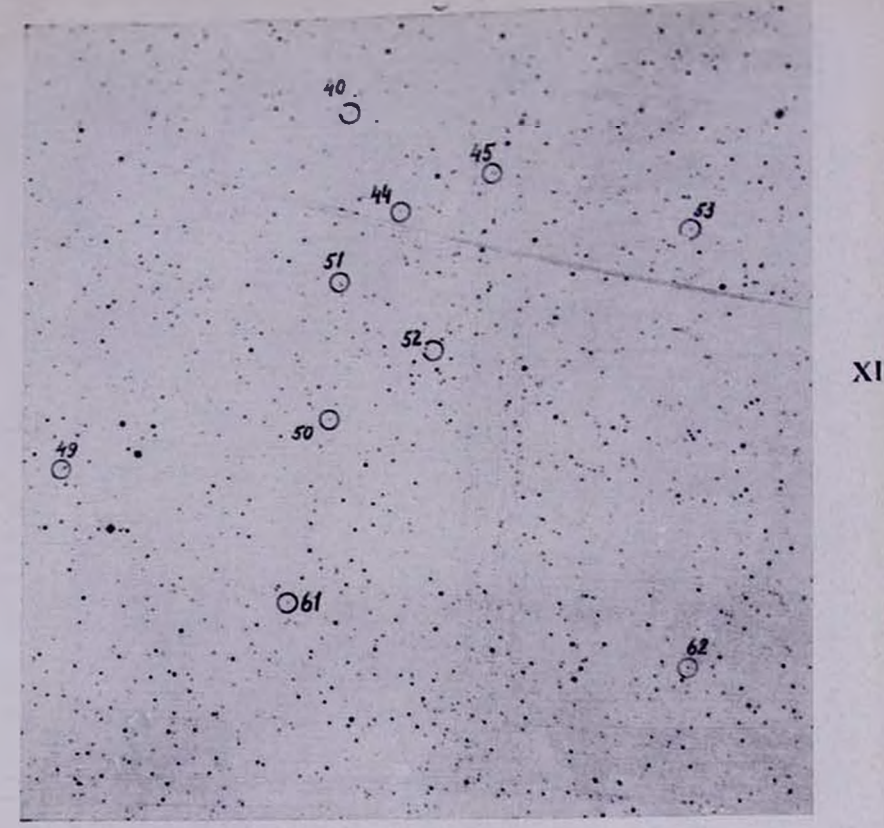
VII

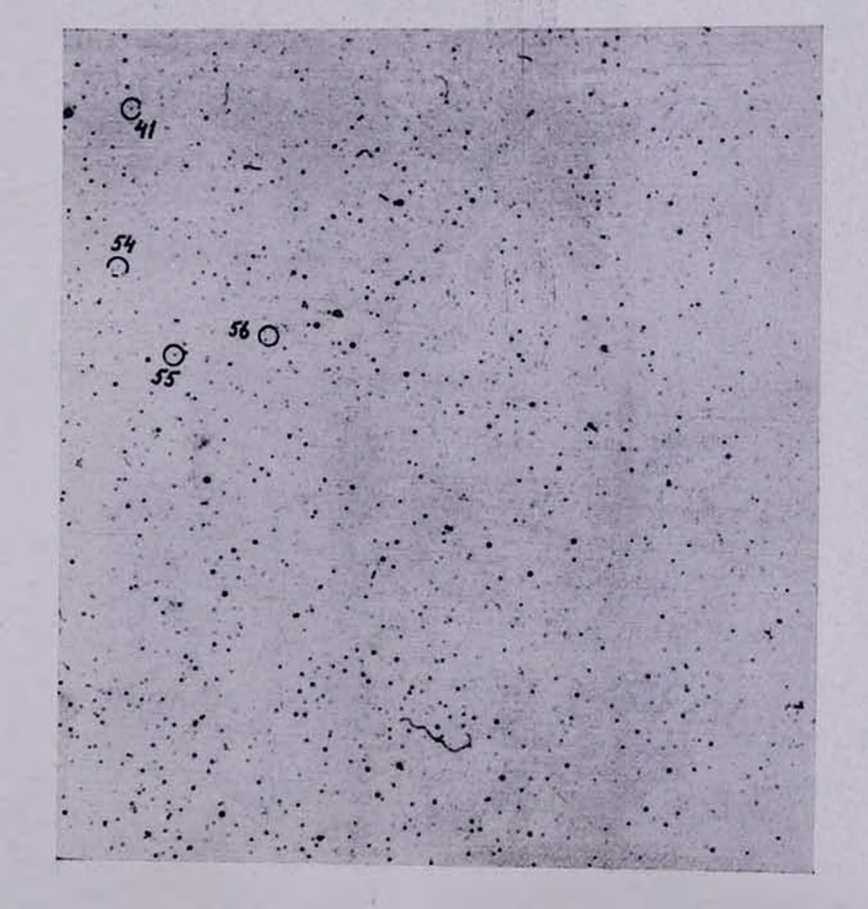
VIII



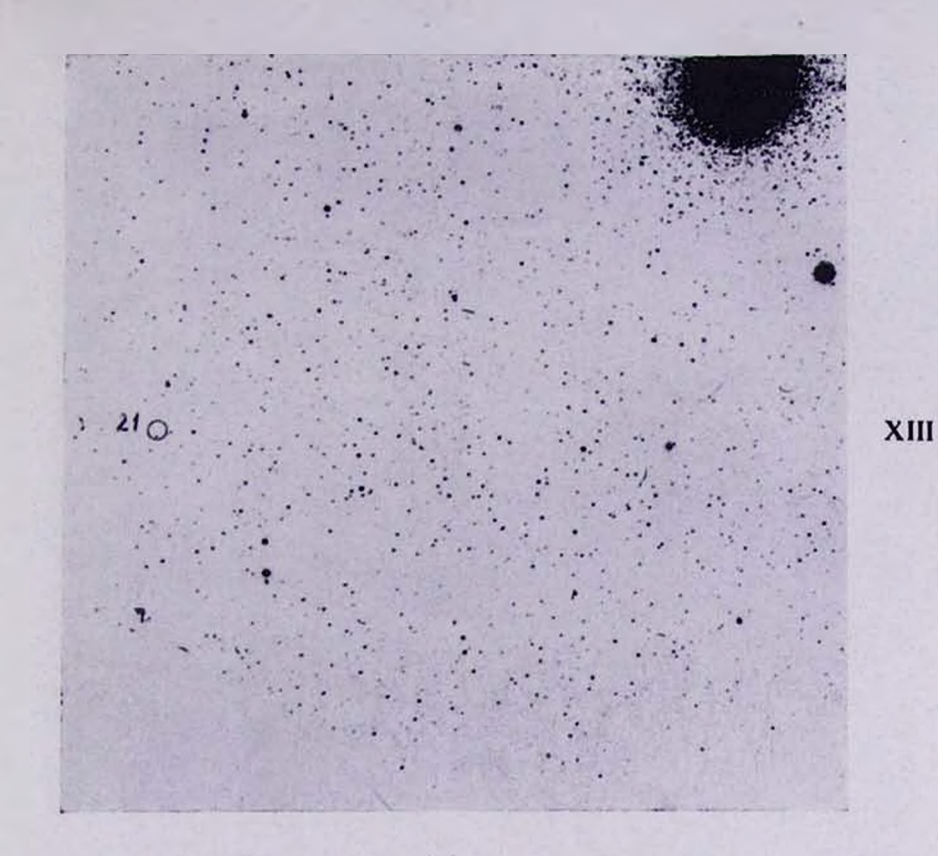


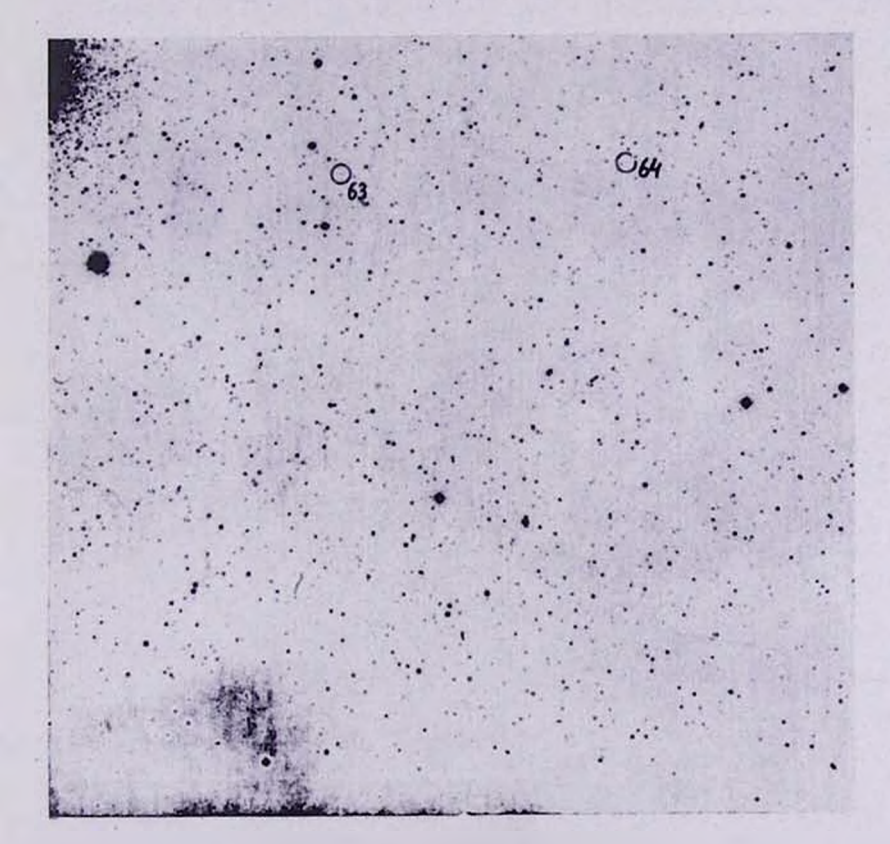
X





XII





XIV



XVI

- 6. D. F. Crawford, J. V. Barnes, A. J., 74, 1008, 1969.
- 7. O. J. Eggen, A. R. Sandage, Ap. 1., 141, 821, 1965. 8. T. Matthews, A. R. Sandage, Ap. 1., 138, 30, 1963.
- 9. Дж. Бербидж, М. Бербидж, «Квазары», М., Мир, 1969. 10. Н. В. Richer, В. J. Olson, PASP, 92, 573, 1980.
- 11. P. S. Osmer, M. G. Smith, Ap. J. Suppl. Ser., 42, 333, 1980.
- 12. G. R. Burbidge, A. H. Crowne, H. E. Smith, Ap. J. Suppl. Ser., 33, 113, 1977.

СПЕКТРОФОТОМЕТРИЧЕСКОЕ ИССЛЕДОВАННЕ ГАЛАКТИК С УЛЬТРАФИОЛЕТОВЫМ ИЗБЫТКОМ. VII

В данной работе продолжается исследование галактик с ультрафиолетовым избытком из списков Казаряна [1]. Приведены результаты спектрофотометрического исследования галактик № 65, 66, 92, 96. Морфологическое описание их приведено ранее [2]. Выявлены две вероятные пары физически связанных галактик с ультрафиолетовым избытьюм.

Наблюдательный материал. Спектры галактик № 65, 66 и 92, 96 были получены 4—5.06.83 на телескопе 6 м САО АН СССР с помощью спектрографа СП-160 и двухкамерного ЭОП-а УМК-91В. Спектры получены в трех спектральных областях, при ширин 1022 СМ

фа 0.15 мм, дисперсией 65 А/мм (эмульсия—Кодак 103a-O). В табл. 1 приведены данные о наблюдениях.

22°18′

* 10	S - 5 - 5		Таблица 1
Галак- тика	Позиц. угол	Экспозиция,	Спектраяь- ная область (А—А)
Қаз 65	18° 20°18′	10 5 5	5600-7100 4400-5900
Каз 66	22°18′ 18° 20°18′	5 20 10	3500 5000 5600 7100 4400 5900
Каз 92	22°18′ 18°	15 10	3500 - 50u0 5600 - 7100
Каз 96	20°18′ 22°18′ 18°	5 5 12	4400 5900 3500 5000 5600—7100
	20°18′	6	4400 5900

В качестве стандартной звезды была выбрана BD+25°3941 с m=10 ^m4. Спектры звезды получены с расширением 0.6 мм при ширине щели спектрографа 0.05 мм. При построении кривой реакции использованы данные Стоуна [3].

3500-5000

На рис. 1—4 приведены спектры галактик № 65, 66, 92, 96 в трех спектральных областях (прямые фотографии их приведены в [2]).

Описание спектров

Каз 65—спиральная галактика, имеет очень яркое, звездообразное ядро с диаметром примерно 6" и ярко выраженные спиральные рукава со сгущениями. Одно из этих сгущений, расположенное южнее ядра галактики, на расстоянии примерно 5", довольно яркое, звездообразное. Второе сгущение, не уступающее по яркости первому, компактное, звездообразное, расположено южнее, чем первое сгущение, на расстоянии примерно 12.".

При получении спектров галактики щель спектрографа имела на-

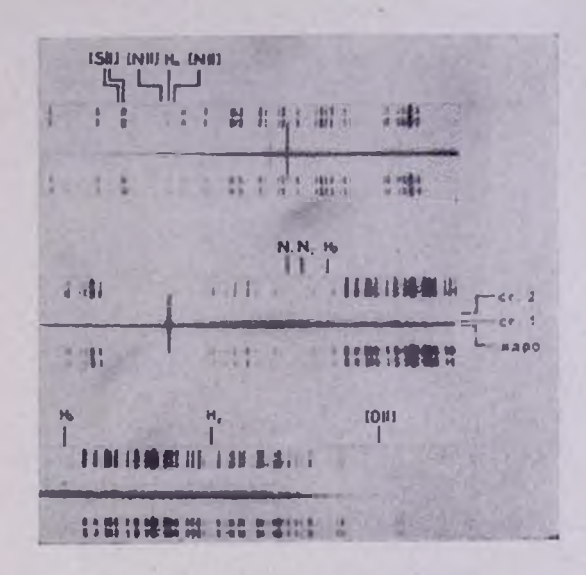


Рис. I. Спектры галактики № 65

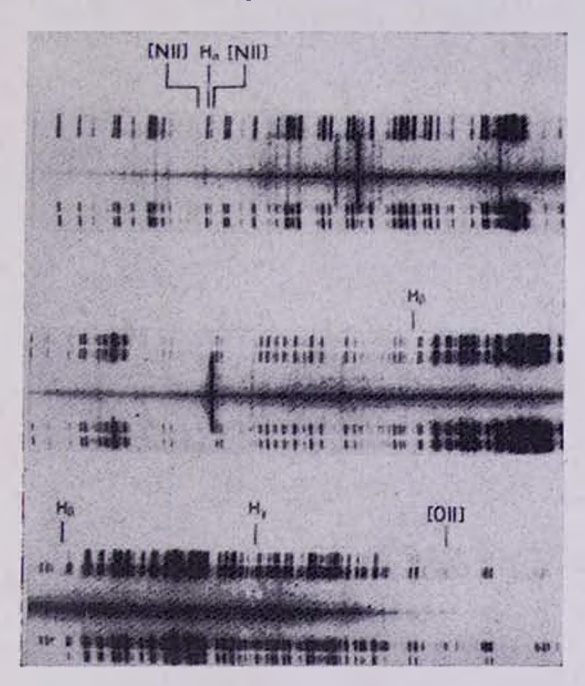


Рис. 2. Спектры галактики № 66

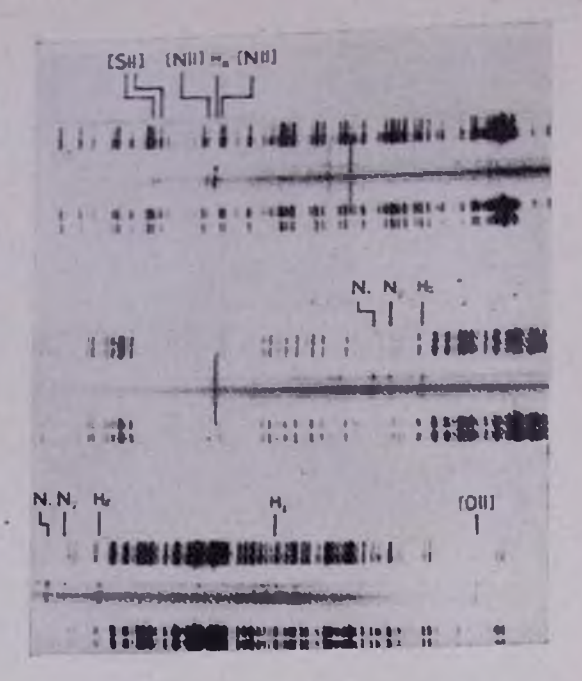


Рис. 3. Спектры галактики № 92

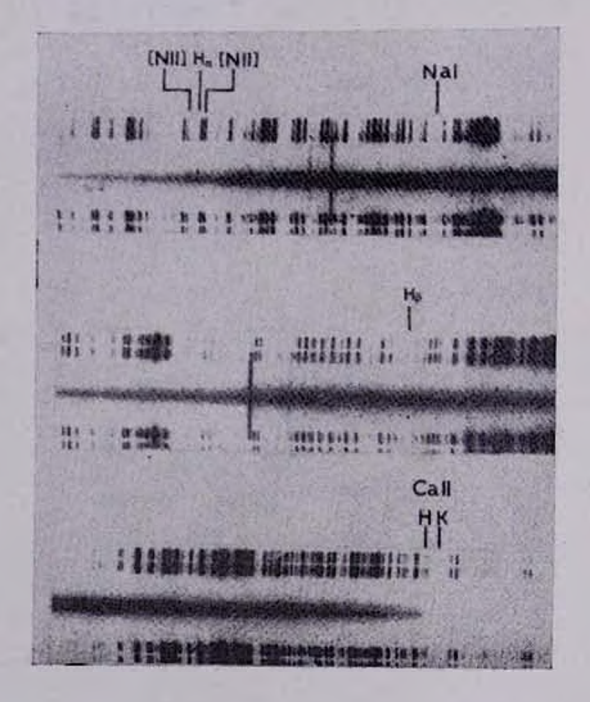


Рис. 4. Спектры галактики № 96

правление север-юг с целью получить одновременно спектры ядра гапактики, ее спиральных рукавов и вышеупомянутых сгущений.

Непрерывный спектр галактики делится на три полоски, которые гоответствуют ядру галактики (рис. 1, нижняя полоса), первому и

второму ее сгущениям.

На ярком непрерывном спектре ядра галактики наложены эмистионные линии [SII] $\lambda\lambda$ 6731, 6717, [NII] $\lambda\lambda$ 6583, 6548, H_a , Hel λ 5876, [NII] λ 5755, [OIII] $\lambda\lambda$ 5007, 4959, H_{β} , H_{γ} , [NeIII] λ 3869 и [OII] λ 727. На непрерывный спектр первого сгущения, уступающего по нркости непрерывному спектру ядра, наложены сильные эмиссионные пинии [SII] $\lambda\lambda$ 6731, 6717, [NII] $\lambda\lambda$ 6583, 6548, H_a , [NeIII] λ 3869 и [OII] 3727. Линия H_{β} имеет двухкомпонентную структуру: эмиссионный хомпонент с коротковолновой стороны спектра и абсорбционный — с плинноволновой, а линии H_{γ} , H_{δ} , H_{δ} находятся в поглощении.

Непрерывный спектр второго, звездообразного сгущения весьма слабый. На нем хорошо видны эмиссионные линии [NII] >>> 6583, 6548,

 H_2 , [NII] λ 5755, [OIII] $\lambda\lambda$ 5007, 4959, H_3 , H_7 , H_6 , [OII] λ 3727.

По вышеупомянутым эмиссионным линиям впервые определено значение красного смещения для этой галактики. Оно равно z=0.0260 (z=0.0004) и, следовательно, расстояние до нее равно R=104~Mmm (здесь и далее для постоянной Хаббла принято значение H=75~mm/с (Кпк).

Второе, звездообразное сгущение галактики имеет небольшие размеры, его диаметр порядка 1 кпк. Непрерывный спектр его весьма слабый, а на нем накладываются весьма сильные эмиссионные линин высокого возбуждения. Вероятнее всего, это сгущение является сверхассоциацией в галактике Каз 65.

На рис. 5 приводится регистрограмма одного из спектров этой сверхассоциации.

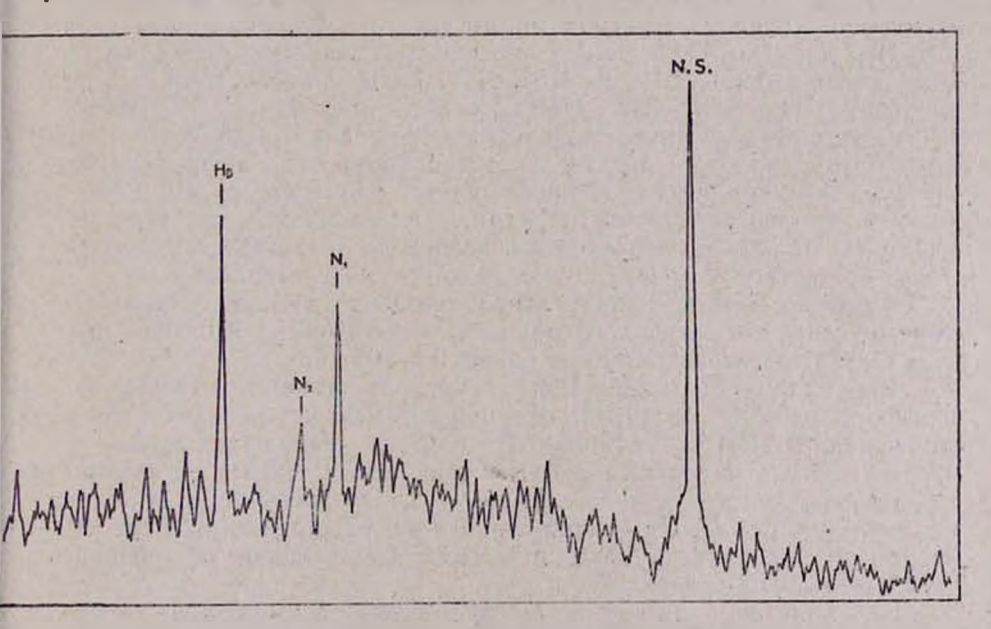


Рис. 5. Регистрограмма спектра сверхассоциации в галактике № 65

Отметим, что спиральная ветвь в противоположном от сгущений направлении излучает в линиях Н2 и Н3 (возможно и в линии [ОП]).

В табл. 2 приводятся относительные интенсивности эмиссионных

линий в ядре галактики и ее сверхассоциации.

Каз 66-спиральная галактика с ярким, звездообразным ядром, е днаметром примерно 4", и сравнительно слабыми спиральными рукавами, на которых заметны слабые сгущения. Здесь и ядро, и спиральные

	1	1.1	Tao.uua
		11/	ให _{้3}
Ион	λ	Ялро	CA
[SI1]	6731	0.3	_
[SII] [NII]	6717	2.0	0.4
H _a	6563	2.8	2.9
[NII]	6548	0.6	0.1
Hel	5876	0.2	0.2
[NII] [OIII]	5755	0.2	0.6
ioiiii	4959	0.1	0.2
H3	4861	1.0	1.0
H ₇	4340	+	0.2
Hé	4102		0.2
[NeIII]	3869	0.3	1.7
[OII]	3727	1.5	1.7

рукава по яркости уступают предыдущей галактике (см. рис. в [1]). При получении спектров галактики Каз 66 щель спектрографа имела направление север-юг и охватывала одновременно спектры разных областей галактики (ядро, спиральные рукава), но из-за слабости спиральных рукавов их непрерывный спектр получился весьма слабым.

На ярком непрерывном спектре ядра галактики накладываются эмиссионные линии [SII] 12. 6731, 6717, [NII] 12. 6583, 6548, Ha, слабые линии [OIII] $\lambda\lambda$ 5007, 4959, [NeIII] λ 3869 и [OII] λ 3727. Липия H_3 имеет двухкомпонентную структуру: эмиссионный компонент с корогковолновой стороны спектра и абсорбционный-с длинноволновой. Линия На простирается довольно далеко, примерно по 10" в обе стороны от непрерывного спектра ядра, и по распределению яркости показывает, что линия излучается отдельными областями, соответствующими северному и южному рукавам спиралей галактики.

Впервые определенное красное смещение галактики Каз 66 по эмиссионным линиям ее спектра равно z=0.0263 (z=0.0006), и, сле-

довательно, расстояние до нее равно R=105 Мпк.

Каз 92-имеет сложную структуру, она тянется с севера на юг примерно на 25". От яркой, сферической центральной области-ядра галактики, диаметром примерно 7", отходят спиральные рукава к северу и к югу. С северной стороны к ядру тесно примыкает нечетко отделяющееся от него яркое, компактное, звездообразное сгущение с днаметром около 6". На южной стороне, на расстоянии примерно 10"-11" от ядра галактики находится компактное, также звездообразное сгущение с диаметром 5".

При получении спектра галактики щель спектрографа имела направление, примерно, север-юг и проходила вдоль галактики так, чтобы звезда, примыкающая с северной стороны к галактике, ос-

талась вне шели.

Непрерывный спектр галактики явно делится на три полоски (см. фис. 3), которые принадлежат северному сгущению (внизу), ядру гапактики и южному сгущению.

На яркий непрерывный спектр ядра галактики накладываются эмиссионные линии [SII] 1. 6731, 6717, [NII] 1. 6583, 6548, H_a, HeI 1. 5876, [OIII] 1. 5007, 4959, H₃, H₇, [OII] 1. 3727.

На весьма слабые непрерывные спектры как северного, так и южного стушений галактики наложены эти же. но весьма сильные эмисспонные линии.

По измерениям вышеупомянутых эмиссионных линий значение красного смещения галактики Каз 92, спределенное впервые, оказалось равным z=0.0119 (z=0.0004), а расстояние до нее равно R = 79.6 Mnk.

В табл. 3 приведены относительные интенсивности эмиссионных

линий в спектрах ядра и сгущений галактики Каз 92.

			1.0	Таблица					
		I _I /lH _β							
Ион	λ	Ядро	Северное сгущение	Южное сгущение					
SII SII NII H. NII HeI OIII Hf H _T	6731 6717 6583 6563 65648 5876 5007 4959 4861 4340 3727	0.9 1.1 1.6 3.8 0.6 0.2 0.5 0.2	0.3 0.2 0.6 4.4 0.2 0.2 1.3 0.4 1.0 0.4	0.4 0.3 0.6 4.9 0.2 0.3 1.7 0.6 1.0 0.3					

Эмиссионные линии в спектре галактики Каз 92 наклонены, что является результатом ее вращения. Используя распределение яркости в линиях [NII], Н_в и Н_в, построены кривые вращения, а затем проведена кривая вращения для галактики методом наименьших квадратов, которая приведена на рис. 6 (за нуль пункт кривой принят центр ядра галактики, правая ветвь кривой соответствует северной области галактики, а левая-южной).

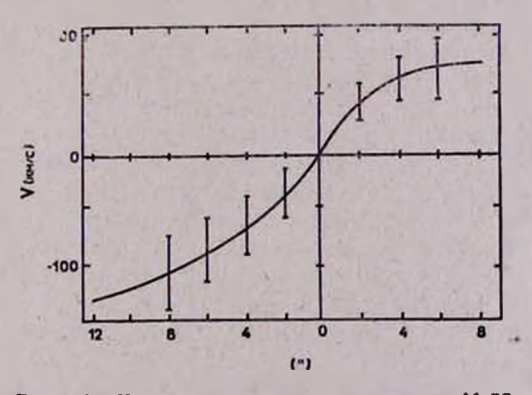


Рис. 6. Кривая вращения галактики № 92

Из хода кривой вращения видно, что ядро галактики, днаметром примерно 3 кпк, показывает твердотельное вращение со скоростью около 55 км/с. Южное сгущение галактики, вероятно, имеет автономное вращение, примерно, со скоростью 25 км/с. Для расчетов принято, что сгущение это с днаметром около 1.5 кпк также имеет твердотельное

Исходя из факта вращения, нами определены массы ядра галактики и южного сгущения, которые, соответственно, равны $10^{\circ} {\rm M_{\odot}}$ и $10^{\circ} {\rm M_{\odot}}$

Отметим, что южное сгущение галактики Каз 92 по своим спек-

тральным особенностям, вероятно, является сверхассоциацией.

Каз 96-спиральная галактика, видимая с ребра, с ярким, протяженным ядром и далеко простирающимися спиральными рукавами. На фоне ядра с размерами примерно 8"×16", на южной ее части, выделяется стущение с днаметром примерно 6", по яркости мало отличающееся от ядра.

При получении спектра галактики щель спектрографа проходила вдоль галактики, охватывая как ее ядро, так и спиральные рукава.

На яркий непрерывный спектр ядра галактики наложены эмиссионные линии [NII] 13. 6583, 6548, На, [O11] 3. 3727, линии поглоще ния Nai 13. 5896, 5892, H₃, H₂, H₄, Call H K 13. 3968, 3933.

Интересно отметить, что линии [NII] и Н. поперек дисперсии клинообразные, яркость в них равномерно убывает от сгущения к ядру. По эмиссионным линиям и линиям поглощения впервые опреде-

ленное значение красного смещения галактики Каз 96 получается z=0.0198 (σ =0.0006), а расстояние галактики равно R=79.2 Мпк.

Как эмиссионные, так и абсорбционные линии в спектре галактики имеют наклон, что является результатом вращения. Ядерная область галактики днаметром примерно 7 кпк вращается со скоростью порядка 150 км/с. Принимая ее вращение как твердотельное, нами оценена масса ядерной области галактики, куда входит и вышеупомянутое сгущение. Масса ядерной области галактики порядка 1.8 · 1010 Mo.

Заключение-Галактики с ультрафиолетовым избытком № 65 66 из списка Казаряна, вероятнее всего, составляют физическую пару, так как имеют близкие по значению красные смещения, а в проекции

находятся примерно на расстоянии 100 кпк друг от друга.

Галактики № 65 и 66 спиральные, со сгущениями на спиральных рукавах. Направление закручивания спиралей у этих галактик противоположное.

Галактика № 65 имеет яркое ядро и хорошо выраженные спиральные рукава. Используя отношение интенсивностей запрещенных линий серы, присутствующих в спектре ядра галактики, R=1(6717)/1(6731), и известную зависимость между величинами R и логарифмом электронной плотности IgNe [5], была оценена величина электронной плотности в ядре. Она оказалась порядка $10^2\,\mathrm{cm}^-$ (для электронной температуры принималось значение $Te\!=\!10^4\,^\circ$ K).

Одно из двух сгущений Каз 65, а именно южное, яркое и звездообразное, судя по своим физическим особенностям, является сверхассоциацией. Диаметр этой сверхассоциации примерно 1.3 кпк, а абсолютная звездная величина ее в цвете В примерно M = -16 ^п. На дизграмме зависимости абсолютная звездная величина—линейный диаметр (построенной для сверхассоциаций [6]), вышеупомянутая сверхассоциация располагается чуть выше линии, представляющей зависимость M_{pg} or D (кпк).

На диаграмме зависимости $lgI([OIII])/I(H_3)$ от $lgI([NII])/I(H_\alpha)$ [7] и ядро, и сверхассоциация галактики № 65 попадают в ту ее часть,

которую занимают HII. области.

У галактики № 66 и ядро, и спиральные рукава менее яркие, по и здесь заметны следы сгущений на спиральных рукавах. Ее спектр также эмиссионный, высокого возбуждения.

Спиральные галактики № 92 и 96 с ультрафиолетовым избытком из списка Казаряна, вероятно, также составляют физическую пару, так как они имеют близкие по значению красные смещения, и в проек-

ции находятся примерно на расстоянии 140 кпк друг от друга.

Галактика № 92 имеет яркое, возможно двойное, ядро, и два ярких, компактных, звездообразных сгущения. Спектры и ядра, и сгушений галактики эмиссионные, высокого возбуждения. Ядро галактики и южное ее сгущение, которое является сверхассоциацией, показывают вращение. Диаметр сверхассоциации примерно 1.5 кпк. а абсолютная звездная величина ее в цвете В около M=-16^m На диаграмме зависимости абсолютных звездных величии от линейных диаметров для сверхассоциаций [6] данная сверхассоциация располагается на проведенной прямой. В спектрах и ядра, и сгущений галактики № 92 присутствуют запрещенные линии серы [SII] л. 6731, 6717. Используя зависимость их относительных интенсивностей и электронной плотности и принимая для электронной температуры значение Te=104° К [5], вычислены значения электронной плотности в ядре галактики и в ее северном и южном сгущениях. Они оказались порядка 3·10³см-³, 4.10² см⁻³, 7.10² см⁻³ соответственно. На диаграмме зависимости $lgl([OIII])/l(H_B)$ от $lgl=([NIII])/l(H_a)$ [7] и ядро, и оба сгущения галактики примерно попадают в ту часть диаграммы, которую занимают HII области. Отношение масса—светимость для сверхассоциации галактики № 92 порядка 0.8.

Ядерная область галактики № 96 сочетает ядро и сгущение в нем. Галактика показывает сильный непрерывный спектр с эмиссионными линиями и линиями поглощения. Вся ядерная область галактики пока-

зывает вращение.

Таким образом, выявлены две вероятные пары физически связан-

ятно, имеющих общее происхождение.

Автор считает своим приятным долгом выразить благодарность проф. Э. Е. Хачикяну за ценные замечания, а также А. Н. Буренкову за номощь при наблюдениях на БТА.

22 шоля 1985 г.

น. น. 'ธาะนานารนา

ԳԵՐՄԱՆՈՒՇԱԿ ԱՎԵԼՑՈՒԿՈՎ ԳԱԼԱԿՏԻԿԱՆԵՐԻ ՍՊԵԿՏՐԱԼՈՒՍԱՉԱՓԱԿԱՆ ՈՒՍՈՒՄՆԱՍԻՐՈՒԹՑՈՒՆ, VII

Կատարված է Ղաղարյանի ցուցակին պատկանող 4 գերմանուշակ ավելցուկով գալակտիկաների NN 65, 66, 92, 96 սպեկրալուսաչափական ուսումնասիրություն (սպեկտրները ստացված են ՀԱԱ 6 մ դիտակի օդնությամբ, առաջին անգամ որոշված են գալակտիկաների կարմիր շեղման արժեքները)։

Պարզվել է, որ NN 65, 66, 92 գալակտիկաները ունեն առաքման գծերով սպեկարներ, իսկ N 96-ի սպեկտրը ունի և՜ առաջման, և՜ կլանման գծեր։ NN 65, 92-ի համար հաշվված են առաջման գծերի հարաբերական ինտենսիվու

թյունները, գնամատված են էլնկտրոնային խտությունները։

NN 92, 96-ում մայտնաբերված է պտույտ, գնամատվել են դրանց զանգ. վածները։ Գնահատվել են NN 65, 92-ում հայտնարերված գերաստղասփյուռների բացարձակ աստղային մեծությունները և տրամագծերը։ Բացամայտվան է գերմանուշակ ավելցուկ ունեցող պարուրաձև գալակտիկաների, ամենայն հավանականությամբ, ընդհանուր ծագում ունեցող 2 ֆիղիկական զույգ

A. A. YEGIAZARIAN

SPECTROPHOTOMETRY OF THE GALAXIES WITH UV EXCESS. VII

The results of the spectrophotometry of 4 (NN 65, 66, 92, 96) Kazarian galaxies with ultraviolet excess are presented. The spectra of galaxies were obtained with 6 m SAO telescope. The redshifts of these galaxies are measured for the first time. The relative intensities of the emission lines of NN 65, 92 galaxies spectra are measured. The electron density of the nucleus of NN 65, 92 galaxies are calculated. The absolute magnitude and diameter of the superassociation of NN 65, 92 galaxies are calculated. The rotation of the NN 92, 96 galaxies are calculated. The rotation of the NN 92, 96 galaxies nuclea are observed.

So, 2 physical pairs of spiral galaxies with ultraviolet excess, probably, of common origin are found.

ЛИТЕРАТУРА

1. М. А. Казарян, Астрофизика, 15, 5, 1979. 2. А. А. Егиазарян. Астрофизика, 19, 631, 1983. 3. R. P S. Stone, Ap. 1, 218, 767, 1977.

- 4. M. A. Kazarlan, E. Ye. Khachikian, A. A. Yegiazarlan, Astrophys. and Space Sci. 82, 105, 1982.
- 5. D. Pequignot. S. M. V. Aldrovandi, G. Stasinska, Astron. Astrophys., 58, 411.
- 6. М. А. Казарян, Астрофизика, 20, 35, 1984.

7. V. A. Balzano, Ap. 1., 268, 602, 1983.

В. С. ТАМАЗЯН

UBV ФОТОМЕТРИЯ ОДНОЙ ГАЛАКТИКИ С УФ ИЗБЫТКОМ

Введение. Настоящая статья посвящена детальному фотометрическому исследованию галактики № 26 из списка М. А. Казаряна [1]. Эта галактика подробно исследована в работе [2], где выяснена ее морфологическая структура и спектральные характеристики. Оказалось, что галактика имеет спиральную структуру со звездообразным ядром, окруженным ярким гало. На одном из спиральных рукавов было отмечено три ярких сгущения, два из которых по абсолютным величинам и данным UBV фотометрии являются сверхассоциациями. В спектрах галактики были отождествлены сильные и узкие эмиссионные линии различных ионов. Был сделан вывод о том, что УФ избыток у этой галактики обусловлен как ядром, так и его яркой околоядерной областью.

Наблюдательный материал и методика обработки. Наблюдательный материал получен в первичном фокусе 2,6 м телескопа Бюраканской обсерватории (оригинальный масштаб 1 мм = 21") в марте—апреле 1981 г. Некоторые данные о реализованной цветовой системе и по-

лученных пластинках приведены в табл. 1.

			Таблица 1
Цвет	Фильтр	Пластинка	Экспозиции, мин
U B V	УФС—1 БС—8 ЖС—17	ORWO Zu-21 ORWO Zu-21 Kodak 103aE	10,30,60,60,75 3,5,15,20,30,30 3,5,15,30,30

Методика получения и обработки наблюдательного материала подробно описана в ранее опубликованной нами работе [3], посвященной аналогичному исследованию ряда других галактик с УФ избытком и практически осталась без изменений.

Отметим лишь, что сплошное фотометрирование в данной работе

проводилось с квадратной диафрагмой размером 2х2".

На рис. 1 приведена репродукция снимка галактики №26, полученного на 2,6 м телескопе в цвете В, на которой указаны направления

осей, вдоль которых велись измерения.

Интегральная величина, распределение цвета, диаграмма (U—B, B—V). Интегральная звездная величина и показатели цвета, вычисленные путем суммирования всех измеренных площадок, приводятся в табл. 2. Данные этой таблицы показывают, что учет ядра приводит к резкому уменьшению интегрального показателя U—B, оставляя практически неизменным значение B—V.

На рис. 2 приведено распределение вдоль оси X поверхностной

На рис. 2 приведено распределение вдоль оси X поверхностной яркости в цвете В и показателей цвета, при этом поверхностная яркость звездообразного ядра галактики вычислена формально, принимая для его диаметра значение около 4", полученное по снимкам с малыми экспозициями. В табл. 3 приводятся интегральные звездные величины и цвета в концентрических кольцах вокруг ядра галактики.

Из рис. 2 видно, что в распределении яркости и показателя цвета

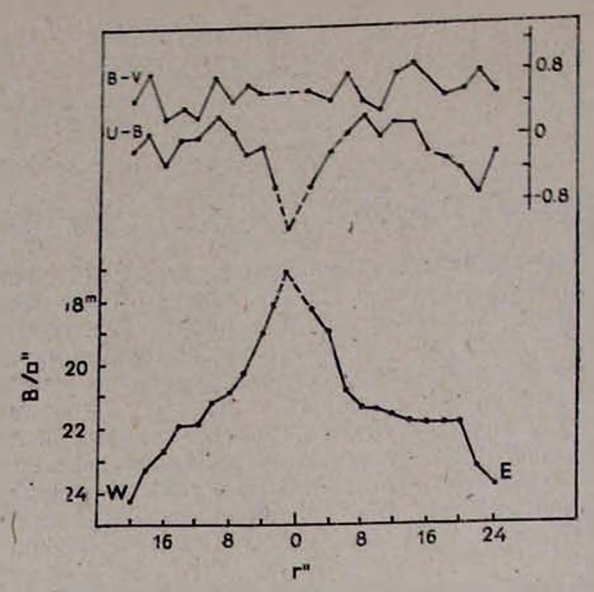


Рис. 2. Распределение поверхностной яркости и показателей цвета U—B,B—V вдоль оси X. Данные для ядра обозначены пунктиром

U—В в яркой околоядерной области диаметром примерно 12" наблюдается асимметрия: площадки, измеренные в восточной стороне систематически ярче, а их показатели U—В меньше, чем в симметричных точках западной стороны. В целом вышеуказанная область имеет по данным табл.4 довольно голубой цвет. В этой области галактики, как и на всем протяжении вплоть до самых внешних частей, цвет В—V изменяется мало, оставаясь в основном в пределах 0",5—0",8.

Вне центральной области распределение яркости и цветов симметрично относительно ядра, за исключением отрезка, проходящего через мощный восточный рукав галактики, на цветовых особенностях которого мы остановимся несколько позднее.

Диаграмма (U—B, B—V) для галактики № 26 приведена на рис. 3. Точки на ней соответствуют площадкам вне центральной яркой облас-

ти, в которой площадки обозначены крестиками.

Большая дисперсия точек на диаграмме говорит об изменении в широком диапазоне относительного числа звезд различных спектральных классов. Подавляющее большинство точек расположено недалеко от линии главной последовательности. Цвета площадок, измеренных в яркой центральной области почти все располагаются около линии абсолютно черного тела или выше, указывая на избыточное ультрафиолетовое излучение в этой области.

По данным табл. З легко подсчитать, что практически все излуче-

ние галактики исходит именно из этой наиболее яркой части.

Спиральные рукава. В табл. 4 приведены поверхностные яркости и цвета восточного спирального рукава, измеренные в нескольких его точках. По данным этой таблицы цвета рукава близки к цветам спиральных рукавов обычных галактик. С другой стороны, здесь наблюдается питенсивное посинение рукава при продвижении вдоль него к краю. Кроме того, на рис. 2 видно также посинение восточного рукава

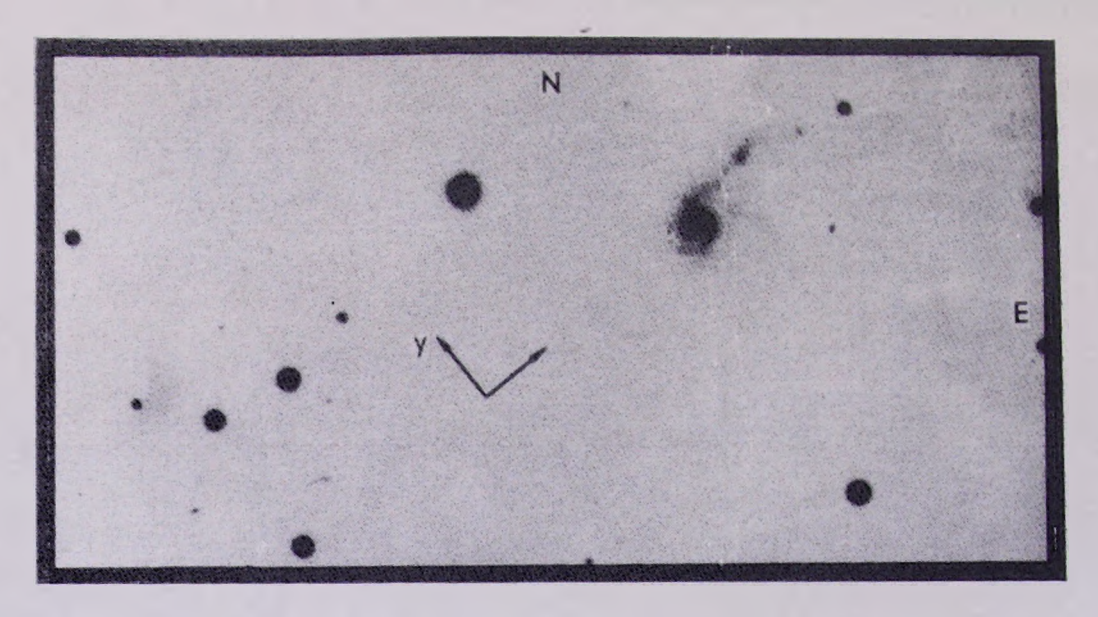


Рис. 1. Репродукция снимка галактики Қазарян 26 в В цвете с экспозицией 30 мин (масштаб 1 мм = 2",1)

Таблица 2 Интегральная звездная величина и цвета галактики Казарян 26

	В	U—В	В-V
С ядром	13 ^m 64	-0" 86	+0 ^m C0
Без ядра	14,96	-0,12	+0.50
Япро	14,03	-1,12	+0.60

Таблица 3 Интегральные цвета в кольцах вокруг ядра галактики

R#	В	U-B	B-V
2-4	16 ^m 34	-0" 33	+0 ^m 43
4-6	16,96	-0,29	+0,42
6-8	17,26	+0,25	+0,45
8-10	17,51	+0,04	+0,68
10-12	17,67	-0,11	+0,62
12-14	17,82	-0,34	+0,72
14-16	18,25	+0,11	+0,68
>16	17,05	-0,05	+0.39

Таблица 4
Поверхностивя яркость и цвета восточного спирального рукава

X*	y"	B/□"	U-B	B-V
10	10	21 ^m 58	+0 ^m 10	+0 ^m 41
14	6	21,79	-0,19	+0.57
18	0	21,79	0.31	0.27
22	6	22,40	0,15	-0,07
24	10	23,90	-0.44	0,20

при продвижении поперек, поскольку именно в этом направлении пересекает его ось Х. Апалогичными свойствами обладает и северо-вос-

точный рукав галактики.

Обсуждение. Полученные результаты указывают на важную роль ядра в галактике, положение которого на днаграмме (U—B, B—V) выше линии абсолютно черного тела свидетельствует о нетепловом характере излучения, что является признаком его активности. Ядро ярче остальной части во всех цветах, но особенно большой вклад имеет в полосе U, где оно почти на 2^m,0 ярче остальной части. С другой стороны, наличие голубой околоядерной области, возможно, связано с активной деятельностью ядра. Цвет этой области, по всей вероятности, является результатом наличия в ней аномально большого относительного числа горячих звезд. Это обстоятельство подтверждает сделанный в [2] на основании спектральных данных вывод о том, что ультрафнолетовый избыток у этой галактики обусловлен не только ядром, но и окружающей его яркой центральной областью.

Отмеченная ранее асимметрия в распределении яркости и цвета U—В в центральной области, по всей вероятности, связана с более активной деятельностью ядра в восточном направлении. Отметим, что спиральные рукава галактики также выходят из восточной части цеп-

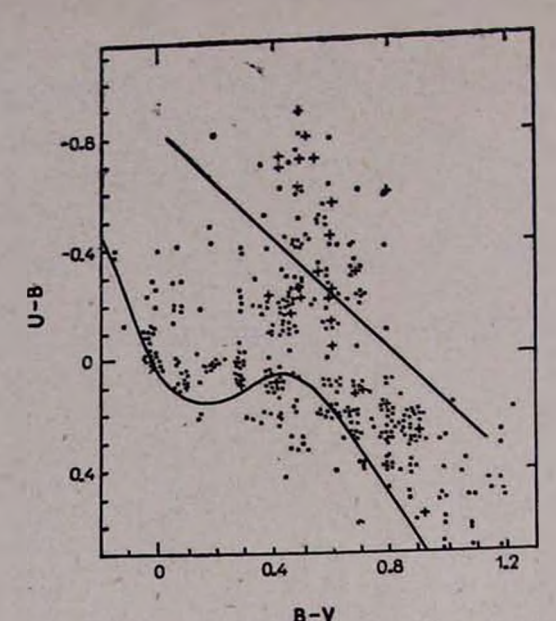


Рис. 3. Диаграмма (U—B,B—V) для Казарян 26. Крестиками обозначены площадки, измеренные в яркой центральной области галактики, остальные площадки обозначены точками. Жирные линии соответствуют абсолютно черному телу и главной последовательности

тральной яркой области, хотя по полученным нами снимкам трудно судить, связаны ли непосредственно спиральные рукава с ядром или нет.

Как уже отмечалось, показатель цвета В—V по сравнению с U—В мало изменяется на всем протяжении галактики. Некоторое уменьшение значений U—В и В—V у самых внешних частей указывает на общую тенденцию к посинению в этих областях галактики, что хорошо иллюстрируется также данными табл. З. Проявлением этой тенденции и является наличие ряда «голубых» точек на диаграмме (U—B, B—V). Однако почти все они расположены в периферийных площадках, имеют небольшую яркость и соответственно вносят незначительный вклад в интегральные характеристики галактики.

Интересно отметить, что хотя галактика показывает в спектре узкие эмиссионные линии, по данным фотометрии она весьма похожа на исследованную в [4] сейфертовскую галактику Маркарян 10.

Автор выражает благодарность М. А. Казаряну за ценные обсуждения.

5 июня 1985 г.

4. U. PUVUSSUL

ԿԵՐՄԱՆՈՒՇԱԿ ԱՎԵԼՑՈՒԿՈՎ ԳԱԼԱԿՏԻԿԱՅԻ UBV—ԼՈՒՍԱՉԱՓՈՒԹՅՈՒՆ

Աշխատանքում ներկայացվում են Մ. Ա. Ղազարյանի ցուցակից գերմանուշակ ավելցուկով № 26 գալակտիկայի UBV—լուսաչափական տվյալները։ Ռերված են մակերևութային պայծառության և գույնի ցուցիչների բաշխվածությունները, ինչպես նաև U-B, B-V դիադրամը։ Գալակտիկայի միջուկը և նրան շրջապատող պայծառ կենտրոնական տիրույթը ունեն անսովոր կապուլտ դույն։

Չնայած № 26 դալակտիկայի սպեկտրում դիտվում են առաքման նեղ գրծևը, գունաչափական բնութագրերով դրանք նման են Սելֆերտի դասի Մարգարլան 10 գալակտիկային։

V. S. TAMAZIAN

UBV PHOTOMETRY OF A GALAXY WITH UV EXCESS

The results of detailed UBV photometry of the galaxy Kazarian 26 with UV excess are presented. The chart of brightness distribution in B and color indeces U-B, B-V, is presented. U-B, B-V diagram is constructed.

It is noticed the presence of starlike nucleus with anomalous blue color and surrounding bright central region with diameter of about 12°. The nucleus in U color is by 2m 0 brighter than the remaining part of the galaxy.

By UBV photometric data the Kazarian 26 is very similar to the Seyfert galaxy Mrk 10, though in its spectrum there are narrow emission lines.

ЛИТЕРАТУРА

- 1. М. А. Казарян, Астрофизика, 15, 5, 1979 2. М. А. Казарян, В. С. Тамазян, Астрофизика, 18, 192, 1982. 3. В. С. Тамазян, Сообщ. Бюраканской обс., 54, 80, 1983. 4. Ф. Бёрнген, А. Т. Каллоглян. Астрофизика, 11, 5, 1975.

НАБЛЮДЕНИЯ РАДИОИСТОЧНИКОВ ИЗ СПИСКОВ УТИ НА ЧАСТОТЕ 102 МГц. II

Введение. В девяти списках Ути радиоисточников, составленных по наблюдениям методом лунного покрытия на частоте 327 МГц с высокой разрешающей способностью, сведены данные о 744 радионсточниках В основном это слабые радиоисточники, минимальная плотность потока которых на 327 МГц составляет 0.25 Ян. Представляет определенный интерес исследование радиоисточников этих списков из других частотах как с точки эрения измерения радиоизлучения с целью определения спектральных характеристик в широком днапазоне частот, так и с точки зрения исследования их тонкой структуры. Некоторые наблюдения радноисточников указанных списков проводились на Боннском радиотелескопе на частоте 4850 МГц [1] и методом РСДБ на частоте 5000 мГц [2]. Нами начаты наблюдения радиоисточников из списков Ути как в метровом, так и сантиметровом днапазонах длин волн на двух крупных радиотелескопах АН СССР-на Большой сипфазной антенне (БСА) Радиоастрономической станции Физического института им. П. Н. Лебедева в г. Пущино и на радиотелескопе РА-ТАН-600 [3, 4]. В настоящей статье приводятся результаты наблюдений радиоисточников из списков Ути № 6-9 [5-8], полученные в течение 1982 и 1983 гг. на радиотелескопе БСА.

Наблюдения. Наблюдения на раднотелескопе БСА проводились в апреле-мае 1982 г. и июне-июле 1983 г. методом мерцаний источников на неоднородностях межпланетной плазмы. Разрешающая способность метода 0". 1, что позволило исследовать тонкую структуру мерцающих компонент. Методика наблюдений и их обработки приведена в [9].

Днаграмма БСА имеет размер 1°×0°.5/созг (z—зенитное расстояние), максимальная эффективная площадь БСА составляет 20 000 м². Частота приема менялась от 102 до 103 МГц, что было связано с наблюдением радиоисточников в максимуме днаграммы антенны. Постоянная времени 0.6 с., ширина полосы пропускания радиометра 1400 КГц. Среднеквадратическая величина шумов при этом составляет≈ 0.15 Ян. Эффект путаницы (confusion) БСА 1.0 Ян.

Целью наблюдений было определение: интегральной плотности потока источника—S, плотности потока мерцающего компонента— S_M или их отношение $R = \frac{S_M}{S}$ (R—сцинтилляционная видимость радноис-

точника) и угловых размеров мерцающих компонент—0. В случае, когда радиоисточник был настолько слаб, что оценки параметра R и угловых размеров в становились ненздежными, приводятся только верхние пределы плотностей потоков, оцененные визуально по аналоговым записям. Плотности потоков исследуемых источников оценивались относительно опорных радиоисточников из ЗС каталога. Потоки опорных источников на частоте 102 МГц получались путем интерполяции между значениями потоков на частотах 38 МГц [10], 86 МГц [11], 178 МГц [12] и 750 МГц [13]. Погрешность измерений плотностей потоков для сильных источников (S>5 Ян) определяется погрешностью

абсолютной шкалы потоков (~20%), а для слабых—эффектом путаницы (~1 Ян). Наблюдения мерцаний слабых радиоисточников на неоднородностях межпланетной плазмы позволяют выделить в источнике два угловых масштаба: мерцающего компонента с размером порядка лесятых долей угловой секунды и немерцающего с размером 0 >1".5. Приведенные в данной статье угловые размеры мерцающих компонент опенцвались из сравнения каблюдаемого временного спектра мерцаний с теоретическими, полученными В. И. Шишовым и Т. Д. Шишовой [14, 15]. При этом ошибки определения угловых размеров слабых источников составляют $\Delta \theta = 100\%$ для $\theta < 0.2$ и $\Delta \theta / \theta = 100\%$

для 0".2 < 0 < 1".0. В данной выборке значительную часть составляют радиоисточники, отсутствующие в других каталогах (47%). Выбранные для наблюдений радиоисточники удовлетворяют следующим условиям: плотность потока на 327 МГп ≥ 0.4 Ян, склонение 5 ≥ 7°. /в 11/>10° (кроме 0500+270 и 0641+208). С целью обеспечения лучших условий наблюдений для метода межпланетных мерцаний наблюдения проводились на таких элонгациях 2, когда теоретические значения индекса мерцаний немного отличаются от его максимального значения. Инлекс мерцаний на 102 МГц максимален при 2 ≈ 24°. Каждый радионсточник наблюдался от 3 до 5 раз, а результаты отдельных записей

устрелнялись.

Результаты наблюдений и их обсуждение. Результаты наблюдений 65 радиоисточников из списков Ути на 102 МГц приведены в таблице, в столбцах которой даны следующие величины: 1—радноисточники из списков Ути; 2—другие названия радиоисточников; 3—оптические отождествления; 4—плотности потоков на 327 МГц; в случае, когда радиоисточник состоит из двух или более компонент, в таблице приведена плотность потока всего источника; 5—измеренные значения плотностей потоков на 102 МГц; 6—спектральный инлекс в диапазоне частот 102—327 МГц (S~v-*), погрешность которого составляет ±0.2; 7—эффективный угловой размер мерцающего компонента; 8—параметр R; 9—среднее значение элонгации, на которой были проведены наблюдения; 10—примечания

Иногда источники были настолько слабы, что мы видели только их мерцания. Эффект путаницы для мерцающих источников на БСА был исследован в [16], его медианное значение≈ 0.14 Ян. Поэтому мерцающие источники, плотность потока которых была меньше 0.5 Ян, относились к сомнительным и если слабые мерцания все же наблюдались, то в примечаниях указывается, что источник возможно мерцает. Диаграмма БСА позволяла разделить мерцания двух близких радионсточников, если расстояние по прямому восхождению между нимп > 10′.

В результате наблюдений на частоте 102 МГц радиоизлучение было обнаружено у 13 источников, 7 из которых имеют мерцающие компоненты, 21 источник имеет плотности потоков ниже предела чувствительности наших наблюдений, а в остальных случаях (31 радиоисточник) по условиям наблюдений на БСА невозможно разделить их от соседних или от влияния более удаленных сильных источников. Таким образом, наша выборка состоит из 34 радиоисточников, у которых по условиям наблюдений на БСА нет медающих факторов. Плотности потоков этих радиоисточников находятся в интервале 0.4 Ян S 3 Ян и имеют медианное значение S 327 = 0.7 Ян. Из 34 радиоисточников 23 — это оптически неотождествленные источники. Из этих 23 радиоисточников на 102 МГц радиоизлучение обнаружено у 11 (48%), из кото-6—338

Названия радно- источника по спис- кам Ути	Название по дру-	Оптические отож- дествления	S ₃₂₇ , Ян	S ₁₀₂ , Ян	α	6"	R	E°	Примечания
1	2	3	4	5	6	7	8	9	10
0157- -168	MC 3	EF	0.7	3.5	1.4			22	На расстоянии 7' по а и 15' по в на-
0158+152 0215+151 0222+173 0223+175 0226+174 0235+153 0237+151 0249+171 0255+191	OD+125 MC 3 MC 3 OD+158.9 4C+15.08 MC 3	EF EF EF 18 ^m .5,QSO EF EF EF 19 ^m .5,G	0.5 1.0 0.4 0.5 0.7 0.5 2.4 0.5 0.55	\$\begin{array}{c} \chi_2 \\ \chi_2 \\ \chi_3 \\ \chi_3 \\ \chi_3 \\ \chi_2 \\ \chi_3 \\ \chi_2 \	1.1 - - 0.3	0.8	1.0	21 20 22 22 22 22 24 24 24 27 31	ходится 0158+165 сS ₃₆₅ =0.397 Ян[17] Возможно мерцает Мешают мерцающие источники Возможно мерцает
0300+192 0301-191 0301+194	=	EF 12 ^m .0,NSO EF	0.5 0.8 0.9	6.0	-	-	_	48	Возможно мерцает Мешают друг другу. Мерцает 10300-192
0309+175 0311+175.1 0311+175.2	MC 3 MC 3 MC 3	19 ^m .0,G EF EF	0.9 0.8 0.8	10.0	-	-	-	40	Мешают друг другу. Мерцают
0310+196 0315+214 0342+199 0343+184 0349+212 0354+212	OE+226 OE+170.2 H 4C+21.13	20 ^m .0,RO EF EF EF 17 ^m .0,G E	1.2- 1.0 0.8 0.8 1.45 0.45	<2 4.0 2.0 <2 5.0	1.2 0.8 — 1.05	- 0.1 -	- 0.4 -	46 33 38 45 40	Возможно мерцает
0359+193 0447-1-228)	4C+19.10	14m.0,NSO	1.4	-		_	=	33 41	Мешает 4С-1-21 15, который мерцает Сложная область
0447+228	4C+22·10 4C+22·10	19 ^m .0,RO EF	1.7 0.55	12.0	-	0.15	0.3	23	Мешают друг другу
0452+207 0453+205	OF+228 4C+20.16	EF EF	0.65	8.0	-	0.4	0.2	28	Мешают друг другу
0459+246 0500+270	B2.2 B2	EF	1.1	=	=	=	=	31 30	Мешает 3С 133 Мешает B2 0501+276 с S ₁₀₃ =4.0 Ян

1	2	3	4	5	6	7	8	9	10
1506- 198		EF	0.6	_ 1		_	_	33	Возможно мерцает, мешает исто-
2641 1 000		C 1	10						ник, видимый на 1 ^т поэже
0641+208		Cwd	1.0	$\stackrel{\textstyle <2}{<2}$			_	28	
0657- -201 0743- -170		Cwd	0.9			_		25	
)756 + 170	_	EF	0.65	4.0	-			22	Сложная область
802+2121	_	EF EF	1.75	4.0	0.7	0.3	0.7	22	
803214	100		0.6	4.5		-		18	Мешают друг другу
806-1-210		EF	0.8	-0					
814201		EF ON A DO	0.6	<2 <2	-	_		23	
		20m.0,RO .	0.5	<2			-	18	
0822-144	46 10 01	21m.0,BG	0.45	<2			1-	24	Возможно мерцает
836+195	4C+19.31	17m.5,QSO	1.3	7.0	1.4	0.2	0.5	24	
839-1-138	OJ+165	EF	1.05	_		_		24	Мешает 3С 207, который мерцае:
840-1-184	4C+18-25	EF	1.1					21	Возможно мерцает, мещает 4С + 18.
952 + 124	4C+12.32	17m.5,RO	0.9	17.0	_	0.1	0.2	32	Мешают друг другу
853-1247	OJ + 189.2	EF	0.8			-20			Мешает радиоисточник, видимый
914+114		EF	1.8				-	30	I ^ш позже
925+112		EF	0.7		_	-	-	33	Mewaer 4C+11.32
156 072		EF	0.45	<2	_		_	42	
207069	4C06-72	EF -	1.35	2.6	0.6	0.1	1.0	45	- 117 2 117
211 0571	_	EF	0.8	3.8	_			38	Мешают друг другу
212 0565	_	15 ^m .0G	0.45						
223 053	_	15m.0	1.4					35	Meinaer 3C 446
227—037	OY-046	EF	1.8	2.0	0.2			42	Возможно мерцает
231 - 044		15m.5,RSO	0.55	<2		_	-	46	
236 6401	_	21 ^m .0.BO	0.5	8.0	-	0.2	0.3	31	Мешают друг другу
23 5—039)		EF	1.0						
254 039	OY-092	/ EF	1.3	2.0	0-35			36	- 24
255- 046	-	20m.0,BSO	0.7	<2	_	_		34	
304-012	OZ-007	EF	1.15	2.8	0.75	0.1	0.75	24	*
308-006	_	EF	0.45	<2	-	_		33	
322 + 0031		19m.0,G	0.45	6.5	-64	0.1	0.4	26	Мешают друг другу
322-1-006		EF	0.75						Tej Mej j
3.2+011	OZ-+ 038	EF	0.7	<.5			_	33	
325+013	_	17m.0,G	0.5	<2	2	_	_	18	
338-1-030	4C+03.60	19m.0,G	3.0	9.0	0.95	0.2	0.5	21	
354 040	OZ-1-092	EF	0.55	<2			_	Ĩ9	

Примечания: EF—неогождествленный радиоисточник, QSO—квазизвездный объект, NSO—нейтральный звездообразный объект, RSO—красный звездообразный объект, RO—красный объект, RO—красный объект, RO—красный объект, RO—красный объект, RO—красная галактика, Cwd—сложная область.

рых мерцают 5 (45%). Из 11 оптически отождествленных радионсточников радиоизлучение на 102 МГц обнаружено у 3 (27%), из которых

мерцают 2.

Из таблицы видно, что спектральные индексы 12 радиоисточников, у которых обнаружено радиоизлучение, в диапазоне частот 102— 327 МГп, находятся в интервале 0.2≤α≤1.4 и их медианное значение равно 0.78. Медианное же значение спектральных индексов 7 мерцающих источников равно 0.75. Среднее значение компактности мерцающих источников равно 0.6. По данным лунных покрытий на 327 МГц [5-8] среди мерцающих радиоисточников два радиоисточника (0237+154 и 0836+195) имеют двойную структуру, один из компонентов которых не разрешен, радиоисточник 0342+199 имеет, вероятно, двойную структуру, а остальные 4-не разрешены.

Примечания к отдельным источникам из таблицы.

0237+154. По данным лунных покрытий на 327 МГц радионсточник имеет двойную структуру, угловой размер одного из компонентов которого равен 1".2±0".6, а второго <1" 9. Оптически не отождествлен. По нашим наблюдениям у радионсточника обнаружено 100% мерцания излучения, которое исходит из области с размером ~ 0".8.Спектральный индекс радиоизлучения в интервале частот 327-4850 МГц равен 0.84 [1]. Видимо, спектр радионэлучения ($u_{102-327}$ =0.3) этого источника претерпевает низкочастотный завал, что согласуется с наличием компактного компонента. Спектральный индекс мерцающего компонента $\alpha_{102} - 4850 \ge 0.71$.

0756 + 170.Ha 327 МГц радионсточник не разрешен, угловой размер <2". 6. На 102 МГц у этого источника обнаружено 70% мерцания излучения, которое исходит из области с размером \sim 0".3. Плотность потока на 3660 МГц равна 0.14 Ян [4]. Для мерцающего компонента в интервале частот 102—3660 МГц получается а≥0.84.

0836+195. На 327 МГц радиоисточник имеет двойную структуру. угловой размер слабого компонента не удалось оценить, но он по положению совпадает с QSO с 17 6 н z=1.691 [18], угловой размер второго компонента <2". По нашим наблюдениям радиоисточник показывает 50% мерцания излучения, которое исходит из области с размером $\sim 0''.2$ (соответствующий линейный размер ~ 1.1 кпс, при $H\!=\!75$ км/с. Мпс, q=0.5). Если предположить, что мерцающее излучение, которое исходит из области с размером ~0".2 на 102 МГц, совпадает. с излучением квазара (В компонент на 5000 МГц [19]), то спектральный индекс радиоизлучения мерцающего компонента в интервале частот 102—5000 МГц оказывается ≥0.9.

2207—069. На 327 М Γ ц радиоисточник не разрешен, угловой размер < 2".5. Оптически не отождествлен. На 102 М Γ ц у этого источника обнаружено 100% мерцания излучения, которое исходит из области с размером \sim 0".1. Плотность потока на 4850 МГц равна 0.165 Ян [1]. Для мерцающего компонента в интервале частот 102-4850 МГц полу-

чается Ф≥0.71.

2304-012. На 327 МГц радиоисточник не разрешен, угловой размер <2".7, оптически не отождествлен. На 102 МГц у этого источника обнаружено 75% мерцания излучения, которое исходит из области с размером ~ 0".1. Плотность потока на 4850 МГц равна 0.115 Ян [1]. Для мерцающего компонента в интервале частот 102-4850 МГц полу- $\alpha \ge 0.75$

2338+030. На 327 МГц почти 80% излучения сосредоточено в области с размером 0".8±0.4, а остальная часть излучения исходит из области двух выбросов с размером ~5", направленных к востоку и к западу от ядерного компонента. Отождествлен с ЕЗ галактикой 19 ™3 [20]. На 102 МГц у этого источника мерцает 50% излучения, которое исходит из области с размером ~0".2. Если мерцающий компонент отождествить с ядерным компонентом на 327 МГц, то его спектральный индекс получается α_{103-32} ≥0.53. В спектре интегрального радиоизлучения этого источника в интервале частот 102—2700 МГц не имеется перелома ($\alpha_{318-2700}$ =0.92) [21]. Спектральный индекс мерцающего компонента получается $\alpha_{102-2700}$ ≥0.75.

Авторы признательны М. А. Оганиисяну за участие в наблюдениях, а также сотрудникам группы эксплуатации БСА за оказанную помощь

в наблюдениях.

5 апреля 1984 г.

Физический институт им. II. Н. Лебедева АН СССР, Бюраканская астрофизическая обсерватория АН АрмССР

4. U. UPSSAPE, A. U. OZULBUL, 4. A. AUVUSBUL

ՈՒՏԻՒ ՑՈՒՑԱԿՆԵՐԻ ՌԱԴԻՈԱՂԲՑՈՒՐՆԵՐԻ ԴԻՏՈՒՄՆԵՐԸ 102 ՄՀՑ ՀԱՃԱԽԱԿԱՆՈՒԹՅԱՆ ՎՐԱ. II

Բերված են Ուտիի ցուցակներից 65 ռադիոադբյուրների 102 ՄՀց հաճա-

իականության վրա կատարված դիտումների արդյունքները։

Դիտումները կատարվել են միջմոլորակային առկայծումների մեթոդով БСА ռադիոդիտակով (ք. Պուշչինո), որոշվել են դիտված ռադիոաղրյուր-ների հոսքերի խտությունները, սպեկտրալ ցուցիչները 102—327 ՄՀց հաճախականությունների տիրույթում, ինչպես նաև ռադիոաղբյուրների կոմպակտության աստիճաններն ու առկայծող բաղադրիչների անկյունային չափերը։

V. S. ARTYUKH, G. A. OHANIAN, V. G. PANAJIAN OBSERVATIONS OF THE OOTY RADIO SOURCES AT 102 MHz. 11.

The results of observations of 65 Ooty radio sources are presented. Observations were made with the Large Phased Array in Pushchino by interplanetary scintilletion method.

The integral flux densities of the sources as well as the angular sizes and the flux densities of the scintellating componets are determined.

ЛИТЕРАТУРА

1. Gopal-Krishna, H. Steppe, A. Witzel, Astron. Astrophys., 89, 169, 1980.

2. Gopal-Krishna, E. Preuss. R. T. Schillzi, Nature, 288, 344, 1980.

3. В. С. Артюх, М. А. Оганнисян, В. Г. Панаджян, Сообщ. Бюраканской обс., 54, 3, 1983.

- 4. Г. А. Оганян, В. Г. Панаджян, Сообщ. Бюраканской обс. 51, 10, 1983.
- 5. C. R. Subrahmanya, Gopal-Krishna, Mem. A. Soc. India, 1, 2, 1979.
- 6. A. K. Singal, Gopal-Krishna, V. R. Venugopal, Mem. A. Soc. India, 1, 14, 18
- 7. K. L. Venkatakrishna, G. Swarup, Mem. A. Soc. India, 1, 25, 1979.
- 8. M. N. Joshi, A. K. Singal, Mem. A. Soc. India, 1,--49, 1980.
- 9. В. С. Артюх, АЖ. 58, 208, 1981.
- 10. P. G. S. Williams, S. Kanderdine, J. E. Baldwin, Mem. Roy. Astron. Soc., 70,
- 11. В. С. Артюх, В. В. Виткевич, Р. Д. Дагкесол анский, В. Н. Кожухов, АЖ. 1
- 567, 1969. 12. L. D. H. Pilkington, P. H. Scott, Mem Roy. Astron. Soc., 69, 183, 1965.
- 13. K. J. Kellermann, J. J. K. Pallinny-Toth, P. G. S. Williams, Astrophys. J., 15 1, 1965.
- 14. В. И. Шишов. Т. Д. Шишова, АЖ., 55, 1030, 1973. 15. В. И. Шишов, Т. Д. Шишова, АЖ., 56, 613, 1979. 16. В. С. Артюх, В. И. Шишов, АЖ. 59, 896, 1982.
- 17. J. N. Douglas. F. N. Bash, G. W. Torrence, C. Wolfe, The University of Tex Publ. Astron. N-17, 1980,
- 18. J. B. Deveny, W. H. Osborn, K. Janes, Publ. Astro. Soc. Pasific, 83, 611, 1971.
- 19. C. J. Jenkins, G. G. Polley, J. M. Riley, Mem. Roy. Astron. Soc., 84, 61, 1977.
- 20. N. J. McEwan. I. W. A. Browne, J. H. Crowther, Mem. Roy. Astron. Soc., 80, 1975.
- 21. J. J. Condon, D. L. Janneey, A. J., 79, 437, 1974.

В. П. ЗАЛИНЯН, Г. М. ТОВМАСЯН

СИСТЕМА ДЛЯ РЕГИСТРАЦИИ БЫСТРЫХ ИЗМЕНЕНИЙ БЛЕСКА ЗВЕЗД

Введение. Для понимания природы вспышек у вспыхивающих звезд важное значение имеет изучение кривой блеска вспышки, особенно, в обычно более быстротечной части нарастания яркости. Помимо этого, особый интерес представляет обнаружение и изучение коротких вспышек, длительностью около 1 с [1-3] и, возможно, меньше. Для обнаружения и регистрации таких вспышек нужно вести электрофотометрические наблюдения с постоянной времени около 0.1 с. а для детального исследования кривой яркости таких вспышек необходимы и меньшие значения постоянной времени. Не исключено, что могут быть обнаружены и болес короткие вспышки. Так что, очевидна необходимость возможности вести наблюдения с постоянными времени порядка 0.1÷0.001 с. Существенным обстоятельством при этом является то, что вспышка является случайным процессом и для ее обнаружения необходимо длительное многочасовое патрулирование исследуемых звезд. Поэтому наблюдения с очень малыми значениями постоянной времени электрофотометра потребуют огромное количество бумаги для самописцев, лент для цифропечати, перфорации и т. д. При этом решение поставленной задачи может быть ограничено и предельной скоростью записи упомянутых регистрирующих устройств. Это последнее ограничение может быть снято при записи всей информации на магнитную ленту, магнитный диск и т. п. Система записи результатов наблюдений в магнитной памяти с последующим анализом на ЭВМ была предложена в работах [4, 5]. Этот метод, в принципе, позволяет выявлять даже микросекундные составляющие в кривой блеска наблюдаемых звезд, если таковые есть. Однако реализация этого метода требует применения достаточно дорогих машин, имеющих объем магнитной памяти более 10 Мбайт, причем запись нужно вести, как и в других случаях, во все время наблюдения, при котором остаются в силе указанные выше трудности. Существенным неудобством применения больших ЭВМ является также удаленность машинного зала от телескопов (иногда на несколько сот метров) и связанная с этим трудоемкость стыковки на больших расстояниях ЭВМ и электрофотомет-

В настоящей работе предлагается метод для регистрации кривых блеска вспышек с постоянной времени $0.1\div0.001$ с с использованием транспортабельной микро-ЭВМ типа «Электроника 60». Суть предлагаемого метода регистрации заключается в том, что действительнач регистрация происходит только при изменении блеска наблюдаемой звезды. В процессе наблюдения с выхода электрофотометра, работающего в режиме счета фотонов, фотоотсчеты поступают на ЭВМ, которая в заранее заданном промежутке времени π , в предположении пуассоновского распределения флуктуаций, определяет среднее значение выходного сигнала и среднеквадратичное отклонение от него, $\sigma = \sqrt{y}$. Затем каждый последующий отсчет сигнала у сравнивается со значением $y \pm m\sigma$, определенным в примыкающий интервал временя

пт . Если при этом измеряемый сигнал не отличается от среднего значения у, скажем на ±35 или 55 (выбор значения и зависит от наблюдателя), то в память машины ничего не записывается. Гак продолжается до тех пор, пока измеряемый сигнал не будет заметно отличаться от среднего значения. Как только измеряемый сигнал отклонится от среднего значения на заданную величину п с, то автоматически включается регистрация измеряемых отсчетов. Регистрация автомагически прекращается, когда выходной сигнал принимает значение, отличающееся от исходного среднего значения не оолее чем на заданную величину m5. Очевидно, что система позволяет регистрировать как быстрые увеличения блеска, так и его уменьшения. Запись может вынужденно прекратиться в том случае, если вспышка длительная и количество поступившей от нее информации уже заполнит весь объем оперативной памяти машины. Но поскольку параллельно с записью на ЭВМ в данном методе ведется запись и обычными методами с обычными постоянными времени, то такая медленная вспышка будет записана обычным образом. Кроме того, поскольку в память машины записываются все предшествующие началу регистрации вспышки отсчеты, по которым определяется среднеквадратичное отклонение, то имеется возможность при медленной вспышке восстановить кривую медленного нарастания блеска, имевшего место до включения системы регистрации.

После заполнения памяти машины поступившая информация выводится на печать. Недостатком предлагаемого метода является то, что на время вывода информации из памяти прнем повой информации прекращается. В случае, если скорость печатающего устройства достаточна для регистрации информации в реальном времени, то не будет

необходимости записи отсчетов в память машины.

ЭВМ для записи и анализа наблюдений была использована в работе [6]. В этой системе отсчеты фотометра поступают в память мишины (довольно большой, аналогичной СМ—4), причем ограниченное количество отсчетов (500) выводится одновременно на дисплей. Здесь сам наблюдатель в процессе наблюдения следит на дисплее за поведением звезды и решает, какую часть записи вывести на регистрацию.

Блок-схема установки. Структурная схема установки приведена на рис. 1. Излучение наблюдаемой звезды регистрируется электрофотометром, светочувствительным элементом которого является фотоумножитель типа ЕМІ 9789 QB, имеющий низкий уровень собственных шумов. В качестве фильтра использованы цветные стекла УФС6 п СЗС21, которые вместе с использованным фотоумножителем определяют полосу пропускания «U», представленную на рис. 2, близкую к системе U.

Импульс фототока на аноде фотоумножителя (ФЭУ), составляющий в среднем 50 мВ на нагрузке 100 См, усиливается предусилителем (ПУ) (см. рис. 1). Дискриминатор—формирователь (ДФ) имест возможность установки порога дискриминации, причем, порог выбирается так, чтобы получить наибольшее отношение сигнал/шум [7]. Блок (БФ) формирует импульсы, поступающие с ДФ в импульсы уровня 2.5 В и длительностью 0.1 мкс, идущие на вход счетчика СД, собранного на микросхемах 155 серии. Счетчик (СД) представляет собой 16-разрядный двоичный счетчик, работающий на интерфейсную плату обмена данных И2 ЭВМ «Электроника 60». Временной интервал, за который происходит считывание одного отсчета, а также импульсы управления и опроса задаются кварцевым генератором.

Параллельно с работой счетчика запись ведется с помощью часто-

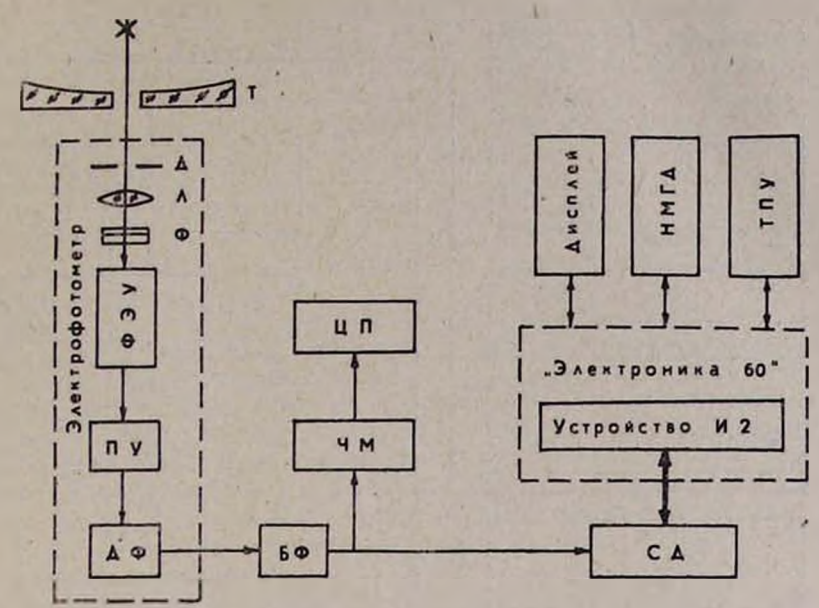


Рис. 1. Блок-схема системы: Т—телескоп, Д—диафрагма поля, Л—линза Фабри, Ф—фильтры, ФЭУ—фотоэлектропный умножитель, ПУ—предусилитель, ДФ—дискриминатор-формирователь, БФ-блок формирования, ЧМ—частотомер, ЦП—цифропечатающее устройство, СД—счетчик двоичний, НГМД—накопитель на гибком магнитном диске, ТПУ—термопечатающее устройство

томера (ЧМ) и цифропечатающего устройства (ЦП). Постоянная времени интегрирования частотомера может быть выбрана в пределах 5÷1000 с.

Блок-схема программы. Блок-схема программы для регистрации быстрых изменений яркости звезд приведена на рис. 3. Программа работает следующим образом. При пуске программы, исходное коли-

чество отсчетов записывается в кольцевой буфер на п слов. Затем содержимое кольцевого буфера обрабатывается и определяется у±то. Последующее (п+1)-ое измерение сравнивается с предварительно полученным значением у±то. Если измерение удовлетворяет условию перехода «нет», то оно записывается в ячейку кольцевого буфера с начальным адресом, предварительно стирая содержимое этой ячейки. После записи в буфер, вновь определяется у±то и сбрасывается признак занятости кольцевого буфера. При повторном условном переходе «нет» измерение заносится в соседнюю ячейку кольцевого буфера с большим адресом и цикл определения у±то возобновляется.

Организация кольцевого буфера даст возможность иметь до появления вспышки (условный переход «да») п последовательных значений измерений, непосредственно примыкающих к началу регистрации. При выполнении условия «да» содержимое кольцевого бу-

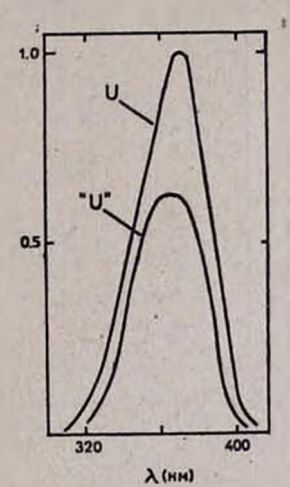


Рис. 2. Кривая пропускання использованного в наблюдениях фильтра «U» и кривая пропускания в системе U

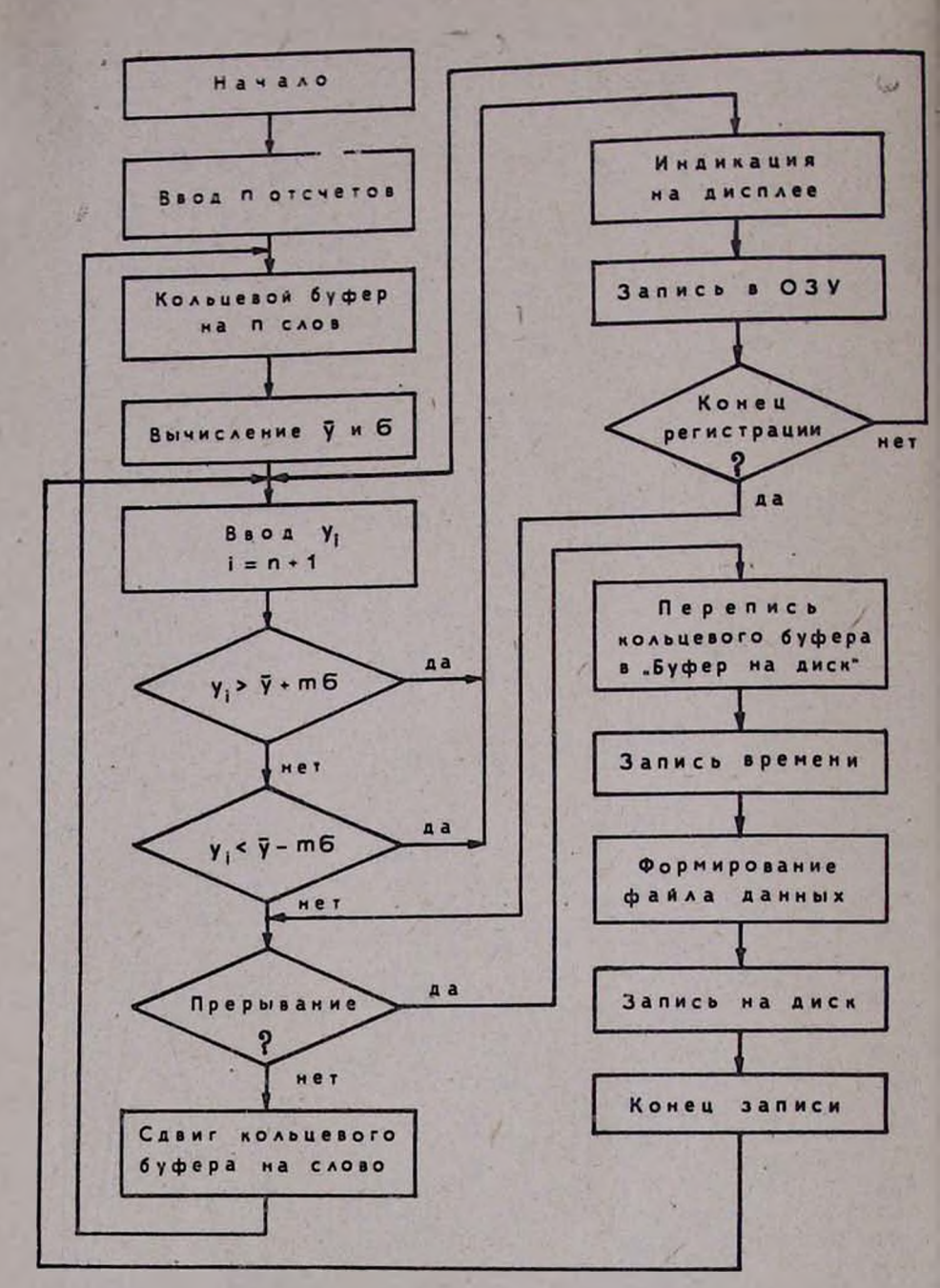


Рис. 3. Блок-схема программы обработки наблюдений

фера переписывается в «Буфер выдачи на диск», сохраняя при этом содержимое кольцевого буфера. Само измерение, вызвавшее условие «да», записывается в рабочее поле оперативно запоминающего устройства (ОЗУ). Рабочее поле представляет собой ячейки ОЗУ, выделенные для записи регистрируемых отсчетов, и занимает 15 килослов памяти. Это означает, что можно записать вспышку длительностью порядка 15.103 г.с.

Цикл обработки нового измерения и запись в кольцевой буфер возобновится сразу же после записи на диск. Время цикла составляет 400 мкс. Это позволяет вести наблюдения с минимальной постоянной

временн порядка 0.001 с.

Результаты лабораторных и натурных испытаний системы. До использования в реальных наблюдениях система прошла лабораторные испытания для выяснения возможности регистрации искусственно создаваемых «вспышек», а также самопроизвольной регистрации информашин, носящей характер помех. Вся система оставалась включенной с затемненным фотокатодом на время до 6 ч, а иногда и более. За время таких испытаний, с общей длительностью 20 ч. ни разу не включалась регистрация от каких-либо внутренних ложных сигналов. Затем, с целью исследования отклика системы на короткие сигналы перед фотокатодом фотоэлектронного умножителя с помощью светодиода. включенного в интегрирующую RC цепочку, создавались вспышки с различными длительностями переднего фронта от 0.3 до 1.0 с. В каждом таком случае немедленно включалась регистрация и записывалось нарастание сигнала. Пример такой записи приведен на рис. 4. В этом случае длительность фронта нарастания равна 0.5 с. На рис. 4 сплощной линией показана кривая, снятая с помощью калиброванного

фотодиода и запоминающего осциллографа. Точками через каждые 0.1 с приведены результаты записи этой «вспышки» описывае мой системой. Как видно из рисунка, наоблюдается довольно хорошее соответствие кривой «вспышки» и ее отклика в системе.

После лабораторных испытаний описываемый электрофотометр с автоматической системой регистрации прошел натурные испытания на 40 см телескопе системы Кассегрена Бюраканской астрофизической обсерватории. Выли произведены наблюдения стандартных звезд скопления NGC 7160 с постоянным блеском в пределах от 7¹¹¹ до 11¹¹, 1 видимой величны в цвете U с постоянной времени $\tau = 1$ с. В программу испытательных наблюдений были включены также следующие вспыхивающие звезды: ADLeo, Wolf 630, V1258 Aq1, В1 Dra и EVLac.

За время наблюдений стандартных звезд в течение 50 ч не была зарегистрирована ни одна короткая вспышка. Вспышки не были зарегистрированы и при наблюдении вспыхивающих звезд ADLeo. Wolf 630

(UNN)N

т(с)
Рис. 4. Отклік системы (о) на искусственную вспышку (—) с фронтом нарастания 0.5 с

V1258 Agl и BYDra в течение 55 часоз суммарных наблюдений. При этом вспышки не были зарегистрированы на обычной записи.

В лабораторных исследованиях и описанных наблюдениях на телескопе среднее значение сигнала определялось по 100 отсчетам двоич-

ного счетчика (СД). Значение m было принято равным 3. Определе ние яркости фона неба, с целью получения значения яркости само звезды, определяемой и на параллельно проводимой обычной зашис с постоянной времени 20 с, проводилось несколько раз в течение ночи а также сразу же после прекращения регистрации вспышки, если такс вая имела место.

В случае же наблюдений звезды EVLac за 22 ч наблюдений были зарегистрированы три вспышки. Две из иих произошли в ноч на 19 июля с интервалом всего в 40 мин (рис. 5). Оба раза звезду вспыхнула на ~1.3 звездиые величины в цвете U. Длительность каж дой вспышки около трех секунд. Такие же короткие вспышки с ана логичными кривыми яркости были зарегистрированы ранее и другими наблюдателями [1, 2]. Примечательно, что короткая вспышка в дале ком ультрафиолете с длительностью около 2 с была недавно обнаружена с помощью орбитального телескопа «Астрон» [8].

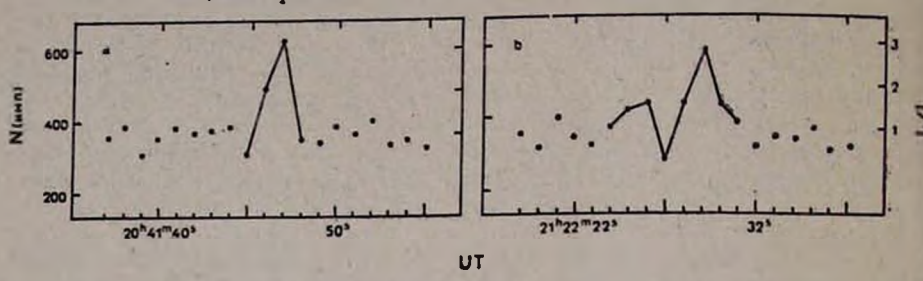


Рис. 5. Вспышки звезды EVLac, зарегистрированные 18.07.85 с постоянной времени 1 с

Третья вспышка (рис. 6) с амплитудой в 2^{тг} 2 имела место в ночь на 9 августа. Эта вспышка была зарегистрирована при постоянной времени системы в 0.1 с. Поскольку при такой постоянной времени уровень шумов был выше, значение m было принято равным 4. Нараста-

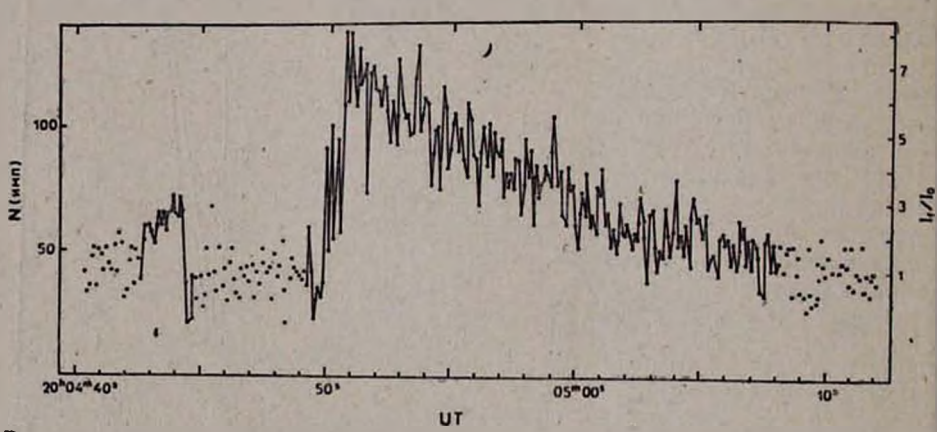


Рис. 6. Вспышка звезды EVLac, зарегистрированная 8.08.85 с постоянной времени 0,1 с

ние яркости этой типичной вспышки длилось около 1 с. Спад яркости продолжался около 17 с.

На вспышке, представленной на рис. 5, b, до основной вспышки намечается небольшое нарастание яркости в течение 2 с, а затем резкий спад. Однако, поскольку все это, в основном, находится в пределах 3 о от среднего уровня сигнала, то в данном случае нельзя говорить уверенно об обнаружении отрицательной предвспышки. Такое же небольшое нарастание яркости с амплитудой около 1^{т.} 2 пимело место и перед вспышкой, представленной на рис. 6. Здесь превышение над средним уровнем больше 3 с, и поэтому эта небольшая предвспышка кажется более вероятной. Кстати, поведение выходного сигнала до вспышки, т. е. до начала регистрации, в данном случае было воспроизведено по записанным в памяти машины 100 отсчетам,

по которым определялось значение среднего уровня.

Заключение. Таким образом, предложенная система электрофотометра в сочетании с микро-ЭВМ позволяет регистрировать сверхкороткие вспышки звезд и исследовать кривые нарастания яркости с постоянной времени до 0.001 с, без употребления огромных количеств регистрирующей бумаги, магнитных лент и т. п., а также без потери времени на их анализ. Эта же система с успехом может быть использована и для наблюдений вспышек с обычными, секундными постоянными времени.

Тот факт, что при наблюдениях стандартных звезд, ни разу не произошло включение регистрации указывает на то, что вышеописанная система способна регистрировать вспышки с большой достовер-

ностью.

7 августа 1985 г.

Վ. Պ. ԶԱԼԻՆՑԱՆ, Հ. Մ. ԹՈՎՄԱՍՑԱՆ

ԱՍՏՂԵՐԻ ՊԱՅԾԱՌՈՒԹՅԱՆ ԱՐԱԳ ՓՈՓՈԽՈՒԹՅՈՒՆՆԵՐԻ ԱՐՁԱՆԱԳՐՄԱՆ ՍԱՐՔ

Առաջարկված է էլեկտրոնային հաշվիչ մեջենայի հետ համատեղ աշխատող էլեկտրալուսաչափական նոր համակարգ։ Այն հնարավորություն է տարիս գրանցել աստղի պայծառության արագ փոփոխությունները (ժամանակի հաստատունը 1—0.001 վրկ)։ Սարջը Թույլ է տալիս խուսափել մեծ քանակությամբ գրանցման Թուղթ, մագնիսական ժապավեն կամ այլ գրանցող միջոցներ օգտագործելուց։ Առաջարկված եղանակի էությունը հետևյալն է՝ ֆոտոնների համրման սկզբունքով աշխատող էլեկտրալուսաչափի ելքը տրվում է էլեկտրոնային հաշվիչ մեքենային («Էլեկտրոնաիկա 60» տեսակի), որը որոշում է դիտվող աստղի ազդանշանի միջին արժեքը նախապես տրված ազդանդաների քանակի (100 կամ ավելի) միջոցով։ Եթե յուրաքանչյուր հաջորդաղանչանը չի գերազանցում այդ միջին արժեքը՝ mo չափով (m-ի արժենեն որ ազդանշանը գերազանցից նախորդ հատվածում որոշված միջին արժերը (օրինակ 30-ի չափով), բոլոր հաջորդ ազդանչանները տրվում են հաշվիչ մեջենայի հիշողությանը ու գրանցվում։

Առաջարկված հղանակով աշխատող էլեկտրալուսաչափի Համակարգը ստուգվել է նախ աշխատանոցային պայմաններում ու ապա Բյուրականի աստ-ղադիտարանի 40 սմ աստղադիտակով կատարված աստղային դիտումներով։ Ստանդարտ աստղերի 50 ժամվա դիտումների ընթացքում ոչ մի բռնկում չի արձանագրվել նաև 55 ժամ տևողությամբ AD Leo, Wolf 630, BY Dra և V 1258 Agl բռնկվող աստղերի դիտումների ժա-մանակ։ Երեք բռնկում արձանագրվել է EV Lac աստղի 22 ժամվա դիտման

դեպրում (եկ. 5, 6)։ Մոտ 1 ... 3 աստղային մեծությամբ առաջին երկու բռնըկ. դար արամալիլուրը շունձ 3 վեր է՝ թևնսևմ, 5 ... 5 տուսմայիր դրգունյաղե ենորնկման ժամանակ պայծառության աճը կատարվել է շուրջ 1 վրկ ընթացքում, իսկ նվագումը՝ շուրջ 17 վրկ ընթացջում։

V. P. ZALINIAN, H. M. TOVMASSIAN

THE SYSTEM FOR REGISTRATION OF STAR BRIGHTNESSES FAST VARIATIONS

A new system of electrophotometer in conjunction with a computer is proposed which permits to register fast variations of the brightnesses of the observed stars in the case of small integration time (1-0.001 sec) without using large amount of recording paper, magnetic tape etc., which is usual for such observations. The principle of the proposed method is the following. The output of the photon counting electrophotometer is given to a computer (of the "Electronica 60" type), which at a given time interval (say, 100 or more counts) determines the mean value of the signal of the observed star. If each following count doesn't differ from this mean value by more than mo (the value of m may be 3, as usual, or more, it depends on the observer), nothing is being registered. But when the signal exceeds say by 30 the mean value determined at the preceeding time interval, all following counts are given to the computer memory and then are registered.

The electrophotometer operating in a proposed mode has been tested in the laboratory and then in the observations of stars, with 40 cm telescope of the Byurakan observatory. During 50 hours of observations of standard stars no any flare has been recorded. No flare has been recorded also during 55 yours observations of flare stars AD Leo, Wolf 630, BY Dra and V 1258 Aql. Three flares were recorded during 22 hours of observations of EV Lac. The duration of the first two flares with magnitudes of about 1,3 were about 3 sec. The increase of the brightness of the third, more powerful flare of 2, lasted about 1 sec and the decline of the brightness lasted 17 sec.

ЛИТЕРАТУРА

6. R. E Nather, B. Warner, M. N. R. A. S., 152, 209, 1971.

7. В. П. Залинян, Ю. К. Мелик-Аласердян, Сообщ. Бюраканской обс., 52, 118, 1980. 8. Р. Е. Герибере, П. П. Петров, «Вспыхивающие звезды и родственные объекты», Труды симпозиума, ред. Л. В. Мирзоян, Еревви. Изд-во АН АрмССР, с. 38, 1986.

¹ K. Kodaira, K. Ichimura, S. Nishimura, Publ. Astron. Soc. Japan, 28, 665, 1976. 2. Д. Э. Эванс, «Вепыхнивнощие звезды», Труды спыпознума, ред. Л. В. Мирзоян. АН АрмССР, с. 35, 1977.

3. В. У Thomas. J. Moffett. Ap. J. Suppl Ser., 29, No. 273, 1974.

4. В. Ф. Шваримин, Сообщ. САО, 19, 5, 1976.

5. G. Matsumoto, H. Shimisu, I Shimada, Rev. Sci. Instrument, 47, 861, 1976.

Р. А. МУРАДЯН, Г. М. ТОВМАСЯН

О КОЛИЧЕСТВЕ АСТРОНОМИЧЕСКОГО НАБЛЮДАТЕЛЬНОГО ВРЕМЕНИ НА СТАНЦИИ «ГЛАДЗОР»

В последние годы на астроклимат Бюраканской астрофизической обсерватории отрицательно сказывается большой рост недалеко расположенного Еревана, а также других городов Араратской долины. Сильно увеличилась освещенность ночного неба в направлениях на юг и юго-восток от Бюракана. Развитие промышленности в регионе привело к уменьшению прозрачности атмосферы. Кроме того, работы по мелнорации засушливых земель между Ереваном и Аштараком привели к местному повышению влажности, а также, возможно, к некоторому

увеличению количества облаков над Бюраканом.

Все это заставило вести поиск в Армении другого места для проведения астрофизических наблюдений. В результате предварительного исследования, проведенного экспедицией ГАО АН СССР, было рекомендовано место на высокогорном плато Тап близ села Караглух Ехегнадзорского района АрмССР на высоте около 2800 м над уровнем моря. С января 1981 г. здесь действует научная экспедиция «Гладзор» Бюраканской астрофизической обсерватории АН АрмССР. Задачей экспедиции является детальное изучение по многолетним данным астроклимата этого пункта с целью создания здесь новой высокогорной наблюдательной станции для Бюраканской обсерватории.

Одини из основных в комплексе астроклиматических параметров места является ряд его метеорологических характеристик. Количество информации, выдаваемой телескопом, а следовательно, его эффективность, в первую очередь зависит от количества малооблачных и безвет-

ренных почных часов в месте его установки.

Для выявления количества наблюдательного времени в экспедиции была введена пятибалльная шкала визуальной оценки состояния ночного неба. Оценки даются ежечасно в течение всей ночи (сумерки не учитываются). Регистрируется также направление и скорость ветра и температура воздуха на высоте двух метров над землей. Условия наблюдений оцениваются на «5», когда небо безоблачно до зенитных углов $z \geqslant 70^\circ$, скорость ветра не более 2-3 мс $^{-1}$, видимое мерцание полярной звезды ($z \approx 40^\circ$) незначительное. Условия наблюдений оцениваются на «4», когда открыто только 50—70% небосвода, а скорость ветра не превышает 5 м/с. Остальные три оценки характеризуют различные степени облачности и соответствуют ненаблюдательным часам.

На основе этих данных было подсчитано количество ясных ночных часов на станции экспедиции. Небо считалось как наблюдательное (при оценках 5 и 4), если оно было таковым не менее двух часов непрерывно. Результаты подсчетов количества ясного наблюдательного времени (в часах) по месяцам за годы действия экспедиции (1981—1984 гг.) приведены в табл. 1. В ней приведены также осредненные за 4 года месячные данные (T_{cp}) и среднее количество наблюдательного времени за год.

Год Месяц	1981	1952	1983	1984	Тер
Январь Февраль Март Апрель Мюнь Июль Август Сентябрь Октябрь Поябль Пекабрь	78h -45 30 20 92 68 84 120 72 50 140	180 ^h 130 94 62 18 62 105 103 135 120 90 180	110 ^h 32 58 92 78 160 125 72	160 ^h 135 62 37 28 73 106 145 180 195	139h 125 67 43 25 71 93 102 149 103 71 160

В табл. 2 по месяцам и годам приведены количества астрономически наблюдательных ночей в Гладзоре. Как и в табл. 1, приведены также осредненные значения. Наблюдательной считается ночь, когда, по определению комиссии № 50 МАС, ясно не менее 5 ч, при этом не менее двух часов подряд. В табл. 2 для сравнения приведены количества по месяцам наблюдательных ночей для Бюракана, подсчитанных приблизительно по тому же критерию (частное сообщение А. С. Амирханяна).

Таблица 2 Количества астрономически наблюдательных ночей Nusoa. Год 3a 4 за 3 года года Пункт Γa Гл Гл Бюр Бюр Бюр Гл Бюр Гл Бюр Месяц Ямварь Февраль 8 7 5 12 13 11 19 Март Апрель Май 12 Июнь 13 12 23 Июль 13 17 17 22 Август 17 Сентябрь Октябрь 15 12 8 5 Ноябрь Декабрь Среднее число наблюдательных ночей за 1 год

На рис. 1 представлено распределение среднего количества наблюдательных ночей в Гладзоре и Бюракане по месяцам за 4 года. Как видно из этого рисунка, а также из табл. 2, наибольшее количество наблюдательных ночей на станции Гладзор, как и в Бюракане,

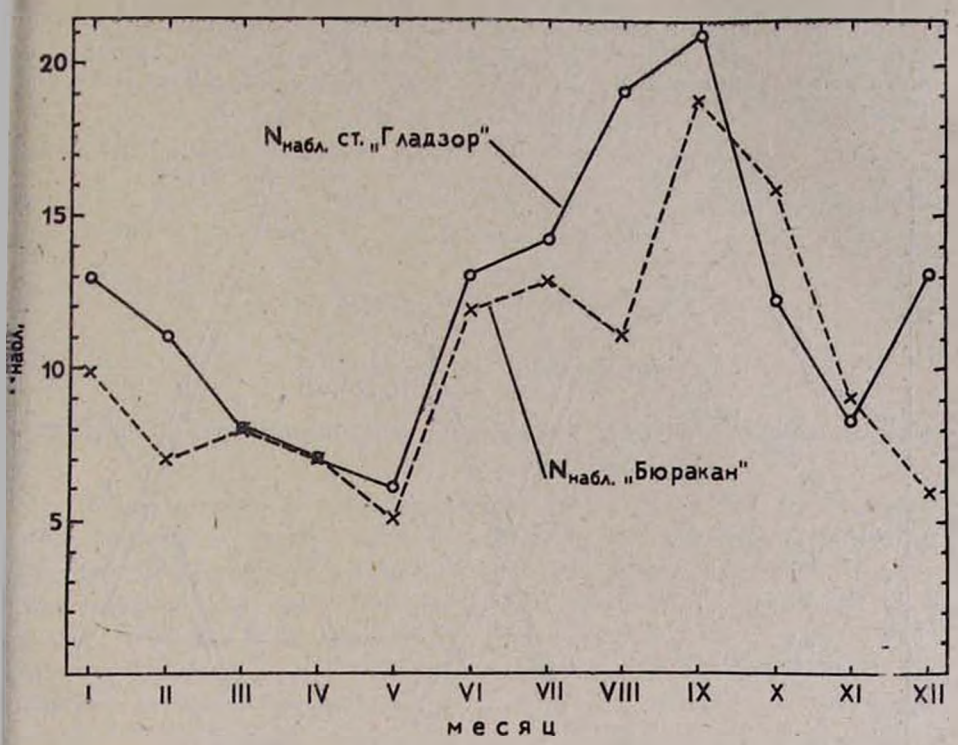


Рис. !. Распределение среднегодового числа наблюдательных ночей по месяцам на стоиции «Гладзор» и в Бюракане

приходится на летне-осенний сезон. Однако в связи с тем, что продолжительность зимних ночей дольше, максимум количества наблюдательного времени в Гладзоре, как это видно из табл. 1, приходится на декабрь и январь. Среднее число наблюдательных ночей за год в Гладзоре составляет 145, тогда как в Бюракане оно несколько меньше—123.

Для выявления возможных в условиях горной местности локальных местных эффектов, влияющих на формирование облачности, были обработаны журналы метеонаблюдений двух ближайших к Гладзору (в 30 и 15 км соответственно) станций I идрометслужбы «Перевал Безымянный» и «Яных», расположенных на высотах 2100 и 2334 м нал уровнем моря, что близко к высоте Гладзора. В климатологических журналах этих станций даются оценки общей облачности по 10-бальной шкале по восьми наблюдениям за сутки. Каждый балл соответствует определенному проценту закрытости небосвода облаками. С целью перехода от климатологической шкалы оценок к нашей в соответствии с рекомендациями в работах [1—3] по метеоданным были подсчитаны числа метеорологически ясных суток N_{яс}, когда сумма баллов облачности по 8 наблюдениям за сутки составляет не более 18, и метеорологически пасмурных суток N_{пс}, когда сумма баллов больше 58.

Распределения осредненных за 4 года (1981—1984) количеств ясных $N_{\rm HIC}$, пасмурных $N_{\rm HIC}$ и непасмурных $N_{\rm HIC}$ суток ($N_{\rm HIC}=n-N_{\rm HIC}$ где п—число суток в данном месяце) по месяцам на обеих станциях представлены на рис. 2.

Сравнение рис. 1 и 2 указывает на схожесть изменений облачности на станциях «Яных» и «Безымянный» по месяцам с изменениями облачности над астропунктом Гладзор. Это указывает, в свою очередь, на отсутствие влияния местного рельефа в формировании облачности на районом.

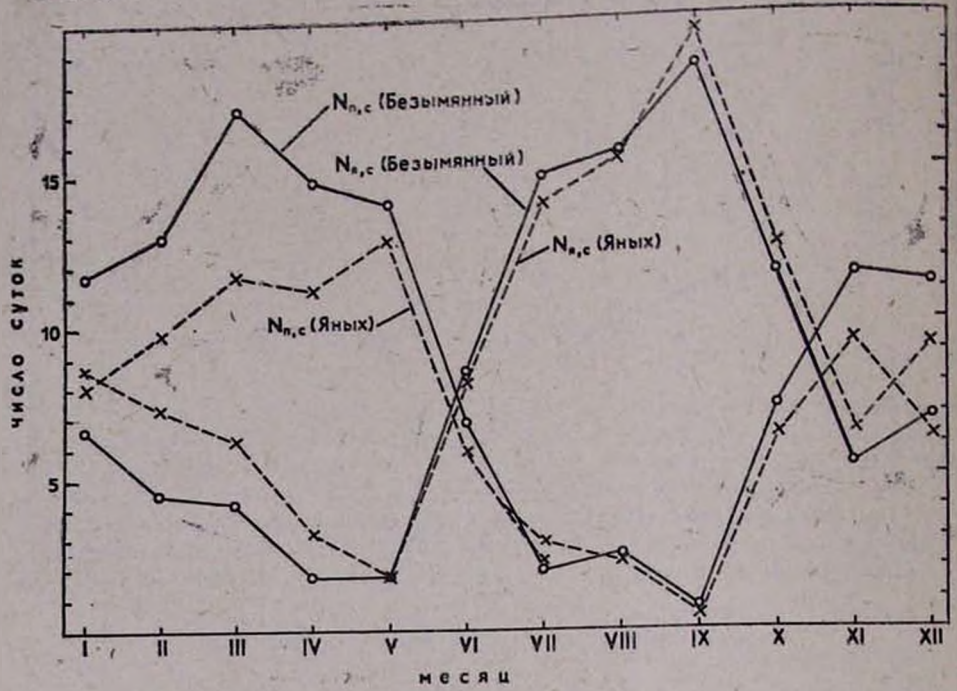


Рис. 2. Распределение осредненных за 4 года параметров N_{яс} и N_{пс} для метеостанций «Безымянный» и «Яных», по месяцам в году

Из сравнения рис. 1 и 2 видно также, что, в среднем, количество наблюдательных ночей на станции «Гладзор» больше числа ясных дней над исследуемым районом. Эта закономерность известна—днем

бывает облачнее, чем ночью [2].

Схожесть метеоусловнй в астропункте «Гладзор» и на метеостанциях «Яных» и «Безымянный» позволяет, с другой стороны, использовать метеоданные по этим станциям для оценки среднего количества ясных ночей за более продолжительный период. Для определения коэффициента К перехода от метеорологических данных к интересующему нас параметру N настропольно соотношение

$$K = \frac{N_{sc} + n - N_{nc}}{2N_{Hs\bar{0}n}}$$

из работы [2].

Подсчитанный таким образом средний для района коэффициент К оказался равным 1.4. Обработка архивных журналов этих метеостанций за предыдущие 4 года—1977—1980 гг. и использование полученных коэффициентов перехода позволили оценить среднегодовое количество астрономически наблюдательных ночей на станции «Гладзор» за эти годы, оказавшееся равным 155, что практически не отличается от дан-

ных, полученных экспедицией «Гладзор» за последующие четыре года. Таким образом, проведенное исследование показало, что метеоусловия астропункта «Гладзор» несколько лучше метеоусловий Бюракана. При этом следует также отметить, что яркость фона неба в Глалзоре существенно меньше, чем в Бюракане. В Глалзоре меньше также и солержание волы в атмосфере [4].

В экспедиции Гладзор проводились и исследования качества изображения звезд. Эти результаты обрабатываются и будут опубликова-

ны позднее.

6 ноября 1985 г.

P. U. UNPPURSUL, 2. U. PRATHUBUL

«ԳՈԱԶՈՐ» ԱՈՏԴԱԴԻՏԱԿԱՅԱՆԻ ԴԻՏՈՂԱԿԱՆ ԺԱՄԱՆԱԿԻ ՔԱՆԱԿԻ ՄԱՈՒՆ

Երևան ջաղաքի բուռն աճի, ինչպես նաև Արարատյան դաշտավայրում մեկիորացիայի և արդյունաբերության զարգացման հետևանքով վերջին տարիներին Բլուրականում նկատելիորեն վատացել են աստղագիտական դիտումների պայմանները, որոնջ հանդեցրին նոր աստղադիտակալանի համար այլ վայրի որոնման անհրաժեշտությանը։ Ընտրվել է Եղեգնաձորի շրջանի Քարագյուխ գլուղի մոտակալքում գտնվող Տապ սարբ (բարձրությունը 2700 մ)։ Բաղմամյա հետագոտությունները ցույց են տայիս, որ այստեղ աստղադիտական գիշնըննըի միջին Թիվը տարվա ընթացքում կաղմում է 150, իսկ գիշերալին պարդ ժամերի Թիվը՝ շուրջ 1100։

R. A. MOURADIAN, H. M. TOVMASSIAN

ON THE OBSERVATIONAL TIME OF THE "GLADZOR" SITE

Due to the rapid growth of the industry and population of Yerevan and generally in the Ararat valley the astroclimate at Byurakan became worse during recent years for the reason of which the search for a new astronomical site has been undertaken.

An appropriate site has been found near the village of Kharaglukh at the height of 2700 m above the sea level. It is shown that the mean number of astronomically clear nights at this site is about 150 or over 1100 hours a year.

ЛИТЕРАТУРА

^{1.} П. В. Щеглов, Проблемы оптической астрономии, М., Наука, 1980. 2. Г. В. Новикова, АЦ, № 482, 1968. 3. Г. В. Новикова, в сб.: Атмосферная оптика. М., Наука, 1970.

^{4.} Ю. К. Мелик-Алавердян, Р. А. Мурадян, А. Н. Фрадкин, Сообщ. Бюраканской обс., 53, 112, 1982.

о возможном уменьшении воздействия купола на изображения звезд

Введение. Для современной астрофизики характерна возрастающая потребность в высококачественном наблюдательном материале, что влечет за собой необходимость создания больших высокоэффективных телескопов. Эффективность современного оптического телескопа, установленного в районе с большим количеством ясного ночного времени, почти полностью определяется размером изображения звезд в его фокусе [1]. Поэтому важным этапом в деле повышения эффективности телескопов, наряду с поиском мест с хорошим астроклиматом, является создание куполов и башен, не приводящих к существенному

ухудшению качества астрономических изображений.

Для проектирования и строительства оптимальных с этой точки зрения астрономических башен и куполов необходим тщательный расчет термодинамики теплообмена всей системы: телескоп + купол + башня + окружающая среда. Однако точное выполнение такого расчета сильно осложняется присутствнем целого ряда побочных факторов, нарушающих естественную динамику теплообмена системы. Значимость различных факторов в общей картине может меняться при изменении атмосферных и ветровых ситуаций и для каждой такой ситуации расчет должен быть повторен. Поэтому здесь ограничимся лишь краткой качественной оценкой роли основных факторов, определяющих размеры астрономических изображений в условиях высокогориой атмосферы с малым содержанием пыли и водяных паров и при умеренных скоростях приземного ветра не более 5—6 м/с.

Анализируя результаты ряда работ, а также исходя из современной концепции об астроклимате, попытаемся вывести тип астрономического купола и башни, наибольшим образом удовлетворяющих этим

астроклиматическим требованиям.

Основные внешние факторы, влияющие на качество изображений. «Порча» астрономического изображения обусловлена искажением волнового фронта приходящего от звезды света, в основном вызванным присутствием на луче зрения телескопа мелкомасштабных температурных неоднородностей, т. е. турбулентностью воздуха. Оптическим следствием турбулентности является размытие или дрожание изображения в фокусе телескопа (в зависимости от его апертуры), величина которого определяется структурой искажающего температурного поля [2]. Эти искажения происходят в атмосфере как на больших и малых высотах, так и в непосредственной близости от телескопа.

Если ослабление влияния факторов, искажающих волновой фронт в атмосфере, вне наших возможностей и может быть достигнуто лишь пассивным выбором места с хорошим астроклиматом, то условия прохождения светом последнего отрезка пути до и в самом телескопе могут быть значительно улучшены. Здесь непосредственное влияние на качество звездных изображений могут оказывать следующие факторы.

а) приземной слой воздуха;б) подкупольные массы воздуха;

в) внутрителескопные массы воздуха (для телескопов закрытого типа);

г) аэродинамические эффекты обтексемости купола и башни;

д) дрожание телескопа от ветра.

Фактор «а». До недавнего времени вклад приземного слоя атмосферы толщиной от 2 до 30 м в «порчу» астрономического изображения сильно преувеличивался, так как существовала распространенная концепция о преобладающей роли тонкого слоя приземной инверсии [3—9]. Это породило немалый ряд дорогостоящих астрономических башен высотой до 20—30 м [10—13], хотя ожидаемого существенного

улучшення качества изображений не последовало [10, 14, 15].

В ряде специальных работ по изучению этого вопроса показана незначительность вклада приземного слоя по сравнению с влиянием всей толщи атмосферы, при условии уже установившейся в приземном слое ночной температурной стратификации [16—21]. Над высокогорными обсерваториями режим типичной ночной стратификации температуры устанавливается достаточно быстро, уже через 1.5—2 ч после захода Солнца. Это объясняется малым содержанием водяных паров, а также пыли и аэрозолей в атмосфере над горной вершиной, т. е. большой прозрачностью воздуха в ИК-диапазоне, что приводит к быстрому

радиационному выхолаживанию земной поверхности.

Факторы «б» и «в». В некоторых исследованиях распределения температурного поля вблизи телескопа и в самой его трубе (для телескопов закрытого типа [22—25] показано, что несравненно более существенный вклад в «порчу» изображений могут вносить подкупольные и внутрителескопные массы воздуха, которые из-за контакта с поверхностями телескопа, купола и башни наиболее изсыщены температурными неоднородностями. Эти поверхности, нагреваемые днем, ночью остывают сначала до температуры окружающей среды, а затем, продолжая радиационно выхолаживаться, сохраняют в течение остальной части ночи температуру более низкую, чем контактирующий с ними воздух [26].

В течение первой части процесса остывания в подкупольном пространстве и вне его создаются теплые восходящие турбулентные потоки как от самого телескопа, так и от внутренних и внешних поверхностей башни и купола. Традиционные купола с небольшой смотровой щелью, препятствуя естественному, конвективному теплообмену подкупольного объема с окружающей средой, как бы искусственно создают перед самим телескопом, на его луче зрения, увеличение плотности температурных исоднородностей. Поэтому при конструировании куполов, повидимому, целесообразно предусмотреть возможность максимального раскрытия смотрового окна до размеров, близких к диаметру основа-

ния купола.

Оправданной может оказаться также возможность варьирования пириной щели в процессе наблюдений в зависимости от конкретной метеорологической ситуации (ориентации купола отпосительно ветра, скорости ветра и т. д.). При этом необходимо исключить возможность образования на куполе (внутри и вне его) сдвоенных, «захватывающих» и лишних плоскостей (раздвижные створки, забрала и т. д.), иначе говоря, необходимо свести к минимуму возможность образования на куполе и башне «карманов» и «емкостей», где могут задерживаться массы воздуха с отличным от окружающей среды микроклиматом.

По этой же причине целесообразно окончательно отказаться от

конструирования телескопов с закрытой трубой.

С другой стороны, поскольку продолжительность первой части

процесса остывания прямо пропорциональна нагретой днем массе и ее эффективной теплоемкости и может длиться несколько часов, а то и есю ночь, то очевидно, что необходимо: максимально облегчить всю конструкцию башии и купола в целом, уменьшить общую поверхность нагрева от прямого солнечного освещения, увеличить поверхности излучения (охлаждения); подобрать оптимальные материалы и фактуру покрытия купола и башин.

Что касается самого телескопа и его массивной станины, то для сведения к минимуму их нагрева достаточно будет дополнительно охлаждать подкупольное пространство в солнечное время дня. А это, в свою очередь, опять приводит к требованию максимально возможного

уменьшения объема подкупольного пространства.

В течение второй половины ночи холодные металлические поверхности охлаждают прилегающие к ним слои воздуха, которые «стекают» по этим поверхностям в подкупольное пространство. Поэтому, чтобы освободиться от присутствия на луче зрения телескопа турбулентных масс воздуха, необходимо обеспечить беспрепятственное вытекание этпу масс из подкупольного пространства наружу, что достигается естественной и принудительной «вытяжкой» и отводом подкупольного возду-

ха в наветренную сторону.

Фактор «г». Степень «порчи» астрономического изображения изза аэродинамической обтекаемости купола и башни зависит от конкретной астроклиматической ситуации и ориентации щели купола относительно ветра [10, 27]. Сферичность купола не устраняет этого фактора «порчи», а умеренный отход от традиционной сферичности куполов, очевидно (опыт некоторых зарубежных обсерваторий), не приводит к существенному ухудшению качества изображений. Необходимое «ограждение» подкупольного пространства от проникновения в него ветра обеспечивается исходя из конкретных условий наблюдений. Имея дополнительную возможность варьировать шириной смотровой щели купола, очевидно, и этот фактор можно будет ослабить.

Фактор «д». Из-за значительной парусности телескопов ветер может вызвать их механическое дрожание, поэтому защита телескопа ог ощутимого воздействия ветра остается главным назначением купола в

ночное наблюдательное время.

Таким образом, можно заключить, что согласно рассмотренным факторам (а, б, в, г, д) весьма желательно, чтобы астрономические башня и купол, так необходимые для защиты телескопа от воздействия окружающей среды в дневное время, полностью «отсутствовали» бы в ночное наблюдательное время. Единственным функциональным назначением купола в ночное время остается, пожалуй, защита телескопа от ветра, чем и обусловлена его необходимость во время наблюдении.

Основные требования к современному астрономическому куполу и башне для высокогорных обсерваторий. Учитывая вышесказанное можно выделить основные требования к башне и куполу для высокогор-

ных обсерваторий: Башня:

1. не высокая (фактор «а»);

2. малой массы, малой тепловой инерции (фактор «б»);

3. оптимально выбранной формы и из оптимального матернала

(как сама башня, так и ее покрытие) (фактор «б»);

4. снабженная дополнительной системой вентиляции внутрибашенного пространства и естественного или принудительного отвода воздуха из нее (фактор «б»).

Купол.:

1. с большой смотровой щелью, с возможностью варьирования ее ширины (факторы «б» и «в»).

2. малой массы, малой тепловой инерции (фактор «б»);

3. из оптимально подобранного материала и его фактуры (фактор «б»);

4. с малым объемом подкупольного пространства в закрытом со-

стоянии (фактор «б»);

5. снабженная дополнительными системами: а) естественного или принудительного охлаждения и отвода подкупольного нагретого воздуха при закрытом куполе в дневное солнечное время, б) отвода холодных масс воздуха из-под открытого купола в ночное наблюдательное время (фактор «б»);

6. обеспечивающий в открытом состоянии ветрозащиту телескопа

время ночных наблюдений (фактор «д»);

7. при этом необязательно сохранение сферической формы купола (фактор «г»).

В практике мирового астрономического куполостроения отдельные

из этих требований удовлетворяются по-разному.

Например, многозеркальный телескоп (МЗТ) и большой Техасский телескоп (проект) в США установлены в уменьшенных кубических куполах (требование 7 по куполу), фактически без башии (требование 1 по башне). Цельнометаллическая облегченная башня и купол для англо-австралийского телескопа покрыты рифлеными полированными алюминиевыми листами (требования 2,3 по башне; 2,3 по куполу). Как здесь, так и во многих других обсерваториях мира, используются системы активной вентиляции и охлаждения, причем воздух из подкупольного пространства выводится на большом расстоянии от башни (требования 4 по башне; 5 по куполу).

Хорошо известно, что малые инструменты часто помещаются под легкие «корытообразные» крыши, которые в ночное время просто удаляются в сторону, полностью открывая, таким образом, наблюдательную площадку. Этот легкий «павильонный» тип купола дает возможность обходиться минимальным объемом подкупольного пространства, за счет того, что телескоп в нерабочее время находится в одном «исходном» положении. Удаление же крыши обеспечивает необходимый оперативный простор для телескопа ночью. Однако недостаток такого «купола» в том, что он в открытом состоянии не защищает телескоп от ветра. Кроме того, он является тепловым излучателем возле рабочего телескопа.

Классические сферические купола, наоборот, хотя и полностью удовлетворяют требованиям ветрозащиты, но имеют несравненно больший подкупольный объем (не менее всей сферы обметания телескопа),

а следовательно, и большую массу.

Сферический купол в его резличных вариантах—с небольшой смотровой щелью, с раздвижными створками или отводящимся забралом, по-видимому, не лучшим образом удовлетворяет поставленным выше требованиям, не говоря уже об известных трудностях и дороговизне изготовления такого купола.

Купол с «меняющейся геометрией». Требования оптимальности приводят к необходимости совмещения наилучших сторон упомянутых выше двух куполов. Действительно, из них следует, что благоприятнее всего, чтобы телескоп днем находился под защитой уменьшенного купола, «павильонного» типа, а в рабочее время, подобно традиционному

«классическому» куполу, имел бы свободу обзора и был бы надежно

Этого можно достичь, если, например, отказаться от традиционной защищен от ветра. сферической формы купола (требование 7 по куполу) и в его конструк-

цин использовать принцип «меняющейся геометрии».

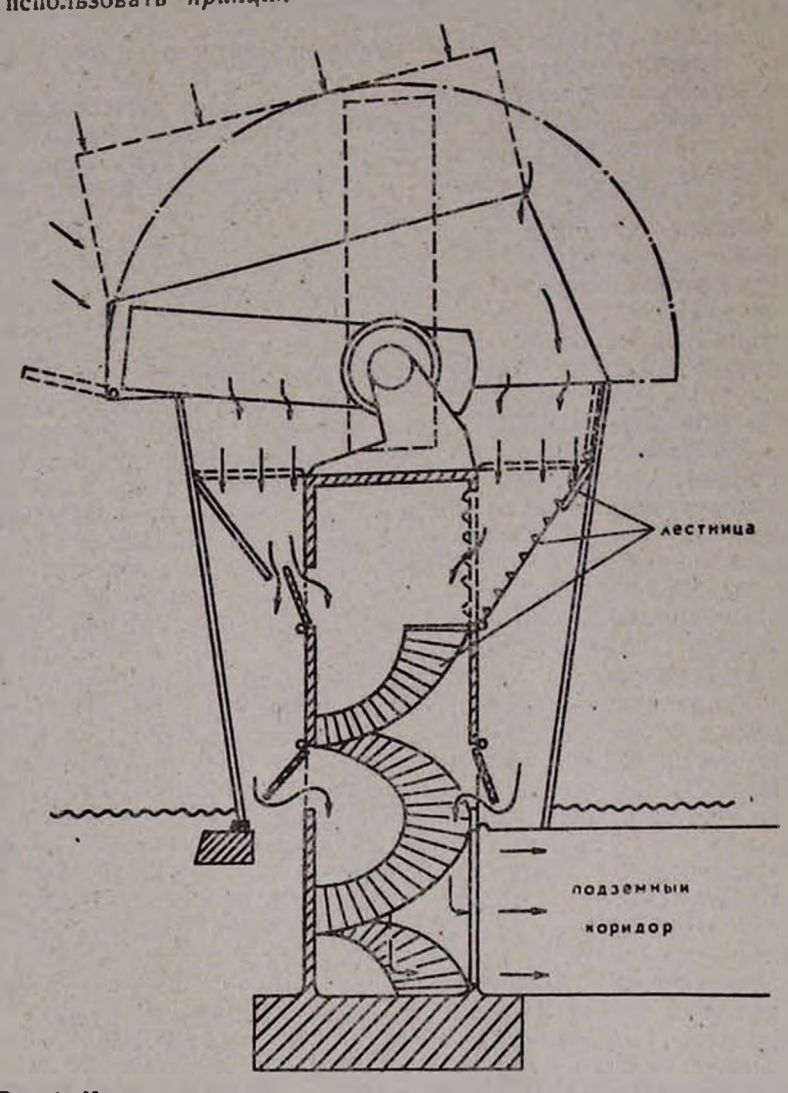


Рис. 1. Условная схема компановки телескопа в куполе с «меняющейся геометрией» и системы вентиляции купола и башии. Пувктиром обозизчены контуры купола в открытом виде (профиль), а штрих-пунктиром контур минимального объема традиционного сферического купола «постоянной гссметрии»

Один из наиболее простых реализаций указанного принципа приведен на рис. 1 В нерабочем—закрытом состоянии (сплошной контур) купол имеет форму усеченной пирамиды, имея при этом минимальный (наименьший из возможных) объем подкупольного пространства. В этом состоянии купола телескоп находится в «исходном» положении

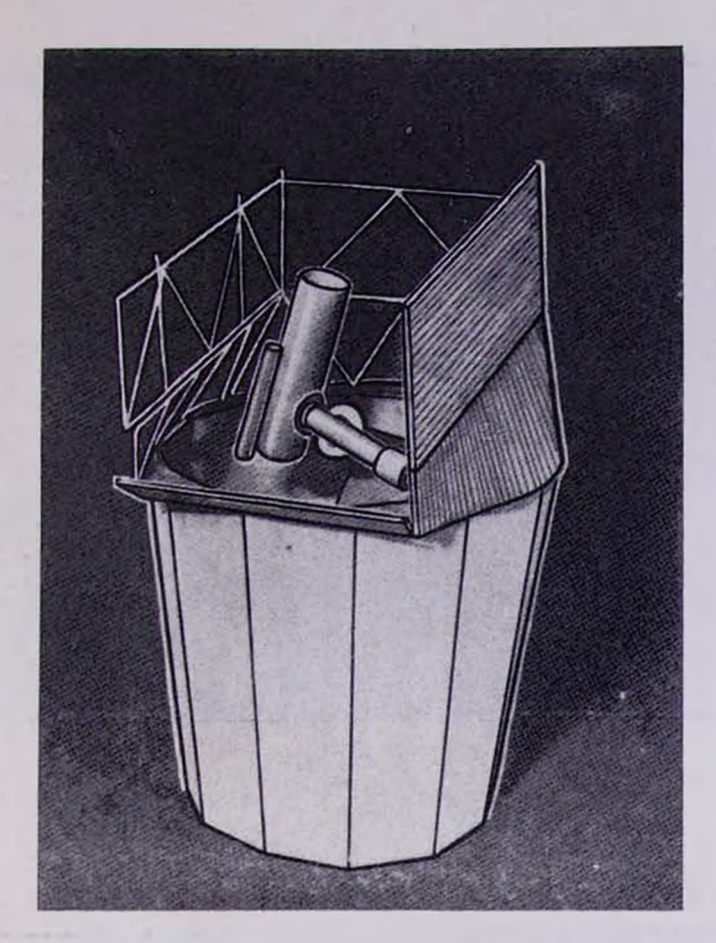


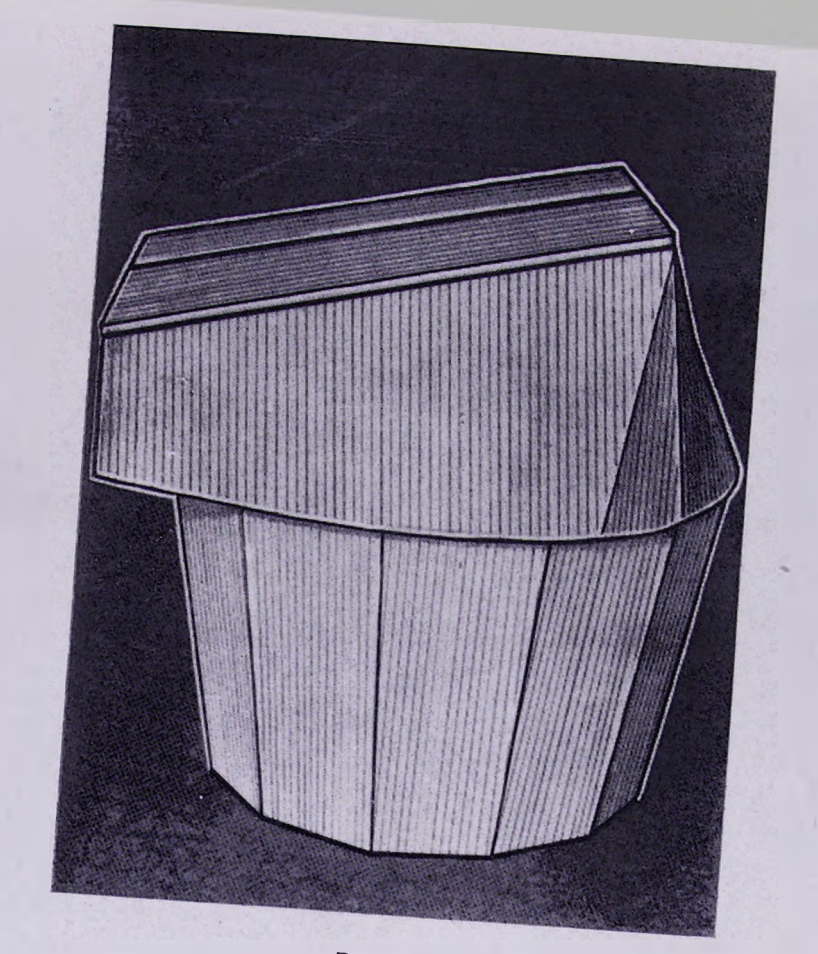
Рис. 2. Макет 0.5 м телескопа Бюраканской обсерватории (немецкая монтировка) с куполом «меняющейся геометрии» и башней



Рис. За.



Рис. 36. Макет 1.5 м телескопа (английская монтировка) с каркасом купола «меняющейся геометрии» и башней. В закрытом (а) и рабочем (б) положениях.



PIIC. 49

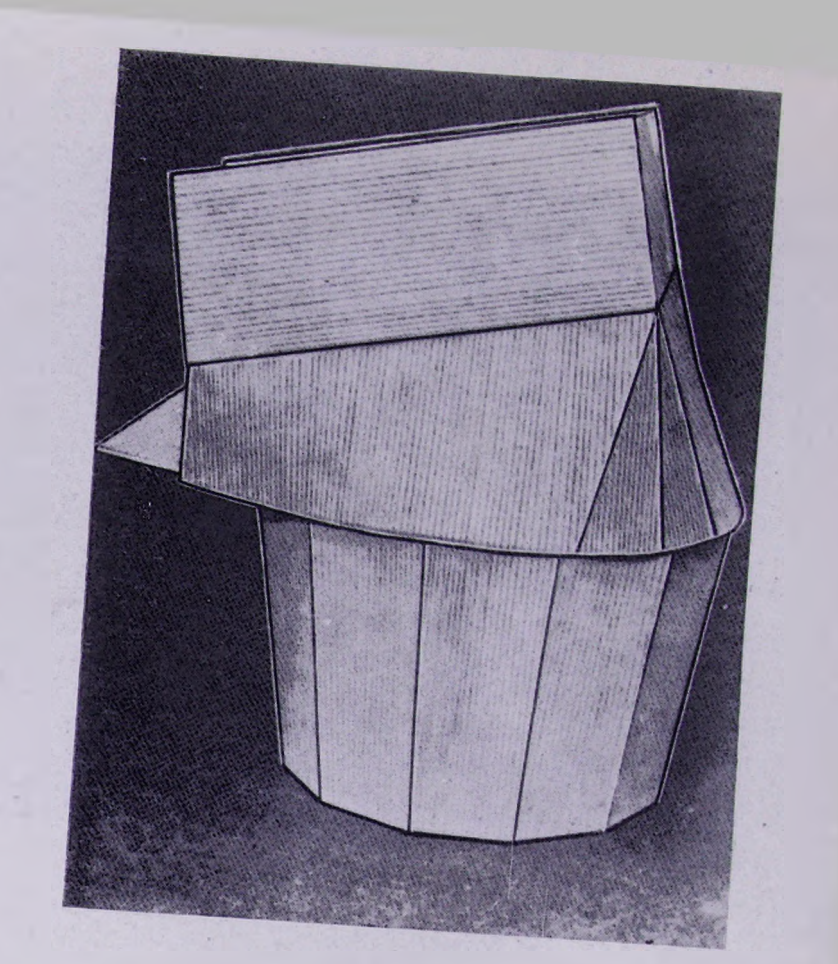


Рис. 46.

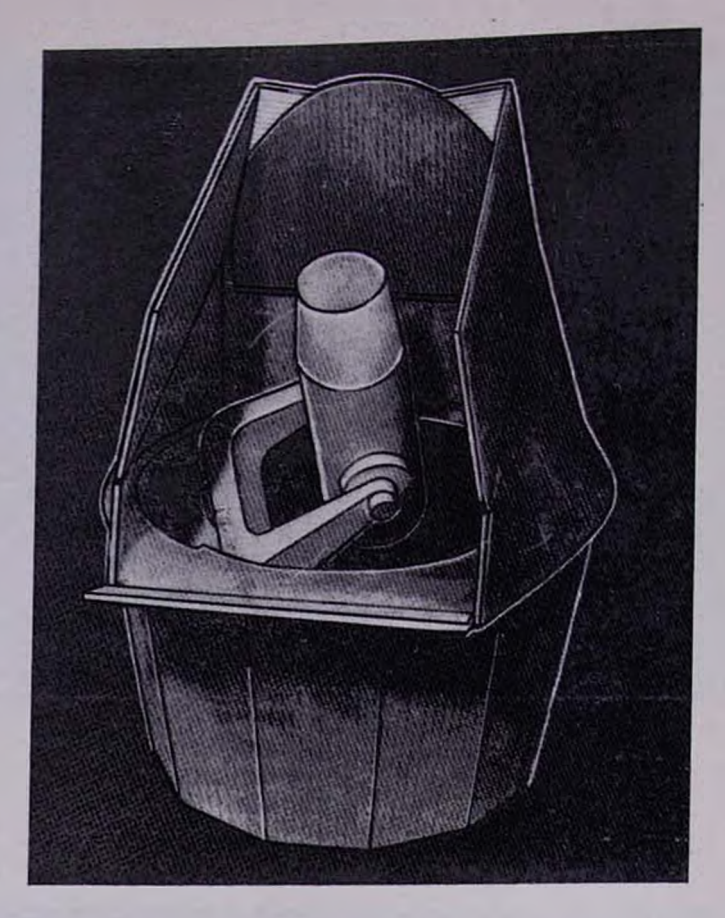


Рис. 4в. Макет 1 м телескопа системы Шмидта (вилочная монтировка) Бюраканской обсерватории с куполом с «меняющейся геометрией» и башни в закрытом (a) и открытом (b,a) состояниях

как бы в «кобуре». В рабочем положении открываются верхняя и лицевая стороны этой «кобуры» (пунктирный контур). При этом открывающиеся створки можно расположить таким образом, чтобы они дополняли геометрию «кобуры» до объема «классического» купола (т. е. объема, необходимого для работы телескопа), обеспечивая этим и трехстороннюю ветрозащиту телескопа (требование 6 по куполу, штрихпунктиром условно показан минимальный контур «классического» сферического купола «постоянной геометрии» с тем же рабочим объемом).

Меняя паклон створок, можно варьировать шириной смотровой щели, в случае необходимости ее можно довести почти до размеров основания купола (требование 1 по куполу). Синхронное вращение купола

с телескопом обеспечивает необходимый обзор последнего.

Оптимальный радиус основания купола (вершины башни), его размеры и конкретная конструкция выбираются в зависимости от типа монтировки и размеров телескопа. На рис. 2—4 в качестве примера проиллюстрированы макеты простейших куполов с «меняющейся геометрией» для трех бюраканских телескопов с немецкой, английской и американской монтировками (с диаметрами зеркал 0.5 м, 1.5 м и 1 м соответственно). Наиболее удобной, в смысле компановки для предложенного типа купола, является вилочная или американская монтировка, в случае которой объем купола может быть уменьшен в 2—3 раза, а масса—в 1.5—2 раза.

Меры по удовлетворению остальных требований. На рис. 1, в качестве примера, показана также и иллюстративная схема вентиляции, охлождения и отвода воздуха (требование 4 по башне; 5 по куполу) через основание башни и подземный коридор в основную наветренную сгорону. Этот же коридор может быть использован для подходов наблюдателен к телескопу, что сильно затруднено в условиях снежного

высокогорья.

В условиях высокогорья, где воздух из-за его прозрачности остается холодным даже в солнечные дни, целесообразио покрывать башии и купола рифленным алюминием (требования 2,3—башия, купол), чтобы при той же поверхности прямого солнечного нагрева увеличить поверхность охлаждения (путем теплоотдачи воздуху и посредством излучения). Это уменьшит нагрев конструкции днем. С той же целью башии для телескопов расширяются кверху (см. рисунки), уменьшая этим угол падения прямого солнечного излучения.

Заключение. Таким образом, оптимальными с точки зрения выделенных выше требований, являются астрономические купола нового типа—с «меняющейся геометрией». В отличие от традиционных куполов с «постоянной геометрией» купола с «меняющейся геометрией» обладают большей приспособленностью как к дневным, так и к ночным внешним условиям. Они более просты, экономичны в размерах к, по-

видимому, также и в конструкции.

Хотя все имеющиеся предпосылки свидетельствуют в пользу перспективности предложенного типа куполов, однако, их окончательная практическая оценка может быть дана только после экспериментальной реализации какого-либо конкретного варианта такого купола и проведения тщательных астроклиматических измерений в ее «подкупольном» и «внекупольном» пространствах, с целью исследования влияния купола на качество изображений.

Авторы выражают свою искрениюю признательность проф. Г. М.

Товмасяну за стимулирующее обсуждение работы.

Ռ. Ա. ՄՈՒՐԱԳՅԱՆ, Հ. Վ. ՊԻԿԻՉՅԱՆ

ՊԱՏԿԵՐԻ ՈՐԱԿԻ ՎՐԱ ԳՄԲԵԹԻ ԱՉԴԵՑՈՒԹՅԱՆ ՓՈՔՐԱՑՄԱՆ ՄԻ ՀՆԱՐԱՎՈՐՈՒԹՅԱՆ ՄԱՍԻՆ

Քննարկվում է աստղադիտական գմբենի և աշտարակի ազդեցության իւնդիրը աստղային պատկերների որակի վրա։ Առաջարկվում է աստղային գմբեթների նոր դաս՝ «Փոփոխվող երկրաչափությամբ գմբեթներ», որոնք չափերով ավելի փոքր են դասական գմբեβներից, կառուցվածքային տեսակետից ավելի պարզ։ Դրանք ավելի լավ են համապատասխանում աստղակլիմայական պայմաններից բխող պահանջներին և հնարավորություն են ընձեռում նվազագույնի հասցնել պատկերների որակի վրա գմբենի աղավաղող ազդեցությունը։

R. A. MOURADIAN, H. V. PICKICHIAN

ON THE POSSIBLE DECREASE OF THE INFLUENCE OF THE DOME ON THE STELLAR IMAGE

The problem of the astronomical dome and tower influence on the star image quality is discussed. The new class of astronomical (of changing geometry) is suggested, which in comparison with the classical ones ("of constant geometry") have smaller sizes and as for the constructions they are more simple.

They satisfy in a best way the demands of astroclimatic conditions and prevent the distorting influence of the dome on the image quality.

ЛИТЕРАТУРА

1. В. П. Щеглов, Проблемы оптической астрономии, М., Наука, 1980. 2. В. И. Татарский, Распространение воли в турбулентной атмосфере, М., Наука,

1967.

1967.
3. В. П. Щеглов, АЦ 482. 1968.
4. А. В. Багров, О. А. Овчинников, АЦ, 558, 1970.
5. А. В. Багров, Г. В. Новикова, С. Б. Новиков, А. А. Овчинникова, в сб.: Атмосферная оптика, М., Наука, с. 196, 1970.
6. С. Б. Новиков, АЦ, 672, 1972.
7. В. С. Шевченко, А. Журнал., 50, 632. 1973.
8. А. А. Овчинников, в сб.: Атмосферная оптика, М., Наука, с. 67, 1974.
9. В. Г. Хецелиус, В. И. Соловейчик, Н. Н. Килячков, в сб.: Атмосферная оптика, М., Наука, с. 78, 1974.
10. А. Э. Гурьянов, Дис. на сопскание уч. степени канд. физ.-мат. наук ГАИШ М., 1984.

- 1984.
- 11. С. Б. Новиков, А. А. Овчинников, Е. К. Павлов, В. С. Поляк, в сб.: Новая техника в астрономин, Л., Наука, вып. 6, с. 188, 1979.
 12. J. B. Irvin. European Southern Observatory Bulletin No 3, 57, 1968.

- 13. D. Morrison, R. E. Murphy, D. P. Crulkshank, W. M. Sinton, T. Z. Martin, PASP, 85, 1973.
- 14. A. Bananne, E. Maurice, L. Prevot, European Southern Observatory Bulletin, No. 7, 1969.

15. J. C. Dainty, R. J. Scaddan, MNRAS, 170, 519-532, 1975.

16. И. Г. Колчинский, А. Х. Кирмаева, в сб.: Атмосферная оптика, М., Наука, с. 8, 1970.

17. А. Э. Гурьянов, П. В Щеглов, АЦ, 160:, 3, 1978. 18. А. Э. Гурьянов, АЦ, 1115, 5, 1980. 19. А. Э. Гурьянов, Ю. В. Хан, АЦ, 1176, 6, 4981.

19. А. Э. Гурьянов, Ю. В. Хан, В. П. Щеглов, в сб.: Астроклимат и эффективность телескопов, Л., Наука, с. 82, 1984.
21. I. L. Bufton, Appl. Optics, 12, 1785—1793, 1973.

22. P. Gillingham, Anglo-Australian Observatory, Progress, Report, 1978.

- 23. А. Э. Гирьянов, в сб.; Астроклимат и эффективность телескопов. Л., Наука, с. 164 1984.
- В. Ф. Умаров, в сб.: Новая техника в астрономии, вып. 6, Л., Наука, с. 192, 1979.
 Г. Н. Салуквадзе, С. Б. Новиков, А. А. Овчинников, в сб.: Новая техника в астрономии, вып. 6, Л., Наука, с. 197, 1979.
 В. И. Соловейчик, Г. А. Звездии, в сб.: Атмосферная оптика, М., Наука, с. 93.

1974.

27. В. Ф. Умаров, в сб.: Астроклимат и эффективность телескопов. Л., Наука, с. 93. 1984

АСТРОНОМИЧЕСКАЯ ПРИЕМНАЯ СИСТЕМА С ТРЕХКАМЕРНЫМ ЭОП НОВОИ МОДИФИКАЦИИ УМК—92 В И НЕКОТОРЫЕ НАБЛЮДАТЕЛЬНЫЕ РЕЗУЛЬТАТЫ

Введение. В современной астрофизике решение ряда задач требует значительного повышения чувствительности применяемых методоз наблюдения. Чувствительность астрофизической аппаратуры повышают применением методов регистрации, в которых с наибольшей эффектив-

ностью используется поток фотонов, собпраемый телескопом.

Одним из таких методов, как известно, является использование электроннооптических преобразователей (ЭОП). В 1982 г. в Бюраканской астрофизической обсерватории (БАО) прошла испытания из 2,6 метровом телескопе (ЗТА-2,6) установка для регистрации спектров слабых астрономических объектов на базе трехкамерного металлокерамического ЭОП новой модификации УМК-92В. Установка была состыкована с универсальным дифракционным астроспектрографом UAGS производства народного предприятия «Карл Цейсс Иена» (ГДР). Регистрация изображения с экрана ЭОП производилась фотоконтактным способом.

Приведем состав и основные параметры установки, а также результаты ее метрологических исследований в лаборатории и некоторые астрофизические результаты, полученные в ходе испытаний на теле-

скопе.

1. Состав и основные технические параметры установки. В состав

установки входят:

а) трехкамерный (двухкаскадный) ЭОП УМК-92В с магнитной фокусировкой изображения с входным многощелочным фотокатодом, размером 23×40 мм² и выходным экраном, диаметром 40 мм, на волоконно-оптическом диске. Квантовый выход входного многощелочного фотокатода в максимуме его спектральной чувствительности (имах = 0,45 мкм) для нашего экземпляра ЭОП составляет 10%, а на волне 0,80 мкм он падает до 1%;

б) система электромагнитной фокусировки электронного изобра-

жения;

в) многокадровая высоковольтная фогоприставка для контактного фотографирования с экрана ЭОП;

г) вспомогательная аппаратура, обеспечивающая электропитание

ЭОП и фокусирующей системы.

1.1. Система электромагнитной фокусировки. Для стыковки ЭОП УМК-92В с камерой светосильного спектрографа UAGS вместо фокусирующей системы из трех коротких катушек был создан короткий

соленонд с коррекцией магнитного поля на краях.

Удовлетворительная однородность электромагнитного поля позволила в достаточной мере сохранить положительные характеристики ЭОП УМК-92В (разрешение по полю, геометрические искажения), которые, как известно, резко ухудшаются при использовании трех коротких катушек с неоднородным полем.

Рабочий ток на первом фокусе 4а при ускоряющем напряжении

32 KB.

От нагрева катушки преобразователь зашищен холодильникомрубашкой с проточной водой, а от влияния постороннего магнитного

поля величиной до 5 Гс-магнитным экраном из пермаллоя.

Электронно-оптическое масштабное преобразование изображения, т. е. отношение размера изображения на выходном люминесцентном экране к размеру исходного изображения на входном фотокатоде, определяемое полностью фокусирующей системой ЭОП, для нашей установки составляет 0.912.

Сказанное о масштабе изображения приходится учитывать при точном определении углового масштаба изображения на спектрограм-

ме, перпендикулярно к направлению дисперсии.

1.2 Многокадровая высоковольтная фотоприставка. Контактное фотографирование с выходного экрана ЭОП УМК-92В осуществляется с помощью оригинальной по конструкции многокадровой высоковольтной фотоприставки, предназначенной для фотопленки, шириной 35 мм. Фотоприставка работает при напряжении на экране ЭОП до 45 кВ. при этом отсутствуют локальные почернения пленки от стекания статических зарядов, что было характерно для контактных фотоприставок, работающих под высоким напряжением.

Электропитание пресбразователя осуществлялось МБП-52М, а фокусирующей катушки-от блока БП-59К, которые име-

ют стабилизацию не хуже 0,1%.

Оснастка ЭОП позволяет работать в условиях температуры окру-

жающей среды от -30° до +35°.

Возвращаясь к установке в целом, добавим следующее: поскольку вес установки сравним с весом спектрографа UAGS, ее крепление на спектрографе дополнительно осуществляется с помощью кронштейна. крепящегося к фланцу UAGS и обеспечивающего нормальную работу установки на движущемся телескопе при любой ориентации в прос-TDAHCTRE.

2. Методика испытаний и результаты. Испытания установки производились в БАО как в лабораторных условиях, так и на телескопе

ЗТА-2.6 в сочетании со спектрографом UAGS.

Испытання на телескопе велись в западном фокусе Нэсмита, где устанавливается спектрограф. Масштаб изображения в фокусе Нэсми-

В спектрографе UAGS возможность применения ЭОП для усиления яркости изображения предусмотрена на камере Шмидта-Кассегрена. Линейный лиаметр невиньетированного пля изображения камеры с учетом коэффициента электронно-оптического масштабного преобразования электромагнитной системы ЭОП УМК-92В равен 24 мм, а масштаб изображения в фокальной плоскости перпендикулярный к направлению дисперсии-43.5 угл. с/мм.

Оптическая схема установки ЭОП на спектрографе UAGS в фокусе Нэсмита ЗТА-2,6 показана на рис. 1, а общий вид системы—на

При фотографировании использовались высокочувствительные астропленки Кодак 103а-О, А-500Н и А-500У. Кривые спектральной чувствительности указанных пленок хорошо согласуются со спектром излучения экрана ЭОП УМК-92В (люминофор марки К-71).

Источником спектра сравнения служит газоразрядная лампа с

наполнением неон-ртуть.

2.1. Электронно-оптическая юстировка ЭОП. Юстировка произвелится по мире ГОИ. На катушку привинчивается проектор и подсмото. Изображение миры рассматривается в микроскоп с увеличением $\times 20$.

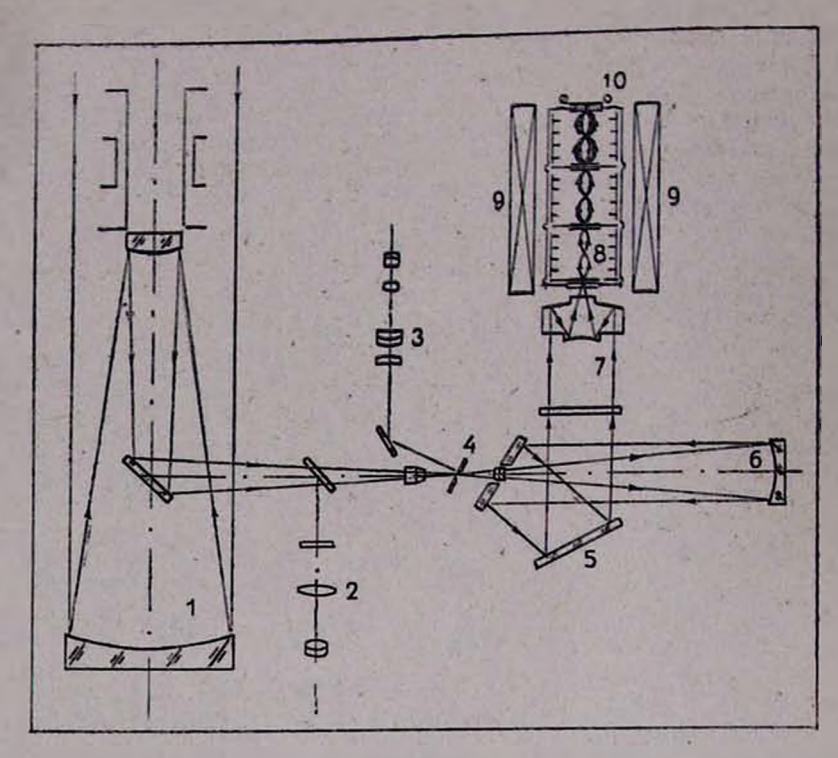


Рис. 1. Оптическая схема установки ЭОП УМК-92В на спектрографе UAGS в фокусе Нэсмита ЗТА-2,6: 1—оптическая схема системы Нэсмита ЗТА-2,6; 2—визнр спектрографа; 3—спстема для наблюдения за щелью; 4-щель; 5-дифракционная решетка; 6-коллиматор; 7-камера Шмидта-Кассегрена; 8-ЭОП УМК-92В; 9-соленонд магнитной системы ЭОП; 10-многокадровая фотоприставка

Операция не требует оптической скамьи и затемненного помещения.

Охлаждения катушки на это время также не требуется.
2.2. Разрешающая способность. При помощи миры ГОИ измерялось разрешение по рабочему полю экрана ЭОП: в центре и на расстояниях 5, 10, 15, 20 мм от центра, в трех рабочих режимах ЭОП с ускоряющими напряжениями 41, 36, 5 и 32 кВ.

Результаты измерений приведены в табл. 1.

Как показывает таблица, прибор УМК-92В с коротким соленоидом с коррекцией магнитного поля на краях обеспечивает разрешение

26-28 в пределах поля диаметром 20 мм.

пар лин. Визуальному разрешению 28 соответствует фотографи-MM

пар лин. ческое разрешение с 10% контрастом 21

2.3. Темновое свечение экрана. В составе шумов современного трехкамерного ЭОП, изготовленного методом манипулятора, имеются одноэлектронный термоток с фотокатода, резко падающий с уменьшением температуры, и зависящая от ускоряющего напряжения много-

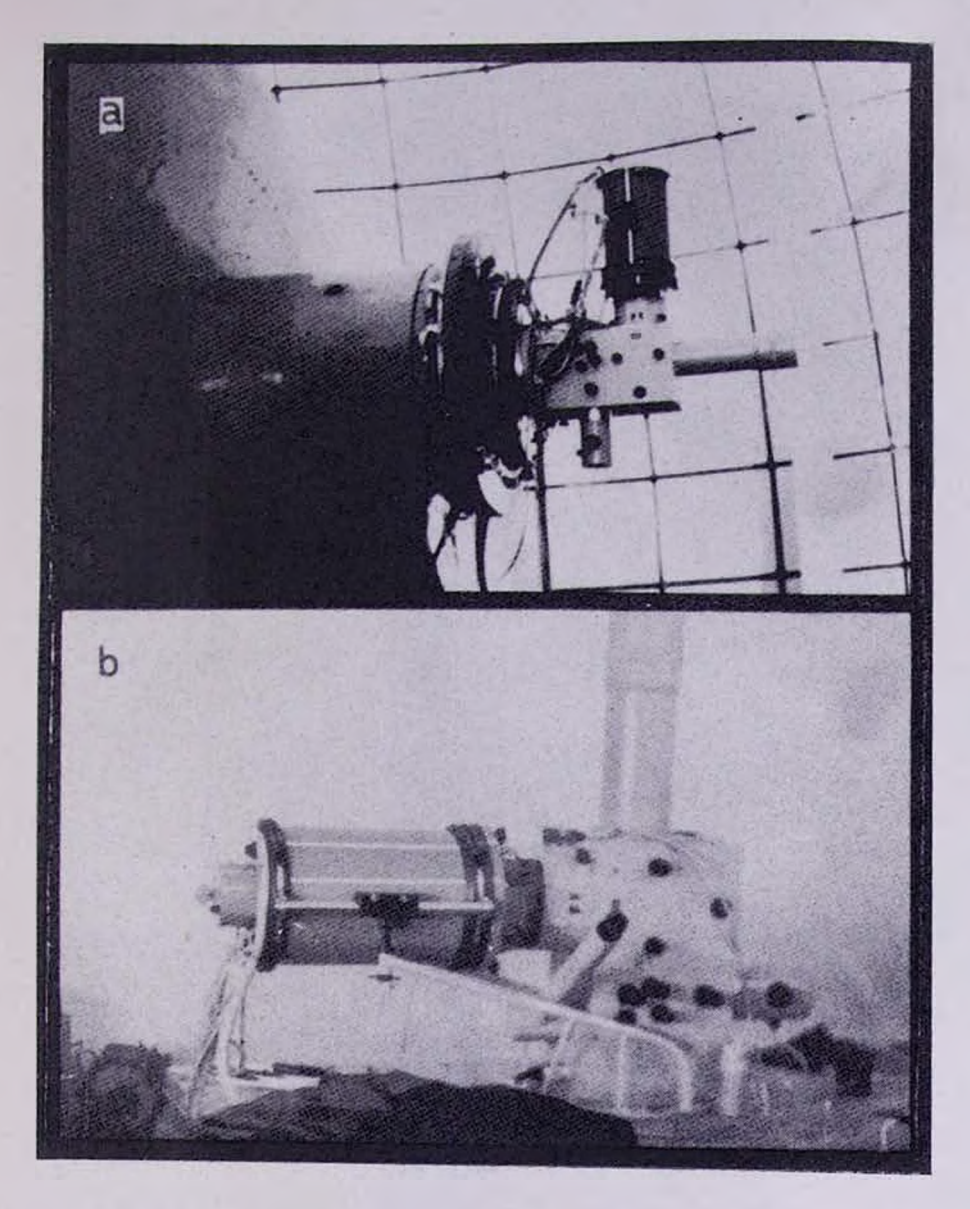


Рис. 2. Сбиний вид установки с ЭОП УМК-92В со спектрографом UAGS на телескопе $3T\Lambda$ -2,6(a) и в лаборатории (b)

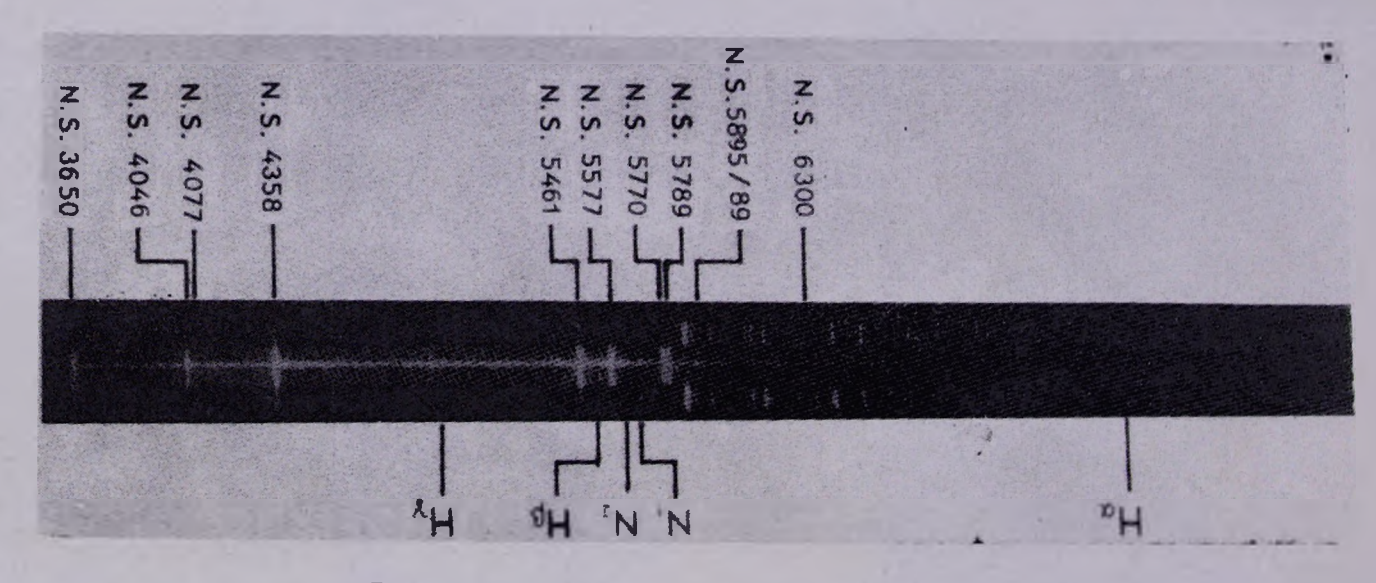


Рис. 3. Репродукция спектра Казарян 102: негатив № 3—92

электронная эмиссия, вызывающая на экране более крупные точечные

сцинтилляции, отчасти загрязняющие спектр.

Темновое свечение экрана ЭОП УМК-92В исследовалось при следующих условиях: температура воздуха от +12 до +14°C, температура воды на выходе системы охлаждения от 8.5 до 9°C, напор воды 17-50 rp/c.

При затемненном фотокатоде ЭОП экспонировались фотопленки А-500Н и А-500У в разных режимах работы. Результаты приведены в

табл. 2.

При температуре воздуха +15°C спекто собственных шумов на-

Таблица 1 Визуальная разрешающая способность трехкамерного ЭОП УМК-92В по полю 40 мм

Расстояние от центра экрана, мм Рабочий режим ЭОП	_20	—15	-10	— 5	0	+5	+10	+15	<u>+</u> 20
Жесткий: 41 кв	18	22	28	28	28	28	28	22	18
Средний: 36,5 кв	17	22	28	28	28	28	28	22	17
Мягкий: 32 кв	16	21	26	28	26	28	26	21	16

шего экземпляра ЭОП таков: термоэлектронный (одноэлектронный) компонент шума—900 событий/см2 мин, многоэлектронный—1 собы-

тие/см² мин.

2.4. Послесвечение экрана. Для люминофора К-71 время спада яркости до 5% от начальной составляет 5.10-3с, но последующее высвечивание, как известно, может продолжаться довольно длительное время, которое зависит от величины и продолжительности воздействия начального сигнала.

Темновое свечение экрана ЭОП УМК-92В

Таблица 2

Ускоряющее напряжение ЭОП, кв	Время экспониро- вання	Тип фотоплевки	Величина оптического почернения над вуалью в ед. ГОСТ, вызванный одноэлектронной составляющей темнового фона
32	2 q	A—500H	0.07
32	1 y	A—500H	
41	1 ч	A-500H	0.09
41	15 мин	A-500H	
41	22 мин	А—500У	0.04

Послесвечение экрана ЭОП УМК-92В изучалось при фотографировании миры ГОИ и темнового свечения экрана.

При яркости экрана едва видимой глазом, которая за несколько секунд дает оптимальное почернение на пленке, послесвечение экрапа регистрировалось также за несколько секунд и даже при перемотке пленки. При уровне сигнала, дающем оптимальное почернение за 10—15 мин., послесвечение не обнаруживалось при временах экспонирования до двух часов.

Через 2.5 ч. после визуальной настройки ЭОП на разрешение по мире ГОИ, экспонировался темновой фон за три часа. Каких-либо

следов почернения от послесвечения не обнаружено.

Исходя из этого, можно рекомендовать производить перенастройку ЭОП или контроль разрешения по мире ГОИ за 2.5 ч. до начала наблюдении.

2.5. Испытания на телескопе. В ходе испытаний установки с ЭОП УМК-92В па телескопе ЗТА-2.6 в сочетании со спектрографом UAGS был получен ряд спектров в разных днаназонах длин воли с разными дисперсиями в мягком режиме (32 кВ) работы ЭОП.

Подробные данные для нескольких спектров представлены в габл. 3. Приведем краткое описание некоторых спектров из этой табли-

цы.

Казарян 102. Звездообразный объект из списка галактик с Уф избытком М. А. Казаряна [1]. Он был избран как предельно слабый объект для оптического гида спектрографа в фокусе Нэсмита ЗТА-2,6 с целью определения проницающей способности испытуемой аппаратуры.

Объект является квазаром с z=0,136 и имеет звездиые величины

V = 15.778, B = 16.04, U - B = -0.781 [2].

Нормальные спектры этого объекта с помощью нашей аппаратуры получились за 6—12 мин с дисперсией 210 А/мм и за 20—50 мин с дисперсией 56 А/мм в спектральной области 3500—7600 А.

Репродукция образца спектра Казарян 102 приведена на рис. 3, а образец регистрограмм, записанных на автоматическом микроден-

ситомере PDS-1010, приведен на рис. 4.

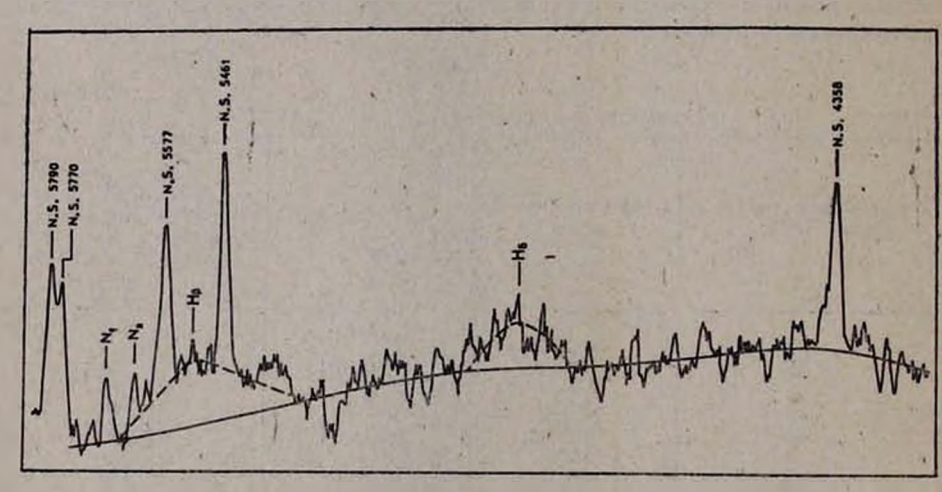


Рис. 4. Регистрограмма спектра Казарян 102: негатив № 3-91

В полученных спектрах наблюдаются широкие водородные эмиссионные линии Н , Н₃ и Н , а также узкие запрещенные линии дважды ионнизованного кислорода N₁ и N₂, которые по ширине почти не отличаются от линий ночного неба. Запрещенные дублеты [SII]) 6583/48 в случае их наличия должны блендироваться с Н₂ в силу большой ширины последней.

Наблюдение за щелью спектрографа во время экспонирования осуществлялось гидом UAGS, без ЭОП. В этой связи отметим, что дальнейшее увеличение проницающей способности электронно-телескопической системы ЗТА-2,6+UAGS+ЭОП УМК-92В ограничивается оп-

тическим гидом спектрографа.

Маркарян 6. Этот интересный объект привлекает особое внимание в связи с радикальными изменениями структуры его водородных линий: в начале 1969 г. в пределах одного года в спектре Мрк 6 появились эмиссионные компоненты водородных линий На и На, смещенные в сторону коротких длин волн от основной линии на величину порядка 3000 км/с [3]. При столь быстрых изменениях контуров водородных линий, указывающих на высокую активность ядра галактики, представляются важными систематические паблюдения за Мрк 6 с целью дальнейшего исследования переменности ее спектра. Последний раз наличие компонентов у водородных липий было регистрировано в лекабре 1979 г. [4]. Исходя из этого, объект Мрк 6 был включен в программу испытаний нашей аппаратуры на телескопе ЗТА-2,6.

В сентябре 1982 г. были получены девять спектров этого объекта

в диапазоне 3600-7350 Å с дисперсиями 210 и 56 Å /мм.

Образцы регистрограмм спектра Мрк 6, записанные на ИФО-451. представлены на рис. 5,6.

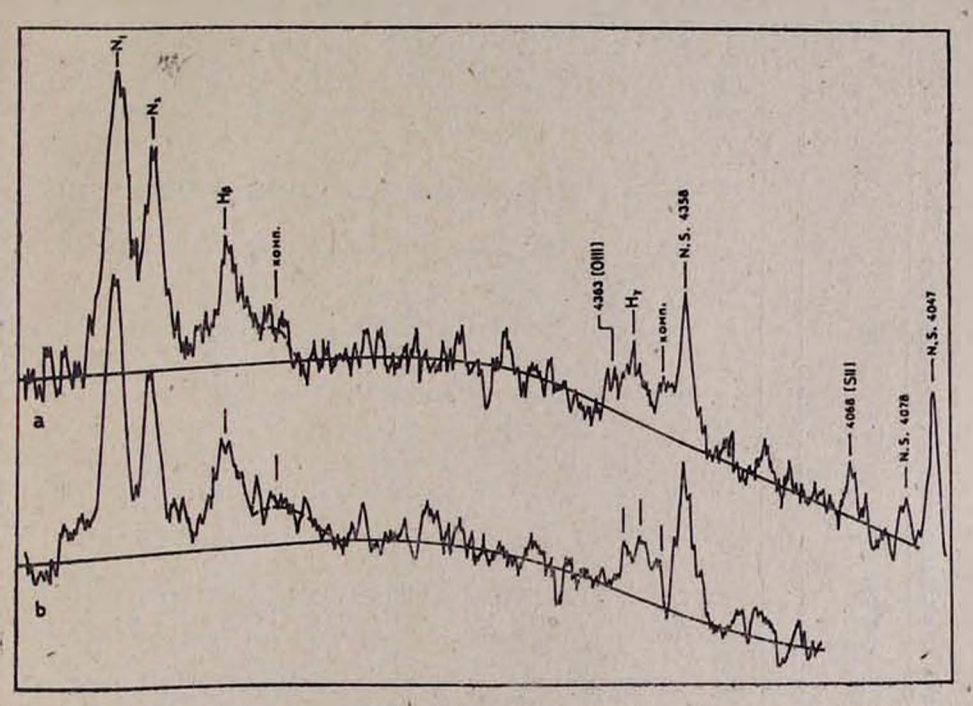


Рис. 5. Регистрограммы спектров Маркарян 6 в области Н 3-Н₇: а-негатив № 3-98; *b*—негатив № 3—109

Полученные спектры свидетельствуют, что фиолетовые компоненты линии Н₂ и Н₃ все еще наблюдаются. Подтверждается наличие компонента у линин Н₇, выявленного в работе [4].

В спектрах наблюдаются также эмиссионные линии [SII] . 6731/ 17, [NII] D. 6583/48, [OI] 6300, [OIII] D. 5007, 4959, [OIII] 4369 H. [SII] L.

4068. 8-338

Объект	Звездная величина	Порядковый номер не- гатива	Дата наблю- дения	Эмульсия	Экспозиция, мин	Спек граль- ный диапа- зон, Å	Дисперсия, А/мм	Размер изо- бражения, сек. дуги	Размер ще- ил, сек. дуги	Примечание
1	2	3	4	5	6	7	8	9	10	11
GC 6720=	m _{тум.} =9,3	3-6	4.07.82	А500 п	3	5500 - 7000	56	3	1,5	
=M57	7.3	3-11 3-14	12 07 00		6			3		1-0
		3-14	13.07.82		2,5	4000 —5450 3000 —4500		3		4677
GC 7469	V=13m,04	3-20	17-07-82	A —500 _p Π	7	5500 7000	56	3	1,5	
(Sy 1)	B=13 ^m ,42	3-22	0. 6- 00		5	4000-5450		3	7	
200		3-32	21.07.82	3.4	15	5500-7000		3		
эркарян 335	$V=13^{m},85$ $B=14^{m},26$	3—36 3—37	24.07.82	A —500 _р П	16	4550-6000	56	4,5	2	
(Sy 1,)	U = 13m, 56	3-37	43 1		21 21	5500 -7000				непр. спектр
=0,025)					-		3	7.00		недодержен
зарян		3-40	26.07.82	A500 _p Π	50	3500-4950	56	3,5	2	-
102	$V = 15^{m},78$	3—77	26.08.82	103a-0	50	4250-5800		3,5		
(Sy 1.) =0,136)	$B=16^{m},04$ $U=15^{m},20$	3—78 3—79			30					
0,100,	0 = 10 - 120	391	27.08.82	150	20 20 12	3500-7600	210	4	2	- 1 - 2 -
200		3-92		- 1	12					200
20 3	1500	3—93 3—96			6 20	5650-8400		1.5		
			10			7				
ркарян 6 (SyI)	V=14m,19	3-98 3-99	22.09.82	103a—0	5 10	3600-7200	210	3	2	
=0192)	B=15m,05	3-100			12			1	1	
	4 2	3—109 3—110	23.09.82		6			3		100 US-
	-	3-110	21-09.82		18,5	4300-5800	56	2,5	2	0
		3-113		3 7 7 7	20	5900-7350				спектр на
-		3—124 3—126	26-09-82		20 23	4300 — 5800 5900 — 7250		4	2	Зми расши

				2.					Продолжен	ие таблицы 3
1	2	3	4	5	6	7	8	9	10	11
3C—98 (Z=0,030)	V=15 ^m ,30	3-101 3-102 3-103 3-120 3-127 3-128	23.09.32 26.09.82 27.09.82	103a —0	18 12 23 31 18 20	3500—7200 ** 4300—5800 3500—6100 4250—7190	210	3,5	2 2 2 2 2 2 2 2 2 2 2 2 2 2 2 2 2 2 2 2	

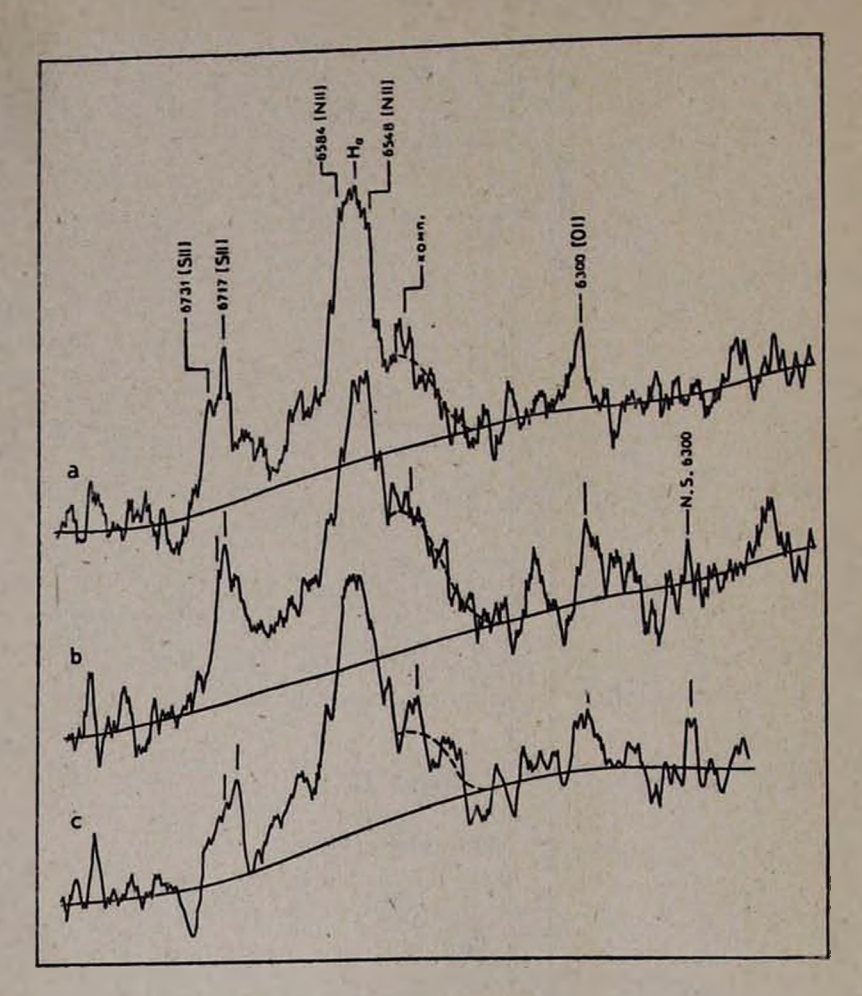


Рис. 6. Регистрограммы спектров Маркарян 6 в области Н_а: а—негатив № 3—98; b—негатив № 3—99; с—негатив № 3—109

Ширины линий H_{β} , N_1 и N_2 на уровне половинной интенсивности равны 15, 11 и 12 Å соответственно. Данные исправлены за ширину инструментального профиля. Последняя на уровне половинной интенсивности, измеренная по линиям ночного неба, составляет ~ 5 Å при дисперсии 56 Å/мм.

В полученных спектрах хорошо заметны широкие крылья водородных линий H_{α} и H_{β} . Полная ширина линии H_{α} у основания равна, примерно, 290 Å Для линии H_{β} эта величина составляет 170 Å.

Подробное обсуждение результатов новых спектральных наблюдений переменной сейфертовской галактики второго типа Мрк 6 будег

представлено в отдельной статье.

Заключение. Астрономическая установка с трехкамерным ЭОП новой модификации УМК-92В на испытаниях в лаборатории и на телескопе показала высокие эксплуатационные качества и в настоящем виде может быть использована для астрофизических исследований спектров слабых объектов.

Авторы выражают глубокую благодарность профессору Э. Е. Хачикяну за ценные советы и помощь при выполнении настоящей работы.

> Бюраканская астрофизическая обсерватория ВНИИОФИ. Москва

30 HOAR 1985 2

b. U. UUUSPSUL, U. 4. INGUSA4

«YMK 92B» ՄԱԿՆԻՇԻ ՆՈՐ ՎԵՐԱՓՈԽՈՒԹՅՈՒՆ ԷԼԵԿՑՐՈՆԱՕՊՏԻԿԱԿԱՆ ՉԻՎԱՓՈԽԻՉՈՎ ԱՇԽԱՏՈՂ ԱՍՏՂԱԳԻՏԱԿԱՆ ԸՆԴՈՒՆԻՉ ՍԱՐՔ ԵՎ ՄԻ ՔԱՆԻ ԴԻՑՈՂԱԿԱՆ ԱՐԴՅՈՒՆՔՆԵՐ

Աշխատանքոմ նկարագրված Թույլ աստղագիտական օբյեկտների սպեկարըների լուսանկարման համար նախատեսված «YMK—92B» մակնիշի նոր վերափոխության եռախցիկ մետադախեցեգործական էլեկտրոնաօպտիկական ձևափոխիչով(է0Չ) աշխատող սարքի համառոտ նկարագրությունը և չափաբանական պարամետրերի լաբորատոր հետաղոտությունների ու 2,6 մ դիտակի վրա փորձարկման արդյունընհրը։

Մեծ լուսաժով «UGAS» սպեկտրոգրաֆի հետ նոր է02-ի աշխատանքը ասյահովելու Նպատակով, երեր կարճ էլեկտրամագնիսական կոճերից ցաղկացած կիզակետացնող համակարդի փոխարհն, օգաագործվել է մագնիսական ռայտի ցավարար համասեռությամբ կարճ սոյենոիդ։ Այն թույլ է տայիս պահ-

պանել է է02-ի դրամական հատկանիշները։

Բերված են նաև փորձարկումների ընթացջում ստացված մի քանի սպեկարների համառոտ նկարագրությունները։

N. S. ASATRIAN, S. V. LIPATOV

ASTRONOMICAL RECEIVING SYSTEM WITH THE USE OF THE UMK-92 V THRFE-CAMERA IMAGE CONVERTER OF NEW MODIFICATION AND SOME OBSERVATIONAL RESULTS

The description and results of laboratory investigations and tests at the 2.6-meter telescope of the Byurakan Observatory of the detector for spectral observations using the UMK-92 V 3-camera metal-ceramics image converter of a new modification with magnetic focusing and photocontact recording are presented.

A short solenoid with satisfactory homogeneous magnetic field was used which preserved characteristics of the image-tube in observations

with the fast spectrograph "UAGS".

Some spectra, obtained in the course of tests are briefly discussed.

ЛИТЕРАТУРА

- 1. М. А. Казарян, Астрофизика, 15, 5, 1979. 2. М. А. Казарян, Э. Е. Хачикян, Астрофизика, 17, 661, 1981. 3. Э. Е. Хачикян, Д. В. Видман, АЦ, 581, 1970. 4. Э. Е. Хачикян, В. Н. Попов, А. А. Егиазарян. Астрофизика, 18, 541, 198



29 сентября 1985 г. скончался выдающийся советский астрофизик Б. Е. Мархарянакадемик АН АрмССР, лауреат Государственной премин СССР, заслуженный деятель

пауки АрмССР

Беннамии Егишевич Маркаряи родился 29 ноября 1913 г. в Шулавере (ныне Шаумян) Марисульского района ГССР. В 1933 г. он поступил на физико-математический факультет Ереванского Государственного университета, который окончил в 1938 г. по специальности математика. В 1938—39 гг. работал ассистентом при кафедре высшей математики Ереванского педагогического института. В 1939 г. постуинд в аспирантуру по специальности астрофизика, был прикомандирован в ЛГУ, где до 1941 г. проходил курс аспирантуры под руководством В. А. Амбарцумяна. Война прервала научную подготовку Беннамина Египісвича. Летом 1941 г. он был призван в ряды. Советской Армин, В конце 1942 г. был демобилизован по состоянню здоровья. В 1944 г. он защитил кандидатскую диссертацию.

Со дня основания Бюраканской астрофизической обсерватории Б. Е. Маркарян

бессменно работал в ней в начале в качестве старшего научного сотрудника, с 1953 по 1956 гг.—заместителем директора обсерватории, с 1956 г. заведующим отделом

вездной астрономии, а в дальнейшей отделом исследования галактик.

С 1943 по 1956 гг. он по совместительству преподавал в Ереванском Государствен-

1 университете, Г. Б. М. Г. Е. Маркарян принимал деятельное участие в создании Бюраканской обсерватор; , непосредственно участвовал в установке и введении в строй первых телесконов обсерватории.

Б. Е. Маркаряном были выполнены важные исследования как в звездной, так и во внегалактической астрономии. Его рашине работы относятся к теории флюктуаций

в видимом распределении звезд в нашей Галактике. После опубликования ряда работ В. А. Амбарцумяна по звездным ассоциациям Б. Е. Маркарян принял активное участие в их исследовании. Ему принадлежит заслуга выявления роли звездных скоилений в звездных ассоциациях. Он показал, что можно выделить весьма важный класс звездных скоплений.-О-скоплений, имеющих огромное значение для пошимания начальных стадий звездной эволюции. Им была разработана новая классификания звездных скоплений, которая связывает воедино деление их на классы как по спектральным, так и по морфологическим признакам. позволяющая выделить среди них объекты разных возрастов.

Б. Е. Маркаряном был составлен первый систематический список О-ассоциаций с

указанием входящих в них звездных скоплений.

Б. Е. Маркарян еще в первые годы существования Бюраканской обсерватории с помощью наблюдений на небольном телесконе больного количества открытых скоплений создал Атлас звездных скоилений.

За важные результаты по исследованию звездных ассоциаций Б. Е. Маркаряну

была пресуждена Государственная премия СССР.

С усилением инструментального вооружения Бюраканской обсерватории и освое-

йия крупных телескопов Б. Е. Маркарян начал работать в области внегалактической астрономии. Большой интерес представляют выполнениме Б. Е. Маркаряном и его

сотрудниками работы по сплошной колориметрии ярких галактик.
Большое значение ижела его работа по сопоставлению фотометрических и колориметрических данных пекулярных галактик, приведшая к установлению существования факта несоответствия цветов ряда галактик их морфологическому типу. Эта работа послужила отправным пунктом его крупного вклада в астрофизику-открытим большого количества галактик с избыточным ультрафиолетовым континуумом в спектре, которые впоследствии были названы его именем—«галактики Маркаряна». Открытые им галактики оказались настолько интересными объектами, что наб-

людательное время крупнейших телескопов мира в течение длительного периода предоставляется для более детального их изучения. Выяснилось, что среди объектов, открытых при проведении этого обзора и обладающих аномальным избытком УФизлучения, встречаются объекты с различными прсявлениями активности-квазизвездные объекты, сейфертовские галактики, лацертиды, источники радио, инфракрасного и рентгеновского излучения.

Основная часть известных пыне галактик сейфертовского типа выявлена на основе этого обзора. С точки зрения проблем космической эволюции галактики Мар-

каряна имеют не меньшее значение, чем квазизвездные объекты.

Для работы по поиску галактик с избыточным УФ-излучением он и его ученики отнаблюдали все северное небо. В результате этой работы был создан первый Бюра-канский спектральный обзор северного неба. Параллельно с этим во многих обсер-ваториях мира шел процесс детального изучения галактик Маркаряна самыми раз-личными средствами.

В последние годы жизни Б. Е. Маркаряном совместно с учениками был начат второй Бюраканский спектральный обзор неба для выявления и исследования более

слабых, далеких внегалактических пекулярных объектов.

Его работы обеспечили ему широкую известность и научный авторитет среди специалистов как в СССР, так и за рубежом. Результаты большинства работ Б. Е. Маркаряна вошли в учебники по звездной астрономии и астрофизике.

Б. Е. Маркарян неоднократно выезжал за границу и на различных совещаниях активно участвовал в обсуждениях научных проблем, выступал с научными докладами

звездной астрономии и астрофизике.

Б. Е. Маркарян был членом компесий № 28 и № 37 Международного астрономического союза. В 1973—76 гг. был вице-президентом, а в 1976—79 гг.—президентом

комиссии 28 МАС по внегалактической астрономии.

Б. Е. Маркарян имеет более 100 опубликованных научных работ. В 1965 г. за выдающиеся заслуги был избран членом-корреспондентом АН АрмССР, а в 1971 г.—действительным членом АН АрмССР. В 1950 г. он был удостоен звания лауреата Государственной премии СССР, в 1961 г.—звания заслуженного деятеля науки АрмССР. За заслуги в деле развития советской науки он награжден орденами «Дружба народов» и «Знак почети», медалью «За доблестный труд в Великой Отечественной войне», грамотами президнума АН СССР и АН АрмССР, почетной грамотой Верховного Совета АрмССР и ленинской медалью «За доблестный труд», До конца своей жизии он активно трудилея, продолжая заниматься основным

делом своей жизин-обзорными работами по внегалактической астрономии. Светлая намять о Беннамине Егишевиче Маркаряне, ученом и обаятельном человеке, всегда будет жить в сердцах его учеников и последователей.

Новые переменные звезды в области Т-ассоциации Таи ТЗ. Ходжаев А. С. «Сообщения Бюраканской обсерватории», 1986 г., вып. LVIII, с. 3-8.

Представлены результаты поисков переменных звезд в области Темных облаков Тельца. Обнаружены 21 новая переменная и 15 заподозренных переменных звезд, большая часть которых принадлежит Орионовому населению. Обсуждаются пространственное распределение, диаграммы Герцшпрунга-Рессела V, B—V и двухцветных U—B, B—V, а также искоторые статистические параметры этих звезд.

Таблиц 2, рисунков 4, библиографий 22.

УЛК 524.3-355/-74

Спектрофотометрическое исследование группы звезд вокруг у Cas в ультрафиоле-товой и видимой областях. Рустамбекова С. С., Епремян Р. А. «Сообщения Бюракан-ской обсерватории», 1986 г., вып. LVIII, с. 9—20.

Представлены результаты комбинированных спектрофотометрических наблюдений—наземных и внеатмосферных—для 33 звезд классов ВО—G8. Построены сводные кривые распределения энергии в непрерывных спектрах этих звезд в диапазоне длин волн 2200-4800 А и в шкале абсолютных энергетических единип.

Сравнительный анализ потоков на 2740 A по данным «Орнона-2» и S2/68 выявил

наличе систематического отклонения со средним значением—0.10.
Расчетные значения потоков в U и В лучах, найденные для этих звезд как по наблюдениям «Ориона-2», так и по наземным наблюдениям оказались в хорошем согласии между собой. Уточнены спектральные классы и определены эффективные температуры (табл. 1) из сравнения комбинированных распределений энергий в диапазоне 2200—4800 A с теоретическими моделями.

Таблиц 2, рисунков 6, библиографий 17.

УДК 524.31.02-76

Диаграмма цвет (I—K)—визуальная звездная величина для звезд ранних и поздних спектральных классов. Варданян Р. А. «Сообщення Бюраканской обсерватории», 1986 г., вып. LVIII, с. 21-26.

На основании анализа диаграмм (I-K)-визуальная звездная величина (V). для звезд из каталога Гюйгсбауера (1969), делается вывод, что в определенной стадии эволюции звезды-гиганты бывают окружени пылевыми оболочками. Теряя пыле-шую оболочку, они переходят в один из спектральных классов А, F, Gr, K, Одна-ко, вопрос о том, является ли стадия, характеризующаяся присутствием вокруг звезды пылевой оболочки, начальной, промежуточной или конечной, нуждается в независимом обсуждении.

Таблиц 3, рисунков 4, библиографий 4.

УДК 524.5

О кометарных туманностях и родственных объектах и их соязи с молекулярными облаками. Пстросян В. М. «Сообщения Бюраканской обсерватории», 1986 г., нып. LVIII, с. 27—35.

Рассмотрены некоторые статистические вопросы, связанные с кометарными туманностями (I a, b) и родственными объектами (II a, b). Получены следующие результаты: а) Подавляющее большинство кометарпых туманностей являются объектами местного спирального рукава галактики; б) Кометарные туманности находятся на больших расстояниях и имеют большие линсиные размеры, чем родственные объекты; в) Комстарные туманности, по всей вероятности, связаны с более горячими молекулярными облаками, чем родственные объекты. Таблица 1, рисунков 5, библиографий 58.

УДК 524.5-128

Туманные объекты вокруг кометарных туманностей и родственных объектов. Петросян В. М., Петросян А. Р., «Сообщения Бюраканской обсерватории», 1986 г., вып. LVIII. с. 36-51.

На картах Паломарского атласа (ПА) исследованы окрестности 104 кометариях туманностей и родственных объектов (КТРО) в кругах с раднусом 10°. В результате, вокруг 73 КТРО обнаружено 198 туманиях объектов, из которых 128—ввертие.
Эти 198 объектов классифицированы как: 78—истинные или подозреваемые объекты Хербига-Аро, -107—объекты, связанные с истинными или подозреваемыми звездами Орионова населения, природа 13 объектов неясна.

звездами Орнонова населения, природа 13 объектов неясна.

Приведено описание обнаруженных объектов, их координаты относительно

КТРО н размеры на красных и сницх картах ПА.

В результате статистического исследования получено, что объекты Хербига-Аро, обнаруженные вокруг кометарных туманкостей, покозывают скучиваемость относительно косы туманности, что указывает на существование генетической связи между кометарной туманностью и объектами Хербига-Аро. Эта отсутствует в случае родственных объектов.

КТРО вместе с туманными объектами, съязаницми со звездами Орнонова населения, образуют пары и системы более высокой кратности, подавляющее большинство которых образуют системы типа Трапеции.

Между направлениями осей кометарных и соседних с ними туманностей кор-

реляция не обнаружена.

Таблица 1, рисунков 6, библиографий 30.

УДК. 524.334—655

Определение межзвездного компонента параметров поляризации и Сер статистическим путем. Варданян Р. А., Ерицян М. А. «Сообщения Бюраканской обсерватории». 1986 г., вып. LVIII, с. 52—56.

Статистическим путем были оценены значения параметров межзвездной поля-

ризации звезды μ Сер ($P_{\text{M}} = 1.0\%$, $\Theta_{\text{M}} = 43^{\circ}$).

После учета межзвездной поляризации определено среднее значение степени собственной поляризации звезды и Сер в V и В лучах (Р.)у=1.17%, (Р.)в=1.64%. Приводится зависимость собственной поляризации света звезды и Сер от ее блеска.

Таблица 1, рисунков 3, библиографий 17.

УДК 524.7—126/—74.

Объекты со значительными ультрафиолетовьми избытками в северо-западной окрестности скопления М 13.11. Оганесян Э. А. «Сообщения Бюраканской обсерватории», 1986 г., вып. LVIII, с. 57—67.

Из обширного фотометрического UBV исследования голубых объектов в северо-западной части окрестности шарового скопления М13 для обсуждения в данной статье выделены 67 объектов, которые имеют показатели цвета U—В и B-V, располагающие их над чернотельной прямой на двухцветной (U-B), (B-V)

днаграмме. Они являются вероятными квазизвездными объектами.
Исходя из двухцветной днаграммы (U—B, B—V), днаграмм «цвет—светнмость» и распределения по яркости можно судить о наличии существенных различий среди исследованных объектов в зависимости от величины U—V.
Таблиц 2, рисунков 7, библиографий 12.

УДК 524.7—355.

Спектрофотометрическое исследование голактик с ультрафиолетовым избытком. VII. Егиазарян А. А. «Сообщения Бюраканской обсерватории», 1986 г., вып. LVIII, c. 68-74.

Приводятся результаты спектрофотометрического исследования четырех галактик (спиральных) с ультрафиолетовым избытком из списков Казаряна № 65, 66, 92, 96. Спектры галактик получены из 6 м телескопе САО АН СССР. Галактики № 65. 66, 92 имеют эмиссионные спектры высокого возбуждения, а в спектре галактики № 96 сочетаются эмиссионные линии с линиями поглощения. По выявленным спектральным линиям впервые определены красные смещения этих галактик. Вычислены относительные интенсивности эмиссионных лиший в галактиках № 65, 92, оценены значения электронной плотности в их ядрах, а для компактных звездообразных сгущений в них, которые оказались сверхассоциациями, определены абсолютные звездные велячины и

лиаметры. Ядерные области галактик № 92, 96 вращаются, определена масса этих вращающихся областей. Таблиц 3, рисунков 6, библиографий 7.

УЛК 524.7

UBV фотометрия одной галактики с УФ избытком. Тамазян В. С. «Сообщения Бюваканской обсерватории», 1986 г., вып. LVIII, с 75-79,

Приводятся результаты детальной UBV фотометрии галактики с УФ избытком Казарян 26. Наблюдения выполнены на 2.6 м телескопе Бюраканской обсерватории. Представлена карта распределення поверхностной яркости в цвете В и показателей цвета U—В и В—V. Построена днаграмма (U—В, В—V).

Отмечается аномально голубой цвет звездосбразного ядра галактики, которое на днаграмме (U—B, B—V) располагается выше линии абсолютно черного тела, что может быть признаком его активности. В полосе U ядро почти на 2^m.0 ярче ос-

тальной части галактики.

Хотя Казарян 26 показывает в спектре узкие эмисснонные линии, по данным UBV фотометрии она весьма похожа на сейфертовскую галактику Маркарян 10. Таблиц 5, рисунков 3, библиографий 4.

УЛК 523.164.42.

Наблюдения радиоисточников из списков УТИ на частоте 102 МГц. 11. Артюх В. С., Оганян Г. А., Панаджян В. Г. «Сообщения Бюраканской обсерватории», 1986 г., вып. LVIII, с. 80-86.

Приведены результаты наблюдений 65 радиоисточников на частоте 102 МГц из списков УТИ. Наблюдения проводились на радиотелескопе БСА методом межпланет-ных мерцаний. Оценены плотности потоков и степень компактности исследуемых радионсточников, а также угловые размеры их мерцающих компонент. Получены также спектральные индексы в диапазоне частот 102—327 МГц. Таблица 1, библиографий 21.

УДК 520.8.054

Система для регистрации быстрых изменений блеска звезд. Залинян В. П., Товмасян Г. М. «Сообщения Бюраканской обсерватории», 1986 г., вып. LVIII, с. 87-

Предложена система для регистрации быстрых изменений блеска звезд с малой постоянной времени (1—0.001 с.), работающая вместе с мини-ЭВМ и позволяющая экономить большое количество бумаги для регистрации, перфолент, магнитной ленты и т. д. Система испытана в лаборатории и при наблюдениях с 40 см телескопом Бюраканской обсерватории. Обнаружены короткие вспышки у звезды EV Lac при наблюдениях с постоянной времени 1 и 0.1 с.

Рисунков 6, библиографий 8.

УДК 520.16

О количестве астрономического наблюдательного времени на станици «Гладзор». Мурадян Р. А., Товмасян Г. М. «Сообщення Бюраканской обсерватории», 1986 г., вып. LVIII, c. 95—99.

Определено среднее количество астрономического наблюдательного времени на новой высокогорной наблюдательной станции Бюраканской астрофизической обсерваторин.

Таблиц 2, рисунков 2, библиографий 4.

УДК 520.17

О возможном уменьшении воздействия купола на изображения звезд. Мурадян Р. А., Пикичян О. В. «Сообщения Бюраканской обсерватории». 1986 п., вып. LVIII, c. 100-107.

Предлагается упрощенная конструкция астрономического купола, которая, возможно, позволит свести к минимуму ее влияние на качество изображения. Рисунков 4, библиографий 27.

Астрономическая приемная система с трехкамерным ЭОП новой модификации УМК-92В и некоторые наблюдательные результоты. Асагрян Н. С., Липатов С. В «Сообщения Бюраканской обсерватории», 1986, вып. LVIII, с. 108—118.

Приводятся результаты лабораторных исследований и испытаний на 2.6-м теле скопе установки для регистрации спектров слабых астрономических объектов на базе ЭОП УМК-92 В.

Для обеспечения работы нового ЭОП на спектрографе UAGS создан короткий

соленонд с удовлетворительной однородностью магнитного поля.
Приведено краткое описание для нескольких примеров спектров, полученных ходе испытаний.

Таблиц 3. рисунков 6, библиографий 4.



21.844446 UU2 ԳԻՏՈՒԹՅՈՒЪЪԵՐԻ ԱԿԱԳԵՄԻԱАКАДЕМИЯ НАУК АРМЯНСКОЙ ССР

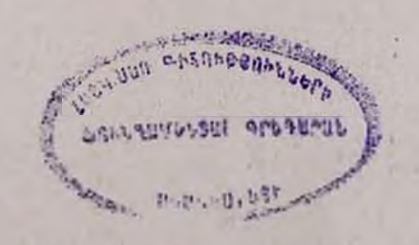
0A 89

ԲՑՈՒՐԱԿԱՆԻ ԱՍՏՂԱԳԻՏԱՐԱՆԻ ՀԱՂՈՐԴՈՒՄՆԵՐ

сообщения бюраканской обсерватории

прач LVIII ВЫПУСК

НОВЫЕ ПЕРЕМЕННЫЕ ЗВЕЗДЫ В ОБЛАСТИ Т-АССОЦИАЦИИ Таu Т3.	
А. С. Ходжай	8 3
СПЕКТРОФОТОМЕТРИЧЕСКОЕ ИССЛЕДОВАНИЕ ГРУППЫ ЗВЕЗД ВОКРУГ	y
Саз В УЛЬТРАФИОЛЕТОВОЙ И ВИДИМОЙ ОБЛАСТЯХ	
	и 9
диаграмма цвет (I-К)—визуальная звездная величина для звез	п
РАННИХ И ПОЗДНИХ СПЕКТРАЛЬНЫХ КЛАССОВ Р. А. Варданя	
О КОМЕТАРНЫХ ТУМАННОСТЯХ И РОДСТВЕННЫХ ОБЪЕКТАХ И ИХ СВЯЗ	
С МОЛЕКУЛЯРНЫМИ ОБЛАКАМИ В. М. Петроск	
туманные объекты вокруг кометарных туманностей и родствен	
НЫХ ОБЪЕКТОВ В. М. Петросян, А. Р. Петрося	н 36
определение межзвездного компонента параметров поляризи	
ЦИИ µ Сер СТАТИСТИЧЕСКИМ ПУТЕМ Р. А. Варданян, М. А. Ериця	
объекты со значительными ультрафиолетовыми избытками	
СЕВЕРО-ЗАПАДНОЙ ОКРЕСТНОСТИ СКОПЛЕНИЯ MI3. II . Э. Я. Оганеся	
СПЕКТРОФОТОМЕТРИЧЕСКОЕ ИССЛЕДОВАНИЕ ГАЛАКТИК С УЛЬТРАФИС	
ЛЕТОВЫМ ИЗБЫТКОМ. VII	in 68
UBV ФОТОМЕТРИЯ ОДНОЙ ГАЛАКТИКИ С УФ ИЗБЫТКОМ . В. С. Тамазя	н 75
НАБЛЮДЕНИЯ РАДИОИСТОЧНИКОВ ИЗ СПИСКОВ УТИ НА ЧАСТОТЕ 10	2
МГц. П В. С. Артюх, Г. А. Оганян, В. Г. Панаджя	M 80
СИСТЕМА ДЛЯ РЕГИСТРАЦИИ БЫСТРЫХ ИЗМЕНЕНИЙ БЛЕСКА ЗВЕЗ,	
В. П. Залинян Г. М. Товмася	
О КОЛИЧЕСТВЕ АСТРОНОМИЧЕСКОГО НАБЛЮДАТЕЛЬНОГО ВРЕМЕНИ Н	A
СТАНЦИИ «ГЛАДЗОР»	
О ВОЗМОЖНОМ УМЕНЬШЕНИИ ВОЗДЕЙСТВИЯ КУПОЛА НА ИЗОБРАЖЕНИ	
ЗВЕЗД Р. А. Мурадян, О. В. Пикичя	
АСТРОНОМИЧЕСКАЯ ПРИЕМНАЯ СИСТЕМА С ТРЕХКАМЕРНЫМ ЭОП НОВО	7
MORNOURATION VMK-02B N HEKOTODHE HARRIGUATERINHHE DESVIRTATI	1
" O 1 - O D T	
Б. E. MAPKAPЯН	100
ID, E, MATRATA	-



የበዺዜኄ**ጉ**ԱԿበ**ኮ**# 5 በ ԻՆ

Ա. Ս. հոջաև - TAU T3 աստղասփյուռի տիրույթի նոր փոփոխական աստղեր	3
U. U. Ռոստամբեկովա, Ռ. Ա. Եփբեմյան,—)՝ Cas շուրջ մի խումբ աստղերի սպեկ-	
արալուսալափական հետազոտության գերմանուշակ և տեսանելի տիրույթներում .	9
Ռ. Ա. Վարդանյան—Գույն (I-K) —տեսանելի աստղային մեծության դիագրամ վաղ և	12
ուշ տիպի աստղերի համար	21
վ. Մ. Պեաբոսյան — Գիսավորաձև միզամածությունների և հարակից օրյեկաների ու մոլե-	
կուլային ամպերի հետ դրանց կապի մասին	27
վ Մ. Պետրոսյան, Ա. Ռ. Պետրոսյան— <i>Միգամածայի</i> ն գո <i>յացումներ գիսավորաձև մի-</i> գ <i>ամածությունների և հարակից օրյեկտների շուր</i> թը	
դամասություսսերը և <i>հարակրց օրյուրաերի շուրջը</i> Ռ. Ա. Վարդանյան, Մ. Հ. Երիցյան—ի С _{Ср} աստղի բևհոարման պարամետրերի միջ-	36
աստղային թաղաղրիչի որոշումը վիճակագրական հղանակով	52
	32
է. Ցա. Հովճաննիսյան—M 13 աստղակուլաի հյուսիսարևմտյան մասի շրջակայթում զգայի գերմանուշակ ավելցուկ ունեցող օթյեկաներ	57
Ա. Ա. Եղիազաբյան — Գերժանուջակ ավելցուկով գալակտիկաների սպեկտրալուսալափա-	
կան ուսումնասիրություն. VII.	68
վ, Ս. Թամազյան— Գերմանուշակ ավելցուկով մեկ գալակտիկայի UBV լուսաչափություն	75
վ. Ս. Աշտլովս, Գ. Ա. Օնանյան, Վ. Գ. Փանաջյան <i>—Ուտիի թուցակների ռադիոաղթյուր</i> -	
ների դիտումները 102 ՄՀՑ հաճախականության վրա, II.	80
վ, Պ. Զայինյան, Հ. Մ. Թովմասյան—Աստղերի պայծառության արագ փոփոխություն-	
ների արձանագրման սարց	87
Ռ. Ա. Մուսադյան, Հ. Մ. Բովմասյան«Գլաձոր» աստղադիտակայանի դիտողական ժա-	
մանակի դանակի մասին	95
Ռ. Ա. Մուսադյան, Հ. Վ. Պիկիչյան <i>—Պատկերի որակի վրա գմբեթի ազդեցության փո</i> ք-	
րացման մի հնարավորության մասին	100
Ն. Ս. Աստաբյան, Ս. Վ. Լիպատով—«УМҚ—92В» <i>մակնիշի նոր վերափոխության</i>	
էքթիահարաշտակիրակար գրափախիչավ աշխատամ առամաժիսավար նրմադրիչ ռաևե	
և մի ֆանի դիտողական արդյունքներ	108
H. b. Մարգարյան	119
CONTENTS	
to an	2
A. S. Hojasu-New Variable Stars in the Taurus T3 T-Association Region	3
S. S. Rustambekova, R. A. Epremian — A Spectrophotometric Investigation of a	0
Group of Stars Around 7 Cas in Ultraviolet and Visible Regions	9
R. A. Vardanian The—(I—K)—Visual Stellar Magnitude Diagram of Stars of	21
Early and Late Spectral Types	21
nection with Molecular Clouds • • • • • • • • • • • • • • • • • • •	27
V. M. Petrossian, A. R. Petrossian — Nebulous Objects Around Cometary Ne-	-
bulae and Related Objects · · · · · · · · · · · · · · · · · · ·	36
R. A. Vardanian, M. A. Eritsian — The Statistical Determination of the Compo-	
nent of the Interstellar Polarization of μ Cep · · · · · ·	52
E. Ye. Hovhannessian — Objects with a Large Ultraviolet Excesses in the North-	
West Vicinity of the Cluster M13.11	57
A. A. Yegiazarian - Spectrophotometry of the Galaxies with UV Excess. VII.	68
V. S. Tamuzian—UBV Photometry of a Galaxy with UV Excess · · · ·	75
V. S. Artyukh, G. A. Ohanlan, V. G. Panajlan — Observations of the Ooty Radio	
Sources at 102 MHz, II	80

V. P. Zalinian, H. M. Tovmassian - The System for Registration of Star Bright-	
nesses fast variations	87
R. A. Mouradian, H. M. Toumassian—On the Observational Time of the Giad-	
zore site	Q
R. A Mouradian, H. V. Pickichian - On the Possible Decrease on the Influen-	
ce of the Dome on the Stellar Jmage	00
N. S. Asatrian, S. V. Lipaton - Astronomical Receiving System with the Use	
of the UMK-92 V Three-Camera Image Converter of New Medification	
and Some Observational Results	
B. E. Markarian	19

СООБІЦЕНІІЯ БЮРАКАНСКОП ОБСЕРВАТОРНИ ВЫПУСК LVIII

Печатается по решению ученого совета Бюраканской астрофизической обсерватории АН Армянской ССР

Редактор издательства *Н. Г. Апкарян* Тех. редактор *Л. К. Арутюнян* Корректор. *Л. А. Хачатрян*

ИБ № 1148

Сдано в набор 4.05.1986 г. Подписано к печати 18.12.1986 г. ВФ05803. Формат 70×108¹/₁₆. Бумага № 1. Шрифт «литературный», высокая печать. Печ. л. 7,75+11 вкл. Усл. печ. л. 12,95. Учетно-изд. л. 9,68, 12,95кр, от. Тираж 1000. Заказ № 338. Изд. № 6822. Цена 1 р. 60 к. Издательство АН АрмССР, 375019. Ереван, пр. Маршала Баграмяна 24. Тилография Издательства АН АрмССР, 378310, г. Эчмиадзин.